

UNIVERZITET CRNE GORE
PRIRODNO-MATEMATIČKI FAKULTET

Dražana Radonjić

DINAMIKA EMERGENTNIH SUPSTANCI U VODI (EmS)
I ENDOKRINO-UZNEMIRAVAJUĆIH HEMIKALIJA
(EDCs) U EKOSISTEMIMA RIJEKE MORAČE I
SKADARSKOG JEZERA

Doktorska disertacija

Podgorica 2021.

UNIVERSITY OF MONTENEGRO
FACULTY OF SCIENCE AND MATHEMATICS

Dražana Radonjić

**DYNAMICS OF EMERGING WATER SUBSTANCES (EmS)
AND ENDOCRINE-DISRUPTING CHEMICALS (EDCs)
IN RIVER MORACA AND SKADAR LAKE ECOSYSTEMS**

Doctoral Dissertation

Podgorica 2021

DOKTORAND

Ime i prezime: ***MSc Dražana Radonjić***

Datum rođenja: 05.09.1973

Naziv završenog studijskog programa i godina završetka:

- Studijski program biologija, osnovne studije 1997 godina;
- Studijski program biologija – smjer mikrobiologija, specijalističke studije, 2003. godina;
- Studijski program biologija – smjer ekologija, master studije, 2007. godina

UDK, OCJENA I ODBRANA DOKTORSKE DISERTACIJE

Datum prijave doktorske teze: _____ godine

Datum sjednice Senata Univerziteta na kojoj je prihvaćena teza: _____ godine

Komisija za ocjenu podobnosti teze i kandidata:

Prof. dr Mira Petrović,

Catalan Institute for Water Research, Spain, **mentor**

Dr Slaviša Stanković,

redovni profesor Biološkog fakulteta Univerziteta u Beogradu,

Dr Svetlana Perović,

redovni profesor Prirodno-matematičkog fakulteta Univerziteta Crne Gore

Dr Slađana Krivokapić,

vanredni profesor Prirodno-matematičkog fakulteta Univerziteta Crne Gore

Dr Danilo Mrdak

vanredni profesor Prirodno-matematičkog fakulteta Univerziteta Crne Gore

Komisija za ocjenu doktorske disertacije:

Prof. dr Mira Petrović,

Catalan Institute for Water Research, Spain, **mentor**

Dr Slaviša Stanković,

redovni profesor Biološkog fakulteta Univerziteta u Beogradu,

Dr Svetlana Perović,

redovni profesor Prirodno-matematičkog fakulteta Univerziteta Crne Gore

Dr Slađana Krivokapić,

vanredni profesor Prirodno-matematičkog fakulteta Univerziteta Crne Gore

Dr Danilo Mrdak,

vanredni profesor Prirodno-matematičkog fakulteta Univerziteta Crne Gore

REZIME

Prisustvo tragova emergentnih supstanci (EmS), kao što su PhACs farmaceutski spojevi, endokrino uznemirajuće hemikalije (EDCs), (npr. prirodni i sintetički estrogeni i njihovi konjugati, bisphenol A, alkilfenoli), kao i jedinjenja za koje se sumnja da mogu da budu EmS (antimikrobnna sredstva, benzotriazoli i organofosforna protivzapaljiva sredstva) postalo je predmet posebnog interesovanja u posljednjoj deceniji s obzirom na to da niske koncentracije ovih analita ranije nisu mogle biti detektovane. U postrojenjima za prečišćavanje otpadnih voda mnogi farmaceutici (PhACs) se ne uklanjanju efikasno, zbog čega dospevaju u prirodne vode. Zbog ograničenog znanja o koncentraciji, degradaciji i posledicama prisustva u životnoj sredini, tragovi PhACs u vodi još uvek nisu zakonski regulisani.

Ovom studijom, po prvi put u Crnoj Gori su opisani i objašnjeni pojmovi EmS i EDCs, izvršeno "skrining istraživanje" lokaliteta donjeg toka rijeke Morače i na nekim lokalitetima sliva Skadarskog jezera, utvrđene koncentracije EmS i EDCS u najznačnijih šest predstavnika ribljeg fonda pomenutog sliva, po prvi put u Crnoj Gori izvedeno utvrđivanje prisustva PhACs i EDCs u uzorcima voda na lokalitetima Zlatica, Vukovci, Lijevi i Desni krak rijeke Morače, "Kraljeva glavica"-Vranjina i "Tanki rt"-Skadarsko jezero u toku perioda velikih voda-zima proljeće, i niskih voda- ljeto jesen u toku 2017-2018. godine. Uporedo sa ovim rezultati pronađene su i mikrobiološki parametri lokaliteta fiziološke grupe mikroorganizama, heterotrofne, oligotrofne, koliforme grupe bakterija i njihova identifikacija, izvršena je procjena fiziološkog profila mikrobioloških zajednica CLPP, izračunat prosječni metabolički odgovor AMR i diverzitet metabolizma zajednice mikroorganizama CMD. Izvršena je procjena ekološkog opterećenja sistema pomoću procjena rizika koji može nastati djelovanjem PhACs na organizme u vodi izračunavanjem HQ količnika štete.

Na osnovu prvih „Skrining analiza“ površinskih voda rijeke Morače i Skadarskog jezera utvrđeno je prisustvo velikog broja organskih jedinjenja i to 528, od kojih je identifikованo 119. Ustanovljeno je da se fenotipski mikroorganizmi mijenjaju, ali da je za te promjene potrebno vrijeme i generacijske promjene mikroorganizama. Od svih ispitanih EDCs i PhACs, čije smo prisustvo pokušali da utvrdimo u tkivima riba, jedino je utvrđena koncentracija Triclosan od $14,1 \pm 1,3$ ng g⁻¹, i to samo mišićnom tkivu ribe *Alburnus alburnus*. U uzorcima voda zabilježeno prisustvo NSAID-Nesteroidnih antiinflamatornih ljekova, sa izuzetno niskim koncentracijama za koji je HQ- rizik opterećenosti ekosistema iznosi 0,01 te stoga ne postoji potencijalni ekološki rizik.

Ključne riječi: emergentne supstance (EmS), farmaceutski spojevi (PhACs), endokrino uznemirajuće hemikalije (EDCs), procjena fiziološkog profila mikrobioloških zajednica CLPP, prosječni metabolički odgovor AMR, diverzitet metabolizma mikroorganizama CMD, HQ-potencialni ekološki rizik, prisustvo NSAID-Nesteroidnih antiinflamatornih ljekova.

Naučna oblast: Biologija

Uža naučna oblast: ekologija voda i primijenjena mikrobiologija

UDK broj:

ABSTRACT

The presence of emergent substances (EmS), such as pharmaceutics (PhACs), endocrine disrupting substances (EDCs) (e.g. natural and synthetic oestrogens and their conjugates, bisphenol A, alkyl phenols) as well as compounds that are suspected to be EmS (antimicrobial agents, benzotriazoles and organophosphorus flame retardants) became the interest of many in the past decade, because low concentration of these analytes could not have been detected before. In water purification plants, many pharmaceutics (PhACs) are not eliminated properly, and therefore end up polluting natural waters. Because the knowledge about concentration, degradations and consequences they have on the environment is limited, PhACs presence is still not regulated by law.

This study, for the first time in Montenegro, describes and explains the terms EmS and EDCs, performed "screening research" of the lower reaches of the Morača River and some localities of the Skadar Lake basin, determined the concentrations of EmS and EDCS in the six most important fish stocks. For the first time in Montenegro, the presence of PhACs and EDCs in water samples was determined at the sites of Zlatica, Vukovci, Left and Right branches of the Morača River, "Kraljeva glavica" - Vranjina and "Tanki rt" - Skadarsko Lake during the period of high water-winter spring, and low waters- summer autumn during 2017-2018. years. Along with these results, microbiological parameters of the physiological group of microorganisms, heterotrophic, oligotrophic, coliform groups of bacteria and their identification were monitored, the physiological profile of CLPP microbiological communities was assessed, the average metabolic response AMR and the diversity of CMD community metabolism were calculated. An assessment of the ecological load of the system was performed using risk assessments that may arise from the action of PhACs on organisms in water by calculating the HQ damage coefficient.

Based on the first "Screening analyses" of river Moraca and Skadar lake's surface waters, high number of present organic compounds has been assessed, and out of the 528 of them being present, 119 have been identified. Phenotypic organisms are changing, but for those changes to happen both time and generational alteration are needed. Presence of EDCs and PhACs has been researched in fish tissue. Triclosan in the concentration of $14,1 \pm 1,3$ ng g⁻¹ has been detected in the muscle tissue of the fish *Alburnus alburnus*. In water samples, the presence of NSAID-nonsteroidal anti-inflammatory drugs has been detected, but in concentrations so small, they do not present as potential ecological risk (HQ-risk of ecological overload was 0,01).

Based on everything presented, we can conclude that river Moraca and Skadar lake remain "unpolluted" aquatic ecosystems, thanks to the dominant autotrophic microorganisms, as well as the presence of physiological group of microorganisms.

Keywords: emergent substances (EmS), pharmaceutics (PhACs), endocrine disrupting substances (EDCs), HQ- potential ecological risk, NSAID-nonsteroidal anti-inflammatory drugs, physiological profile of CLPP microbiological communities, average metabolic response AMR, the diversity of CMD community metabolism, HQ- as potential ecological risk, the presence of NSAID-nonsteroidal anti-inflammatory drugs.

Scientific area: Biology

Special scientific area: water ecology and applied microbiology

UDK number:

Zahvalnica

Najveću zahvalnost dugujem svojoj mentorki Profesorici Miri Petrović, koja je svih ovih godina bila stub i sigurnost, promoter ideja i pokrovitelj svih rezultata.

Veliku zahvalnost dugujem uvaženim članovima komisije, koji su našli vremena za moj rad i sluha za ideje i pojmove koji ovaj rad promoviše.

Ovaj rad posvećujem mojoj majci Miloratki, a kroz nju i svim majkama koje se sav svoj život bore za svoju djecu

*Srdačno,
Dražana Radonjić*

SADRŽAJ

1. UVOD	1
1.1 Voda kao prirodni resurs	2
1.2 Zagađivanje voda	3
1.3 Putevi kojima EmS i EDCs dospevaju u vodene ekosisteme	6
1.4 Mikroorganizmi u vodenim ekosistemima	10
1.5 Biotički faktori	13
2. PREGLED DOSADAŠNJIH ISTRAŽIVANJA	16
3. CILJ RADA	18
4. MATERIJAL I METODE	19
4.1 Opis istraživanih lokacija.....	19
4.2. Klimatske karakteristike	20
4.3 Istraživano područje.....	20
4.3.1 Pregled istraživanih lokaliteta	21
4.4 Uzorkovanje uzoraka na terenu	21
4.4.1 Uzimanje uzoraka za fizičko –hemijska ispitivanja	21
4.4.2 Uzorkovanje vode za bakteriološke analize	22
4.4.3 Uzorkovanje za "Skrining" analize	22
4.4.4 Određivanje prisustvo PhACs i EDCs u tkivima riba.....	23
4.4.5 Uzorkovanje za analizu farmaceutika u uzorcima vode.	26
4.4.6 Terenska mjerena pokazatelja kvaliteta	28
4.6 Mikrobiološke analize	30
4.6.1 Hranljive podloge, reagensi, boje i rastvori	30
4.6.2 Metode za bojenje mikroorganizama.....	30
4.6.3 Određivanje sanitarno grupe mikroorganizama.....	31
4.6.4 Određivanje fiziološke grupe mikroorganizama	31
4.7 Utvrđivanje bioloških parametara	32

4.8 Procjena rizika koji može nastati djelovanjem PhACs na organizme u vodi izračunavanjem HQ hazard quotient-količnika štete Sanchez-Bayo (2002)	34
4.9 Statistička obrada podataka.....	35
5. REZULTATI	36
5.1 Fizičko-hemijske karakteristike voda istraživanih lokaliteta	36
5.2. Mikrobiološki kvalitet vode istraživanih lokaliteta (u odnosu na ekološke parametre)	41
5.2.1 Statistička obrada podataka mikrobiološkog kvaliteta vode istraživanih lokacija	45
5.3 Mikrobiološki kvalitet vode istraživanih lokaliteta i statistička obrada podataka mikrobiološkog kvaliteta vode istraživanih lokacija u odnosu nasanitarni aspekt.....	51
5.4 Fenotipske karakteristike mikroorganizama u toku 2016-2018. godine ...	59
5.5 Rezultati „Skrining“ ispitivanja za EmS tokom 2013-2014. godine	64
5.6 Rezultati analize koncentracije EDCs i PhACs u tkivu riba	69
5.7 Rezultati analize koncentracije PhACs u uzorcima voda istraživanih lokaliteta tokom 2017-2018.godine	72
5.8 Rezultati HQ	77
6. DISKUSIJA	79
7. ZAKLJUČCI	93
Preporuke:	95
8. LITERATURA	96
Prilog 1.	104
Prilog 2.	139
BIOGRAFIJA	144

1. UVOD

Zagađenje životne sredine postalo je jedan od najizazovnijih, svakodnevnih problema. S razvojem industrijalizacije i urbanizacije, zabrinjavajuće je evoluirala degradacija kvaliteta životne sredine. Različite kategorije zagađivača, postali su ozbiljan problem na globalnom nivou, jer ulaskom u vodene ekosisteme mogu uticati na floru i faunu, kao i na ljude i njihovo zdravlje (Bunke et al., 2019). Voda, kao bitan resurs za život na Zemlji, jedan je od najranjivijih dijelova životne sredine, pa je zagađenje voda postalo pitanje od najvećeg interesa i zabrinutosti u cijelom svijetu. Posebno prisustvo tragova emergentnih supstanci (EmS) kao što su farmaceutici, endokrino uznemirajuće supstance (EDCs) kao što su npr. prirodni i sintetički estrogeni i njihovi konjugati, bisphenol A, alkilfenoli, kao i jedinjenja za koje se sumnja da mogu biti antimikrobna sredstva, benzotriazoli i organofosforna zapaljiva sredstva, postalo je predmet posebnog interesovanja naučnika i istraživača u posljednjoj deceniji, s obzirom na to da niske koncentracije ovih jedinjenja ranije nisu mogle biti detektovane.

Odlaganjem ljekova kojima je prošao rok upotrebe na nekontrolisane deponije može dovesti do zagađenja podzemnih voda uslijed spiranja poroznog zemljišta (Jørgensen & Halling-Sørensen 2000). Jasno je prepoznat veliki problem koji EmS izazivaju u vodenim ekosistemima, naročito što se njihovo uklanjanje u procesu prečiščavanja voda odvija izuzetno slabo, a zavisi od mnogih faktora, kao što su npr. priroda aktivne supstance lijeka, sastav otpadnih voda, tehnologija prerade otpadnih voda i dr. (Carballa et al. 2004; Roberts & Thomas 2006). Poznato je, na primjer, da je procenat uklanjanja kiselih jedinjenja, kao što su ljekovi diklofenak i acetilsalicilna kiselina, prilično nizak (Petrović et al. 2003). Ukoliko je čovjek, npr., putem vode za piće, neprekidno izložen izuzetno niskim koncentracijama raznovrsnih ljekova, može doći do povećanja toksičnosti lijeka, tj. gubitka tolerancije čovjeka prema toj hemijskoj supstanci i pojave negativnih simptoma. Ove karakteristike zabilježene su i za antiinflamatorne ljekove i regulatore masti u vodi, zbog učestalosti njihovog korišćenja (Petrović et al. 2005). Zbog velike rastvorljivosti u vodi, polarnosti i otpornosti na degradaciju, ove supstance se teško apsorbuju i lako prolaze kroz procese prečiščavanja, ali i procese prirodne filtracije, dospijevaju do podzemnih voda i vode za piće (Buser et al. 1998; Ternes et al. 2002a). Problemi vezani za prisustvo ljekova u životnoj sredini, prije svega u vodi, povezani su sa poremećajima fizioloških procesa i reproduktivne funkcije kod različitih organizama, uključujući čovjeka (Kolpin et al. 2002). Stoga značajnost detekcije ovih supstanci u vodenim ekosistemima i detekcija njihovog prisustva u tkivima živih bića je od velikog značaja. Značajniji su i podaci o njihovom transportu kroz procese prečiščavanja i konačnoj degradaciji ljekova u životnoj sredini. Nažalost ovi podaci su prilično ograničeni.

Razlog tome je činjenica da je ranije postojalo svega nekoliko analitičkih metoda koje su, sa ograničenom sigurnošću, mogle da detektuju niske koncentracije ljekova u vodi (Jørgensen & Halling-Sørensen 2000).

Činjenica da hemijskim analizama nije moguće izmjeriti biološki odgovor, odnosno ne možemo determinisati njihov efekat na žive organizme, neophodno je zbog cjelishodnije dijagnostike stanja vodenih ekosistema uključiti i biološke analize koje će ukazati na promjene u strukturi životnih zajednica, njihovom odnosu i diverzitetu. Integralni pristup koji obuhvata kombinaciju bioloških tehnika i hemijskih analiza postao je globalno prepoznatljiv i jasno se ističe (Cespedes et al. 2004) u determinaciji EDCs u površinskim vodama. Kao veoma osjetljiva životna zajednica na uticaj različitih zagađivača u vodenim ekosistemima su svakako mikroorganizmi, pa upravo utvrđivanje fizioloških grupa mikroorganizama (proteolitskih i lipolitskih) u vodi i njihova struktura su dobar pravac za objašnjenje uticaja različitih zagađivača na životnu sredinu.

U Crnoj Gori ne postaje dostupni naučni podaci o ovoj problematici ispitivanja EmS i EDCs, tako da ova ispitivanja predstavljaju osnovu za buduća istraživanja sličnog tipa kao i osnova za predlaganja određenog modela monitoringa kojim bi se unaprijedilo rano dijagnostikovanje vodenih ekosistema i preduzele mjere zaštite istih.

1.1 VODA KAO PRIRODNI RESURS

Prirodni resursi značajni su s dva aspekta: s aspekta opstanka čovječanstva i ljudskog društva i s aspekta ekonomskog razvoja i prosperiteta čovječanstva i ljudskog društva (Dimkic et al. 2015). Istorijski posmatrajući, ljudsko društvo i ekosistemi povezani s vodom uvijek su bili suočeni s nepovoljnijim uticajem klimatskih promjena i zagađujućih materija. Zato je veoma važno unaprijediti sistem praćenja i upravljanja kvaliteta vodenih sistema, imajući u vidu da opstanak na Zemlji zavisi od tri osnovna prirodna resursa – vode, vazduha i zemljišta, među kojima je voda najvažnija komponenta.

Svjetska komisija za vodu procjenjuje da na plavoj planeti imamo oko $1,4 \times 10^9 \text{ km}^3$ vode i da od te količine na slatku vodu otpada 2,5%. Međutim, procenat dostupne slatke vode (atmosferske, podzemne i površinske vode) iznosi samo 0,26%, što približno iznosi $3,64 \times 10^6 \text{ km}^3$. Iz ovoga proizilazi potreba zaštite voda. Očuvanje, održavanje i unapređenje zdravlja svakog pojedinca i ljudske populacije u direktnoj je zavisnosti od kvaliteta vode za piće i njene higijenske ispravnosti (Radonjić, 2006)

Svjetska zdravstvena organizacija (WHO) je u 12 osnovnih pokazatelja zdravstvenog stanja stanovništva jedne zemlje svrstala i kvalitet vode za piće. Stoga je neophodno razviti bolji sistem upravljanja vodenim resursima da bi se ublažio negativni uticaj čovjeka na životnu

sredinu. U tom smislu treba integrisati nauku, političku akciju i reakciju javnosti u logičan okvir rada.

Konferencija Ujedinjenih Nacija o životnoj sredini i razvoju održana u Rio de Ženeiru (1992. godine) deklarisala je principe o životnoj sredini i razvoju, popularno nazvana "Agenda 21", kojima su određeni pravci i ciljevi, koji se odnose na uspostavljanje novog i pravednog globalnog partnerstva, putem stvaranja novih nivoa saradnje među državama sa novim jedinstvenim pogledom na zaštitu životne sredine.

U skladu s tim jasno se mora ostvariti skladna međusobna zavisnost između ekonomskog razvoja i zaštite životne sredine, s druge strane, upravo radi efikasne zaštite životne sredine.

Jedan od najznačajnijih zakonskih instrumenata jeste Okvirna direktiva EU o vodama (2000/60/EC). Okvirna direktiva ima za cilj da zaštitи fizički i biološki integritet akvatičnih ekosistema, a time i osnovne čovjekove resurse za kvalitetno vodosnabdijevanje.

U savremenim uslovima urbanog načina života, industrijalizacije, demografske eksplozije, moderne poljoprivrede i poljoprivredne tehnologije dolazi do korišćenja sve većih količina vode. Pod devizom "voda sve nosi" svakodnevno se ogromna količina otpadaka izbacuje u rijeke, jezera i mora.

Rijeke su danas postale kolektori svih urbanih i industrijskih otpadnih voda. "Lakoća" odstranjivanja otpadaka na ovaj način dovela je do toga da su neke rijeke u svojim donjim tokovima pretvorene u mrtvaje, a da je korišćenje vode sve skuplje zbog visoke cijene prečišćavanja.

Voda je neiscrpan resurs, ali uvek treba imati na umu da za preživljavanje i opstanak nije potrebna samo velika količina vode, nego je neophodno da kvalitet te vode bude takav da ona može da se koristi.

Ako se zna da su rezerve pitke vode u prirodi ograničene problem zagadživanja voda i snabdevanja slatkom vodom postaje još ozbiljniji, jer voda može da postane i limitirajući faktor daljeg opstanka i razvoja ljudske civilizacije.

1.2 ZAGAĐIVANJE VODA

Tehnološki i socijalni razvoj je itekako postavio čovjeka na mjesto jednog od najmoćnijih ekoloških faktora, koji interveniše u svim osnovnim procesima u okviru hidrosfere i biosfere u cjelini. Evropa je samo jedan od primjera promjena, koje je čovjek izazvao u svom okruženju. Intenzivna urbanizacija, industrijalizacija i razvoj poljoprivrede, uslovljavaju sve veću potrebu za vodom i rezultiraju zagađenjem površinskih i podzemnih voda, što predstavlja jedan od najaktuelnijih problema savremenog svijeta i faktor ograničavanja raz-

voja gradova, pa i čitavih regionalnih. Čovjek, svojom djelatnošću, utiče na promjene životnih uslova u vodenim biotopima i zagađuje ih otpadom iz industrijskih postrojenja i ljudskih naselja (Radonjić, 2006). U takvim vodama, po pravilu, uslovi života se pogoršavaju za živi svijet. Veliki broj hemikalija izaziva ogroman pritisak na životnu sredinu, javno zdravlje i naravno biosferu (Miloradov et al., 2012).

Otpadne vode utiču na opšte hemijske uslove života u recipientu, jer povlače za sobom smanjenje indeksa saturacije kiseonikom u vodi i obogaćivanje mulja njihovim recidivima ili pak produktima nepotpune biodegradacije (uz stvaranje vodoniksulfida, amonijaka i metana), a pored toga, suspendovanim česticama organskog ili neorganskog porijekla, zamučuju vodu (Radonjić, 2013). Toksikanti drastično narušavaju prirodnu ravnotežu u akvatičnim ekosistemima i remete (zaustavljaju ili usporavaju) procese samoprečišćavanja. Zbog veoma izraženih problema rezervi čiste sirove vode za piće, u posljednje vrijeme sve više se kao izvorišta koriste površinske vode, čiji je kvalitet potrebno poboljšanje (Radonjić, 2017).

EmS i EDCs nisu nužno nove hemikalije. To su supstance koje su često dugo prisutne u okolini, ali o čijoj se prisutnosti i značaju tek se u novije vrijeme govori. NORMAN (Network of reference laboratories, research centres and related organisations for monitoring of emerging environmental substances) identifikovali su listu emergentnih supstanci "LIST OF EMERGING SUBSTANCES". Sistematisirano su pristupili kvalifikaciji i uređivanju liste o najčešće diskutovanim EmS, a prema NORMAN (<https://www.norman-network.net/?q=node/19>) zadnji put korigovani podaci za ovu listu bili su u februaru 2016. godine.

Prema NORMAN-u otvorena je dinamična lista-23 kategorije/klase EmS sa preko 300 subklasa EmS i 750 Em supstanci. Najvažnije kategorije su: toksini alga, sredstva protiv stvaranja pjene, antioksidanti, sredstva protiv obrušavanja, bioteristička sredstva, deterdženti sredstva za dezinfekciju (vode za piće), plastifikanti, sredstva za ličnu higijenu, pesticidi, farmaceutici i drugi.

EmS i EDCs, prema nekim naučnicima nazivaju se i "ksenobioticima" a u to ubrajaju: sredstva za ličnu higijenu, pesticide, farmaceutike, kozmetičke proizvode, usporivače gorenja, hormonski aktivne supstance, dijetetske proizvode, industrijske hemikalije i sva ostala jedinjenja koja nisu prirodno prisutna u životnoj sredini, već je njihovo prisustvo posledica ljudskih aktivnosti.

Pod terminom "organski ksenobiotici" smatraju se organske zagađujuće supstance koje nisu prirodno prisutne u organizmu ili životnoj sredini. Riječ potiče od grčkih reči xenos-stran i bios-život. Drugi izrazi koji se mogu naći u literaturi su: "organski mikropolutanti", "sintetske organske hemikalije" ili pak, u novije vreme, "emergentni polutanti".

"Emergentni polutanti" prema NORMAN-u (<http://www.norman-network.net>) su polutanti koji trenutno nisu obuhvaćeni rutinskim monitoring programima na evropskom nivou, a

koji su potencijalni kandidati za buduće regulative u oblasti voda, u zavisnosti od njihove ekotoksičnosti, odnosno ponašanja u životnoj sredini (Tabela NORMAN; Prilog 1.)

EmS, predstavljaju grupu sintetizovanih ili prirodnih jedinjenja-molekula, supstanci koje su početkom 21. vijeka prepoznate kao potencijalno hazardne. Mogu se posmatrati i kao sve prisutne, pseudo perzistentne, biološki aktivne hemikalije, polutanti, nastali kao rezultat prirodnih, undustrijskih i ljudskih aktivnosti.

EmS se još nazivaju i "trace "supstance, zbog izuzetno niskih koncentracija koje se kreću od $\mu\text{g}/\text{L}$ pa na niže, što ovu vrstu polutanata izdvaja od konvencionalnih zagađujućih supstanci. Moderna istraživanja pokazuju da dugotrajna upotreba i izloženost niskim dozama EmS ili dugotrajno konzumiranje ovih jedinjenja ima različite i često veoma ozbiljne negativne efekte na većinu živih organizama, pa i čoveka, pri koncentracijama od samo par $\mu\text{g}/\text{L}$. Veoma je teško predvideti i izolovati toksične efekte koje EmS imaju na zdravlje čoveka.

Prirodno hormoni oslobođeni iz žljezda sa unutrašnjim lučenjem regulišu tjelesne funkcije kao što su npr. metabolizam, seksualni razvoj. Hormonski sistem je povezan sa nervnim i imunološkim sistemom, njihova koncentracija u tjelesnim tečnostima kojom oni vrše svoju funkciju je izuzetno niska i kreće se od mikrograma po litru pa na niže. Upravo niske koncentracije prirodnih hormona i niske doze djelovanja lako su podržane od strane EDCs, čije koncentracije pikomolarnog i nanomolarnog ranga, mimikrujući prave hormone, imitiraju njihove funkcije i cikluse.

Prisustvo tragova emergentnih supstanci u nastavku EmS kao što su farmaceutici, endokri-
no uznemirajuće supstance u daljem tekstu EDCs kao (npr. prirodni i sintetički estrogeni i njihovi konjugati, bisphenol A, alkilfenoli), kao i jedinjenja za koje se sumnja da mogu biti, (antimikrobna sredstva, benzotriazoli i organofosforna zapaljiva sredstva) postalo je predmet posebnog interesovanja u posljednjoj deceniji s obzirom na to da niske koncentracije ovih analita ranije nisu mogle biti detektovane.

U postrojenjima za prečišćavanje otpadnih voda mnoge EmS se ne uklanjanju efikasno, zbog čega dospijevaju u prirodne vode. Veliki broj hemikalija izaziva ogroman pritisak na životnu sredinu, javno zdravlje i naravno biosferu (Miloradov et al., 2012). EmS i EDCs u životnu sredinu dospijevaju najčešće kao posljedica intenzivnog i konstantnog korišćenja u humanoj medicini i veterini i kroz proizvode za ličnu higijenu. Glavni izvori zagađenja površinskih i podzemnih voda EmS i EDCs su gradske i poljoprivredne otpadne vode, odnosno domaćinstva, bolnice i poljoprivredna zemljišta (Halling-Sørensen et al. 1998; Robinson et al. 2007).

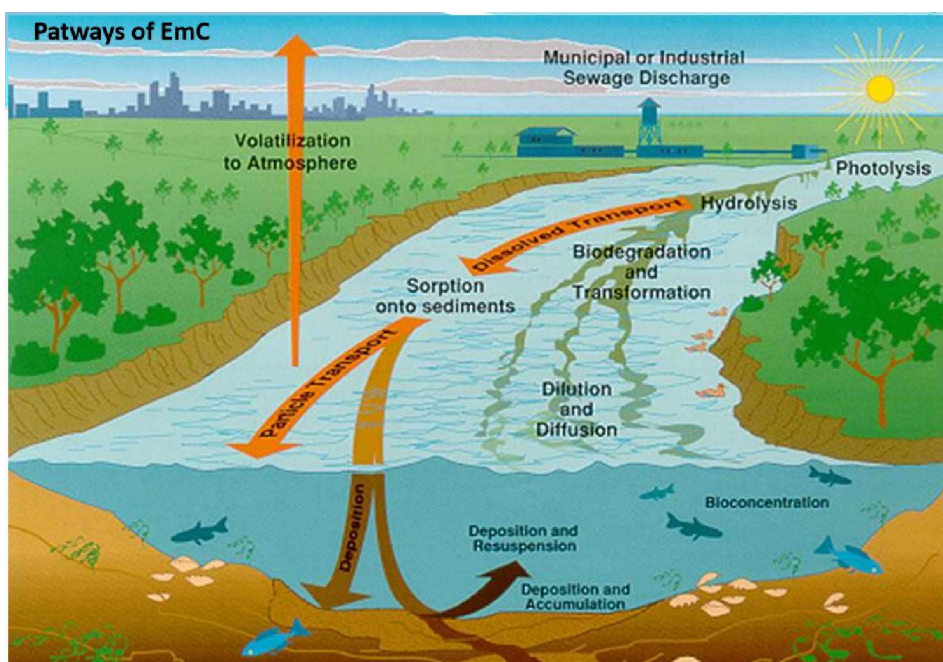
WHO je objavila nekoliko publikacija, koje su rađene u saradnji s UNEP-om i ključnim naučnim stručnjacima i donijela je "Rezoluciju o uključivanju EDCs kao novog pitanja" u okviru Strateškog pristupa u međunarodnom upravljanju hemikalijama (SAICM). Rezolucija

je usvojena u septembru 2012. godine na trećoj Međunarodnoj konferenciji o upravljanju hemikalijama (ICCM3) u Najrobiju.

1.3 PUTEVI KOJIMA EMS I EDCS DOSPEVAJU U VODENE EKOSISTEME

Supstance kao što su EmS i EDCs dospijevaju u vodene sisteme različitim putevima, npr. ispuštanjem otpadnih voda i ispuštanjem ostataka pesticida iz poljoprivrednih aktivnosti. Ribe i divlje životinje mogu biti direktno izložene, a ljudi mogu biti izloženi unosom kontaminirane vode i preko raznih proizvoda. Ove materije, nije lako ukloniti iz vode konvencionalnim postupcima obrade koje nude postrojenja za prečišćavanje vode ili kanalizacije (Pironti et al. 2021). Ipak, jedan od najznačajnijih puteva kojim ljekovi dospijevaju u životnu sredinu su komunalne otpadne vode. Nakon konzumiranja, u ljudskom organizmu lijek podliježe nizu metaboličkih reakcija, pri čemu nastaju metaboliti koji su često polarniji od polaznog jedinjenja. Zbog toga su rastvorljiviji u vodi, a u nekim slučajevima i toksičniji od polazne supstance (Petrović et al., 2005). Ljekovi se izlučuju djelimično transformisani, pri čemu se jedan procenat lijeka izluči u neizmijenjenom obliku, taj procenat je za svaki lijek specifičan (Hirsch et al. 1999; Heberer 2002).

Na Slici 1, prikazani su putevi kojim je moguće opisati kretanje EmS preko ispustanja opadnih voda direktno u recipijent, njihove transformacije, moguće depozicije i akumulacije ili biokoncentracije.



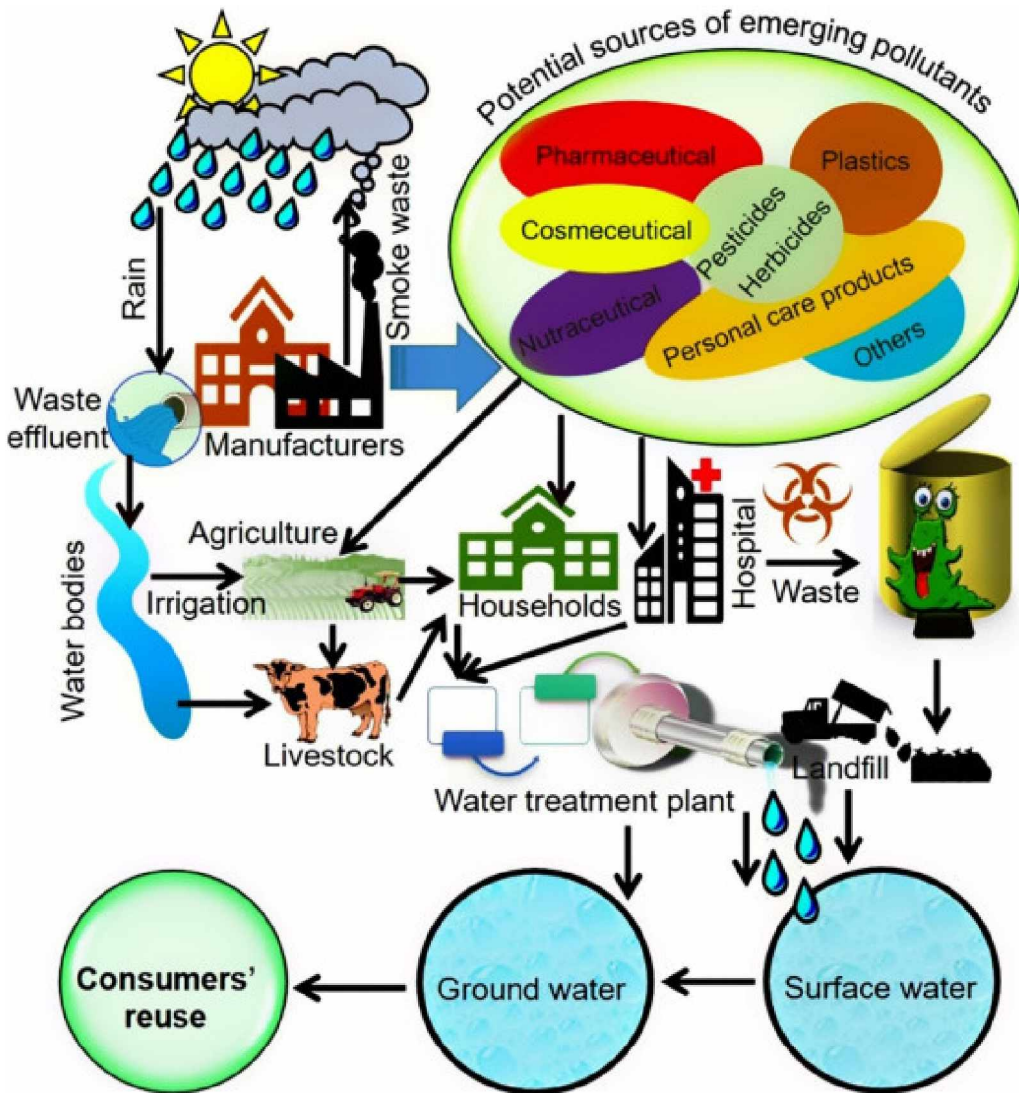
*Slika 1: Mogući putevi EmS, preuzeto iz
<http://ambassadors-env.com/wp-content/uploads/EMERGENTNE-SUPSTANCE.pdf>*

Domaćinstva na kojima se vrši uzgoj ili tretman stoke i živine važni su izvori kontaminacije površinskih voda, prvenstveno antibioticima, koji se koriste za liječenje infekcija i preventivno, ali i kao dodatak hrani radi pospiješivanja rasta životinja (Hirsch et al. 1999). Upotreboom stajskog đubriva, antibiotici se dalje mogu prenijeti na poljoprivredno zemljište, a ispiranjem zemljišta i u podzemne vode (Hartig et al. 1999; Heberer 2002). Ispitivanje prisustva bakterija u komunalnim otpadnim vodama je pokazalo da se više od 95% bakterija ukloni tokom procesa prečišćavanja, ali da većina preostalih bakterija ispoljava rezistentnost na ostatke antibiotika u vodi (Radtke & Gist 1989; Malik & Ahmad 1994). Ispitivana je kontaminacija rijeka i jezera koliformnim bakterijama 2utvrđeno je da i ako je količina bakterija mnogo manja nego u otpadnim vodama, izolovani sojevi pokazuju gotovo identičnu rezistentnost kao sojevi iz otpadnih voda (Alvero 1987; Al-Ghazali et al. 1988; Campeau et al. 1996). Poznato je, na primjer, da se u bolnicama često javljaju infekcije izazvane Klebsiellae sojem bakterija. Istraživanja su pokazala da je 90% soja otporno na antibiotik ampicilin, a da 6% soja ispoljava višestruku rezistentnost (Hirsch et al. 1999).

Odlaganjem ljekova kojima je prošao rok upotrebe na nekontrolisane deponije može doći do zagađenja podzemnih voda uslijed spiranja ovakvog zemljišta (Jørgensen & Halling-Sørensen 2000).

Jasno je prepoznat veliki problem koji EmS izazivaju na vodenim ekosistemima naročito što se njihovo uklanjanje u procesu prečišćavanja odvija izuzetno slabo, a zavisi od mnogih faktora, kao što su npr. priroda aktivne supstance lijeka, sastav otpadnih voda, tehnologija prerade otpadnih voda, tip i vrijeme korišćenja aktivnog mulja, temperatura, i dr. (Carballa et al. 2004; Roberts & Thomas 2006). Zbog velike rastvorljivosti u vodi, polarnosti i otpornosti na degradaciju, ove supstance se teško apsorbuju i lako prolaze kroz procese prečišćavanja, ali i procese prirodne filtracije, dospijevaju do podzemnih voda i vode za piće (Buser et al. 1998; Ternes et al. 2002a).

U procesu biodegradacije, koji je svakako efikasniji od procesa taloženja, ukloni se manje od 10% karbamazepina i trimetoprima (Clara et al. 2004) dok je efikasnost biodegradacije diklofenaka, 10-39% (Hernando et al. 2006). Na Slici 2. prikazani su mogući izvori zagađenja i putevi kojima lekovi dospevaju u površinske i podzemne vode.



Slika 2: Mikropolutanti i mogući način dospijevanja u vode

<https://www.google.com/search?q=pathway+of+emergent+substances>

Poznato je, na primer, da je procenat ukidanja kiselih jedinjenja, kao npr. diklofenak, ibuprofen i acetilsalicilna kiselina, prilično nizak (Petrović et al. 2003). Ove karakteristike zabilježene su i za identifikaciju koncentracija antiinflamatornih ljekova i regulatora masti u vodi, zbog učestalosti njihovog korišćenja (Petrović et al. 2005). Kao dinamična i funkcionalna struktura na ekosistem se lako utiče aktivnošću čoveka i/ili prirode, naruši homeostazu sistema, unosom EmS i EDCs, posljedice mogu biti ispoljene na različitim nivoima organizacije (molekul, ćelija, jedinka, populacija, zajednica... itd). Složenost ovog fenomena iziskuje holistički pristup, jer ima više mogućih načina interakcije zagađujućih supstanci i ekosistema, što znači da postoje različite tehnike kojima možemo posmatrati prisustvo organskih ksenobiotika u životnoj sredini (Shema 1.) na različitim "nivoima organizacije" (Landis & Yu, 1995; Marković, 2015).



Shema 1: Interakcija zagađujućih supstanci i različitim nivoima organizacije, modifikovano iz (Landis & Yu, 1995)

Kada EmS i EDCs dospiju u životnu sredinu, bivaju usvojene na nivou jedinki, pokreću se različiti biohemijski i fiziološki procesi i interakcije, pa se mogu biti očekivane subletalne ili letalne posljedice. To pokreće promjene na populacionom nivou, što prouzrokuje promjene u karakteristikama ali i dinamici odnosa u strukturi zajednice, što na kraju produkuje promjenu u kruženju nutrijenata i energije, odnosno u efikasnosti ekosistema (Marković, 2015).

Bez obzira što su mnoge EmS nativne (teški metali, mikotoksini, alkaloidi, radionuklidi....), njihova količina i diverzitet se antropološkim aktivnostima povećava, samim tim proizvodnja, korišćenje i odlaganje EmS (komunalni, industrijski, poljoprivredni otpad, hemijski akcidenti, farmaceutski metaboliti...itd.) (Marković, 2015).

Sve zagađujuće supstance imaju svoj životni vijek i put, što znači da podležu fizičko-hemijskim procesima promjene, ali ujedno postaju i dio biološkog matriksa (mikroorganizmi) što može dovesti do "ravnotežnog" stanja. Svrstavanje EmS kroz različite medije životne sredine zavisi prvenstveno od fizičko-hemijskih osobina (molekulska struktura, molekulska masa, rastvorljivost u vodi, napon pare, veličina čestice...itd.), rasподjela zavisi i od procesa transporta u vodenoj sredini (disperzije, sedimentacije, difuzije, protoka i stepena miješanja vode, brzine sedimentacije čestica temperature, pH vrednosti, količine suspendovane materije, prirode sedimenta, kao i mikrobioloških (aerobna biodegradacija i anaerobna biodegradacija) zajednica i sadržaja nutrijenata.

Prisustvo organskih ksenobiotika u hidrološkom ciklusu je dobro poznata činjenica (Bester et al., 2008), međutim što se dešava sa njima u vodenim ekosistemima, kakve efekte izazivaju, kao i uklanjane iz vodenih ekosistema, duži niz godina izuzetno je interesantno polje istraživanja. Prisustvo organskih zagađujućih supstanci u akvatičnoj sredini predstavlja jedan od najvećih izazova za održivo upravljanje vodama, naročito u sušnim regionima, gde se nameće potreba ponovne upotrebe vode.

Problemi vezani za prisustvo EmS i EDCs u životnoj sredini uključuju poremećaje fizioloških procesa i reproduktivne funkcije organizama, povećanje toksičnosti nekih farmaceutski aktivnih supstanci (Kolpin et al., 2002). Prisustvo hormona, ili supstanci, koje mogu podržati njihovu funkciju, u vodenoj sredini izaziva ozbiljne posljedice kod raznih vodenih organizama. Uočene su promjene u razvoju i reproduktivnim funkcijama riba i vodozemaca, kao što su smanjenje plodnosti i feminizacija mužjaka, pri koncentracijama od nekoliko $\mu\text{g}/\text{dm}^{-3}$ (Jørgensen & Halling-Sørensen 2000). Podaci o transportu kroz procese prečišćavanja i konačnoj degradaciji ljekova u životnoj sredini su prilično ograničeni. Razlog je činjenica da je ranije postojalo svega nekoliko analitičkih metoda koje su, sa ograničenom sigurnošću, mogle da detektuju niske koncentracije ljekova u vodi (Jørgensen & Halling-Sørensen 2000). Kombinacija bioloških tehnika i hemijskih analiza postala je globalno prepozнатљива i jasno se ističe (Céspedes et al., 2005) u determinaciji EDCs u uzorcima površinskih voda.

Upravo je utvrđivanje fizioloških grupa mikroorganizama (proteolitskim, amilolitskim i lipolitskim) u vodi dobar pravac, uz to i objašnjenje mnogobrojnim jedinjenjima koji su istraživanjima kvantitativno detektovani.

Analizom i interpretacijom mikrobioloških zajednica mogu se optimalno odrediti nivoi fizioloških profila na određenim lokacijama (Radonjić, 2016). Identifikaciju i klasifikaciju bakterija do nivoa vrste, iz različitih vodenih ekosistema (rijeke, jezera, mora, otpadne vode), vršimo koristeći se fenotipskim ili genotipskim identifikacionim tehnikama. Fenotipske modifikacije organizama nastaju interakcijama genotipa i faktora spoljašnje sredine. Fenotipske modifikacije mikrobioloških zajednica moguće je dokazati Eco Plate Biolog softverom. To ih čini vrlo korisnom informacijom u vezi sa promjenom životne sredine, uzrokovanе prisustvom EmS u vodi (Radonjić, 2016). Kombinacija metoda omogućava različita istraživanja na akvatičnim ekosistemima.

1.4 MIKROORGANIZMI U VODENIM EKOSISTEMIMA

U prirodnoj akvatičnoj sredini dešavaju se fizički, hemijski i biološki procesi, koji utiču na sadržaj, transformaciju i kretanje konstituenata u vodi (Radonjić, 2016). Ovo saznanje se može vezati za i sadržaj EmS i EDCs, koje dospijevaju u vodene sisteme i utiču na strukturu životnih zajednica u vodi.

Transformacioni procesi u vodenoj sredini su:

- biorazgradnja (biodegradacija), mikroorganizmi koriste polutante za svoj metabolizam mijenjajući time njihove osobine;
- fotoliza-apsorpcija sunčeve svjetlosti (energije) od strane polutanata, što dovodi do hemijskih reakcija, a iste do promjene stepena toksičnosti;
- hidroliza-oksidacija, koju čine reakcije organskih polutanata i metala, dovodeći do nastanka manjih prostih jedinjenja;
- redukcija-oksidacija, koju čine reakcije organskih polutanata i metala, dovodi do otpuštanja ili primanja elektrona, što utiče na njihove osobine i toksična svojstva. Mikroorganizmi bitno utiču na odvijanje mnogih biohemijskih procesa u vodama, naročito hemijskih, koji uključuju organske i neorganske materije i oksido-redukticione procese. Alge se smatraju primarnim proizvođačima biološke organske materije u vodi, za razliku od bakterija, koje se smatraju reducentima, koji "cijepaju" hemijska jedinjenja na prostija i iz toga koriste energiju i nutrijente za rast i razvoj.

Pregled vode, posmatran sa aspekta sanitarne bakteriologije, koji se rutinski i svakodnevno vrši u gotovo svim laboratorijama za ocjenu higijensko-epidemiološkog stanja vode, često biva poistovjećen sa hidromikrobiologijom kao naukom (Radonjić 2006). Površinske vode predstavljaju vodene ekosisteme u kojima vladaju odnosi interakcije sredine i organizama, pa se i samo na osnovu njih može suditi o stanju i kvalitetu vode. Zato je pažnja biologa i mikrobiologa danas sve više usmjerena na mikroorganizme kao realan faktor razgradnje organskih materija u vodama, a time i sposobnosti autopurifikacije vode, što je i od osobitog značaja za očuvanje kvaliteta površinskih voda (Radonjić, 2006).

Glavni pravci istraživanja površinskih voda s mikrobiološkog aspekta su:

- utvrđivanje kvantitativnog i kvalitativnog sastava bakterioplanktona u površinskim vodama u što svrstavamo:
 1. istraživanje heterotrofnih bakterija (saprofita) u vodi;
 2. istraživanje fizioloških grupa mikroorganizama;
 3. istraživanje bakterija indikatora fekalnog zagađenja voda;
 4. dokazivanje prisustva patogenih bakterija u vodama.

Istraživanje bakterioplanktona u vodama obuhvata izučavanje autohtonih i alohtonih bakterija različitih metaboličkih tipova, kao i povezivanje dobijenih rezultata s ekološkim uslovima sredine, posebno organskim opterećenjem alohtone prirode.

Najrasprostranjenija grupa bakterija po tipu metabolismu u prirodi su heterotrofi, odnosno grupa hemoorganotrofa (ili samo organotrofa). Naziv heterotrofija (grč. heteros-drugi i

trophein-hraniti se) znači da ovi mikroorganizmi koriste materiju, koju je proizveo neki drugi organizam, a u mogućnosti su da metaboliziraju organsku materiju u aerobnim i anaerobnim uslovima (Petrović, 1998; Radonjić, 2006). Određivanje broja heterotrofnih bakterija u vodi jedan je od osnovnih parametara mikrobioloških laboratorijskih istraživanjima kvaliteta vode (Tumpling, 1969; Sladaček, 1973; Kohl, 1975; Ishida et al., 1980).

Heterotrofne bakterije indikatori su prisustva lako razgradivih materija u vodi, tj. dobroj dijelom, pokazatelj svježeg organskog opterećenja, pa je zato u postojećim sistemima za utvrđivanja kvaliteta vode broj grupe mikroorganizama u vodi uzet kao jedan od glavnih parametara (Tumpling, 1969; Sladaček, 1973; Kohl, 1975; Radonjić, 2006).

Oligotrofne bakterije nasuprot tome naseljavaju sredine, sa vrlo niskim koncentracijama organskih materija, ali kao fakultativni organizmi oni se mogu nalaziti i u sredinama sa većim koncentracijama tih materija. Ovo je grupa bakterija, manje je zahtjevna u pogledu hranjivih materija (grč. oligos-mali, trophein-hraniti se). Kada ove vrste bakterija dominiraju u vodi, voda je malo ili gotovo uopšte neopterećena zagađenjem, odnosno, pripada oligotrofnom tipu vode i u tom ekosistemu procesi autopurifikacije su izraženi (Petrović, 1998; Radonjić, 2006).

Jedan od najznačajnijih parametara, koji se određuje u vodi je Kohlov index (1975), koji je određen odnosom između broja fakultativnih oligotrofa i heterotrofa, i koji daje stanje kvaliteta vode sa šireg ekološkog aspekta. Odnos između fakultativnih oligotrofa i heterotrofa (index FO/H) predstavlja jedan od važnih parametara za procjenu stanja vode sa ekološkog aspekta (Đukić et. al., 1991; Radonjić, 2006), jer ukazuje na sposobnost samoprečišćavanja (Tabela 1)

Tabela 1: Kategorizacija voda u zavisnosti od indeksa FO/H (Kohl, 1975)

Vrijednost indeksa FO/H	Sposobnost samoprečišćavanja vode
< 1	Slaba
> 1	Zadovoljavajuća
> 10	Dobra

Voda je za mnoge mikroorganizme prirodno boravište, bilo one izvorske ili površinske. Razne grupe mikroorganizama nalaze se u vodama, kao sastavni dio njene autohtone mikroflore, ali su mnoge, zbog nedostatka adekvatnih metoda, još nedovoljno istražene (Ishida et al., 1982; Lafteva, 1987). Posebnu grupu mikroorganizama u vodenim sredinama predstavljaju alohtoni mikroorganizmi, koji dospijevaju u vode iz različitih izvora (vazduha, zemlje, od biljaka, životinja i čovjeka) (Leschine & Canale-Parola, 1983; Spino, 1985; Radonjić, 2006).

Kvalitativna i kvantitativna zastupljenost populacija mikroorganizama, odgovornih za pojedine faze transformacije materije, dobija sve veći značaj u okviru hidrobioloških pro-

učavanja (OECD, 1982; Đukić et al., 1991; Gajin et al., 1998).

Rijeke i jezera, prema nizu zajedničkih osobina, predstavljaju specifične ekosisteme, a jedna od najznačajnijih osobina je upravo ta što im mikroorganizmi čine značajnu biološku komponentu. Međutim, kvalitativni i kvantitativni sastav mikroorganizama određuje niz abiotičkih i biotičkih faktora: temperatura, hranjivi sastojci, količina padavina, količina rastvorenih gasova, intezitet svjetlosti, mikroflora okolnog zemljišta i razni zagađivači, kanalizacione i druge otpadne vode. U rijekama i jezerima se razvija mikroflora, koja može biti specifična za istraživanu rijeku ili jezero, u kojima može duže ili kraće opstajati (Radonjić, 2006).

Ekološka istraživanja populacija bakterija u vodama usmjerena na proučavanje autohtonih i alohtonih bakterijskih populacija različitih metaboličkih tipova, kao i na povezivanje dobijenih rezultata sa ekološkim uslovima sredine, posebno sa alohtonim organskim opterećenjem (Albright & Mc Crae, 1987). Ovakav pristup trebalo bi da omogući realniju procjenu kvaliteta vode, bolju prognozu stanja i adekvatniju zaštitu ispitivanih ekosistema.

1.5 BIOTIČKI FAKTORI

Biološka degradacija u vodenom stubu se odvija pod aerobnim i anaerobnim uslovima, a pored kiseonika zavisi od supstrata, temperature, kao i dostupnosti nutrijenata. Supstance koje ne podležu promenama aktivnošću mikrobijalne zajednice, mogu biti perzistentne.

Stepen degradacije zavisi od: sternog efekata, gustina elektrona, redoks uslova ali i dostupnosti EmS i EDCs. Upravo je ovo i razlog što se na nivou fizioloških grupa mikroorganizama očekuju i prve transformacije nastale navedenim procesima.

Dok steni efekat ima uticaja na transport supstance preko membrane stepen degradacije se povećava sa aerobnošću, izuzetak su PCB supstance, koje se bolje degradiraju u anaerobnoj sredini. Slatkovodni vodeni sistemi zbog obilnije organske materije imaju i raznovrsniju mikrobiološku zajednicu, što daje mogućnost potencijalo bolje razgradnje EmS i EDCs. Temperatura utiče na sastav konzorcijuma pa samim tim i na sudbinu EmS i EDCs, vrijednost pH neutralna vrijednost pH vodene sredine ima najviše upliva na degradaciju. Degradacijom organskih materija mikroorganizmi dolaze do ugljenika i/ili energije.

Mogući izvor kiseonika za prokariote su alifatične supstance mada njihova razgranata struktura može umanjiti stepen ili brzinu degradacije. Molekule srednje molekulske veličine (u aerobnoj sredini) karakteriše najbolja razgradnja, ali ova karakteristika se smanjuje sa povećanjem molekularne veličine, sa povećanjem molekulske mase, otežan je prekomembranski transport i smanjena rastvorljivost, pa su ove supstance manje biodostupne. Supstance manje molekulske mase imaju veću rastvorljivost, mogu biti usvojene u većoj

konzentraciji pa na taj način, jer ćelija ne prepozna i ne razumije toksikološke implikacije mogu biti "toksične".

Značaj se naglašen na niske doze kojima EmS i EDCs u koncentracijama pikomolarnog i nanomolarnog ranga, mimikrujući prave hormone imitiraju njihove funkcije i cikluse. Zahvaljujući kiseoniku u svojoj strukturi jedinjenja kao alkoholi, aldehidi, ketoni i karboksilne kiseline će lako podleći degradaciji i u anaerobnoj sredini (Nyholm et al., 1996+).

Za razgradnju alicikličnih jedinjenja često su potrebni aerobni uslovi, pa se degradiraju putem kometabolizma (oksidacija supstance, koja se ne koristi za bakterijski rast (Nyholm et al., 1996) ili komensalizma (interspecijski odnos koji je pozitivan za komensala, a neutralan po drugu vrstu) Stirling & Watkinson, (1977). Ovi interspecijski odnosi konzorcijuma doprinose potpunoj mineralizaciji, ali je brzina degradacije ograničena brojem alkil grupa. Ako se metabolizam ili ekskrecija EmS odvija sporije od usvajanja dolazi do bioakumulacije (škrge, dermalno, inhalacija ili ingestija), što inicira, biotransformacije, detoksifikacije, akumulacije i ekskrecije (toksikokinetike) različitih supstanci između organizma i životne sredine (Landis, 1995), može da se desi da koncentracija neke supstance u organizmu prevazilazi nivo iste u životnoj sredini.

Na bioakumulaciju ima uticaja, temperatura, pH, metabolizam, starost i pol organizma, vrsta organizma, ponašanje, sezonski ciklus...itd. Endokrini sistem je u mogućnosti da funkcioniše na principu "niskih koncentracija" hormona koji omogućavaju hormonalno aktivnih supstanci da cirkulišu i koegzistiraju (Welshons et al., 2003). Hormoni se prenose cirkulacijom do ćelija u cijelom tijelu a ponekada i u nervni sistem, gdje se vezuju za receptore i započinju mnoge reakcije. Osnovna karakteristika hormona (polipeptidnih i proteinskih) jeste da se deponuju u sekretornim vezikulama dok se ne pojavi potreba za njima. Stimulacija receptora na površini endokrinih ćelija dovodi do povećanja koncentracije cikličnog adenozin monofosfata (cAMP) koji zatim aktiviše protein-kinazu, čime započinje izlučivanje hormona.

Za razliku od peptidnih hormona koji su rastvorljivi u vodi, što im omogućava da lako uđu u vaskularni sistem i budu prenešeni do ciljnih tkiva, steroidni hormoni se sintetišu iz holesterola i rastvorljivi su u lipidima. Ne skladište se. Koncentracija hormona koja je potrebna za većinu metaboličkih i endokrinih funkcija je nevjerovatno mala. Njihova koncentracija u krvi iznosi od samo 1 pikograma (10^{-12} g) do najviše nekoliko mikrograma (10^{-6} g) po 1 ml krvi. Veličina izlučivanja različitih hormona je izuzetno mala i obično iznosi nekoliko miligrama ili mikrograma na dan. Prvi korak u djelovanju hormona jeste njegovo vezivanje sa specifičnim receptorom u ciljnog tkivu. Ćelije koje nemaju receptore za hormone ne reaguju na njih. Receptori se mogu nalaziti u ćelijskoj membrani ciljnih ćelija ili u citoplazmi ili jedru. Svi hormoni djeluju na ciljno tkivo gradeći kompleks hormon-receptor, pri čemu

se mijenja funkcija samog receptora pa tako aktivisan receptor izaziva hormonski efekat. Već decenijama poznato je da postoje endokrino uznemiravajuće hemikalije (EDCs) koje mogu da svojim izgledom ili funkcijom podstiču ili blokiraju prirodne hormone i mogu da loše utiču na organizme zahvaljujući efektima koji su poznati kao efekti niskih doza i nenemonocidni odgovori.

Male doze su defisane od strane Nacionalno Toksikološkog programa kao doze koje se javljaju u rasponu veličina izloženosti organizma a koji je po redu veličine manji od poznatih doza koje se koriste u "tradicionalnoj toksikologiji", a za koje su poznati efekti (Vandenberg, et al., 2012)

2. PREGLED DOSADAŠNJIH ISTRAŽIVANJA

Na osnovu uvida u stručnu literaturu može se konstatovati da su vodeni ekosistemi rijeke Morače i Skadarskog jezera istraživani sa različitim aspekata (fizičko-hemijskih, ekotoksikoloških, bioloških itd.). Međutim, ovi akvatični ekosistemi u pogledu ekološke mikrobiologije nedovoljno su izučavani.

Postojeći podaci o mikrobiološkom kvalitetu voda se uglavnom odnose na sanitarni aspekt i rađeni su uglavnom u sklopu programa od strane institucija kao što su Institut za javno zdravlje Crne Gore za potrebe Ministarstva zdravlja ili Hidrometeorološkog zavoda za potrebe Ministarstva ekologije i turizma. Ne postoje podaci da su istraživani akvacični ekosistemi proučavani sa aspekta EmS, EDCs ili farmaceutika u vodi.

Radulović, V. (1998) i Radulović, M. (2000) detaljno su izvršili istraživanja površinskih voda (rijekе Morače, Skadarskog jezera i rijeke Bojane) i utvrdili njihove hidrogeološke karakteristike. Jedno od najznačajnijih i najobimnijih istraživanja Skadarskog jezera obavljeno je u periodu od 1972 do 1977 godine, u okviru projekta "Limnološka istraživanja Skadarskog jezera" iz kojeg je proizašla i publikovana monografija: The Biota And Limnology Of Lake Skadar, (1981). Podatke o hemijskim karakteristikama vode Skadarskog jezera, i to više lokaliteta (Ušće Morače, Vranjina, Rijeka Crnojevića i dr.) daju Petrović i Beeton (1981), navodeći da su hemijske karakteristike voda Skadarskog jezera, rezultat uliva voda iz glavnih pritoka, sublakustičkih izvora, kao i razmjene između sedimenata vode i ekstenzivnih poplava.

U toku trogodišnjeg perioda (od 1992 do 1995) Institut za javno zdravlje Crne Gore istraživalo je kvalitet vode Skadarskog jezera, uključujući stepen autopurifikacije po Kohlu i hlorofil a.

Kao dio integralnog monitoringa kvaliteta sedimenata, tzv. trijadnog pristupa (SQT), organski ekstrakti sedimenata iz Skadarskog jezera istraženi su kako bi se procijenila moguća ekotoksikološka kontaminacija organskim zagadivačima i dobio sveobuhvatan uvid u ekotoksikološki hazard (Perovic et al. 2012). Trijadni pristup je obuhvatao tri komponente: 1) hemijsko opterećenje vode i sedimenata jezera; 2) bateriju biotestova na toksičnost (cito-toksičnost, embriotoksičnost, genotoksičnost, mutagenost, praćenje dioksinu i estrogenu, sličnih efekata) i 3) genetički profil diverziteta mikrobnih zajednica (Kostanjsek et al. 2006).

Istraživanja koja su sprovedena na školjkama *Unio pictorum* kao test organizmu, kako bi se utvrdilo moguće zagađenje rijeke Morače i Skadarskog jezera (Perovic et al, 2012) pokazala su oštećenje DNK na živim organizmima uzrokovanu pritiskom zagađivača i drugih stresora rijeke Morače i Skadarskog jezera.

Istraživanja ukupnog azota, ukupnog fosfora i hlorofila a, uz bakteriološke analize voda rijeke Morače, kao pritoka Skadarskog jezera pokazale su da postoji niska korelacija između ukupnog fosfora i suspendiranih materija. To zapažanje, u kombinaciji s visokim koncentracijama hranjivih materija i fekalnih bakterija tokom niskih protoka, sugerise da bi nedovoljno prečišćavanje otpadnih voda mogla biti važan izvor hranjivih materija za jezero (Skarbovik et al, 2014.).

Istraživanja bioakumulacije i translokacije različitih teških metala, osobito bakra, cinka, kadmija i olova, u različitim biljnim organima *Trapa natans* L. (korijen, stabljika i list) pokazalo se kao dobar indikator za procjenu ekološkog kvaliteta voda Skadarskog jezera (Kastartovic et al. 2020; Petrovic et al. 2020).

3. CILJ RADA

U okviru ovih istraživanja postavljeni su sledeći glavni ciljevi:

- Ispitati prisustvo EmS i EDCs supstanci u vodama rijeke Morače i Skadarskog jezera i kvantitativno izmjeriti njihovo prisustvo.
- Ispitati abudantnost fizioloških grupa mikroorganizama i odrediti njihov diverzitet. Takođe, kvantitativno i kvalitativno odrediti prisustvo mikroorganizama kao indikatora sanitarnog stanja voda rijeke Morače i Skadarskog jezera.
- Odrediti uzročno-posljedične odnose između fizioloških grupa mikroorganizama i prisustva EmS i EDCs supstanci, kao i utvrditi postoje li sezonske razlike u tom odnosu.
- Testirati bioakumulaciju EmS i EDCs supstanci u tkivima različitih vrsta riba, kao indikator koliko su dugo živi organizmi izloženi ovim supstancama u vodama rijeke Morače i Skadarskog jezera.
- Odrediti vrijednosti HQ – koeficijenta kao pokazatelja rizika opterećenosti vodenog ekosistema rijeke Morače i Skadarskog jezera hemijskim zagađivačima.
- Na osnovu dobijenih rezultata i integralne analize podataka istraživanja predložiti dopunu postojećeg programa monitoringa vodenih ekosistema rijeke Morače i Skadarskog jezera, kao i eventualne mjere njegove zaštite.
- Hipoteza: Sa razvojem urbanizacije sve više su vodeni ekosistemi rijeke Morače i Skadarskog jezera opterećeni različitim hemijskim supstancama koji mijenjajući sastav sredine utiču na žive organizme koji žive u tim ekosistemima. Pretpostavlja se da ti uticaji mogu dovesti kroz određeni vremenski period do promjene u strukturi mikrobne zajednice, odnosno do promjene u brojnosti, diverzitetu mikroorganizama kao i njihovog fenotipa.

4. MATERIJAL I METODE

4.1 OPIS ISTRAŽIVANIH LOKACIJA

Površinski tokovi Crne Gore pripadaju slivu Jadranskog i slivu Crnog mora. Od površinskih vodotoka Jadranskog sliva najznačajniji su: Morača sa svojim pritokama Zetom, Cijevnom, i Malom rijekom, Crnojevića rijeka, Biševina, Orahovačka rijeka, Crmnička rijeka, Grahovska i Nudolska rijeka (Radulović, 2000; Radonjić, 2006, 2018).

Rijeka Morača nastaje na koti 975 m od više potoka, koji se slivaju ispod padina Javorja i Zebalaca, među kojima su najveći Javorski i Rzavski potok. Izvorišno područje izgrađuju sedimenti Durmitorskog fliša u kojima je rijeka duboko urezala svoje korito. Od spajanja Rzavskog i Javorskog potoka do mjesta Mioske Morača ima pravac toka od sjeverozapada prema jugoistoku, odakle skreće na jugozapad. Kad napusti flišni teren, od mjesta Andrijevo, Morača teče dalje kroz karstno područje kao rijeka probojnica, tj. pravac toka je skoro, upravan na pravac pružanja slojeva. Na ovom dijelu rijeka je, probijajući se kroz krečnjake usjekla svoj duboki, impozantni kanjon zvani Platije. Kod Zlatice Morača ulazi u Zetsku ravnici kroz koju teče sve do ušća u Skadarsko jezero. S desne strane najveće su joj pritoke Požnja, Topli potok, Vrela, Zeta, Mareza i Sitnica. S lijeve strane njene najveće pritoke su: Slatina, Koštanica, Kruševački potok, Mala rijeka, Ribnica i Cijevna (Radulović 1989; Radonjić, 2006, 2018).

U izuzetno sušnim godinama korito Morače je suvo od Manastira Duge do ušće Zete i od Botuna do uspora voda Skadarskog jezera.

Skadarsko jezero nalazi se na krajnjem jugozapadnom dijelu Crne Gore. Napaja se vodom iz prostornog sliva, površine 5.490km^2 , od čega je na teritoriji Crne Gore 4.460km^2 , a na teritoriji Albanije oko 1.030km^2 . Povremeno Skadarsko jezero dobija vodu i od rijeke Drama čiji je sliv oko 14.000km^2 . Najvažnije pritoke Skadarskog jezera su: Morača, Karatuna, Bazagurska matica, Crnojevića rijeka, Orahovštica i Crmnička rijeka. Značajne količine vode jezero dobija preko vodotoka, koji dreniraju zbijenu izdan Zetske ravnice. To su Mala Morača, Plavnica, Zetica, Gostiljska rijeka, Pjavnik, Mala Mrka, Velika Mrka i Rujela. Osim navedenih rijeka, sa karstnog dijela terena, na području od albanske granice do Malog blata dotiču mnogobrojni povremeni vodotoci, kao oni što su u Murićima, Godinju, Komarnu, Podseljanima i Sinjcu.

Skadarsko jezero vodom napajaju i brojni podvodni izdani-vrulje (Radulović, 2000). Skadarsko jezero se odlikuje nizom specifičnosti (Petrović, 2017).

U Malom blatu postoje brojni podjezerski izvori (“oka”), među kojima su najznačajnije: Biotsko oko, Brodić, Bolje sestre, Crno oko, Bivo, Donja Krakala, Mala Šujica, Krstato oko, Bobovine i dr. Na području Karuča najznačajnija su Đurovo oko, Volač, Karuč, Gušeljevo, Njivice i dr.

Skadarsko jezero otiće rijekom Bojanom čiji je srednji protok preko $320 \text{ m}^3/\text{s}$.

Današnje korito Skadarskog jezera je dinarskog pružanja. Njegovi najniži djelovi nalaze se ispod nivoa mora čineći kriptodepresiju. Zapremina Skadarskog jezera varira od $1,76 \text{ km}^3$, pri najnižem vodostaju, do $4,06 \text{ km}^3$ pri najvišem vodostaju. To je ujedno najveća vodena masa na teritoriji Crne Gore.

4.2. KLIMATSKE KARAKTERISTIKE

Klimatske karakteristike karstnih terena Crne Gore su složene, što je posljedica prije svega blizine mora, geografske širine, velike raščlanjenosti reljefa, nadmorske visine, prostornog položaja visokih planina, rijeka, jezera i vegetacije.

Crna Gora je u pojasu koji predstavlja prelaz između sumporskog područja, visinskog pritiska i subpolarnih područja niskog vazdušnog pritiska. Iznad teritorije Crne Gore smenjuje se tropski vazduh, koji cirkuliše od pustinjskih krajeva Afrike i polarna strujanja sa ciklonskom aktivnošću, koja donosi obilne padavine u hladnjem periodu godine (Radulović, 2000).

Klima istraživanog područja je sredozemna i umjerena. Prema Statističkom godišnjaku Crne Gore iz 2017. godine središnja godišnja temperatura za opštinu Podgorica iznosi $18,74^\circ\text{C}$ sa središnjom sumom padavina od $257,05/\text{m}^2$ godišnje. Maksimalne izmjerene temperature za opštinu Podgorica iznosile su $39,9^\circ\text{C}$. Uglavnom neuravnoteženi raspored atmosferskih padavina i duži periodi aridnosti uslovljavaju specifičnosti u klimatskim rezimima istraživanih lokacija, odnosno samih vodenih staništa. Godišnji ciklus od toplog, sušnog i niskovodostajnog perioda, zamjenjuje hladniji do hladni ciklus sa izražajnim obiljem atmosferskog taloga i visokog vodostaja.

4.3 ISTRAŽIVANO PODRUČJE

Analizirani su uzorci vode uzorkovani zahvatom iz rijeke Morače i Skadarskog jezera (Slika 4.) Istraživanja su vršena u dvije etape. Prva “Skrining“ analiza vršena je vršena na pet lokacija: Vukovci, ”Lijevi krak rijeke Morače“, ”Desni krak rijeke Morače“, ”Kraljeva glavica“ - Vranjina, ”Tanki rt“ -ispod mosta-Jezero, a drugi dio istraživanja na šest lokacija : Zlatica/Smokovac, iznad grada Podgorice, kao ”nulta tačka“; Vukovci, ”Lijevi krak rijeke

Morače“, „Desni krak rijeke Morače“, „Kraljeva glavica“-Vranjina, „Tanki rt“ ispod mosta-Je-zero. Istraživanje je obavljeno u toku 2013-2018. godine. U toku 2013.-2014. godine uzorci za analizu su uzimani jedanput u toku novemra 2013. godine i jedanput u toku septembra 2014. godine kako bi se izveo „skrining“ istraživanih lokacija na prisustvo „ksenobiotika“.

Drugi dio eksperimenta izведен je mjesечно, u toku 2017. godine (januar, maj, jun, avgust, septembar, novembar i decembar) i januar 2018. godine. Prikazan je proljećno-ljetnji i jesenjo-zimski aspekt voda na istraživanim lokacijama na prisustvo EmS, upotpunjene mikrobiološke analize opisane poglavljem 4.6.

4.3.1 PREGLED ISTRAŽIVANIH LOKALITETA

Zlatica $42^{\circ} 46' 35''$ N; $19^{\circ} 29' 36''$ E

Vukovci $42^{\circ} 20' 02''$ N; $19^{\circ} 11' 60''$ E

„Lijevi krak rijeke Morače“ $42^{\circ} 25' 84''$ N; $19^{\circ} 13' 46''$ E

„Desni krak rijeke Morače“ $42^{\circ} 27' 70''$ N; $19^{\circ} 12' 32''$ E

„Kraljeva glavica“-Vranjina $42^{\circ} 27' 57''$ N; $19^{\circ} 12' 15''$ E

„Tanki rt“-ispod mosta $42^{\circ} 27' 90''$ N, $19^{\circ} 13' 49''$ E



Slika 4: Istraživani lokaliteti

4.4 UZORKOVANJE UZORAKA NA TERENU

4.4.1 UZIMANJE UZORAKA ZA FIZIČKO -HEMIJSKA ISPITIVANJA

Uzorci za hemijsku analizu uzimani su staklenim bocama (amber boce) od 1 jednog litra. Za određivanje koncentracije rastvorenog kiseonika u vodi korištene su Vinklerove boćice sa šlifovanim zatvaračima, pri čemu je kiseonik odmah fiksiran dodavanjem $1 \text{ cm}^3 \text{ KJ}$ plus $1 \text{ cm}^3 \text{ MgCl}_2$. Uzorci za određivanje biološke potrošnje kiseonika (BPK_5), uzimani su takođe Vinklerovim bočicama.

Standardnim metodama (Škunca-Milovanović i ostali, 1990) su određeni i pH, koncentracija rastvorenog kiseonika, BPK₅ i utrošak KMnO₄, nitriti, nitrati, fluoridi i hloridi.

4.4.2 UZORKOVANJE VODE ZA BAKTERIOLOŠKE ANALIZE

Uzorci vode za bakteriološku analizu uzimani su sterilnim bocama zapremine 1 dm³.



Fotografija 1: Uzorkovanje na lokalitetu "Desni" krak rijeke Morače (foto: iz sopstvene kolekcije)

Boca se otvara iznad površine vode, i boca se horizontalno potapa u vodu, puni se do 2/3 zapremine, zatim vadi iz vode, otvor se tretira plamenom i boca se zatvara. Uzorci su do laboratorije transportovani u najkraćem mogućem roku u terenskom frižideru sa patronima leda. Po prispjeću u laboratoriju uzorci su odmah mikrobiološki analizirani. Uzorci za analizu fizioloških grupa mikroorganizama uzimani su na isti način kao i za ostale bakteriološke analize.

4.4.3 UZORKOVANJE ZA "SKRINING" ANALIZE

Boce za hemijsku "skrining" analizu su isprane s vodom sa tri puta prije nego što se potapanjem izvrši uzorkovanje, to iz razloga da se površina stakla, hemijski uskladi sa uzorkom. Uzorci su pripremljeni na sledeći način: u 800 ml vode dodato je internog standard (phenanthrene-D10) u cilju postizanja krajnje koncentracije 1 µg/L, a zatim ekstrahovani sa 50-ml dichloromethane 20 minuta. Identifikacija komponenti vršena je korištenjem Wiley7n and NIST08 spekto-fotometrijske biblioteke.

Skrinig analiza je perforirana na gasnom-hromatografu Agilent 7890N uz maseno spektrometrijskim detektorom Agilent 5975 na Institutu za analitičku hemiju, Fakultet hemijske i prehrambene tehnologije, slovačkog Univerziteta za tehnologiju u Bratislavi u Slovačkoj (Fotografija 2).



Fotografija 2: 5 Agilent 7890N uz maseno spektrometrijski detektor Agilent 5975 (foto: iz sopstvene kolekcije)

Gasni hromatograf 7890N GC System (Agilent Technologies) opremljen split/splitless injektorom i povezan sa dva detektora: plameno-jonizacionim (FID) i masenim kvadrupolnim detektorom 5975C inert XL EI/CI MSD (Agilent Technologies) – za snimanje masenih spektara isparljivih i termički stabilnih jedinjenja tehnikama elektronske (70 eV) i hemijske jonizacije.

Gasna hromatografija u kombinaciji sa masenom spektrometrijom analizirane su uz korištenje kapilarnih kolona DB-FFAP 30 mx 250 mm ID, 0,25 mm, u scan modu akvizicije, carrier gas bio helijum protoka 1 ml/min, zagrijavanje, program 40°C, 10 min; Stopa 2°C / min do 230 °C splitless injektor (Sremački et al. 2014).

4.4.4 ODREĐIVANJE PRISUSTVO PHACS I EDCS U TKIVIMA RIBA

Priprema uzorka

Prisustvo farmaceutskih proizvoda i endokrino uznemiravajućih supstanci u tkivima sledećih vrsta riba: *Rutilus prespensis* (Karaman, S., 1924), *Squalius platyceps* (Župančić, et al., 2010), *Scardinius knezevici* (Bianco & Kottelat, 2005), *Chondrostoma ohridanum* (Karaman, 1924),

Cyprinus carpio (Linnaeus, 1758) i *Alburnus alburnus* (Bonaparte, 1845) ispitatano je koristeći (LC-MC; Liquid chromatography-tandem mass spectrometry LC-MS je tečna hromatografija u tandemu sa masenom spetofotometrijom), određena su na osnovu metode koje su uveli Huerta *et al.* (2013) na prisustvo PhACs, i metode Jakimska *et al.* (2013) za EDCs. Postupak pripreme uzorka je opisan procedurom:

Svaka vrste su ulovljene u tri primjerka. Determinacija riba urađena je po (Kattelat & Freyhof, 2009) a nomenklatura je usaglašena sa (Marić & Milošević, 2011).

Po pristizanju u laboratoriju, riba se sortira po vrstama, zatim očisti od škrga, krljušti i unutrašnjica, samelje se i potom zamrzne. Uzorci su potom liofilizirani su u liofilizatoru Instituta za biologiju mora, Kotor.



Fotografija 3: Liofilizator ALPHA za liofizaciju uzorka riba (foto: iz sopstvene kolekcije)

- Procedura liofilizacije:

Uzorak, koji se suši liofilizacijom, tokom sušenja prolazi kroz dvije faze: fazu primarnog sušenja i fazu sekundarnog sušenja.

Primarno sušenje je iz zamrznutog stanja (od -15°C do -70°C). Smatra se da je primarno sušenje završeno kad je u uzorku preostalo još 6-8 % vode, jer tada u njemu više nema leda pa je i sublimacija okončana. Primarnim sušenjem se iz uzorka izdvaja tzv. slobodna voda. Sekundarno sušenje je sušenje iz "tečnog" stanja i njime se nastoji ukloniti tkz. vezana voda, jer je ona u stvari i uzrok koji može spriječiti uspješno čuvanje liofiliziranog uzorka (Fotografija 3) posebno kod sobne temperature.

Analiza uzorka

Analiza uzorka riba izvršena je u Geroni na Institut Català de Recerca de l'Aigua ICRA/ Catalan Institute for Water Research ICRA koristeći prethodno optimizirane metode za PhACs (Huerta *et al.*, 2013) i za EDCs (Jakimska *et al.*, 2013).

A) PhACs

Metoda za određivanje koncentracija PhACs iz mišića riba zasnovana je na koraku ekstrakcije, pri čemu se koristi pritisak tečne ekstrakcije (PLE), nakon koje slijedi gel (GPC), čišćenje i ultraperformansa tečne hromatografije triple kvadropol masene spektro fotomerije (UPLC-MS/MS). Po 0,5 g homogenizata ulovljenih i zamrznutih riba stavljeno je pojedinačno u tuve uz tečnu ekstrakciju pod pritiskom ASE 350® (Thermo Scientific Dionex, USA), sa metanolom kao rastvaračem pri tome izvršene su 4 ekstrakciona ciklusa svaki od 5 minuta na temperaturu od 50° C. Finalna ekstrakcija bila nježno uvođenje azota u 1 ml metanola čime se finalnom ekstrakcijom dobio uzorak do uparenja. Sistem visokom pritisku i tečne hromatografije Agilent Technologies, USA, model 1260 Infinity, sa uz dodatak diode detektorom (PDA), korišteno je je za ispiranje sa gel permanentnom hromatografijom (GPC). 500 mikrolitara, ekstrakcije metanola je injektovano u EnviroPrep kolumni dijametra pora (300 mm × 21,2 mm × 10 µm), kompletirano sa PLgel Guard kolumnom (50 mm × 7,5 mm) (Agilent Technologies, USA), koristeći mobilnu fazu rastvor (5 mL min⁻¹ dihlor-metan : metanol u odnosu 90:10). Prečišćene frakcije sadrže targete između 13,5 i 26,5 min., nakon čega su sakupljene, osušene do isparenja i rekonstruisane uz 1 ml mobilne faze rastvora metanol: voda u odnosu 10:90. Tečna hromatografija u tandemu sa masenom spektrofotometrijom (HPLC-MS/MS), metod je prvenstveno prikazan i ravjen od Gros et al. (2012) i Huerta et al. (2013) uz korištenje Waters Acquity Ultra-Performance™ tečnog hromatografa koji je upotpunjena sa 5500 QTRAP hibridnim kvadrupol-linearnim jonsko-masenim spektrofotometrom sa ESI izvorom (Applied Biosystems, USA, model ABSciex 5500-QTRAP). Selektovane i monitoringovane reakcije SRM u tranziciji između prekusora jona i dva najabudantnija fragmenta monitoringovani su za svaku komponentu. Prva tranzicija je imala funkciju u kvantifikaciji, a druga kao potvrda identifikacije targetovanih komponenti. Zatim su utranzitovane vrijednosti upoređivane sa standardom i relativna abudanca uzorka je trebala da bude između ± 20% odnosa od dva SRM i analitičkog standarda. Kvantifikacija je izvedena internom kalibracijom uzorka. Metoda, validacija kriterijuma (recovery, matriks) mogu se naći u (Huerta et al., 2013). Hemijske strukture i prekusori jona ispitivanih hemikalija (Izračunato pomoću MarvinSketch software Huerta et al., 2013) prikazane su Prilogom 2.

B) EDCs

Koristeći se metodom (Jakimska et al., 2013) koja se zasniva na QuEChERS (Quick, Easy, Cheap, Effective, Rugged and Safe), ispitano je prisustvo 19 EDCs u tkivima riba. Metoda predstavlja kombinaciju (ultra high performance liquid chromatography coupled with tandem mass spec-trometry UHPLC-MS/MS).

PLE kondicioniranje uključuju ekstrakciju metanola u 4 ciklusa od 5 min svaki na 50⁰ C za 1 g uzorka homogenata ribe. Konačni ekstrakti su uparivani do suvoće pod strujom azota, rekonstituisani u metanolu i podvrgnuti se koraku prečišćavanja GPC-om (gel permeation chromatography) koji je izведен sa anAgilent 1260- Infinity high pressure liquid chromatography system with a diode array detector (HPLC-DAD) koristeći Agilentnu Enviro-Prep kolonu (300 mm × 21,1 mm, 10 m) spojeno sa zaštitnom kolonom PLgel (50 mm × 7,5 mm). Mobilna faza je bila DCM / MeOH (90: 10, v/v) pri brzini protoka od 5 ml / min u izokratskim uslovima, a injekcioni volumen je 250 L. Frakcije koje sadrže ciljna jedinjenja sakupljene su između 13,5 i 26,5 min, a zatim su isparene do suva. Nakon ekstrakcije i purifikacije uzorka izršena je analiza uzoraka je izvršena na Waters Acquity Ultra-PerformanceTM liquid chromatography system opremljeni dvosmjernim sistemom pumpi (Milford, MA, USA), koristeći kolonu Acquity BEHC18 (50 mm × 2.1 mm i.d., 1.7 µm particle size).

Optimizovani uslovi razdvajanja su bili sledeći: rastvarač (A) metanol i (B) voda (pH 9, podešen amonijakom) pri protoku od 0,4 mL /min.

Gradijentno ispiranje za režim pozitivnih jona (PI) je: 0–3 min, 30–100% A; 3–4,75 min, 100% A; 4,75–5,75 povratak na inicijalne uslove; 5,75–7 min, ekvilibrijum kolone i prebacivanje na mod negativnog jona (NI): 0–4 min, 30–100% A; 4–5 min, 100% A; 5–6 min povratka na početne uslove; 6–7,5 min, ravnoteža kolone. Kolona je održavana na 40⁰C u NI; temperatura nije kontrolisana u PI. Ubrizgana količina uzorka je bila 5 µL za oba načina jona. Fizičko-hemijska svojstva i hemijske strukture ciljnih jedinjenja dato je Prilogom 3.

4.4.5 UZORKOVANJE ZA ANALIZU FARMACEUTIKA U UZORCIMA VODE.

Uzorci su se standardno uzorkovali u staklene neprovidne (amber boce) zaštićeni od sunčevih zraka. Nakon uzorkovanja pod temperturnim režimom uzorci vode su donešeni u laboratoriju Odjeljenja biološke kontrole Hemomont. Tretirani automatskim tečnim ekstrakovanjem (SPE).

Specifičnost ove analitičke metode bazira se na automatskoj tečnoj fazi ekstrakovanja automatski ekstrakovanjem sa GX-271ASPECTM sistemom (Gilson, Villiers le Bel, France) Oasis ili Plexa, HLB (60 mg, 3 ml). Ovako specijalno pripremljeni uzorci su zamrznuti i poslati u Gerenu na Institut Català de Recerca de l'Aigua ICRA/Catalan Institute for Water Research ICRA gdje će se na osnovu ultra visoke performanse tečne hromatografije u tandemu sa masenom spektometrijom (UPLC-QqLIT) izvršiti analiza uzoraka (Gros et al., 2012).

Za izvođenje metode svi farmaceutski standardi su bili visokog stepena čistoće (>90%). Jedinjenja sa brojevima (Tabela 4.4.4.3, Prilog 3.) 1-17, 20, 23, 25, 28-30, 32-34, 36-42, 44-

47, 49, 51, 54-57, 59-79 i 81 su kupljeni od Sigma-Aldrich. Jedinjenja sa brojevima 9, 18, 19, 27, 43, 52, 53 i 80 su kupljeni od US Pharmacopeia (USP), dok su supstance sa brojevima 24, 26, 31, 35, 50, 48 i 79 su dobijeni od strane European Pharmacopeia (EP). Supstance sa brojevima 24, 26, 28-31, 37, 41, 42, 55, 61, 69, 79 i 81 su kupljeni kao hlorovodonične soli, 12, 17 i 18 kao natrijumske soli, 19 kao kalcijumska so, 25 kao hidrobromidska so, 43 kao tartrat, 50 kao bestilat, 51 kao kalcijumska so, 54 kao hydrogen sulfat i 56 kao hemisulfat. Na kraju, substance sa brojevima 21, 22 i 58 su dobijeni iz Toronto Research Chemicals (TRC). Izotopski obilježena jedinjenja koja su se koristila kao interni standard su bila erithromycin-N,N-dimethyl-13C, xylazined6, azaperone-d4, ibuprofen-d3, diazepam-d5, meloxicam-d3, ronidazole-d3, ofloxacin-d3, i fluoxetine-d5 kao hlorovodonične soli) od Sigma-Aldrich. Dexamethasone-d4, indomethacined4, antipyrine-d3, cimetidine-d3, bezafibrate-d6, gemfibrozil-d6, carbamazepine-d10, citalopram-d4 (as hydrobromide), atenolol-d7, warfarin-d5, hydrochlorothiazide-d2, valsartan-d8 and glyburided3 su kupljeni od CDN isotopes (Quebec, Canada) i azithromycin-d3, sulfamethoxazole-d4, acetaminophen-d4, venlafaxine-d6, amlodipine-d4 (as maleic acid salt), verapamild6 (kao hidrohloridne soli) i furosemide-d5 su bili iz Toronto Research Chemicals (Ontario, Canada). pripremljeni na osnovu težine u methanolu (u koncentraciji od 1000 mg/L), osim ofoxacin i ciprofloxacin, koji su rastvoreni u metanolu dodajući 100 _L od NaOH 1M, kao što je opisano od strane (Ibanez et al.,2009) i cefalexin koji je razblažen u HPLC stepenu vode, što je nagoviješteno od strane (Kantiani et al. 2009) budući da su ove supstance slabo rastvorljive ili potpuno nerastvorljive u čistom metanolu. Nakon pripreme, standardi su čuvani na -20°C. Posebne mjere predostrožnosti su bile uzete u obzir za tetracycline, koji mora da se drži na tamnom mjestu, da bi se izbjegla njegova izloženost svjetlosti, zato što je demonstrirano da su tetracycline antibiotic podložni fotodegeneraciji (Eichhorn et al. 2009). Svježe zalihe antibiotskih rastvora pripremane su svakih tri mjeseca dok su za fluoroquinolone antibiotik pripremljeni mjesечно zbog svoje ograničene stabilnosti. Zalihe rastvora za ostale supstance su obnavljanje svakih 6 mjeseci. Radni standardni rastvori koji sadrže sve farmaceutike su takođe pripremljeni u metanolu/vodi (10:90, v/v) i obnovljeni prije svakog analitičkog izvršavanja miješanjem odgovarajućih količina intermediate rastvora. Odvojene smješe izotopski obilježenih internih standard, korišteni za internu kalibraciju, i surogati, su takođe pripreljeni u metanolu i dalja razblaživanja su takođe pripremana u smješi metanola/vode (10:90, v/v). Ketridži korišteni za čvrstu fazu ekstrakcije su bili Oasis HLB (60 mg, 3mL), Oasis HLB (200 mg, 6ml) i Oasis MCX (60 mg, 6ml), od Waters Corporation (Milford, MA, USA).

Poslije izvršene optimizacija ekstrakcije čvrste faze izvršena je UPLC-ESI-(QqLIT) MS/MS, opisani u dijelu za analizu farmaceutika iz riba. Svi rezultati procesuirani su korištenjem Analyst 1.5.1 software.

4.4.6 TERENSKA MJERENJA POKAZATELJA KVALITETA

Na svim lokalitetima, obuhvaćenim ovim istraživanjem, prilikom izlaska na teren obavljena su mjerena temperature vazduha i vode. Temperature vode i vazduha mjerene su termometrom sa tačnošću od $0,1^{\circ}\text{C}$. Temperatura vode je očitavana nakon stabilizovanja u digitalnom pokazivaču poslije uranjanja termometra u vodu. Temperatura vazduha mjerena je pošto je termometerar 5 minuta stajao u sjenci na visini od oko 1 metar od zemlje i stabilizovao vrijednost. Korišćen je isti termometar za mjerjenje temperature vode i vazduha.

Elektrolitička provodljivost mjerena je laboratorijskim i terenskim konduktometrom.

- Elektrolitička provodljivost

Elektrolitička provodljivost predstavlja mjeru ukupne koncentracije jona u uzorku vode. Provodljivost uzorka se određuje na WTW multiparametarskom uređaju.

pH vrijednost

- pH se određuje metodom direktne potenciometrije.

Instrument za određivanje pH vrijednosti naziva se pH-metar. Za mjerjenje pH vrijednosti koristi se par elektroda: indikatorska (staklena) i referentna (kalomelova ili srebro-srebro-hloridna) elektroda. Mjerjenje potencijala indikatorske elektrode svodi se na mjerjenje elektromotorne sile (EMS) sprega: indikatorska elektroda /ispitivan rastvor/ referentna elektroda.

Prilikom svakog mjerjenja pH vrijednosti uzorka obavezno se vrši kalibracija instrumenta. Svaki pH-metar ima uputstvo koga se treba pridržavati.

- Određivanje rastvorenog kiseonika

Rastvoren kiseonik se određuje primjenom jodometrijske metode (Winkler-ova metoda) i elektrometrijske metode (primjena membranske elektrode). Određivanje kiseonika membranskim elektrodama naročito je pogodno kada se radi o mjerenu na licu mjesta; u rijekama, jezerima, rezervoarima, izlivnim kanalima iz industrije, itd. Rezultat mjerjenja rastvorenog kiseonika se izražava kao sadržaj O_2 u mg/dm^3 .

Rastvoren kiseonik u vodi Winkler-ovom metodom veže se (fiksira) u obliku viših oksid hidrata mangana. Zatim se u kiseloj sredini pomoću dobijenih oksid-hidrata mangana oksiduje ekvivalentna količina jodidnog jona u jod koji se određuje titracijom sa natrijum-tiosulfatom.

Saturacija kiseonikom se računa kao procenat koncentracije rastvorenog kiseonika i odnosi se na potpunu saturaciju na temperaturi na kojoj je izvedeno mjerjenje. Ukoliko temperatura raste, koncentracija 100% saturacije opada. Barometarski pritisak i salinitet imaju uticaj na saturaciju, ali u manjoj mjeri.

- Biološka potrošnja kiseonika poslije 5 dana- BPK₅

Biološka potrošnja kiseonika- BPK₅, podrazumijeva količinu kiseonika u (mg) koja je potrebna mikroorganizmima za oksidaciju organske materije u 1 dm³ vode pod anaerobnim uslovima.

Određivanje se vrši pod standardnim uslovima u toku pet dana, na temperaturi od 20⁰C, bez prisustva vazduha i svjetlosti. Na terenu se po uzimanju uzorka kiseonik može vezati dodatkom po 1 dm³ MnCl₂·x4H₂O 40% i alkalnog rastvora KJ. Ovaj postupak (jodnodiferencijalni) se koristi za vode u kojima je smanjena koncentracija kiseonika.

Za uzimanje uzorka se koriste staklene Vinklerove boce sa brušenim zapušaćima, koso zatesanim na donjem kraju čija je zapremina poznata. Uzorci se ne smiju konzervirati. Nakon pet dana od uzorkovanja izvrši se fiksacija uzorka po Vinklerovom postupku. Uzorak iz vinklerice se prespe u erlenmajer od 500 cm³, boca sa uzorkom se ispere sa malo (oko 5 cm³ HCl (1:1)) dok se ne rastvori i to se doda u erlenmajer, zatim se dodaje skrob 0,5 do 1 cm³ do prelaska u crnu boju i titriše sa 0,01 N Na₂S₂O₃ do obezbojenja.

- Određivanje utroška kalijum permaganata (KMnO₄)

Određivanje ukupnih organskih materija u vodi ovom metodom, vrši se oksidacijom organskih materija kalijum permaganata u kiseloj sredini (H₂SO₄). Potrošnja KMnO₄ pri standardnim uslovima predstavlja mjerilo sadržaja organskih materija u vodi. Voda koja sadrži organske materije potrošiće određenu količinu KMnO₄ za njihovu oksidaciju. Količina utrošenog KMnO₄ zavisi od količine organskih materija u vodi ali i njihove hemijske strukture. Međutim i neke neorganske supstance na primjer: nitriti, Fe²⁺, H₂S i drugi, mogu pod određenim uslovima oksidovati KMnO₄, zato se potrošnja KMnO₄ može uslovno smatrati mjerilom sadržaja organske materije u vodi.

U Erlenmajerovu tikvicu od 300 cm³, odmjeri se 100 cm³ uzorka vode za analizu, 5 cm³ H₂SO₄ (1:3) i nekoliko staklenih perli. Zagrijava se do ključanja. U ključali rastvor se dodaje iz birete 15,00 cm³ 0,002 mol/dm³ KMnO₄ i nastavi sa zagrijevanjem još 10 minuti. Ako postoji ružičasta boja, u vruć rastvor se dodaje iz birete 15,00 cm³ 0,005 mol/dm³ oksalne kiseline i dalje zagrijava do potpunog obezbojavanja. Zatim se rastvor titrira sa 0,002 mol/dm³ KMnO₄ do pojave svjetlo-ružičaste boje, postojane 30 sekundi.

- Nitriti

Zapremina 100 ml uzorka vode se sipa u erlenmajer, sa dodatkom 2 cm³ sulfanilne kiseline i 2 cm³ alfa-naftil-amina. Promiješati i ostaviti da odstoji 10 minuta. Očitavati na Hellige-ovom komparatoru.

- Nitrati

Kvantitativno i kvalitativno određivanje se vrši pomoću nove metode, spektrofotometrijski.

Naime, u 50 ml uzorka vode doda se 1 cm³, 1 M HCl, promiješa i očitavanje vrši na talasnoj dužini od 220 nm.

- Hloridi

Ako ispitivana voda ne sadrži mnogo hlorida, što se može utvrditi kvantitativnim određivanjem, uzeti 100 cm³ uzorka, a za veće koncentracije srazmjerno manje i dopuniti destilovanom vodom do 100 cm³. Ako su količine hlorida pak neznatne, potrebno je upariti 250 cm³ uzorka ili više, do 100 cm³ uz energično povremeno miješanje tečnosti.

Sama titracija se vrši u erlenmajeru od 300 cm³ u kojem se uzorku od 100 cm³ ispitivane vode dodaje 1 cm³ indikatora (K_2CrO_4) i titriše rastvorom AgNO₃. Kraj titracije označava prelazak boje indikatora u slabo crvenkastu.

Sadržaj hlorida u (mg/dm³) u ispitivanom uzorku se računa na sledeći način:

$$mgCl/dm^3 = n(cm^3) AgNO_3 \times 10 \times 2$$

- Fluoridi

Koncentracija fluorid jona u vodi određuju se pomoću jon selektivne elektrode sa kristalom lantan-fluorida, pri čemu se obrazuje:

Ag/AgCl, Cl⁻(0,3 mol/dm³),

F⁻(0,001 mol/dm³)/ La F₃/ ispitivani rastvor/2KE

4.6 MIKROBIOLOŠKE ANALIZE

Mikrobiološke analize ispitivane vode vršene su standardnim bakteriološkim metodama (Pravilnik o uzimanju uzorka i metodama za laboratorijsku analizu vode, Sl. list RCG 16/96).

4.6.1 HRANLJIVE PODLOGE, REAGENSI, BOJE I RASTVORI

Gotove podloge i sastojci za podloge, korišćene u ovom radu, proizvod su Merck Germany. Korišćene su gotove i podloge koje je potreno pripremiti. Podloge koje je bilo potrebno pripremiti, su pripremane po specifikaciji proizvođača i sterilisane u autoklavu 15-20 minuta na 120°C pod pritiskom od 1,5 atmosfere.

4.6.2 METODE ZA BOJENJE MIKROORGANIZAMA

- Bojenje po Gram-u (Knežević-Vukčević i Simić, 1997)

Razmaz mikroorganizama na mikroskopskoj pločici je osušen i fiksiran na plamenu. Poslije osušenog razmaza dodat je kristal violet. Poslije 60 sekundi dodat je Lugolov rastvor, koji je nakon 30 sekundi ispran etanolom, pa destilovanom vodom. Zatim je dodat safranin i

nakon 60 sekundi preparat ispran vodom i osušen. Preparati su posmatrani pod svjetlosnim mikroskopom.

4.6.3 ODREĐIVANJE SANITARNE GRUPE MIKROORGANIZAMA

Pod sanitarnom grupom mikroorganizama podrazumijevaju se mikroorganizmi čije prisustvo ukazuje na organska opterećenja uzorka vode, koji mogu nastati prirodnim djelovanjem npr. percipitacijom, ili djelovanjem čovjeka na neki akvatični ekosistem ili dio ekosistema. Identifikacija mikroorganizama je izvršena uz korištenje aparta i softvera za identifikaciju BIOLOG <https://www.biolog.com/>. Ovim istraživanjem urađeno je:

- Određivanje ukupnog broja heterotrofnih bakterija u uzorku (Petrović et al., 1998)
- Određivanje ukupnog broja fakultativnih oligotrofnih bakterija (Petrović et al., 1998)
- Određivanje najvjerojanijeg broja koliformnih bakterija (Knežević – Vukčević i Simić, 1997)
- Određivanje broja *Proteus* vrsta (Sl. list RCG 16/96)
- Određivanje broja *Streptococcus faecalis* (Sl. list RCG 16/96)
- Određivanje broja sulfido redukujućih klostridija Sl. list RCG 16/96)

Jedan cm³ uzorka ispitivane vode ostavlja se u vodenom kupatilu na 80°C i inaktivise 15 minuta, zatim se do kraja epruvete dosipa sulfitni agar, kako bi se onemogućio kontak sa vazduhom i spriječio razvoj aerobnih bakterija na vrhu epruvete i epruveta se zatvori čepom. Nakon 48 časovne inkubacije izrasle kolonije sa crnim pigmentom se broje, a kao potvrda da se radi o sulfidoredukućim klostridijama prave se mikroskopski preparati.

4.6.4 ODREĐIVANJE FIZIOLOŠKE GRUPE MIKROORGANIZAMA

Pod pojmom fiziološka grupa bakterija podrazumijeva se određena grupa bakterija, čija je zajednička osobina da pokazuje određenu fiziološku aktivnost bez obzira na njihovu sistemsку pripadnost. Drugim riječima radi se o bakterijama koje posjeduju ekstracelularne enzime za razgradnju određenog supstata. Ovim ispitivanjem obuhvaćene su:

- proteolizne bakterije,
- lipolizne bakterije,
- amilolizne bakterije.

4.7 UTVRĐIVANJE BIOLOŠKIH PARAMETARA

Tokom ovog istraživanja utvrđeni su fenopip i fenotipske promjene fizioloških grupa mikroorganizama uz korišćenje (MicroLog and MicroPlateare trademarks of Biolog, Inc., Hayward, CA, 2007). Način izolovanja fizioloških grupa predstavljen je u dijelu Mikrobiološki parametri 4.6 adirektnom ekstrakcijom i tačnim biohemiskim reakcijama koje su ustanovili Garland and Mills (1991) određen je fenotip.

Fenotipske karakteristike mikrobioloških zajednica (CLPP) uveli su u nauku (Lehman et al., 1995), a sa namjerom da ukažu na karakteristike mikrobioloških zajednica, dok je pojam produbio i tehniku detaljno opisao Winding A. (1994).

Biolog™ Ecolog daje odgovore u funkcionalisanju mikrobioloških zajednica raznolikošću, sveukupnom vrijednošću i tačnim protokolom. Upravo sveukupna vrijednost može biti i najčešće je procijenjena, ukupnom brojem ili srednjom vrijednošću obojenih kupola AMR, ili izmjerrenom OD izražena vrijednošću CDM Garland (1996). Kasnih osamdesetih godina prošlog vijeka razvijen je i unaprijeđen BIOLOG sistem, u cilju identifikacije mikroorganizama na nivou fenotipa i izuzetno je značajan zato što svaka životna zajednica ima mogućnost reagovanja sa 95 različitih izvora ugljenika na mikrotitar ploči. BIOLOG sistem je u početku razvijen u farmaceutskoj, biotehničkoj, kozmetičkoj a poslije i medicinskoj i prehrabenoj industriji (Garland 1996).

Potencijalna identifikacija fenotipskih karakteristika voda ispitivanih lokacija, započinje ukapanje 150µL napravljene suspenzije u svaku od 96 kupola EcoPlate (Preston-Mafham et al., 2002; Winding, 1994). Uzorci su inkubirani 5 dana na 22°C.

Uzorci su analizirani BIOLOG™ EcoPLate (Slika 6) Mikrobiološkoj laboratoriji Hemomont d.o.o.

- CLPP je ekskluzivno uveden termin kako bi se mogle sistematizovati podaci dobijeni korištenjem BIOLOG™ mikroploča. BIOLOG™ EcoPlate sadrži 31 (Slika 5) različit izvor ugljenika koji je u tripletu. Pozicija 1. A je destilovana voda i služi kao negativna kontrola.

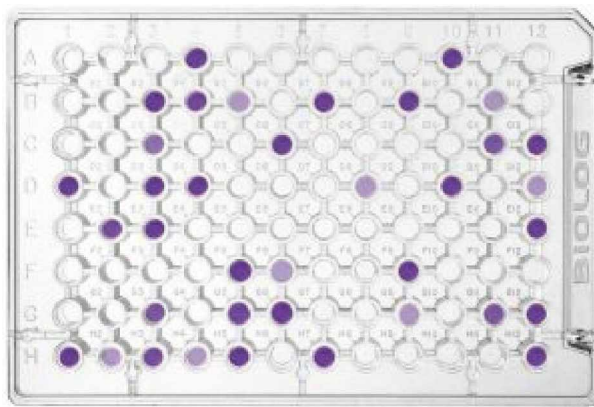
Biolog EcoPlate	1	2	3	4
A	Water	β -methyl-D-glucoside	D-galactonic acid γ -lactone	L-arginine
B	Pyruvic acid mthyl ester	D-xylene	D-galacturonic acid	L-asparagine
C	Tween 40	D-erythritol	2-hydroxy benzoic acid	L-phenylalanine
D	Tween 80	D-mannitol	4-hydroxy benzoic acid	L-serine
E	α -cyclodextrin	N-acetyl-D-glucosamine	γ -hydroxy butyric acid	L-threonine
F	Glycogen	D-glucosaminic acid	Iaconic acid	Glycyl-L-glutamic acid
G	D-cellobiose	Glucose-1-phosphate	α -ketobutyric acid	Phenylethyl-amine
H	α -D-lactose	D,L- α -glycerol phosphate	D-malic Acid	Putrescine



Slika 5: Prikaz jedinjenja koji se ispituju na BIOLOG™ EcoPlate

<https://biolog.com/products-portfolio-overview/microbial-community-analysis-with-ecoplates/>

Očitavanja se bilježe na osnovu promjene boje u određenim vremenskim intervalima i tj. reakcije koja se manifestuje promjenama u OD koje očitavamo kao brojnu vrijednost.



Slika 6: Mikroploča BIOLOG™

<https://biolog.com/products-portfolio-overview/microbial-community-analysis-with-ecoplates>

Prokariotske zajednice predstavljaju funkcionalne jedinice u koje su sumirane metaboličke

karakteristike bakterijskih individua, pa CLPP se u tom cilju koristi kao osjetljiva i brza metoda za prepoznavanje potencijalnih metaboličkog diverziteta mikrobioloških zajednica. Na osnovu ove metode moguće je da se prepozna prisustvo ostataka ugljovodonika, pesticida ili metala kao i ostataka emergentno uznemiravajućih supstanci. Razgradnjom izvora ugljenika, redukuje se i mikrobiološki medijum koji se nalazi u jednoj od 95 kupola, (ne i na poziciji (1,1) je ta pozicija negativna kontrola); dešavaju se promjene boje u nijansama narandžate. Odnosno te promjene boje, reakcije manifestuju se kroz izmjene i mjerena svjetlosne dužine (OD), a sama promjena u boji može da nam opiše mikrobiološku zajednicu kroz dva parametra a to su:

- Prosječan metabolički odgovor (AMR) je po definiciji srednja respiracija C-ničnih izvora koje koriste mikrobiološke zajednice. Predviđljiv je i mjerljiv a među zajednicama može biti upoređivan.

$$AMR = \Sigma(O.D.\text{well} - O.D.\text{neg}) / 95;$$

gdje je $(O.D.\text{well} - O.D.\text{neg})$ -odnos između izmjerene vrijednosti optičke gustine i negativne kontrole.

- Diverzitet metabolizma zajednice mikroorganizama (CMD) predstavlja ukupan broj promijenjenih medijuma na mikrotitar ploči, i analogan je sastavu i funkciji mikrobiološke zajednice. Mikrobiološki diverzitet zajednice se izračunava prostim brojanjem pozitivnih odgovora manifestovanih promjenom boje u narandžasto, (Slika 6) tokom inkubacije i mjerena aktivnosti.

4.8 PROCJENA RIZIKA KOJI MOŽE NASTATI DJELOVANJEM PHACS NA ORGANIZME U VODI IZRAČUNAVANJEM HQ HAZARD QUOTIENT-KOLIČNIKA ŠTETE SANCHEZ-BAYO (2002).

U ekološkoj proceni rizika PhACs, rizik se karakteriše koeficijentom hazarda (HQ) koji formalno predstavlja odnos maksimalno izmjerena enviromentalna koncentracija (MEC) i predviđene ne efektne koncentracije ekološkog (biološkog) efekta (PNEC).

$$HQ = MEC / PNEC \times 1;$$

gdje je:

MEC (maximum measured environmental concentration-maksimalno izmjerena enviromentalna koncentracija)

PNEC (predicted no effect concentration in water-predviđena koncentracija koja nema efekta).

Vrijednosti PNEC-a za PhAC za nektonske organizme (drugi trofički nivo, potrošači), uzeti su NORMAN network.

Ukoliko je vrednost koeficijenta hazarda manja od 1, odnosno, ako su maksimalno izmjerena enviromentalna koncentracija hemikalije niže od koncentracija bez efekta, smatra se da je ekološki rizik od primjene predmetne supstance prihvatljiv. Obrnuto, ukoliko je vrednost HQ viša od 1, odnosno, ako su maksimalno izmjerene enviromentalne koncentracije više od koncentracija bez efekta, smatra se da rizik nije prihvatljiv, što obično implicira planiranje i primenu niza mjera za umanjenje ekološkog rizika od predmetne supstance (PhACs).

4.9 STATISTIČKA OBRADA PODATAKA

Za ocjenu razlika u fiziološkom i sanitarnom aspektu uzorka vode sa istraživanih lokacija, kao i prikazivanje rezultata zimskog i ljetnjeg perioda, korišten je Mann Whitney U test, Pirsonova korelacija.

5. REZULTATI

5.1 FIZIČKO-HEMIJSKE KARAKTERISTIKE VODA ISTRAŽIVANIH LOKALITETA

Rezultati fizičko-hemijskih parametara voda istraživanih lokacija prikazane su prema vodenim režimima na "zimsko" i na "ljetnje" uzorkovanje Tabelama: 2, 3, 4 i 5.

Tabela 2: Rezultati fizičko-hemijskih analiza vode istraživanih lokaliteta za 2017-2018 godinu "zimski režim"

Ispitivani parametri jedinica mjere	Utvrdene vrijednosti															
	Rijeka Morača Zlatica/Smokovac (1)				Vukovci (2)				"Lijevi krak rijeke Morače"(3)				"Desni krak rijeke Morače" (4)			
	Januar 2017	Novembar 2017	Decembar 2017	Januar 2018	Januar 2017	Novembar 2017	Decembar 2017	Januar 2018	Januar 2017	Novembar 2017	Decembar 2017	Januar 2018	Januar 2017	Novembar 2017	Decembar 2017	Januar 2018
Utvrđene vrijednosti																
Temp. vode °C	3,0	13,0	7,0	4,0	5,0	18,0	11,0	7,0	5,2	18,0	12,0	7,2	5,1	18,1	12,0	7,1
Temp. vazduha °C	5,0	18,3	12,0	9,0	12,0	21,0	15,0	14,0	12,2	21,0	15,0	14,0	12,2	21,1	15,0	14,1
pH	7,36	7,91	7,32	7,59	7,42	7,96	8,03	7,56	7,20	7,98	8,09	7,36	7,41	7,95	7,78	7,32
Nitriti mg/dm ³	0,0	0,05	0,0	0,0	0,05	0,15	0,15	0,0	0,05	0,15	0,15	0,05	0,01	0,15	0,15	0,15
Nitrati mg/dm ³	1,0	0,5	1,0	1,0	1,5	2,5	1,5	1,5	1,5	1,5	1,5	1,5	1,5	2,0	2,0	1,5
Utros. KMnO ₄ mg/dm ³	2,69	5,9	5,9	2,94	5,2	7,25	7,52	5,32	5,96	8,0	7,14	5,60	5,86	8,02	7,09	5,54
O ₂ mg/dm ³	14,2	10,1	11,7	14,4	12,4	14,7	10,1	11,2	-	14,6	9,86	12,5	12,8	13,2	11,7	12,03

BPK _s mg/dm ³	0,91	2,02	1,39	0,46	2,77	2,72	0,99	1,25	2,43	2,86	1,15	2,51	2,36	2,71	1,91	2,02
Zasićenost vode kiseonikom %	125	125	102	127	99	115	125	101	100	109	102	125	104	102	111	98
hloridi mg/dm ³	4,06	-	4,0	4,09	4,09	4,0	4,0	4,0	4,0	4,02	4,0	4,0	4,0	4,0	4,0	4,0
fluoridi mg/dm ³	0,43	0,05	0,43	0,43	0,05	0,43	0,60	0,05	0,43	0,43	0,60	0,05	0,05	0,43	0,43	0,05
Elekrolitička provodljivost mS/cm	216	225	221	217	262	242	218	228	261	238	225	233	238	283	235	217

Tabela 3: Rezultati fizičko-hemijskih analiza vode istraživanih lokaliteta za 2017-2018 godinu "zimski režim"

Ispitivani parametri Jedinica mjeru								
	"Kraljeva glavica"- "Vranjina (5)				"Tanki rt"-Jezero(6)			
	Januar 2017	Novembar 2017	Decembar 2017	Januar 2018	Januar 2017	Novembar 2017	Decembar 2017	Januar 2018
Temp. vode °C	5,2	18,2	12,1	7,3	5,3	18,3	11,9	7,1
Temp. Vazd. °C	12,3	21,3	15,2	14,7	12,2	21,1	15,0	14,1
pH	7,45	7,98	7,8	7,5	7,43	7,99	8,05	7,8
Nitriti mg/dm ³	0,01	0,15	0,15	0,15	0,05	0,15	0,15	0,15
Nitrati mg/dm ³	1,5	2,0	2,0	1,5	1,5	2,0	2,0	1,5
Utroš. KMnO ₄ mg/dm ³	5,9	8,5	7,5	5,8	5,9	7,9	7,9	5,53
O ₂ mg/dm ³	11,5	12,2	12,7	12,1	12,5	13,2	10,0	10,2
BPK _s mg/dm ³	2,15	2,90	1,16	1,58	2,33	2,75	1,99	1,25

Zasićenost vode kiseonikom %	100	105	100	95	98	100	100	102
hloridi mg/dm ³	4,0	4,0	4,0	4,0	4,0	4,0	4,0	4,0
fluoridi mg/dm ³	0,05	0,43	0,43	0,05	0,05	0,43	0,43	0,05
Elekrolitička provodljivost mS/cm	213	233	236	263	260	222	220	236

U januaru, novembru, decembru 2017. godine i januaru 2018. godine, odnosno za vrijeme zimskog uzorkovanja, temperatura vazduha za lokalitet Zlatica/ Smokovac je varirala u rasponu od 5°C do 18,3°C, dok se temperatura vode kretala od 3°C do 13°C. Izmjerene vrijednosti za fluoride, nitrile i nitrite nalazile su se u dozvoljenim granicama i odgovaraju A1 klasi voda (Uredba o klasifikaciji i kategorizaciji voda "Sl list RCG 15/97"). Utrošak KMnO₄, tokom januara 2017. Godine je izosio 2,69 dok je u januaru sledeće godine izmjereno 2,94.

Na svim istraživanim lokalitetima utvrđene su relativno povoljne koncentracije kiseonika za zimski period. Utvrđene vrijednosti kretale su se uglavnom iznad 10,0 mg/dm³. Maksimalna vrijednost za zimski period registrovana je na lokalitetu Vukovci 14,4 mg/dm³ (tab.2) odnosno 14,9 mg/dm³ za ljetnji period (tab.3).

Minimalna vrijednost za koncentraciju kiseonika u vodi utvrđena je sa 9,86 mg/dm³, na lokalitetu "Lijevi krak rijeke Morače". U zimskom periodu voda rijeke Morače bila je zasaćena kiseonikom, odnosno prikazano u procentima uglavnom preko 100%. Vode Jezera i rijeke Morače na svim istraživanim lokalitetima dokazano su slabobaznog karaktera sa vrijednostima pH od 7,20-8,09.

Tabela 4: Rezultati fizičko-hemijskih analiza vode istraživanih lokaliteta za 2017. godinu "ljetnji režim"

Ispitivani parametri jedinica mjere	Utvrđene vrijednosti															
	Rijeka Morača Zlatica/Smokovac (1)				Vukovci (2)				"Lijevi krak rijeke Morače"(3)				"Desni krak rijeke Morače" (4)			
	Maj 2017	Jun 2017	August 2017	Septembar 2017	Maj 2017	Jun 2017	August 2017	Septembar 2017	Maj 2017	Jun 2017	August 2017	Septembar 2017	Maj 2017	Jun 2017	August 2017	Septembar 2017
Temp. Vode °C	8,9	10,0	11,0	12,2	9,5	13,8	20,0	20,0	10,9	13,0	20,0	19,4	10,5	12,3	20,0	18,9

Temp. vazduha °C	22,5	23,2	30,0	29,0	28,9	28,2	30,0	31,0	28,9	28,4	30,05	30,1	28,9	28,6	30,4	30,2
pH	8,09	8,02	8,24	7,96	8,26	7,99	8,04	7,75	8,39	8,06	8,08	7,75	8,06	7,98	8,05	7,99
Nitriti mg/dm ³	0,05	0,05	0,05	0,05	0,06	0,15	0,07	0,01	0,09	0,005	0,01	0,01	0,09	0,005	0,005	0,02
Nitrati mg/dm ³	1,0	0,5	1,0	1,0	1,6	1,5	1,5	1,5	1,0	2,0	1,5	1,5	2,0	2,0	1,5	1,5
Utroš. KMnO ₄ mg/dm ³	2,89	1,29	1,86	3,2	4,38	4,56	4,20	5,10	4,23	4,85	4,2	5,82	4,09	4,20	4,16	4,06
O ₂ mg/dm ³	14,9	14,2	13,2	-	-	12,7	13,8	15,1	14,0	12,7	12,1	13,2	14,3	13,6	13,3	14,6
BPK _s mg/dm ³	1,0	1,13	2,36	4,2	3,39	3,34	5,43	4,77	2,45	3,66	3,23	5,99	2,43	3,72	3,02	5,54
Zasićenost vode kiseonikom %	132	123	116	111	120	112	140	143	123	106	122	141	132	107	108	121
Hloridi mg/dm ³	4,3	4,2	4,6	4,6	4,3	3,5	3,2	4,7	4,5	3,5	3,5	3,5	4,5	3,5	3,5	3,5
Fluoridi mg/dm ³	0,03	0,05	0,05	0,04	0,03	0,05	0,05	0,05	0,05	0,03	0,05	0,05	0,05	0,5	0,05	0,06
Elekrolitička provodljivost mS/cm	208	323	323	239	248	310	310	244	289	284	275	281	300	265	285	295

Tabela 5: Rezultati fizičko-hemijskih analiza vode istraživanih lokaliteta za 2017. godinu "ljetnji režim"

Ispitivani parametri Jedinica mjere	Kraljeva glavica,-"Vranjina (5)								"Tanki rt"-Jezero(6)							
	Maj 2017		Jun 2017		Avgust 2017		Septembar 2017		Maj 2017		Jun 2017		Avgust 2017		Septembar 2017	
	Temp. vode °C	Temp. Vazd. °C	pH													
10,5	29,0	7,96	12,2	28,3	29,9	19,0	31,0	20,0	28,9	28,5	10,5	28,9	12,3	29,4	19,0	30,2
28,3	31,0	8,03	29,9	30,0	31,0	20,0	244	289	284	275	12,3	28,9	28,5	29,4	19,0	30,2
8,03	20,0	7,78	29,9	30,0	31,0	20,0	244	289	284	275	12,3	28,9	28,5	29,4	19,0	30,2
7,96	28,9	7,78	28,4	29,9	31,0	20,0	244	289	284	275	12,3	28,9	28,5	29,4	19,0	30,2

Nitriti mg/dm ³	0,05	0,05	0,005	0,01	0,05	0,005	0,05	0,02
Nitrati mg/dm ³	1,0	1,5	2,0	2,0	2,0	2,0	2,0	2,0
Utroš. KMnO ₄ mg/dm ³	5,04	3,54	5,14	4,89	5,09	3,20	4,16	4,63
O, mg/dm ³	12,9	12,6	13,3	13,1	12,6	12,3	13,2	13,2
BPK5 mg/dm ³	3,15	4,73	3,73	5,03	3,13	2,72	3,73	5,04
Zasićenost vode kiseoni- kom %	100	119	122	143	102	107	108	121
hloridi mg/dm ³	4,5	3,5	3,5	3,5	4,5	3,2	3,2	3,5
fluoridi mg/dm ³	0,05	0,5	0,05	0,06	0,05	0,5	0,05	0,06
Elekrolitička provodljivost mS/cm	301	264	232	298	320	310	314	298

Temperatura vode, lokaliteta "Lijevi krak rijeke Morače", za mjesec maj bila je 10,9⁰C, jun 13⁰C, a za avgust 2017. godine je iznosila 20,0⁰C. Temperatura vazduha izmjerena u maju 2017. godine bila je 28,9⁰C , u junu 28,4⁰C, dok je u avgustu iste godine bila 30,05⁰C (tab. 4).

Koncentracija fluorida, hlorida, nitrita i nitrata u vodi istraživanog lokaliteta, tokom 2017. godine, nije bila veća od MDK, pa se ista može svrstati u A1 klasu (Uredba o klasifikaciji i kategorizaciji voda, "Sl list RCG 15/97"). U vodi istraživanog lokaliteta izmjerene pH vrijednosti, su se kretale od 7,75 do 8,39. Utvrđene vrijednosti za utrošeni KMnO₄, na lokalitetu „Lijevi krak rijeke Morače“, kretale su se od 4,2 mg/dm³ do 5,82 mg/dm³.

Na lokalitetu "Kraljeva glavica" Vranjina tokom ljetnjeg izučavanja zabilježeno da je maksimalna temperatura vazduha za 2017. godinu bila 31,0⁰C, dok je minimalna temperatura iznosila 28,3⁰C (Tabela 5). Temperatura vode kretala se od 10,5 do 20,0⁰C. Elekrolitička provodljivost vode datog lokaliteta bila je od 232 μS/cm do 301 μS/cm. U toku ovog istraživanja izmjerene vrijednosti nitrita kretale su se u opsegu (0,005 mg/dm³ -0,01 mg/dm³), vrijednosti nitrata kretale su se (1,0 mg/dm³ -2,0 mg/dm³), dok su se vrijednosti fluorida i hlorida kretale: za fluoride (0,05 mg/dm³-0,5 mg/dm³) i hloride (3,5 mg/dm³-4,5 mg/dm³). Ovim rezultatima voda lokaliteta "Kraljeva glavica" -Vranjina, nalazile su se u dozvoljenim granicama, pa se ista može svrstati u A1 klasu (Uredba o klasifikaciji i kategorizaciji voda "Sl list RCG 15/97").

U toku „ljetnjeg režima“ vode istraživanih lokacija bile su saturisane kiseonikom i uglavnom su se vrijednosti kretale preko 100%. zasićenosti sa kiseonikom.

5.2. MIKROBIOLOŠKI KVALITET VODE ISTRAŽIVANIH LOKALITETA (U ODNOSU NA EKOLOŠKE PARAMETRE)

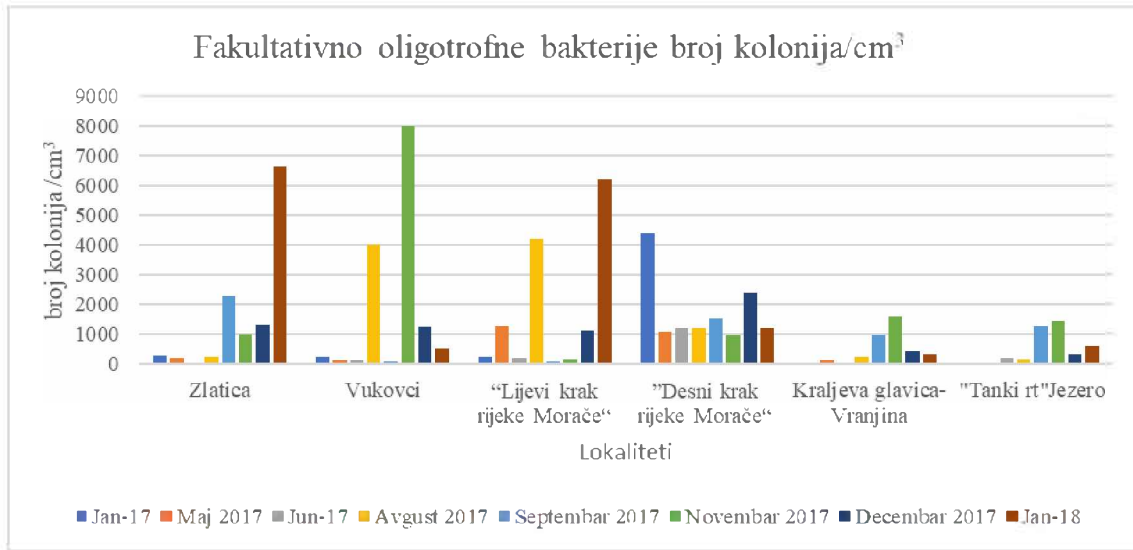
Mikrobiološki kvalitet vode istraživanih lokaliteta, predstavljen je najprije iz ugla ekoloških parametra, na osnovu kvanitativnih vrijednosti fakultativno oligotrofnih bakterija.

Fakultativno oligotrofne bile su zastupljene u svim analiziranim uzorcima vode i njihov broj je varirao od 12 do 8 000. Ova grupa bakterija bila je brojnija od heterotrofnih bakterija čiji je broj varirao od 11 do 6,650 kolonije u cm^3 vode (tab. 6). Iz iste tabele vidimo da srednja vrijednost amiloliznih bakterija, u vodi lokaliteta Smokovac/Zlatica bila je 597, a proteoliznih 562,75. Vrijednost za lipolitske bakterije na lokalitetu Smokovac/Zlatica u toku istraživanja spovedenih za karakteristične periode (zimsko i ljetnje uzorkovanje) kretala u intervalu od 12 do 1570 bakterija u 1cm^3 uzorka vode. Minimalna vrijednost MPN u zimskom periodu bila je 400 bakterija u cm^3 , a za ljetnji 96. Maksimalna vrijednost za “ljetnje” uzorkovanje bila je 96,000 u odnosu na “zimsko” 240,000. Srednja vrijednost koliformnih bakterija u ljetnjem periodu veća je pet puta u odnosu na zimski period.

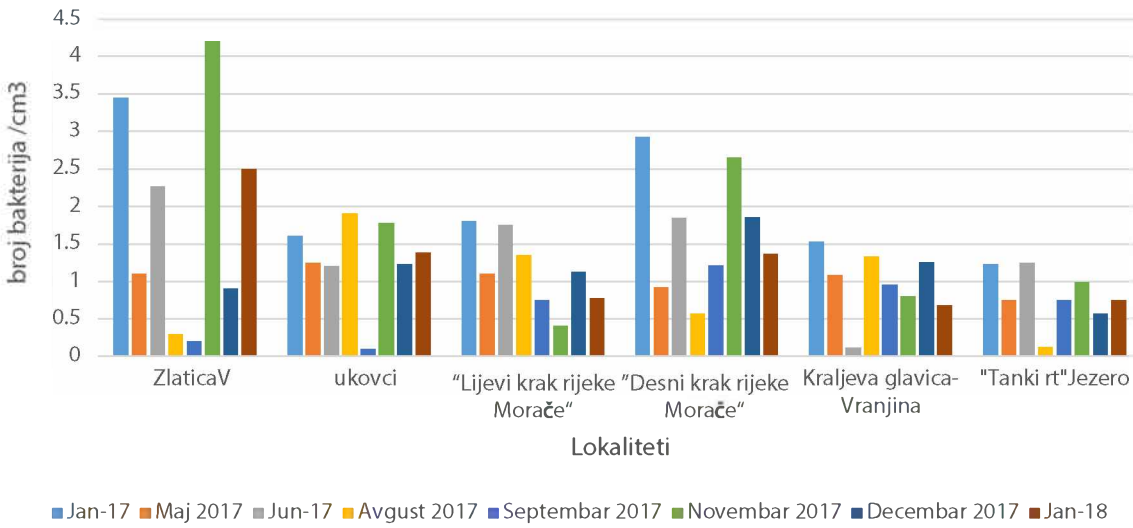
Ustanovljena je distribucija i sezonska dinamika fakultativno oligotrofnih bakterija u svim uzorcima vode istraživanih lokaliteta a prikazana je grafikom (Slika 7). Ova grupa bakterija je uglavnom bila brojnija od heterotrofnih bakterija na svim lokalitetima, što možemo vidjeti na osnovu grafika (Slika 9), što ukazuje na dominaciju autohtonih populacija mikroorganizama u vodi.

Upravo odnos broja fakultativnih oligotrofa i heterotrofa (indeks FO/H) predstavlja jedan od parametara za procjenu ekološkog stanja voda (Slika 8) jer ukazuje na njene sposobnosti samoprečišćavanja.

Slika 7: Fakultativno-oligotrofne bakterije - broj bakterija/cm³ po mjesecima i po lokacijama



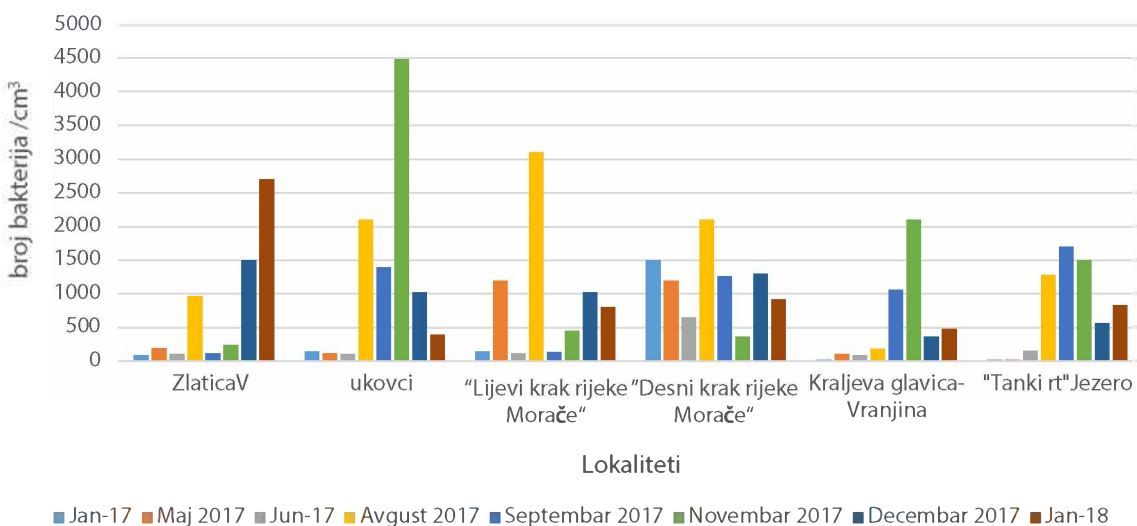
Slika 8: Odnos Fakultativno-oligotrofnih bakterija/heterotrofnih bakterija po mjesecima i po lokacijama



Na osnovu prikazanih rezultata možemo da kažemo da su se vrijednosti za sposobnost autopurifikacije na lokalitetima kretala od slabog do zadovoljavajućeg (Slika 8), te da su najbolji rezultati autopurifikacije zabilježeni su na lokalitetu Zlatica/Smokovac. Maksimalne vrijednosti zabilježene su u toku zimskog perioda i kretale su se od 3,5 za januar 2017. godine, pa do 4,2 u toku novembra 2017 godine. Slaba autopurifikacija za lokalitet Zlatica/Smokovac zabilježena je u toku avgusta, septembra i decembra 2017 godine. Lokalitet Vukovci je samo u toku septembra 2017. godine zabilježio slabu sposobnost samoprečišćavanja. Na osnovu Slike 8. vidimo da je za ostale mjesecce pokazao zadovoljavajuću autopurifikaciju. Lijevi i Desni krak rijeke Morače imali šest puta zadovoljavajuću, a dva puta (septembar i novembar 2017. godine) za Lijevi krak rijeke Morače, odnosno, (maj, avgust) za Desni krak rijeke Morače slabu autopurifikaciju. Na osnovu Slike 7 vidimo da se za lokalitete Kraljeva

glavica-Vranjina i "Tanki rt" - jezero vrijednost samoprečišćavanja kretala oko vrijednosti 1.

Slika 9: Heterotrofne bakterije - broj bakterija/cm³ po mjesecima i po lokacijama

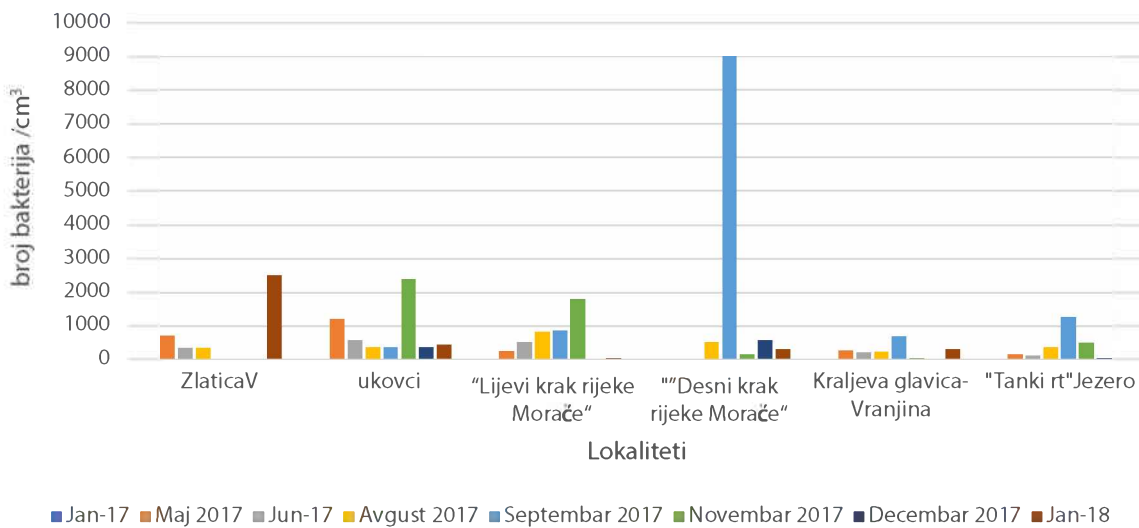


Brojnost heterotrofnih bakterija (Slika 9) najupečatljivija je za lokaciju Vukovci u toku novembra 2017. godine sa 4,500 bakterija. U toku avgusta (Slika 9) iste godine zabilježen je "pik" od preko 3000 za lokalitet "Lijevi krak rijeke Morače". Vrijednosti 4,500 i 3000 su ujedno maksimalno izračunate vrijednosti za ispitivane lokalitete, a minimalne vrijednosti heterotrofnih bakterija iznosile su 15 bakterija za "zimsko", odnosno, 11 za "ljetnje" ispitivanje.

Izuzetno značajan parametar mikrobiološko-ekološkog pregleda voda je svakako ispitivanje fizioloških grupa bakterija u vodi istraživanih lokaliteta, jer ukazuju na opterećenost vode specifičnim materijama, a njihova kvantitativnost na moguću razgradnju tih materija, odnosno ukazuju nam na prirodu mikrobioloških procesa.

Lokalitet Zlatica/Smokovac (Slika 10) u januaru 2017. godine, pa u novembru iste godine bilježi svom minimum vrijednosti za amilolitske bakterije od 2 bakterija, a u novembru 8 bakterija u cm³. Na istom lokalitetu u januaru 2018. godine amilolitske bakterije, su brojčano upečatljivo dominirale nad ostalom grupom fizioloških mikroorganizama sa 2500 bakterija. Pik amilolitske bakterije su zabilježili na lokalitetu Desni krak rijeke Morače u toku septembarskog uzorkovanja sa 9000 bakterija.

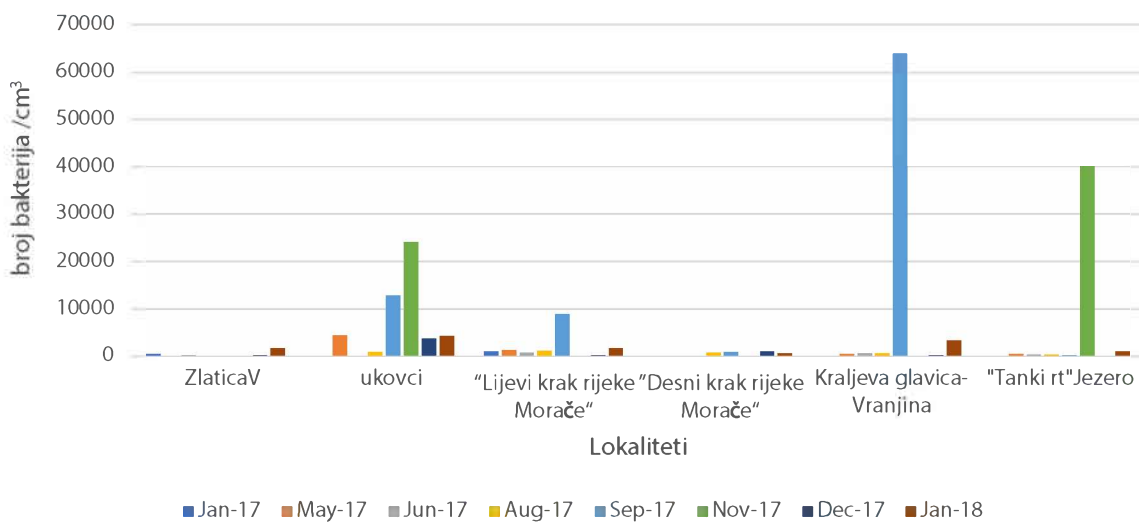
Slika 10: Amilolitske bakterije - broj bakterija/cm³ po mjesecima i po lokacijama



Na osnovu Slike 10 na svim lokalitetima zabilježena je distribucija amilolitskih bakterija kroz istraživanje. Amilolitske bakterije (Slike 10) zabilježile su apstinenciju na lokaciji "Lijevi krak rijeke Morače" tokom decembra 2017. godine. Upečatljiva je dominacija amilolitskih bakterija na lokaciji "Desni krak rijeke Morače" u toku septembra 2017. godine sa 9000 bakterija, opisana je kao "pik" na grafikonu: Amilolitske bakterije - broj bakterija/cm³ po mjesecima i po lokacijama. Smatra se da je vrijednost trenutno izazvana antropogenim zagađenjem.

Sa (Slike 11) za proteolitske bakterije 24,000 bakterija su izbrojane u novembru 2017, i to je njihova najveća brojnost, a 10 kolonije je najniža izbrojana vrijednost (Slike 11). Ovako odstupanje se može protumačiti samo trenutnim zagađenjem nastalim antropogenim uticajem koje je zabilježeno uzorkovajem, odnosno istraživanjem.

Slika 11: Proteolitske bakterije - broj bakterija/cm³ po mjesecima i po lokacijama

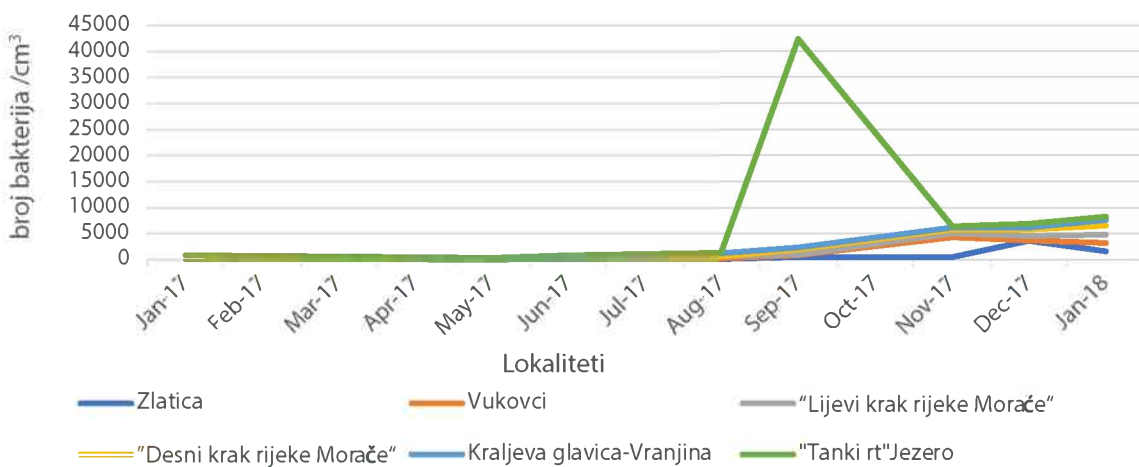


Na osnovu Slike 11 očitavaju se tri dominantna “pika”: “Kraljeva glavica” Vranjina preko 60000 proteolitskih bakterija, u septembru 2017. godine, drugi “pik” je na lokalitetu “Tanki rt” u decembru 2018. godine 40000 proteolitskih bakterija, i treći pik je na lokalitetu Vukovci u toku novembraskog istraživanja sa 24000 bakterija/cm³. Kako je zagađenje tačkasto i trenutno, jasno je da se radi o trenutnom atropološkom zagađenju, sporadično na lokalitetima u razičitim vremenskim intervalim

Koristeći se Slikom 12, konstatujemo da su lipolitske bakterije bile najbrojnije u toku septembarskog istraživanja sa 40000, a minimalno brojne tokom majskog istraživanja sa 20 bakterija. Slika 12 nam prikazuje da su lipolitske bakterije konstantno identifikovane na svim lokacijama. Ujednačenost abudance na istaživanim lokacija, samo je u toku septembra 2017. godine promijenilo odstupanje na lokaciji “Tanki rt-ispod mosta Jezero, kada je brojnost lipolitskih bakterija dostigla vrijednost od 40000 bakterija/ cm³.

Takođe, iz Slike 102 vidimo da su zabilježena dva manja “pika” u novembru 2017. godine sa vrijednostima od 5000 bakterija/cm³ na lokalitetu Vukovci i isto toliko na lokaciji Zlatica/ Smokovac u decembru 2017. godine.

Slika 12: Lipolitske bakterije - broj bakterija/cm³ po mjesecima i po lokacijama



5.2.1 STATISTIČKA OBRADA PODATAKA MIKROBIOLOŠKOG KVALITETA VODE ISTRAŽIVANIH LOKACIJA

Za ocjenu razlike u fiziološkom i sanitarnom aspektu sliva rijeke Morače između zimskog i ljetnjeg perioda za ukupan nivo kao i po lokacijama, kao i za ocjenu razlike u sanitarnom i fiziološkom aspektu između vode na lokaciji Zlatica, kao glavne tačke, i vode na drugim lokacijama (Vukovci, lijevi i desni krak Morače, Kraljeva glavica- Vranjina, Tanki rt-ispod mosta), korišten je Mann Whitney U test.

Statističkom analizom, korišćenjem Mann Whitney U testa (Tabela 6) prikazane su maksim

malne i minimalne vrijednosti tokom istraživanja, srednja vrijednost i standardana devijacija za sve grupe mikroorganizama na istraživanim lokacijama u toku 2017-2018. godine. Ukazano je na razlikama dobijenih rezultata za u toku "zimskog" i "ljetnjeg" uzorkovanja. Ocijenjene su razlike mikrobiološkog kvaliteta vode na istraživanim lokacijama kako i u pogledu rezultata dobijenih opservacijom fizioloških grupa mikroorganizama, tako i u sanitarnom aspektu mikrobiološkog kvaliteta vode istraživanih lokacija, gdje je kao "nulta tačka" bila lokacija Zlatica/Smokovac, hipotetički zamišljena kao tačka bez ili sa smanjenim antropogenim uticajem, jer se geografski nalazi izvan uticaja grada Podgorice.

Broj bakterija fakultativno-oligotrofnih bakterija kretao se zimi od 18 do 8000 bakterija po m³, a ljeti od 12 do 4200. 50% izmjerena vrijednosti zimi bilo je više od 507 bakterija po m³, a ljeti više od 609 bakterija/m³ što se statistički značajno ne razlikuje ($p = .529$). Najviše bakterija po cm³ izmjereno je u novembru za lokaciju Vukovci (8000), a najmanje u maju, svega 1. (Slika 13).

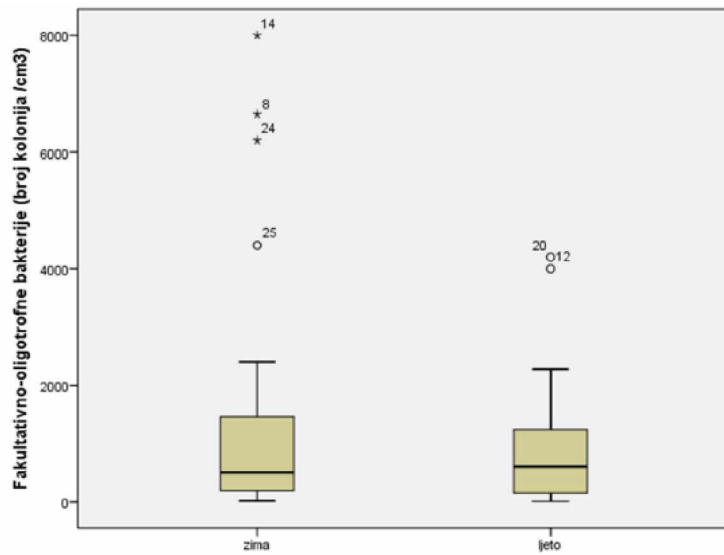
Na osnovu Tabele 6, vidimo da se broj bakterija heterotrofnih bakterija kretao se zimi od 15 do 4480 (lokacija Vukovci u novembru) bakterija po m³, a ljeti od 11 (lokacija Zlatica u junu) do 3100. 50% izmjerena vrijednosti zimi bilo je više od 678.50 bakterija po cm³, a ljeti više od 808.50 bakterija/m³ što se statistički značajno ne razlikuje ($p = .665$) 2 bakterija/cm³, na lokaciji Tanki rt-ispod mosta (Slika 14).

Broj bakterija amilolitskih bakterija kretao se zimi od 0 (lokacije Tanki rt ispod mosta, Kraljeva glavica i lijevi krak Morače u januaru i decembru) do 2500 bakterija po cm³, a ljeti od 7 do 9000 (izmjereno na lokaciji desni krak rijeke Morače). 50% izmjerena vrijednosti zimi bilo je više od 37.5 bakterija po cm³, a ljeti više od 370 bakterijac/m³. Značajno veći broj bakterija /cm³ amilolitskih bakterija na ovoj lokaciji nađen je ljeti je ($p = 0.014$), te postoji statistički značajna korelacija.

Tabela 6: Rezultati statistički utvrđenih razlika u fiziološkom i sanitarnom aspektu sliva Morače za 2017/18. god. u zimskom i ljetnjem periodu

	Zima					ljetno					p
	Mean	Std. Deviation	Median	Minimum	Maximum	Mean	Std. Deviation	Median	Minimum	Maximum	
	FO	1569.63	2309.594	507.00	18	8000	954.58	1143.309	609.00	12	4200
H	951.00	1012.857	678.50	15	4480	844.88	831.546	808.50	11	3100	0.665
A	400.42	739.098	37.50	0	2500	807.96	1778.367	370.00	7	9000	0.014
P	6645.71	15456.242	400.00	24	64800	4200.92	13093.274	558.00	20	64000	0.992
L	930.46	1011.400	675.00	13	3800	1869.96	8125.081	126.00	7	40000	0.001
MPN	37047.50	78863.048	3800.00	440	240000	9945.25	20479.508	3800.00	96	96000	0.256
KB	53861.88	92907.040	14000.00	150	240000	25478.50	62180.389	3800.00	20	240000	0.196
FO/H	1.5708	.95548	1.3100	.40	4.20	1.0063	.59142	1.0900	.10	2.27	0.038

FO- Fakultativno-oligotrofne bakterije (broj kolonija /cm³); H-Heterotrofne bakterije (broj kolonija /cm³); A- Amilolitske bakterije (broj kolonija /cm³) P- Proteolitske bakterije (broj kolonija /cm³); L- Lipolitske bakterije (broj kolonija /cm³); MPN- Najvjerojatniji broj koliformnih bakterija (broj kolonija /cm³); KB- Koliformne bakterije fekalnog porijekla (broj kolonija /cm³) FO/H-Odnos fakultativno-oligotrofne bakterije/heterotrofne bakterije.

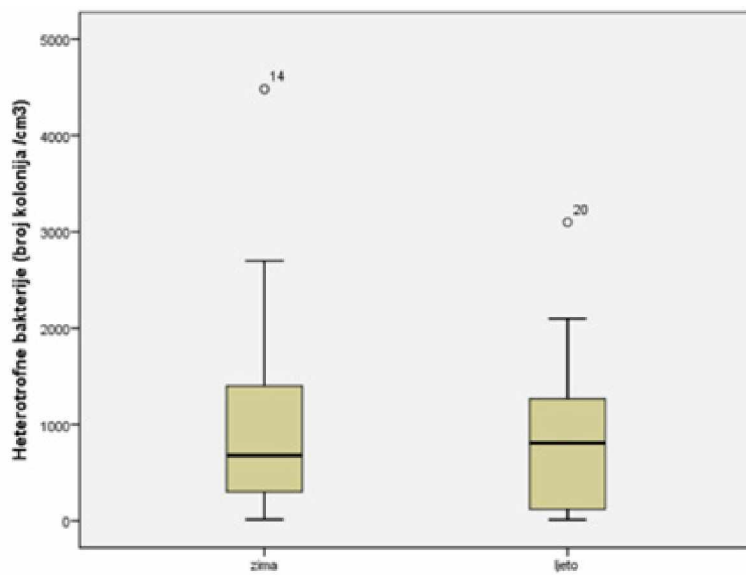


Slika 13: Fakultativno-oligotrofne bakterije mjerene na 6 lokacija: Zlatica, Vukovci, Lijevi krak rijeke Morače, Desni krak rijeke Morače, Kraljeva glavica-Vranjina, Tanki rt - ispod mosta

Ljetnji mjeseci: maj, jun, avgust, septembar 2017; zimski mjeseci: januar, novembar, decembar 2017. g i januar 2018.g.

Broj fakultativno-oligotrofnih bakterija kretao se zimi od 18 do 8000 bakterija po cm^3 , a ljeti od 12 do 4200. 50% izmjerenih vrijednosti zimi bilo je više od 507 bakterija po cm^3 , a ljeti više od 609 bakterija/ cm^3 što se statistički značajno ne razlikuje ($p = .529$)

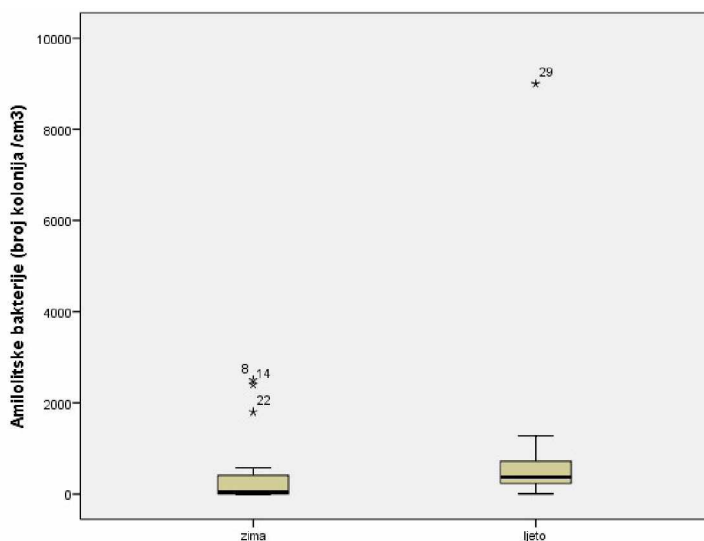
Najviše bakterija po cm^3 izmjereno je u novembru za lokaciju Vukovci (8000), a najmanje u maju, svega 12 bakterija/ cm^3 , na lokaciji Tanki rt-ispod mosta.



Slika 14: Heterotrofne bakterije mjerene na 6 lokacija: Zlatica, Vukovci, Lijevi krak rijeke Morače, Desni krak rijeke Morače, Kraljeva glavica-Vranjina, Tanki rt - ispod mosta.

Ljetnji mjeseci: maj, jun, avgust, septembar 2017; zimski mjeseci: januar, novembar, decembar 2017. g i januar 2018.

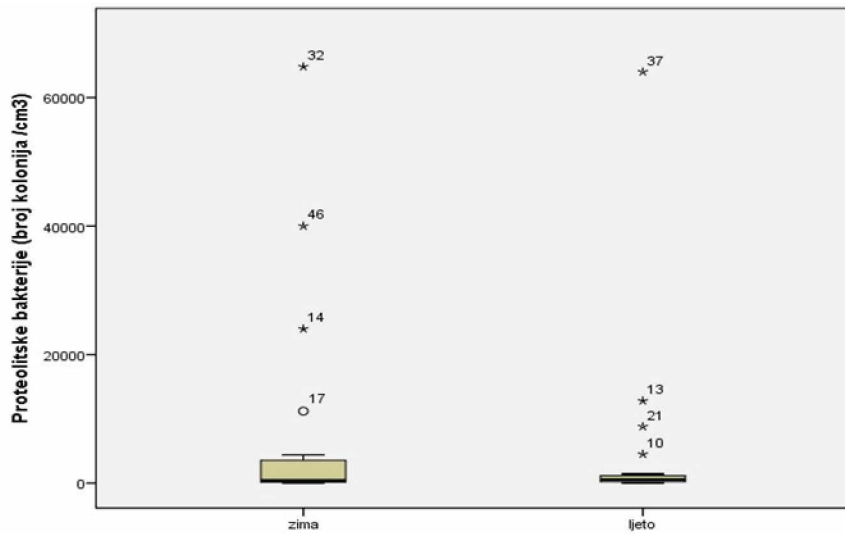
Broj heterotrofnih bakterija kretao se zimi od 15 do 4480 (lokacija Vukovci u novembru) bakterija po cm^3 , a ljeti od 11 (lokacija Zlatica u junu) do 3100. 50% izmjerena vrijednosti zimi bilo je više od 678.50 bakterija po cm^3 , a ljeti više od 808.50 bakterija/ cm^3 što se statistički značajno ne razlikuje ($p = .665$).



Slika 15: Amilolitske bakterije mjerene na 6 lokacija: Zlatica, Vukovci, Lijevi krak rijeke Morače, Desni krak rijeke Morače, Kraljeva glavica-Vranjina, Tanki rt - ispod mosta.

Ljetnji mjeseci: maj, jun, avgust, septembar 2017; zimski mjeseci: januar, novembar, decembar 2017. g i januar 2018.

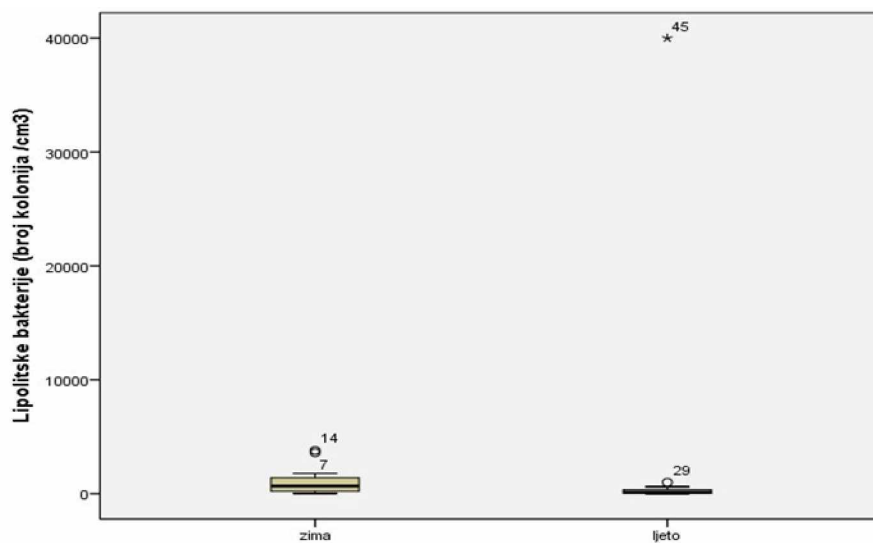
Brojnost amilolitskih bakterija za lokalitet "Kraljeva glavica"-Vranjina se tokom uzorkovanja mijenjala pa je u novembru 2017. godina broj amilolitskih bakterija bio je 0, dok je recimo u toku maja, juna, avgusta i septembra 2017. godine i u toku januarskog uzorkovanja 2018. godina brojnost prelazila 200 bakterija/ cm^3 . 50% izmjerena vrijednosti zimi bilo je više od 37.5 bakterija po cm^3 , a ljeti više od 370 bakterija/ cm^3 . Značajno veći broj bakterija/ cm^3 na ovoj lokaciji nađen je ljeti je ($p = 0.014$). Variranje u brojnosti ovih fizioloških grupa bakterija nije sezonskog karaktera, što ukazuje na antropogeni uticaj na istraživane ekosisteme.



Slika 16: Proteolitske bakterije mjerene na 6 lokacija: Zlatica, Vukovci, Lijevi krak rijeke Morače, Desni krak rijeke Morače, Kraljeva glavica-Vranjina, Tanki rt - ispod mosta

Ljetnji mjeseci: maj, jun, avgust, septembar 2017; zimski mjeseci: januar, novembar, decembar 2017. g i januar 2018.

Proteolitske i lipolitske grupe bakterija konstano su se kretale od 10-1000 bakterija /cm³. Sa grafika (Slika 16) uočavamo da je 50% izmjerenih vrijednosti "zimskog" uzorkovanje bilo brojčano više od 400 bakterija po cm³, a za vrijeme „ljetnjeg“ više od 558 bakterija/cm³ što se tumači kao statistički neznačajno, tj. prikazano kao zaključak ($p = 0.992$) za sve ispitivane lokacije u toku oba uzorkovanja. Proteolitska grupa mikroorganizama u toku ovog istraživanja bila je najabudantnija, te da je maksimalna vrijednost zabilježena u toku septembra 64,000 a najmanja sa 120 u toku novembra 2017. godine.



Slika 17: Lipolitske bakterije mjerene na 6 lokacija: Zlatica, Vukovci, Lijevi krak rijeke Morače, Desni krak rijeke Morače, Kraljeva glavica-Vranjina, Tanki rt - ispod mosta

Ljetnji mjeseci: maj, jun, avgust, septembar 2017; zimski mjeseci: januar, novembar, decembar 2017. g i januar 2018., P = 0.001

Broj bakterija lipolitskih bakterija (Slika 17) toku "zimskog" uzorkovanja kretao se od 13 do 3800 bakterija po cm³, a u toku "ljetnjeg" od 7 do 40000. 50% izmjerena vrijednosti dobijenih statističkom obradom podataka, pokazuje da je za „zimsko“ uzorkovanje bilo je više od 675 bakterija po cm³, a za „ljetnje“ manje od 126 bakterija/cm³, što je statistički manje značajno (p = 0.001).

5.3 MIKROBIOLOŠKI KVALITET VODE ISTRAŽIVANIH LOKALITETA I STATISTIČKA OBRADA PODATAKA MIKROBIOLOŠKOG KVALITETA VODE ISTRAŽIVANIH LOKACIJA U ODNOSU NASANITARNI ASPEKT

Sanitarni pokazatelji koji se primjenjuju u ocjeni prisustva patogenih mikroorganizama u vodi, su mikroorganizmi za koje su stalna životna sredina crijeva čovjeka i životinja. Prisutnost ovih mikroorganizama, njihova distribucija i populaciona dinamika indikatori su zagađenja i omogućavaju preciznu ocjenu stepena bakterijskog zagađenja vode.

Tokom ovih istraživanja registrovano je prisustvo koliformnih bakterija fekalnog porijekla. Za izračunavanje ukupnog broja bakterija bakterija (MPN), sadržanih u 100 ml vode, korištene su specijalne tablica po Swaroopu. Urađena je identifikacija *Streptococcus faecalis-a*, *Enterococcus sp.*, *Proteus* vrsta, *Clostridium perfringens* (Sulfidoredukuće klostridije), *Pseudomonas aeruginosa*, kao i ostalih vrsta *Enterobacteria*.

Streptococcus faecalis rijetko se nalazi sam u vodi. Obično je "udružen" sa drugom vrstom bakterija kao npr. sa *E. coli*, ili *C. perfringens*. Njegovo prisustvo sa ma kojom od navedenih vrsta bakterija pokazatelj je skorijeg ili starijeg fekalnog zagađenja. Kao isključivi indikator fekalnog zagađenja enterokok je "manje osjetljiv" nego *Escherichia coli*, tj. nalazi se u manjem broju od nje, otprilike za sto puta.

Svi tipovi Proteusa su crijevne bakterije, a neki spadaju u aktivne truležne bakterije (*Proteus vulgaris*, *Proteus mirabilis*). Prema tome, njihovo prisustvo u vodi ukazuje ne samo na fekalno zagađenje već i na zagađenje organskim materijama u raspadanju.

Clostridium perfringens-sulfidoredukuće klostridije čest je parazit u crijevima čovjeka i životinja. Njegove spore su otpornije od koliformnih bakterija i enterokoka u spoljašnjoj sredini, pa se njihovo prisustvo u vodama, posebno udruženo sa nekim drugim enterobakterijama, smatra kao potvrda fekalnog zagađenja skorijeg datuma.

Prisustvo sulfidoredukujućih klostridija u vodi ima sličan značaj kao i prisustvo enterokoka.

Prisustvo *Pseudomonas aeruginosa* u vodi dokaz je fekalnog zagađenja. Nalaz *Pseudomonas aeruginosa* sa nekom drugom bakterijom indikatorom fekalnog zagađenja, ukazuje na skorašnje zagađenje fekalijama i takva voda je nesumljivo opasna.

Ako se u ispitivanom uzorku vode nađe *Escherichia coli* "usamljena", tj. bez drugih bakterija, indikatora fekalnog zagađenja, mora se smatrati kao znak vremenski neodređenog, ali sigurnog fekalnog zagađenja, mada se može takođe protumačiti i kao pokazatelj "starih mikrobnih gnijezda", pa takvu vodu treba smatrati epidemiološki sumnjom. Ako se *Escherichia coli* u vodi nađe zajedno sa bilo kojom drugom bakterijom, ili sa bilo kojom drugom enterobakterijom, takav nalaz ukazuje na skorašnje zagađenje fekalijama i takva je voda epidemiološki opasna.

Istraživanja voda pomenutih lokaliteta Zlatica/Smokovac (1), Vukovci (2), "Lijevi krak rijeke Morače" (3), "Desni krak rijeke Morače (4), "Kraljeva glavica"-Vranjina (5), "Tanki rt"-Jezero (6), sa sanitarnog aspekta prikazana su tabelarno (Tabele: 7-12).

Tabela 7: Mikrobiološka analiza kvaliteta vode lokaliteta Zlatica u toku 2017/2018.godine

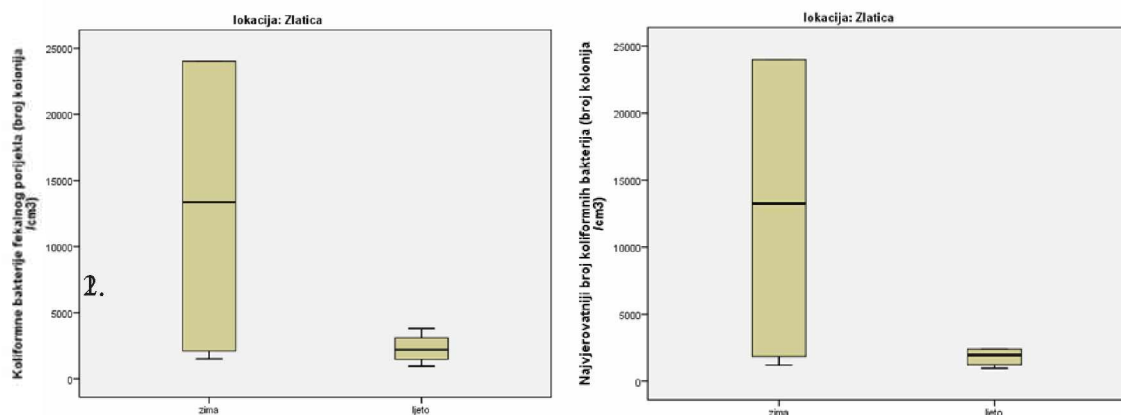
Ispitivani parametri	Rijeka Morača Zlatica-Smokovac (1)							
	Januar 2017	Maj 2017	Jun 2017	August 2017	Septembar 2017	Novembar 2017	Decembar 2017	Januar 2018
Koliformne bakterije fekalnog porijekla	24000	3800	2400	2000	960	24000	1500	2700
Najvjeroatniji broj koliformnih bakterija	24000	2400	2400	1500	960	24000	1200	2500
<i>Streptococcus faecalis</i>	-	-	-	2	-	2	-	-
<i>Proteus</i> vrste	-	-	-	-	-	-	-	-
Sulfidoredukujuće klostridije	-	-	-	-	-	-	-	-
<i>Pseudomonas aeruginosa</i>	-	-	-	-	+	-	-	-
IDENTIFIKACIJA BAKTERIJA	<i>Enterobacter cloacae</i> , <i>Klebsiella oxytoca</i> , <i>Citrobacter freundii</i> , <i>Citrobacter diversus</i> , <i>Serratia</i> sp.	<i>Citrobacter</i> sp., <i>Klebsiella oxytoca</i> , <i>Citrobacter freundii</i> , <i>Citrobacter aerogenes</i> , <i>Serratia</i> sp.	<i>Escherichia coli</i> , <i>Citrobacter</i> sp., <i>Serratia</i> sp.	<i>Klebsiella oxytoca</i> , <i>Streptococcus faecalis</i> , <i>Serratia</i> sp.	<i>Citrobacter</i> sp., <i>Pseudomonas aeruginosa</i>	<i>Streptococcus faecalis</i> , <i>Escherichia coli</i> , <i>Klebsiella oxytoca</i>	<i>Klebsiella pneumoniae</i> , <i>Enterobacter aerogenes</i> , <i>Citrobacter</i> sp.	<i>Citrobacter freundii</i> , <i>Escherichia coli</i>

Iz Tabele 7, vidimo da su koliformne bakterije fekalnog porijekla bile prisutne u vodi lokaliteta Zlatica/Smokovac tokom cijelogodišnjeg istraživanja. Njihova brojnost se kretala od 960 bakterija/ cm³ vode u avgustu pa do 24 000 u januaru i novembru 2017. Zabilježeno je

prisustvo vrste *Streptococcus faecalis* tokom juna i novembra. Na osnovu Tabele 7, uočavamo da je zabilježeno prisustvo baterije *Pseudomonas aeruginosa*, u septembru 2017. godine. Identifikovane su sledeće bakterije fekalnog porijekla: *Enterobacter cloacae*, *Klebsiella oxytoca*, *Citrobacter freundii*, *Citrobacter diversus*, *Serratia sp.*, *Citrobacter aerogenus*, *Streptococcus faecalis*, *Pseudomonas aeruginosa*, *Escherichia coli*, *Citrobacter freundii* identifikovani su na lokalitetu. Sulfidoredukujuće klostridije i *Proteus* vrste nisu identifikovane.

Sa Slike 18, uočavamo da se najvjerojatniji broj koliformnih bakterija /cm³ na lokaciji Zlatica se kretao od 1200 do 24000 u zimskom periodu, a od 960 do 2400 u ljetnjem periodu.

50% zimskih vrijednosti bilo je iznad 13250 bakterija/cm³, a ljetnjih iznad 1950 bakterija/cm³. Nema statistički značajne razlike ($p = 0.144$). Slika 18, nam je omogućila da vidimo da se broj koliformnih bakterija /m³ na lokaciji Zlatica se kretao od 1500 do 24000 u zimskom periodu, a od 960 do 3800 u ljetnjem periodu. 50% zimskih vrijednosti bilo je iznad 13350 bakterija/cm³, a ljetnjih iznad 2200 bakterija/cm³, pa samim tim nema značajne razlike u koliformnim bakterijama na lokaciji zlatica između ljeta i zime ($p = 0.245$).



Slika 18: Najvjerojatniji broj koliformnih bakterija (1) i Koliformne bakterije fekalnog porijekla (2) za lokalitet Zlatica

Na osnovu Tabela 7, imamo predstavu o sanitarnom aspektu mikrobiološkog kvaliteta voda na lokalitetu Vukovci. Koliforme bakterije najveću brojnost su imale tokom januarskog uzorkovanja 24,000 bakterija/cm³, a najmanju vrijednost 440 bakterija/cm³. Prisustvo *Streptococcus faecalis* zabilježeno je tokom majskog i novembarskog uzorkovanja, a *Proteus vulgaris* u toku januara 2018. godine.

Pseudomonas aeruginosa je identifikovan u avgustovskom, septembarskom i decembarskom istraživanju. Sulfidoredukujuće klostridije (1 bakterija/cm³) dokazane su u maju 2017. godine. Najčešće identifikovana koliformna bakterija fekalnog porijekla je *Escherichia coli*.

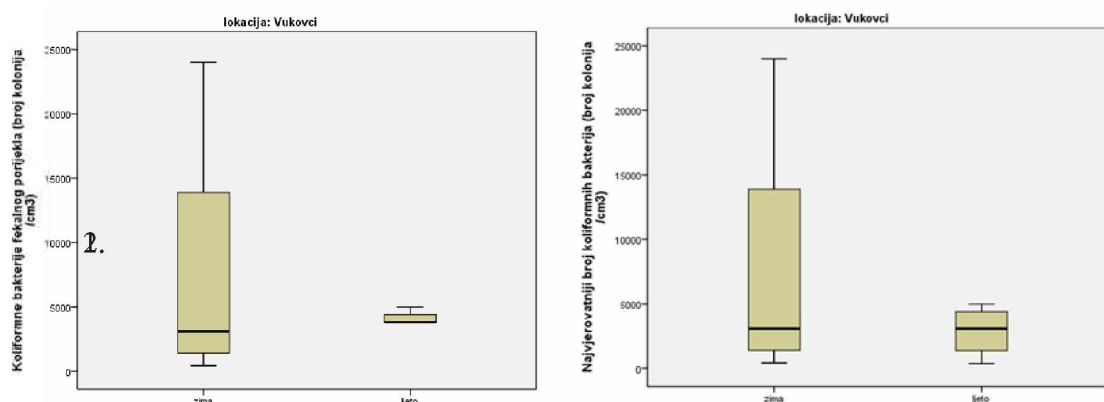
Najvjerojatniji broj koliformnih bakterija /cm³ na lokaciji Vukovci se kretao od 440 do

24000 bakterija/ cm³ u zimskom periodu, a od 380 do 5000 bakterije/cm³ u ljetnjem periodu. 50% zimskih vrijednosti bilo je iznad 3100 bakterija/cm³, kao i ljetnjih ($p = 0.770$).

Tabela 8: Mikrobiološki kvalitet vode lokaliteta Vukovci u toku 2017/2018. godine

	Vukovci (2)							
Ispitivani parametri	Januar 2017	Maj 2017	Jun 2017	August 2017	Septembar 2017	Novembar 2017	Decembar 2017	Januar 2018
Koliformne bakterije fekalnog porijekla	24000	3800	3800	3800	5000	2400	3800	440
Najvjerojatniji broj koliformnih bakterija	2400	380	2400	3800	5000	24000	3800	440
<i>Streptococcus faecalis</i>	-	2	-	-	-	38	-	-
<i>Proteus</i> vrste	-	-	-	-	-	-	-	+
Sulfidoredukuće klostridije	-	+ 1 kolonija	-	-	-	-	-	-
<i>Pseudomonas aeruginosa</i>	-	-	-	+	+	-	+	-
IDENTIFIKACIJA BAKTERIJA	<i>Escherichia coli</i> , Enterobacter sp.,	<i>Escherichia coli</i> , <i>Streptococcus faecalis</i> , <i>Citrobacter</i> sp.	<i>Escherichia coli</i> , <i>Citrobacter</i> sp.	<i>Klebsiella oxytoca</i> , <i>Pseudomonas aeruginosa</i> , <i>Klebsiella pneumoniae</i>	<i>Pseudomonas aeruginosa</i> , <i>Klebsiella pneumoniae</i>	<i>Streptococcus faecalis</i> , <i>Klebsiella oxytoca</i>	<i>Escherichia coli</i> , <i>Pseudomonas aeruginosa</i>	<i>Escherichia coli</i> , <i>Klebsiella ascorbata</i> , <i>Citrobacter freundii</i> , <i>Klebsiella oxytoca</i> , <i>Proteus vulgaris</i>

Slika 19: Najvjerojatniji broj koliformnih bakterija (1) i Koliformne bakterije fekalnog porijekla (2) za lokalitet Vukovci



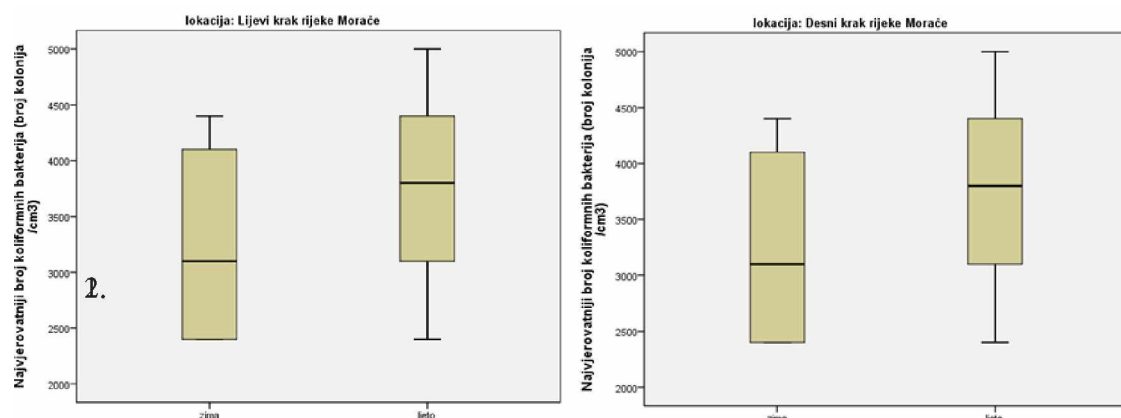
Na osnovu Slike 19, vidimo da se broj koliformnih bakterija fekalnog porijekla /cm³ na lokaciji Vukovci se kretao od 440 do 24000 bakterija/ cm³ u zimskom periodu, a od 3800 do 5000 bakterije/cm³ u ljetnjem periodu. 50% zimskih vrijednosti bilo je iznad 3100 bakterija/cm³, a ljetnjih 3800 što ne prestavlja značajnu statističku razliku ($p = 0.442$).

Najvjerojatniji broj koliformnih bakterija/cm³ na lokaciji Vukovci se kretao od 440 do 24000 bakterija/ cm³ u zimskom periodu, a od 380 do 5000 kolonije/cm³ u ljetnjem periodu. 50% zimskih vrijednosti bilo je iznad 3100 bakterija/cm³, kao i ljetnjih ($p = 0.770$), što se ne može smatrati kao statistički značajna razlika.

Tabela 9: Mikrobiološka analiza kvaliteta vode lokaliteta "Lijevi krak rijeke Morače" u toku 2017/2018. godine

Ispitivani parametri	"Desni krak rijeke Morače" (4)							
	Januar 2017	Maj 2017	Jun 2017	Avgust 2017	Septembar 2017	Novembar 2017	Decembar 2017	Januar 2018
Najvjerojatniji broj koliformnih bakterija	2400	3800	2400	3800	5000	2400	3800	4400
<i>Streptococcus faecalis</i>	-	-	20	-	-	23	-	-
<i>Proteus</i> vrste	-	-	-	-	-	-	-	-
Sulfidoredukuće klostridije	-	-	-	-	-	-	-	-
<i>Pseudomonas aeruginosa</i>	-	+	-	-	+	-	-	-
IDENTIFIKACIJA BAKTERIJA	<i>Escherichia coli</i> , <i>Enterobacter</i> sp., <i>Pseudomonas aeruginosa</i>	<i>Escherichia coli</i> , <i>Streptococcus faecalis</i> , <i>Citrobacter</i> sp.	<i>Escherichia coli</i> , <i>Streptococcus faecalis</i> , <i>Citrobacter</i> sp.	<i>Klebsiella oxytoca</i>	<i>Pseudomonas aeruginosa</i> , <i>Klebsiella pneumoniae</i>	<i>Streptococcus faecalis</i> , <i>Klebsiella oxytoca</i>	<i>Escherichia coli</i>	<i>Escherichia coli</i> , <i>Klebsiella ascorbata</i> , <i>Citrobacter freundii</i>

Slika 19: Najvjerojatniji broj koliformnih bakterija (1) i Koliformne bakterije fekalnog porijekla (2) za lokalitet Vukovci



Sa Slike 19, vidimo da se najvjerojatniji broj koliformnih bakterija /cm³ na lokaciji Lijevi krak rijeke Morače se kretao od 2400 do 4400 bakterija po cm³ u zimskom periodu, odno-

sno, 2400 do 5000 bakterija/cm³ u ljetnjem periodu. 50% zimskih vrijednosti bilo je iznad 3100 bakterija/cm³, a ljetnih iznad 3800 bakterija/cm³. Najvjerojatniji broj koliformnih bakterija /cm³ na lokaciji Lijevi krak rijeke Morače se značajno ne razlikuje između ljetnjeg i zimskog perioda ($p = 0.544$).

Najvjerojatniji broj koliformnih bakterija /cm³ na lokaciji Desni krak rijeke Morače se kretao od 2400 do 4400 u zimskom periodu, a od 2400 do 5000 u ljetnjem periodu. 50% zimskih vrijednosti bilo je iznad 3100, a ljetnih iznad 3800 bakterija/cm³ što ne prestavlja značajnu razliku ($p = 0.544$).

Tabela 10: Mikrobiološka analiza kvaliteta vode lokaliteta “Desni krak rijeke Morače“ u toku 2017/2018. godine

Ispitivani parametri	"Desni krak rijeke Morače" (4)								
	Januar 2017	Maj 2017	Jun 2017	Avgust 2017	Septembar 2017	Novembar 2017	Decembar 2017	Januar 2018	
Najvjerojatniji broj koliformnih bakterija	2400	3800	2400	3800	5000	2400	3800	4400	
<i>Streptococcus faecalis</i>	-	-	20	-	-	23	-	-	
<i>Proteus</i> vrste	-	-	-	-	-	-	-	-	
Sulfidoredukujuće klostridije	-	-	-	-	-	-	-	-	
<i>Pseudomonas aeruginosa</i>	-	+	-	-	+	-	-	-	
IDENTIFIKACIJA BAKTERIJA	<i>Escherichia coli</i> , <i>Enterobacter</i> sp., <i>Pseudomonas aeruginosa</i>	<i>Escherichia coli</i> , <i>Streptococcus faecalis</i> , <i>Citrobacter</i> sp.	<i>Escherichia coli</i> , <i>Streptococcus faecalis</i> , <i>Citrobacter</i> sp.	<i>Klebsiella oxytoca</i>	<i>Pseudomonas aeruginosa</i> , <i>Klebsiella pneumoniae</i>	<i>Streptococcus faecalis</i> , <i>Klebsiella oxytoca</i>	<i>Escherichia coli</i>	<i>Escherichia coli</i> , <i>Klebsiella ascorbata</i> , <i>Citrobacter freundii</i>	

Na osnovu (tab.10) vidimo da je u toku ovog istraživanja na lokalitetu "Desni krak rijeke Morače" identifikovano prisustvo koliformnih bakterija fekalnog porijekla kroz vrste: *Escherichia coli*, *Enterobacter* sp., *Streptococcus faecalis*, *Citrobacter* sp., *Pseudomonas aeruginosa*, *Klebsiella oxytoca*, *Klebsiella pneumoniae*, *Klebsiella ascorbata*, *Citrobacter freundii*, što ukazuje na stalno prisustvo organske materije uzrokovano antropogenim uticajem. Prisustvo sulfidoredukujućih klostridija i *Proteus* vrsta nije zabilježeno.

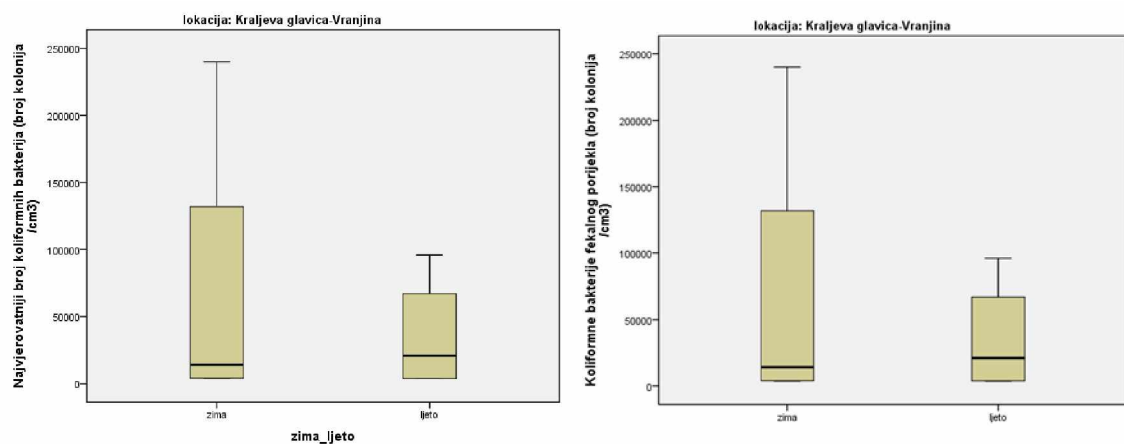
Na osnovu (tab. 11) uočava se da je na lokaciji "Kraljeva glavica-Vranjina" u julu 2017. godine izbrojano 38 bakterija *Streptococcus faecalis*, 15 bakterija sulfidoredukujućih klostridija u toku septembarskog ispitvanja, a jedna bakterija u maju 2017.godine. Prisustvo *Escherichia coli* dokaz je konstantnog zagađenja, dok je prisustvo truleži (*Proteus* vrste) dokazano je

u septembru 2017. godine. "rojenjem u /kroz podlogu". Identifikovana je bakterija *Proteus vulgaris*. U januaru 2018. godine dokazano je prisustvo *Proteus mirabilis*. *Pseudomonas aeruginosa* konstatovan je u toku juna i avgusta 2017.godine.

Tabela 11: Mikrobiološka analiza kvaliteta vode lokaliteta - "Kraljeva glavica"-Vranjina u toku 2017/2018. godine

Ispitivani parametri	"Kraljeva glavica"-Vranjina (5)							
	Januar 2017	Maj 2017	Jun 2017	Avgust 2017	Septembar 2017	Novembar 2017	Decembar 2017	Januar 2018
Koliformne bakterije fekalnog porijekla	240000	3800	38000	3800	96000	4000	3800	24000
Najvjerovatniji broj koliformnih bakterija	240000	3800	38000	3800	96000	4000	3800	24000
<i>Streptococcus faecalis</i>	-	-	38	-	-	-	-	-
<i>Proteus</i> vrste	-	-	-	-	+	-	-	+
Sulfidoredukuće klostridije		+ 1 kolonija	-	-	+ 15 kolonija	-	-	-
<i>Pseudomonas aeruginosa</i>	-	-	+	+	-	-	-	-
IDENTIFIKACIJA BAKTERIJA	<i>Klebsiella pneumoniae, Escherichia coli</i>	<i>Citrobacter sp., Klebsiella pneumoniae,</i>	<i>Escherichia coli, Streptococcus faecalis, Pseudomonas aeruginosa</i>	<i>Escherichia coli, Pseudomonas aeruginosa</i>	<i>Proteus vulga- ris,Citrobacter freundii</i>	<i>Klebsiella pneumoniae</i>	<i>Citrobacter divergen- s,Klebsiella oxytoca</i>	<i>Proteus mira- bilis, Klebsiella pneumonia, Providentia stuartii</i>

Slika 20 nam omogućava vidimo da se najvjerovatniji broj koliformnih bakterija /m³ na lokaciji Kraljeva glavica- Vranjina kretao od 3800 do 240000 u zimskom periodu, a od 3800 do 96000 u ljetnjem periodu. 50% zimskih vrijednosti bilo je iznad 14000 bakterija/m³, a ljetnjih 20900 što ne prestavlja statistički značajnu razliku ($p = 0.767$).



Slika 20: Najvjerojatniji broj koliformnih bakterija (1) i Koliforme bakterije fekalnog porijekla (2) za lokalitet "Kraljeva glavica"-Vranjina

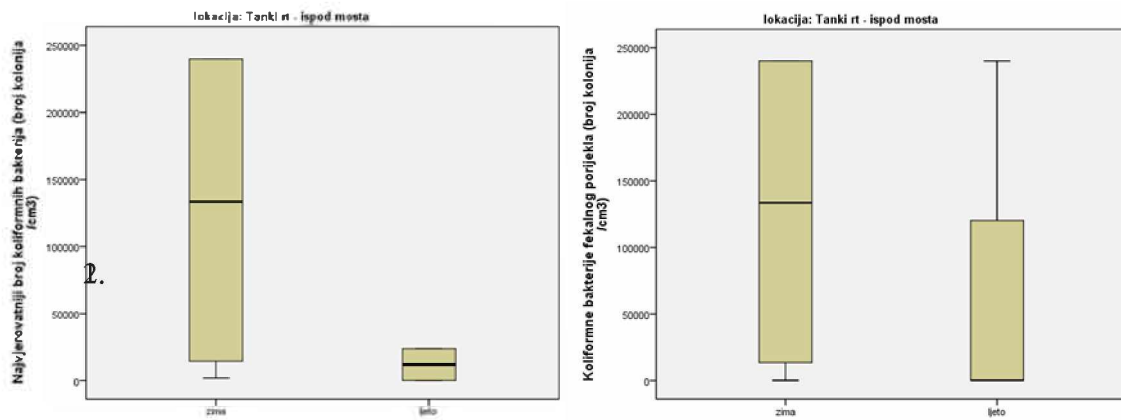
Na osnovu Slike 20, uočavamo da se broj koliformnih bakterija fekalnog porijekla/cm³ na lokaciji Kraljeva glavica-Vranjina kretao od 3800 do 240000 u zimskom periodu, a od 3800 do 96000 u ljetnjem periodu. 50% zimskih vrijednosti bilo je iznad 14000 bakterija/cm³, a ljetnjih 20900 što ne prestavlja značajnu razliku (p = 0.767).

Tabela 12: Mikrobiološka analiza kvaliteta vode "Tanki rt"- ispod mosta u toku 2017/2018. godine

Ispitivani parametri	"Tanki rt"- ispod mosta (6)								
	Januar 2017	Maj 2017	Jun 2017	August 2017	Septembar 2017	Novembar 2017	Decembar 2017	Januar 2018	
Koliformne bakterije fekalnog porijekla	240000	380	240000	20	96	240000	150	27000	
Najvjerojatniji broj koliformnih bakterija	240000	24000	24000	150	96	240000	2000	27000	
<i>Streptococcus faecalis</i>	-	-	-	10	-	20	-	-	
<i>Proteus</i> vrste	-	-	-	-	-	-	-	-	
Sulfidoredukujuće klostridije		+ 1 kolonija		-	+ 5 kolonije	-	-	-	
<i>Pseudomonas aeruginosa</i>	-	+	-	-	-	+	-	-	
IDENTIFIKACIJA BAKTERIJA	<i>Enterobacter cloacae</i> , <i>Klebsiella oxytoca</i> , <i>Citrobacter freundii</i> ,	<i>Citrobacter</i> sp., <i>Klebsiella oxytoca</i> ,- <i>Citrobacter aerogenus</i> , <i>Pseudomonas aeruginosa</i>	<i>Escherichia coli</i> , <i>Citrobacter</i> sp., <i>Serratia</i> sp.	<i>Klebsiella oxytoca</i> , <i>Streptococcus faecalis</i>	<i>Citrobacter</i> sp., <i>Citrobacter amalonatiens</i>	<i>Streptococcus faecalis</i> , <i>Escherichia coli</i> , <i>Klebsiella oxytoca</i> , <i>Pseudomonas aeruginosa</i>	<i>Klebsiella pneumoniae</i> , <i>Enterobacter aerogenes</i> , <i>Citrobacter</i> sp.	<i>Citrobacter freundii</i> , <i>Escherichia coli</i>	

Iz (tab. 12) vidimo da se u toku ovog istraživanja, na lokalitetu "Tanki rt" brojna poklapanja u brojnostima za koliformne bakterije fekalnog porijekla i najvjerojatnijeg broja koliformnih bakterija. To se desilo u toku janurai novembra 2017. godine, odnosno januara 2018. godine. Prisustvo *Streptococcus faecalis*, dokazano je dva puta u toku ovog istraživanja: u agustu i novembru 2017. godine.

Klostridije su bile zabilježene u maju i septembru 2017.godine. Identifikacija bakterija dokazala je prisustvo: *Enterobacter cloacae*, *Klebsiella oxytoca*, *Citrobacter freundii*, *Citrobacter aerogenus*, *Pseudomonas aeruginosa*, *Escherichia coli*, *Citrobacter amalonatiens*, *Enterobacter aerogenes*, *Citrobacter freundii*.



Slika 21: Najvjeroatniji broj koliformnih bakterija (1) i Koliformne bakterije fekalnog porijekla (2) za lokalitet "Kraljeva glavica"-Vranjina

Na osnovu Slike 21 vidimo da se najvjeroatniji broj koliformnih bakterija /cm³ na lokaciji Tanki rt-isпод mosta Jezero kretao od 2000 do 240000 u zimskom periodu, a od 96 do 24000 u ljetnjem periodu. 50% zimskih vrijednosti bilo je iznad 133500 bakterije/cm³, a ljetnjih iznad 12075 bakterija/cm³ što ne prestavlja statistički značajnu razliku ($p = 0.080$). Broj koliformnih bakterija fekalnog porijekla/cm³ na lokaciji Tanki rt-isпод mosta Jezero se kretao od 150 do 240000 u zimskom periodu, a od 20 do 24000 u ljetnjem periodu. 50% zimskih vrijednosti bilo je iznad 133500 kolonije/cm³, a ljetnjih iznad 238 bakterija/cm³ što ne prestavlja statistički značajnu razliku ($p = 0.237$).

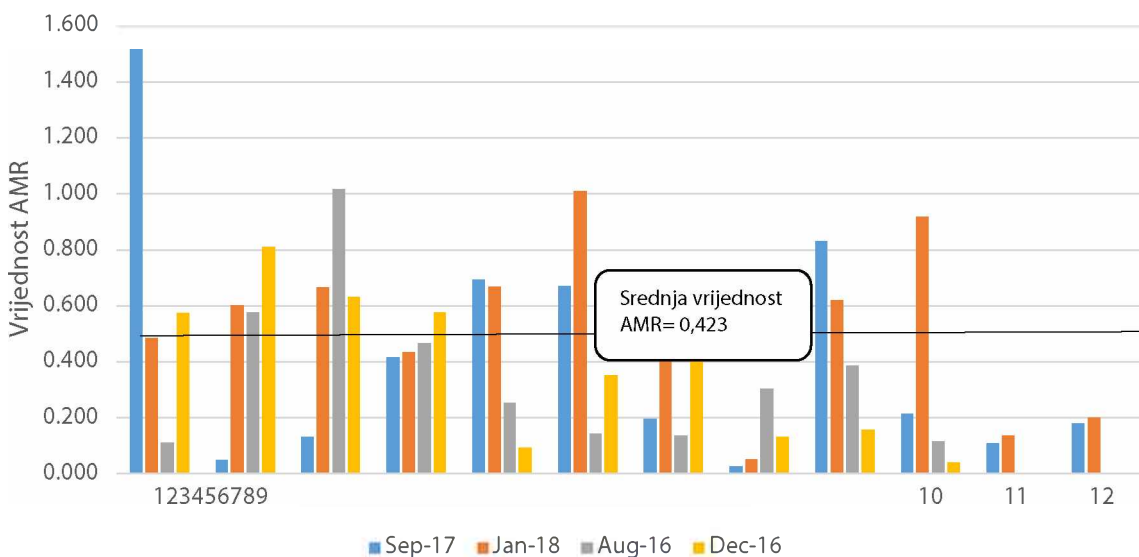
5.4 FENOTIPSKE KARAKTERISTIKE MIKROORGANIZAMA U TOKU 2016-2018. GODINE

Mikrobiološke zajednice imaju veliku adaptivnu sposobnost promjenama, u prostoru i vremenu, i na taj način predstavljaju sredstvo dovoljno jako da uspostavi dinamiku primjenjivu u ekološkim kontekstima.

Svoje osnovne karakteristike mikroskopsku vidljivost i brz rast koriste za brze odgovore na prirodne sukcesije i eksperimentalnu manipulaciju koja se može generacijski pratiti. U prirodnim akvatičnim uslovima njihov glavni zadatak je razgradnja, reciklaža organske materije, te stoga imaju veliki uticaj na akvatične ekosisteme, predstavljaju glavni izazov u ekologiji, i moćan forum za razumijevanje ciklusa kruženja materije i energije u prirodi.

Razumijevanje ciklusa standardnim metodama ne daje odgovor na mnoga pitanja, zato je pristup u ovom radu akcenat stavljen na izučavanju fenotipskih karakteristika mikroorganizama na nivou fizioloških grupa ili zajednica (CLPP) a rezultati AMR, i CDM u ovom radu prikazani su poslije 48 sata inkubacije, kada je postignut maksimalni razvoj koloritosti.

Dobijeni rezultati prikazani su grafički, a predstavljaju dvogodišnju opservaciju fenotipskih karakteristika sa posebnim osvrtom na razlike između "ljetnjeg" i "zimskog" režima voda. Nakon "monitoringa" voda na prisustvo EmS u vodama ispitivanih lokacija obavljenih u "zimskom" režimu 2013. godine, i "ljetnjem" režimu 2014. godine, dobijenih u maju 2015. godine, sprovedeno je dvogodišnje posmatranje fiziološke grupe mikroorganizama sa osvtom na CLPP tj. na metabolički diverzitet fizioloških zajednica mikroorganizama.



Slika 22: AMR istraživanih lokacija tokom 2016-2018.godiine

Legenda za Sliku 22:

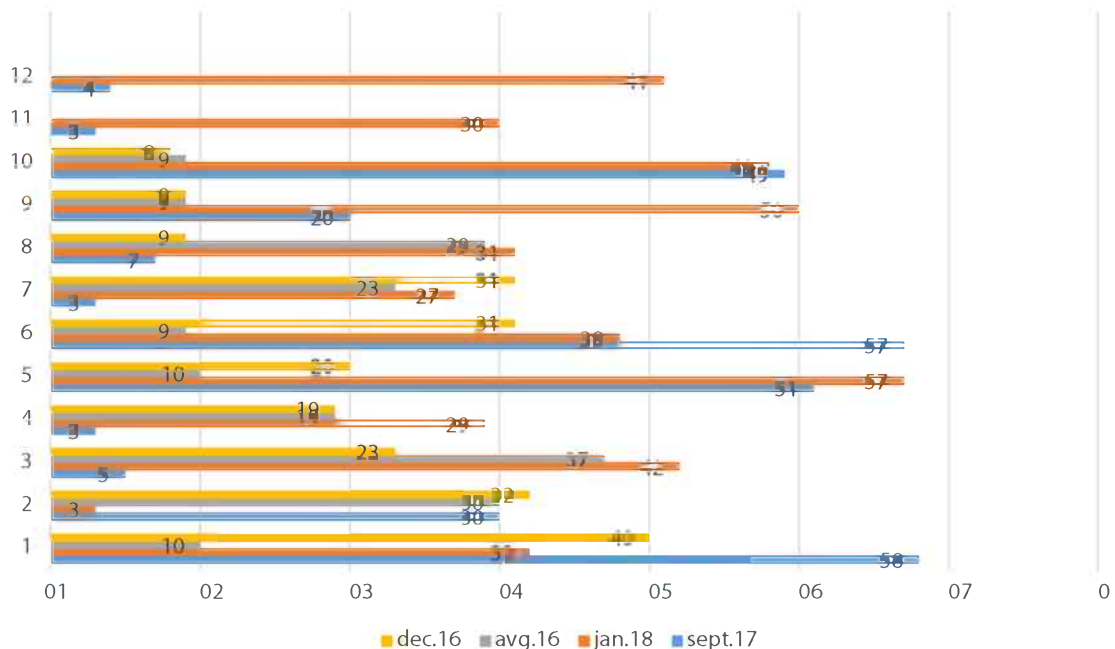
1-Vranjina- "Kraljeva glavica"-Jezero-lipolitske, 2-Vranjina- "Kraljeva glavica"-Jezero-protrolitske, 3- "Tanki rt"-lipolitske, 4- "Tanki rt"-proteolitske, 5-Vukovci-lipolitske, 6-Vukovci-proteolitske, 7- "Desni krak rijeke Morace"-lipolitske, 8- "Desni krak rijeke Morace"-proteolitske, 9- "Lijevi krak rijeke Morače"-lipolitske, 10- "Lijevi krak rijeke Morače"-proteolitske, 11- Zlatica- "Smokovac" -lipolitske, 12-Zlatica- "Smokovac" -proteolitske

Sa Slike 22, uočavamo da su se vrijednosti AMR kretale od 1,517 na lokaciji "Kraljeva glavica" Vranjina-Jezero, u toku "ljetnjeg" režima voda 2017. godine za lipolitsku grupu mikroorganizama, dok je najniža vrijednost zabilježena na lokaciji "Desni krak rijeke Morače" za proteolitsku grupu mikroorganizama sa vrijednošću 0,026. Koristeći se Slikom 22, vidimo da je tokom "ljetnjeg" uzorkovanja 2016. godine najveća vrijednost za AMR bila 1, a utvrđena je na lokaciji "Tanki rt" za lipolitsku grupu bakterije.

Pomoću Slike 22, možemo da vidimo da je tokom januarskog istraživanja 2018. godine na lokalitetu Vukovci proteolitska grupa mikroorganizama zabilježila maksimalna vrijednost AMR-od 1,009; a minimalnu vrijednost AMR u toku tog januarskog ispotivanja bila je 0,053 na "Desnom kraku rijeke Morače" za proteolitske bakterije.

Prema rezultatima sa Slike 22, minimalna vrijednost AMR-a u toku "zimskog" aspekta voda

za 2016. godinu, dokazana je na lokaciji "Lijevi krak rijeke Morače" za proteolitsku grupu mikroorganizama, dok je maksimalna vrijednost AMR-a, izračunata na lokaciji "Kraljeva glavica"-Vranjina-Jezero za protrolitsku grupu mikroorganizama. Prema rezultatima za srednju vrijednost AMR-a, najveća srednja vrijednost je izračunata na lokalitetu 0,672 Vranjina-"Kraljeva glavica"-Jezero-lipolitske, slijedi sa 0,611 Tanki rt"-lipolitske. Treća po veličini srednja vrijednost od 0,544 je izračunata za lokalitet Vukovci-proteolitske,dok je najmanja srednja vrijednos AMR iznosila 0,123 za lokalitet Zlatica- "Smokovac" -lipolitske. Ukupna srednja vrijednost za AMR je iznosila 0,423.



Slika 23: Vrijednost CMD za ispitivane lokacije tokom 2016-2018.godine.

Legenda za Sliku 23: 1-Vranjina- "Kraljeva glavica"-Jezero-lipolitske, 2-Vranjina- "Kraljeva glavica"-Jezero-protrolitske, 3- "Tanki rt"-lipolitske, 4- "Tanki rt" -proteolitske, 5-Vukovci-lipolitske,6- Vukovci-proteolitske, 7- "Desni krak rijeke Morace"-lipolitske, 8- "Desni krak rijeke Morace"-proteolitske, 9- "Lijevi krak rijeke Morače"-lipolitske, 10- "Lijevi krak rijeke Morače"-proteolitske, 11- Zlatica- "Smokovac" -lipolitske,12-Zlatica- "Smokovac" -proteolitske

Na osnovu (Slike 23) uočavamo da je vrijednost CMD bila najveća na lokalitetu "Kraljeva glavica"-Vranjina-Jezero za lipolitske bakterije u toku „ljetnjeg“ uzorkovanja 2017. godine sa vrijednošću 58. Vrijednosti CDM su bile za jedan manja na lokalitetu "Vukovci" za proteolitsku grupu bakterija. Koristeći se (Slikom 23) možemo da vidimo da se u toku septembra 2017. godine vrijednost za CDM nalazila u opsegu od 3 na lokacijama "Tanki rt" -proteolitske, Desni krak rijeke Morace"-lipolitske i Zlatica- "Smokovac" -lipolitske pa do maksimalne vrijednosti od 58 na lokalitetu "Kraljeva glavica"-Vranjina-Jezero.

Januarsko uzorkovanje u toku 2018. godine, prikazuje sasvim drugačiji metabolički odgovor fizioloških grupa mikroorganizama. Najveća vrijednost CDM zabilježeno je na lokaciji

Vukovci za lipolitsku grupu bakterija 57; zatim slijedi neznatno niža vrijednost CDM za lokaciju "Lijevi krak rijeke Morače", takođe za lipolitsku grupu bakterija 50; pa 48 na lokaciji "Lijevi krak rijeke Morače" za proteolitsku grupu mikroorganizama.

U toku 2016. godine fenotipski odgovor je bio znatno slabiji i manji i u toku „zimskog“ ali i u toku „ljetnjeg“ uzorkovanja. To dokazuju i dobijene vrijednosti. Na osnovu Slike 23, vidimo da je maksimalna zabilježena vrijednost CMD za istraživane lokacije bila za "Kraljeva glavica" Vranjina-Jezero za lipolitsku grupu mikroorganizama 40, da sa vrijednošću slijedi lokalitet "Tanki rt"-ispod mosta-Jezero-lipolitska grupa mikroorganizama, pa 30 za lokalitet "Kraljeva glavica"-Vranjina -Jezero-proteolitsku grupu mikroorganizama.

Evidentno je da se promjene dešavaju i da se fenotipski mikroorganizmi mijenjaju, ali za to je potrebno vrijeme i generacijske promjene mikroorganizama, što je prikazano tabelom 5.4.a za ljeto 2017. godine kada su evidentirane i najveće promjene u AMR i CMD. Najveća srednja vrijednost CDM je bila na lokalitetu Vranjina- "Kraljeva glavica"-Jezero-lipolitske 35, a najmanja je zabilježena na Zlatica- "Smokovac" -lipolitske 16,5. Srednja vrijednost CDM za sve lokalitete se kretala između najmanje i najveće izračunate vrijednosti po lokalitetima i iznosila je 26.

Tabela 13: Fenotipske karakteristike mikroorganizama tokom 2017. godine

Izvori C /Ugljeni-hidrati	1	2	3	4	5	6	7	8	9	10	11	12
D-Celiobioza	*					*			*			
α -D-Lactoza	*				*	*			*			
β -Metil-D-Glukozid	*				*	*			*			
D-Ksiloza	*	*		*	*	*	*	*	*	*	*	*
i-Eritritol						*			*			
D-Manitol	*	*	*		*	*	*		*			*
N-Acetyl-D-Glikozamid	*	*	*		*	*			*			*
α -Ciklodekstrin					*							
Izvori C /Karboksilne kisjeline	1	2	3	4	5	6	7	8	9	10	11	12
D-Glukozaminska kisjelina	*	*	*		*							*
D-Galaktoninozna kisjelina												
γ -lakton	*	*	*		*	*			*			
D-Galakturozna kisjelina	*	*	*		*	*			*			
2-Hidroksi benzoična kisjelina												
4- Hidroksi benzoična kisjelina	*		*	*	*							
γ -Hidrobutirinska kisjelina												
Itakonična kisjelina		*	*									
α -Ketobutirična kisjelina									*	*	*	*
D-Maleinna kisjelina	*				*							
Glicil-L-Glutaminska kisjelina	*	*	*		*	*			*			

Izvori C /Fosforilati	1	2	3	4	5	6	7	8	9	10	11	12
Glukoza-1 Fosforilat	*				*	*			*			
D,L- α -Glicerol Fosforilat	*				*	*	*		*		*	*
Izvori C / Esteri	1	2	3	4	5	6	7	8	9	10	11	12
Metil Estar Piruvatne kiseljine	*		*		*	*			*	*		
Izvori C / Amino kiseljinae	1	2	3	4	5	6	7	8	9	10	11	12
L-Arginin	*	*	*			*	*					*
L-Asparagin			*		*	*	*		*			
L- Fenilalanin									*	*		
L-Serin	*	*	*		*	*	*					*
L-Treonin	*				*	*						
Izvori C / Amini	1	2	3	4	5	6	7	8	9	10	11	12
Fenilenetil amin												
Putrescin	*				*	*						
Izvori C / Polymeri	1	2	3	4	5	6	7	8	9	10	11	12
Tween 40	*	*	*			*				*		
Tween 80	*	*	*		*	*	*	*	*	*	*	
Glikogen						*						

Legenda za Tabelu 13: 1-Vranjina-“Kraljeva glavica”-Jezero-lipolitske, 2-Vranjina- “Kraljeva glavica”-Jezero-protolitske, 3-“Tanki rt”-lipolitske, 4- “Tanki rt” -proteolitske, 5-Vukovci-lipolitske,6-Vukovci-proteolitske, 7-“Desni krak rijeke Morace”-lipolitske, 8-“Desni krak rijeke Morace”-proteolitske, 9-“Lijevi krak rijeke Morače“-lipolitske, 10-“Lijevi krak rijeke Morače“-proteolitske, 11- Zlatica-“Smokovac”-lipolitske,12-Zlatica-“Smokovac” -proteolitske.

Na osnovu (tab. 13) vidimo da je D-ksiloza registrovana na svim lokacijacijama izuzetak je lokalitet ”Tanki rt“ lipolitske bakterija. Putrescin je registrovan na lokaciji Vukovci za obije fiziološke grupe mikroorganizama. Grupa polimernih jedinjenja nije evidentirana na lokacijama (”Tanki rt“-proteolitske, Zlatica-“Smokovac”-lipolitske, Zlatica-“Smokovac”-proteolitske).

Iz tabele 13 vidimo da amino kiseljine kao izvor C nisu korištene tokom našeg istraživanja na lokalitetima (”Tanki rt”-proteolitske, Zlatica-“Smokovac”-lipolitske). Na lokalitetima (”Desni krak rijeke Morace“- lipolitske, ”Desni krak rijeke Morace“- proteolitske i Zlatica-“Smokovac“-lipolitske) nisu uopšte dokazane ugljene kiseljine.

Tabelom (13) je prikazano da je lokalitet Vranjina-“Kraljeva glavica”-Jezero-lipolitske,pokazao 22 promjene, Vukovci lipolitske i proteolitske 21 promjenu, ”Lijevi krak rijeke Morače“-lipolitske 16 promjena., dok su najmanje promjena pokazali lokaliteti: ”Tanki rt“ -proteolitske, ”Desni krak rijeke Morace”-proteolitske i Zlatica-“Smokovac” -lipolitske sa samo 2 promjene.

5.5 REZULTATI „SKRINING“ ISPITIVANJA ZA EMS TOKOM 2013-2014. GODINE

U toku 2013-2014. godine na lokalitetima obilježenim ovim redom: 1. 1. Vukovci; 2.“Lijevi krak” rijeke Morače; 3.“Desni krak” rijeke Morače; 4.“Kraljeva glavica”-Vranjina ; 5.“Tanki rt” Jezero, vršeno je “Skrining“ ispitivanje uzorka vode, sa ciljem utvrđivanja prisustva Em supstanci.

Tabela 14: Detektovane i identifikovane EmS

Lokalitet/ Datum uzorkovanja	Detektovani	Identifikovani
1,2,3- (11.2013)	272	78
4,5- (11.2013)	187	34
1,2,3- (08.2014)	34	5
4,5- (08.2014)	35	2

Iz Tabele (tab. 14) vidimo da na lokalitetima “Desni krak rijeke Morače”, “Kraljeva glavica”-Vranjina-Jezero, Vukovci za “zimski skrining“ ukupno je detektovano 272 hemikalije, a 78 identifikovano. Na lokacijama “Lijevi krak rijeke Morače“, “Tanki rt”-ispod mosta-Jezero, detektovano 187 hemikalije a identifikovano 34.

Tabela 14 pokazuje da je na svim lokacijama za vrijeme „ljetnjeg skrininga“ detektovano je ukupno 69, a identifikovano 7 hemikalija.

Tabela 15: Rezultati „skrining“ ispitivanja EmS u toku novembra 2013. godine za istraživane lokacije

RT (min)	Komponente	Podudaranje	Biblioteka	Lokaliteti
90,331	Hexadecanoic acid (CAS); Palmitic acid	99	WILEY	2
96,817	9-Octadecenoic acid (Z)- (CAS); Oleic acid;	99	WILEY	3
99,507	9-Octadecenoic acid (Z)- (CAS); Oleic acid;	99	WILEY	1,2,4
92,81	Hexadecanoic acid (CAS); Palmitic acid;	99	WILEY	1,3,5
91,167	Octadecanoic acid	99	WILEY	1,2,3,4,5
22,613	dl-Limonene; Cyclohexene, 1-methyl-4-(1-methylethenyl)-	98	WILEY	1
81,201	Hexadecanoic acid, methyl ester (CAS); Methyl palmitate	97	WILEY	1
90,911	9-Octadecenoic acid (Z)-, methyl ester (CAS); Methyl oleate;	97	WILEY	1
97,66	Oleic Acid; 9-Octadecenoic acid (Z)-	97	WILEY	2
102,855	9,12-Octadecadienoic acid (Z,Z)- (CAS); Linoleic acid;	97	WILEY	2,3
14,369	Disulfide, dimethyl	95	WILEY	1
95,673	Octadecanoic acid (CAS); Stearic acid;	91	WILEY	1

83,963	Benzoic acid, 2-hydroxy-, phenylmethyl ester (CAS); Benzyl salicylate;	90	WILEY	1,2,3,4,5
97,129	9-Octadecenoic acid, (E)-	89	NIST	3
46,969	1-Octanol	87	NIST	1,2,3,4,5
100,73	Dibutyl phthalate	85	NIST	1,2,3,4,5
26,647	1-Pentanol (CAS); Amylol	83	WILEY	1
44,716	Undecane, 3-methyl-	82	NIST	1,2,3,4,5
22,607	Bicyclo [4.1.0]heptane, 7-(1-methylethyldene)-;	81	PBM	2,5
38,266	Decane, 2-methyl-	81	NIST	2,3,4,5
23,548	1-Butanol, 3-methyl- (impure)	80	WILEY	1
53,488	Nonane, 1-chloro-	80	NIST	1
60,926	Dodecane, 2,6,10-trimethyl-	79	NIST	1,2,3,4,5
93,869	Hexadecenoic acid, Z-11-;	78	WILEY	2
81,9	3-Ethyldibenzothiophene;	78	WILEY	1,2
20,915	trans-3-Penten-2-ol	78	NIST	1,2,3
87,389	Cyclohexane, nonadecyl-	78	NIST	1,2,3,4,5
30,065	2-Pentanol, 4-methyl-	76	NIST	1
53,331	2-Furanmethanol	75	NIST	3
43,798	n-Caproic acid vinyl ester	75	NIST	2,3,5
41,142	dihexylsulfide	74	WILEY	2,4
17,101	2-Butanol, 3-methyl-	74	NIST	4,5
88,203	Heneicosane, 11-(1-ethylpropyl)-	74	NIST	1,2,3,4,5
30,264	2-Propanone, 1-hydroxy-	72	NIST	3
60,735	2,6-Octadien-1-ol, 3,7-dimethyl-, (Z)-; (Nerol)	72	NIST	1,3,4,5
78,332	2,6-Diisopropylnaphthalene	72	NIST	1,2,3,4,5
101,884	Sulfurous acid, butyl dodecyl ester	71	NIST	2,3,4,5
73,997	Disulfide, di-tert-dodecyl	71	NIST	1,2,3,4,5
104,383	Diisoctyl adipate	71	NIST	1,2,3,4,5
50,169	Cyclohexane, octyl-	70	NIST	2
74,823	1-Octanol, 2-butyl-	70	NIST	5
93,365	Allopregnane; Pregnane, (5.alpha.)-	70	WILEY	2,4,5
82,792	1-Heneicosyl formate	70	NIST	1,2,3,4,5
41,669	3-Furaldehyde	69	NIST	3
82,815	Tridecane, 6-cyclohexyl-	69	NIST	1,4
54,069	3,3,5,5-Tetramethylcyclohexanol	69	NIST	2,3
81,116	7,7-Diethylheptadecane	69	NIST	2,3,5,1
23,043	2-Oxabicyclo[2.2.2]octane, 1,3,3-trimethyl-; Eucalyptol	67	NIST	1
46,421	1,6-Octadien-3-ol, 3,7-dimethyl-	67	NIST	4,5

103,74	17-Octadecenoic acid	66	NIST	3
96,316	Sulfurous acid, butyl pentadecyl ester	66	NIST	4
58,105	1-Decanol	66	NIST	1,2,3
65,481	Octadecane, 3-methyl-	66	NIST	2,3,4
79,368	Hydroxylamine, 0-decyl-	66	NIST	1,2,3,4,5
31,664	Acetic acid, (1,2-dimethyl-1-propenyl) ester	65	NIST	2
65,136	2-Bromotetradecane	65	NIST	2,3,4
72,967	Isopropyl myristate	64	NIST	1
97,762	Bicyclo[3.1.1]heptan-3-one, 2,6,6-trimethyl-, (1.alpha.,2.alpha.,5.alpha.)-; Pinocamphone;	64	WILEY	1
13,09	Methane, dichloro- (CAS); Dichloromethane; R 30; Freon 30; Narkotil;	64	WILEY	2
72,921	Cyclohexane, tetradecyl-	64	NIST	2
49,205	2-Propanol, 1-hydrazino-	64	NIST	1,3
59,371	1-Chloroundecane	64	NIST	1,3
61,381	1-Tridecyne	64	NIST	1,3
104,062	17-Octadecenoic acid	64	NIST	2,4
78,66	1-Tricosanol	64	NIST	1,2,3,4,5
68,95	Phytol	62	NIST	2
103,822	Octadecanoic acid, 2,3-dihydroxypropyl ester	62	NIST	2
45,182	1,3-Dioxan-4-one, 2-(1,1-dimethylethyl)-6-methyl-	62	NIST	2,3
58,919	7-Octen-1-ol, 3,7-dimethyl-, (S)-	62	NIST	1,4,5
63,287	Trifluoroacetyl-lavandulol	62	NIST	2,4,5
72,951	8-Azabicyclo[3.2.1]octan-3-amine, 8-methyl-	62	NIST	3,4,5
28,949	2,4-Dithiapentane; Formaldehyde dimethyl mercaptal	61	NIST	1
104,534	Octadecanoic acid, 3-oxo-, methyl ester	61	NIST	1
59,669	2-Methyl-1-undecanol	61	NIST	1,2,3
85,038	Oxalic acid, cyclohexylmethyl tetradecyl ester	61	NIST	1,3,4,5
66,51	Benzeneethanol (CAS); Phenethyl alcohol	60	NIST	1
83,477	Phenol, 2,6-dimethoxy-	60	NIST	1
98,516	Myristoyl chloride	60	NIST	1
72,528	Octadecane, 1-(ethenyloxy)-	60	NIST	2
45,569	2-Heptanol, acetate	60	NIST	2,3
56,085	4-Pyridinol-1-oxide	60	NIST	2,3
103,78	Hexanedioic acid, dioctyl ester	60	NIST	4,5
92,915	1-Decanol, 2-octyl-	60	NIST	2,4,5
83,162	1-Tricosanol	60	NIST	1,2,3,4,5

Legenda za Tabelu 15: 1. Vukovci; 2. "Lijevi krak" rijeke Morače; 3. "Desni krak" rijeke Morače; 4. "Kraljeva glavica"-Vranjina ; 5. "Tanki rt"-ispod mosta.

Tokom analiza koristena je NIST i WILEY datoteka podataka. Svaka hemikalija ima svoje retenciono vrije za odvajanje komponenti (R_t) koje se mjeri u minutima. Podudaranje koje je prihvatljivo za kompone "Skrining" je prihvatljivo do 60. Iz tabele Tabela 5.5. b zabilježeno je prisustvo EmS u vodi svih lokaliteta, ali i ostataka EmS, sa posebnim osvrtom na prisutvo jedne od najznačajnije klase EmS- farmaceutika (PhACs). Ukupno je identifikovano 12 hemikalija sa CAS brojem,

Iz tabele 15 vidimo da je su na svim lokalitetima identifikovane hemikalije ili njihove sol-mabilne komponente: Benzyl salicylate, Hydroxylamine, 1-Tricosanol, Octadecanoic acid, 1-Octanol, Dibutyl phthalate, Undecane, 3-methyl-Dodecane, 2,6,10-trimethyl-, Cyclohexane, Heneicosane, 11-(1-ethylpropyl), 2,6-Diisopropylnaphthalene, Disulfide, di-tert-dodecyl, 1-Tricosanol, Acetic acid, (1,2-dimethyl-1-propenyl) ester. Ove komponente se koriste u industriji sapuna, šampona, hemijskoj idustriji, ostaci iz industrukije farbi i boja, industriji parfema i krema. Zapaženo je i prisustvo ostataka farmaceutika, pesticida, anestetika, plastifikanata. Zajedničko je da im prirodno stanište nisu prirodne i čiste vode, takođe, da se ne mogu ukloniti poznatim načinima prečišćavanja ispusnih komunalnih i otpadnih voda.

Tabela 16: Rezultati "Skrining" ispitivanja EmS u toku avgusta 2014. godine za istraživane lokalitete

RT(min)	Komponente	Podudaranje	Formula	n.Scan	Lokaliteti
12,215	unknown			39	3,5
14,208	unknown chloric compound			647	1,2,5
14,605	Propane, 1-iodo-2,2-dimethyl-	80	C5H11I	768	1,2,3,5
15,596	Butane, 1-iodo-2-methyl-	83	C5H11I	1107	1,2,3,5
17,54	1-Butanol, 3-methyl-, acetate	90	C7H14O2	1663	1,2,3,5
18,16	Benzene, 1,3-dimethyl- (CAS); m-Xylene;	93	C8H10	1852	1,2,3,5
18,508	Benzene, 1,2-dimethyl- (CAS); o-Xylene;	80	C8H10	1958	1,2
20,81	3-Penten-2-ol	86	C5H10	2660	1,2,3,4,5
21,557	Benzene, ethyl-	90	C8H10	2888	1,2
23,391	Isoamylalcohol	72	C5H12O	3447	1,2
23,482	1-Butanol, 3-methyl- (impure)	72	C5H12O	3475	3
24,483	unknown benzene compound			3780	2
25,82	unknown			4188	2,3
27,067	Styrene; benzene, ethenyle-	83	C8H8	4568	2,3
28,529	Benzene, 1-ethyl-3-methyl- (CAS); Toluene	80	C9H12	5014	1,2,3
29,074	unknown nitrogen compound			5180	1,2,3,4,5
30,553	2-pentanol, 4-methyl- (MAOH)	78	C6H14O	5631	1,2,3,4,5
31,609	2-Buten-1-ol, 2-methyl-	86	C5H10	5953	2,3,4,5
32,392	Benzene, 1,2,4-trimethyl- (CAS); Pseudo-cumol; Pseudocumene	91	C9H12	6192	1,2,3
33,199	Ethanol, 2-methoxy-	72	C3H8O2	6438	1,2,3

34,468	unknown benzene compound			6825	2,3
36,806	unknown			7538	3
37,961	Pyridine, 2-ethenyl- (CAS); 2-Vinylpyridine	91	C7H7N	7890	1,2,3
38,019	unknown			7908	4,5
40,8	unknown phenolic compound			8756	3
42,725	1-Hexanol, 2-ethyl- (CAS); 2-Ethylhexanol	59	C8H18O	9343	4
44,444	unknown nitrogen compound			9867	3
44,975	unknown benzene compound			10029	3
46,024	unknown			10349	2,3
53,367	Benzene, (2,2-dimethylpropoxy)-	83	C11H16O	12588	2,3
66,543	Phenol, 4,6-di(1,1-dimethylethyl)/2-methyl	83	C15H24O	16606	1
71,2	unknown			18026	3
76,6	Hexadecane	78	C16H34	19673	5
80,788	unknown			20950	5
81,211	Isohexadecene	78	C16H34	21079	2,4,5
82,507	unknown			21474	5
83,533	unknown			21787	5
84,212	unknown			21994	5
84,74	unknown			22155	5
85,32	unknown			22332	4
85,327	unknown			22334	1
85,33	unknown			22335	2
85,346	unknown phenolic compound			22340	5
85,605	Nonadecane	86	C19H40	22419	2,4,5
85,779	unknown			22472	2
86,691	unknown			22750	5
87,16	unknown			22893	5
87,868	unknown			23109	5
88,488	unknown			23298	5
89,813	Heneicosane	90	C21H44	23702	2,4,5
90,941	unknown amine compound			24046	5
91,554	unknown			24233	5
93,843	unknown			24931	2
93,889	unknown alkane			24945	2,5
94,656	unknown phthalate compound			25179	2
95,919	unknown			25564	5
97,808	unknown alkane			26140	2,5
99,241	unknown			26577	5
99,91	unknown			26781	5
100,674	Dibutyl phthalate	78	C16H22O4	27014	1,2,3,4,5

101,645	unknown			27310	5
102,274	unknown			27502	5

Legenda za Tabelu 16: 1. Vukovci; 2. "Ljevi krak" rijeke Morače; 3. "Desni krak" rijeke Morače; 4. "Kraljeva glavica"-Vranjina ; 5. "Tanki rt"-ispod mosta.

U toku ljeta 2014. godine (www.mrt.gov.me), u Crnoj Gori zabilježeno je 50 tropskih dana sa temperaturom iznad 30°C. Nizak vodostaj na ispitivanim lokacijama uslovio je migriranje emergenata u sediment i malu brojnost hemikalija, a veliki i znatan broj nepoznatih djelova hemikalija koji su rastvorljivi u vodi Na osnovu (tab.16) možemo da konstatujemo da su za vrijeme "ljetnjeg skrininga" na svim lokacijama identifikovane hemikalije: 3-Penten-2-ol, Dibuthyl phthalate, 2-pentanol, 4-methyl- (MAOH), koje se koriste u različite svrhe kao npr. kao plastifikani, farmaceutici, a neke je moguće koristiti u industriji sapuna, krema i dezifisijenasa. Iz tabele (tab.16) brojima 62 komponente kojima je mjereno RT (min), samo je ustanovljena podudaranje bilo kod 24 komponente, a određene su 6 komponenti sa Cas brojeem.

To su: Hexanol, 2-ethyl- (CAS); 2-Ethylhexanol, Pyridine, 2-ethenyl- (CAS); 2-Vinylpyridine, Benzene, 1,2,4-trimethyl- (CAS); Pseudocumol; Pseudocumene, Benzene, 1-ethyl-3-methyl- (CAS); Toluene, Benzene, 1,2-dimethyl- (CAS); o-Xylene; Benzene, 1,3-dimethyl- (CAS); m-Xylene.

5.6 REZULTATI ANALIZE KONCENTRACIJE EDCS I PHACS U TKIVU RIBA

Tkivo vrsta: *Rutilus prespensis*, *Squalius platyceps*, *Sardinius knezevici*, *Chondrostoma ohridanum*, *Alburnus alburnus* i *Ciprinus carpio* ispitane su na prisustvo EDCs i PhACs a njihove koncentracije date tabelarno.

Rezultati analize koncentracije EDCs i PhACs u tkivu riba prikazani su tabelarno tabelama Tabela 17 i Tabela 18.

Tabela 17, odnosi se na rezultate EDCs u tkivima riba, dok je tabelom 18 dati rezultati 20 vrste farmaceutika na koje su ispitivani uzorci tkiva riba. Zastupljeni su različite grupe ljekova: ljekovi za kardiovaskularna oboljenja i hipertenziju, različiti neurološki ljekovi i ljekovi za epilepsiju, antiansiositivi, antidepresivi, ljekovi koji se koriste za opuštanje mišića, antikoagulanti, antihilmetici, ljekovi za inhaliranje, za bolove i temperaturu kao i diuretici

Iz tabele 17 vidimo da je analizirano više različitih grupa EDCs kao i prioritetnih supstanci prvenstveno plastifikanata, toksikanata, prirodnih i vještačkih hormona, prisustvo anti baktericida i anti fungicida, raznih komercijalnih deterdženata i hemikalija koje se

koriste u kozmetičkoj industriji, antikoroziva i kofeina. Na osnovu Tabele 17, vidimo da 1-H-benzotrizol nije bio mjerljiv. Sa iste tabele možemo utrditi da u tkivima riba koncentracija kofeina, progesterona, levonogestrala, tolitriazola, TCEP-a, TBEP-a, TCCP-a, estona, estradiola estriola, etinil-stradiola, estron sulfata, bifenil A., metilparena, metilparena, propilparena i benzilparena se nalazila ispod minimum koncentracije analita koji može biti identifikovan. Utvrđeno je prisustvo "Triclosan"-a u koncentraciji $14,1 \pm 1,3 \mu\text{g/L}$ i to samo u tkivu *Alburnus alburnus*.

Nađena hemikalija se najčešće koristi u kozmetičkoj industriji (za pravljenje sapuna koji su antibakterijski i antimikotični), ali i u farmaceutskoj industriji kao komponenta antibiotika. Međutim, upravo ova karakteristična osobina "Triclosana", omogućava često korporiranje sa drugim elementima, te da služi i kao baza za spravljanje insekticida.

Tabela 17: Rezultati ispitivanja tkiva riba na prisustvo EDCs tokom 2016.godine

Sample name	Rutilus prespensis	Squalius platyceps	Sardinus Knezevici	Chondro- stoma ohridanum	Ciprinus carpio	Alburnus alburnus	LOD	LOQ
EDCs								
1-H-benzotri- zoles	NM	NM	NM	NM	NM	NM		
Caffeine	< LOD	< LOD	< LOD	< LOD	< LOD	< LOD	0,3255	1,0849
Progesterone	< LOD	< LOD	< LOD	< LOD	< LOD	< LOD	0,0158	0,0526
Levonorgestrel	< LOD	< LOD	< LOD	< LOD	< LOD	< LOD	0,0002	0,0006
Tolytriazole	NM	NM	NM	NM	NM	NM		
TCEP	< LOD	< LOD	< LOD	< LOD	< LOD	< LOD	0,25	0,84
TBEP	< LOQ	< LOQ	< LOQ	< LOQ	< LOQ	< LOQ	0,07	0,27
TCCP	< LOQ	< LOQ	< LOQ	< LOQ	< LOQ	< LOQ	25,40	84,80
Estrone	< LOD	< LOD	< LOD	< LOD	< LOD	< LOD	0,0030	0,0099
17 β -Estradiol	< LOD	< LOD	< LOD	< LOD	< LOD	< LOD	0,01	0,05
Estriol	< LOD	< LOD	< LOD	< LOD	< LOD	< LOD	0,0002	0,0007
17- α -Ethinyle- stradiol	< LOD	< LOD	< LOD	< LOD	< LOD	< LOD	0,0004	0,0014
Estrone-3- sulfate	< LOD	< LOD	< LOD	< LOD	< LOD	< LOD	0,0007	0,0022
Bisphenol A	< LOD	< LOQ	< LOQ	< LOQ	< LOQ	< LOQ	0,02	0,07
Triclosan	< LOQ	< LOQ	< LOQ	< LOQ	< LOQ	14,1 \pm 1,3	0,0018	0,0061
Methylpara- ben	< LOD	< LOQ	< LOQ	< LOQ	< LOQ	< LOQ	0,01	0,03

Ethylparaben	NM	NM	NM	NM	NM	NM		
Propylparaben	NM	NM	NM	NM	NM	NM		
Benzylparaben	NM	NM	NM	NM	NM	NM		

Objašnjenje: NM-nije mjerljivo; < LOD je minimum koncentracije analita koji može biti identifikovan; < LOQ-Minimalni analitički kvantifikacioni nivo.

Iz tab. 17 vidimo da su dobijeni rezultati ispitivanja za Atenolola, Carazolola Nadolola, Propanolola, Sotalola, Carbamazepina, Citalopram, Diazepama, 10,11-EpoxyCBZ-a, Lorazepam, Sertraline, Venlafaxine, te za za Venlafaxine, Clopidrogel, Codeine, Levamisole, Salbutamoal, Diclofenaka i Hydrochlorothiazida bili manji od LOD (< LOD) odnosno, od minimuma koncentracije analita koji može biti identifikovan, ili su bili manji od minimalnog kvalifikacionog nivoa (<LOQ). I to se odnosi na sve uzorke riba.

Na osovu tabele 18, možemo ustanoviti da je samo za ljekove: Metropolola u slučaju *Chrondrostoma ohridanum* i *Squalius platyceps*, odnosno i 2-HydroxyCBZ u slučaju *Sardinus knezevici* koncentracija bila ispod granice minimalne detekcije (MDL).

Tabela 18: Rezultati ipitivanja tkiva riba na prisustvo PhACs tokom 2016.godine

Sample name	Rutilus presensis	Squalius platyceps	Sardinus Knezevici	Chrondrostoma ohridanum	Ciprinus carpio	Alburnus albumus	LOD	LOQ
PhACs								
Atenolol	< LOD	< LOD	< LOD	< LOD	< LOD	< LOD	0,01	0,02
Carazolol	< LOD	< LOD	< LOD	< LOD	< LOD	< LOD	0,01	0,02
Metropolol	< LOQ	<MDL	< LOQ	<MDL	< LOQ	< LOQ	0,10	0,35
Nadolol	< LOQ	< LOQ	< LOQ	< LOQ	< LOQ	< LOQ	0,31	1,04
Propanolol	< LOD	< LOD	< LOD	< LOD	< LOD	< LOD	0,09	0,29
Sotalol	< LOD	< LOD	< LOD	< LOD	< LOD	< LOD	0,08	0,26
Carbamazepine	< LOD	< LOD	< LOD	< LOD	< LOD	< LOD	0,05	0,17
Citalopram	< LOD	< LOD	< LOD	< LOD	< LOD	< LOD	0,12	0,40
Diazepam	< LOD	< LOD	< LOQ	< LOD	< LOD	< LOD	0,03	0,10
10,11-EpoxyCBZ	< LOD	< LOD	< LOQ	< LOD	< LOQ	< LOD	0,02	0,05
2-HydroxyCBZ	< LOD	< LOD	<MDL	< LOD	< LOD	< LOD	0,01	0,03
Lorazepam	< LOD	< LOD	< LOD	< LOD	< LOD	< LOD	0,06	0,20
Sertraline	< LOD	< LOD	< LOD	< LOD	< LOD	< LOD	0,25	0,83
Venlafaxine	< LOD	< LOD	< LOD	< LOD	< LOD	< LOD	0,01	0,03
Clopidrogel	< LOD	< LOD	< LOD	< LOD	< LOD	< LOD	0,01	0,04

Codeine	< LOD	0,02	0,06					
Levamisole	< LOD	0,02	0,05					
Salbutamol	< LOD	0,01	0,04					
Diclofenac	< LOD	1,73	5,77					
Hydrochlorothiazide	< LOD	0,01	0,02					

Objašnjenje: < LOD je minimum koncentracije analita koji može biti identifikovan; < LOQ-Minimalni analitički kvantifikacioni nivo. <MDL granica detekcije metode

5.7 REZULTATI ANALIZE KONCENTRACIJE PHACS U UZORCIMA VODA ISTRAŽIVANIH LOKALITETA TOKOM 2017-2018.GODINE

Tokom istraživanja 2017.-2018. godine dodata je i šesta tačka istraživanja tkz. "nulta tačka", Smokovac-Zlatica, iznad grada Podgorice, kako bi se ukazalo na uticaj otpadnih, komunalnih i ocjednih voda grada Podgorice na rijeku Moraču, i implicitno na Skadarsko jezero, odnosno, izvršila komparacija ispitivanih uzoraka vode istraživanih lokacija u odnosu na prisustvo PhACs.

Rezultati istraživanja prikazani su tabelarno a odnose se na prisustvo/odsustvo 79 moguća farmaceutika u vodama istraživanih lokacija. Uzorci su ispitivani u tripletu, a dobijeni rezultati sabrani i podijeljeni na 3. Rezultati su svrstani u tabele prema istim ili sličnim djelovanjima lijekova. Tabele su podijeljene prema "ljetnjem" i "zimskom" istraživanju. Mjerljivi rezultati interpretirani su ng/L, ne mjerljivi su izraženi kao skraćenica (n.a), LOD je minimum koncentracije analita koji može biti identifikovan, dok je manje od minimalnog kvalifikacionog nivoa LOQ.

Tabela 19: Rezultati ispitivanja koncentracije PhAC (analgetici, neuroleptici i alergeni) u vodama istraživanih lokacija tokom "ljetnjeg" i "zimskog" istraživanja a tokom 2017.-2018. godine.

"ljetnje uzorkovanje"	Oxycodone	Codeine	Carbamazepine	10,11-epoxy carbamazepine	2-hydroxy carbamazepine	Azaperon	Azaperol	Loratadine	Desloratadine
Zlatica/Smokovac	< LOD	< LOD	< LOD	< LOD	< LOD	< LOD	< LOD	< LOD	< LOD
Vukovci	< LOD	< LOD	5,78	< LOD	< LOD	< LOD	< LOD	< LOD	< LOD
Lijevi krak rijeke Morače	< LOD	< LOD	5,79	< LOD	< LOD	< LOD	< LOD	< LOD	< LOD
Desni krak rijeke Morače	< LOD	< LOD	5,94	< LOD	< LOD	< LOD	< LOD	< LOD	< LOD
"Kraljeva glavica"-Vranjina	< LOD	< LOD	< LOD	< LOD	< LOD	< LOD	< LOD	< LOD	< LOD
„Tanki rt“ - ispod mosta	< LOD	< LOD	< LOD	< LOD	< LOD	< LOD	< LOD	< LOD	< LOD
LOD	3,04	3,30	n.a.	2,44	2,55	8,96	4,40	1,11	0,62
LOQ	10,12	10,99	n.a.	8,13	8,51	29,86	14,68	3,71	2,06
"zimsko uzorkovanje"	Oxycodone	Codeine	Carbamazepine	10,11-epoxy carbamazepine	2-hydroxy carbamazepine	Azaperon	Azaperol	Loratadine	Desloratadine
Zlatica/Smokovac	< LOD	< LOD	< LOD	< LOD	< LOD	< LOD	< LOD	< LOD	< LOD
Vukovci	< LOD	< LOD	< LOD	< LOD	< LOD	< LOD	< LOD	< LOD	< LOD
Lijevi krak rijeke Morače	< LOD	< LOD	< LOD	< LOD	< LOD	< LOD	< LOD	< LOD	< LOD
Desni krak rijeke Morače	< LOD	< LOD	< LOD	< LOD	< LOD	< LOD	< LOD	< LOD	< LOD
"Kraljeva glavica"-Vranjina	< LOD	< LOD	< LOD	< LOD	< LOD	< LOD	< LOD	< LOD	< LOD
„Tanki rt“ - ispod mosta	< LOD	< LOD	< LOD	< LOD	< LOD	< LOD	< LOD	< LOD	< LOD

Tabelom 19, dat je uvid u rezultate koji se odnose na prisustvo analgetika, neuroleptika i alergena za vrijeme „ljetnjeg“ i „zimskog“ uzorkovanja. Uzorkovanjem, ispitano je prisustvo 5 analgetika (Oxycodon, Codein, Carbamazepin, 10,11-epoxycarbamazepin i 2-hydroxy-carbamazepin); dva neuroleptika (Azaperon i Azaperol) i dva alergena (Loratadina i Desloratadina). Na osnovu Tabele 19, vidimo da se LOD kretao od $1,11 \text{ ng L}^{-1}$, do $8,96 \text{ ng L}^{-1}$.

Za lijek Carbamazepin, vrijednost za LOD i LOQ nijesu bile mjerljive. Izuzetak su rezultati sa lokacija: Vukovci, „Lijevi krak“ rijeke Morače i „Desni krak“ rijeke Morače, za vrijeme „ljetnjeg“ istraživanja. U toku ovog istraživanja (tab. 19) vrijednost lijeka Carbamazepina iznosila je $5,78 \text{ ng L}^{-1}$, za lokalitet Vukovci, a za lokalitete „Lijevi“ i „Desni“ krak rijeke Morače $5,79 \text{ ng L}^{-1}$ odnosno $5,94 \text{ ng L}^{-1}$. Iz pomenute tabela vidimo da su rezultati bili ispod limita detekcije, odnosno $< \text{LOD}$, za sva ostala mjeranja.

Tabela 20: Rezultati ispitivanja koncentracije PhAC (antiviretički, antihelmitički, lijekovi za stomačne i želudačne tjegobe, anestetici, kontrasti) u vodama istraživanih lokacija tokom „ljetnjeg“ i „zimskog“ istraživanja a tokom 2017.-2018. godine.

"ljetnje uzorkovanje"	Acridonea	Dimetridazole	Ronidazole	Albendazole	Levamisole	Ranitidine	Famotidin	Cimetidine	Diltiazem	Iopromide	Xylazine
Zlatica/Smokovac	< LOD	< LOD	< LOD	< LOD	< LOD	< LOD	< LOD	< LOD	< LOD	< LOD	< LOD
Vukovci	< LOD	< LOD	< LOD	< LOD	< LOD	< LOD	< LOD	< LOD	< LOD	119,2	< LOD
Lijevi krak rijeke Morače	< LOD	< LOD	< LOD	< LOQ	< LOQ	< LOD	< LOD	< LOD	< LOD	209,68	< LOD
Desni krak rijeke Morače	< LOD	< LOD	< LOD	< LOQ	< LOQ	< LOD	< LOD	< LOD	< LOD	177,93	< LOD
„Kraljeva glavica“-Vranjina	< LOD	< LOD	< LOD	< LOQ	< LOQ	< LOD	< LOD	< LOD	< LOD	< LOD	< LOD
„Tanki rt“ - ispod mosta	< LOD	< LOD	< LOD	< LOD	< LOD	< LOD	< LOD	< LOD	< LOD	< LOD	< LOD
LOD	1,68	3,27	1,44	0,72	3,42	0,62	0,15	0,42	0,31	4,26	1,41
LOQ	5,60	10,90	4,80	2,39	11,41	2,02	0,49	1,41	1,04	14,2	4,69
"zimsko uzorkovanje"	Acridonea	Dimetridazole	Ronidazole	Albendazole	Levamisole	Ranitidine	Famotidin	Cimetidine	Diltiazem	Iopromide	Xylazine
Zlatica/Smokovac	< LOD	< LOD	< LOD	< LOD	< LOD	< LOD	< LOD	< LOD	< LOD	< LOD	< LOD
Vukovci	< LOD	< LOD	< LOD	< LOD	< LOD	< LOD	< LOD	< LOD	< LOD	< LOD	< LOD
Lijevi krak rijeke Morače	< LOD	< LOD	< LOD	< LOQ	< LOQ	< LOD	< LOD	< LOD	< LOD	< LOD	< LOD
Desni krak rijeke Morače	< LOD	< LOD	< LOD	< LOQ	< LOQ	< LOD	< LOD	< LOD	< LOD	< LOD	< LOD
„Kraljeva glavica“-Vranjina	< LOD	< LOD	< LOD	< LOQ	< LOQ	< LOD	< LOD	< LOD	< LOD	< LOD	< LOD
„Tanki rt“ - ispod mosta	< LOD	< LOD	< LOD	< LOD	< LOD	< LOD	< LOD	< LOD	< LOD	< LOD	< LOD

Tabelarnim prikazom vode istraživanih lokaliteta za vrijeme „ljetnjeg“ i „zimskog“ uzorkovanja (Tab. 20) uočava se da je na svim lokalitetima koncentracija: antiviretički, antihelmitički, lijekova za stomačne i želudačne tjegobe, anestetika i kontrasta bila ispod detektvanog limita. LOD za predstavnika antivirotika (Acridonea), iznosio je $1,68 \text{ ng L}^{-1}$. LOD za grupu antihelmitika je bio različit, pa je za lijek (Albendazole) npr. bio $0,72 \text{ ng L}^{-1}$.

Za lijek Iopromide, koji predstavlja lijek koji se kao contrast ubrizgava tokom ispitivanja X-zracima LOD je bio $4,26 \text{ ng L}^{-1}$. Ovaj lijek (tabela 20) je detektovan na lokalitetima Vukovci, „Lijevi krak“ rijeke Morače i „Desni krak“ rijeke Morače. Vrijednosti Iopromide na lokalitetu Vukovci iznosila $119,2 \text{ ng L}^{-1}$, na lokalitetu „Lijevi krak“ rijeke Morače $209,68 \text{ ng L}^{-1}$, dok je na lokalitetu „Desni krak“ rijeke Morače izmjerena vrijednost izbosila $177,93 \text{ ng L}^{-1}$.

Prema (www.calims.me) najviše korišćeni lijek u Crnoj Gori je acetilsalicilna kiselina, prate je bromazepan-lijek za smirenje i eritromicin antibiotik.

Tabela 21: Rezultati ispitivanja koncentracije PhAC (antidepresivi) u vodama istraživanih lokacija tokom "ljetnjeg" i "zimskog" istraživanja a tokom 2017.-2018. godine.

"ljetnje uzorkovanje"	Sertraline	Citalopram	Venlafaxine	Olanzapine	Trazodon	Fluoxetine	Norfluoxetine	Paroxetine	Diazepam	Lorazepam	Aprazolam
Zlatica/Smokovac	< LOD	< LOD	< LOD	n.a.	< LOD	< LOD	< LOD	< LOD	< LOD	< LOD	< LOD
Vukovci	< LOD	< LOD	< LOD	n.a.	< LOD	< LOD	< LOD	< LOD	< LOD	< LOD	< LOD
Lijevi krak rijeke Morače	< LOD	< LOD	< LOD	n.a.	< LOD	< LOD	< LOD	< LOD	< LOD	< LOD	< LOD
Desni krak rijeke Morače	< LOD	< LOD	< LOD	n.a.	< LOD	< LOD	< LOD	< LOD	< LOD	< LOD	< LOD
"Kraljeva glavica"-Vranjin	< LOD	< LOD	< LOD	n.a.	< LOD	< LOD	< LOD	< LOD	< LOD	< LOD	< LOD
„Tanki rt“ - ispod mosta	< LOD	< LOD	< LOD	n.a.	< LOD	< LOD	< LOD	< LOD	< LOD	< LOD	< LOD
LOD	3,92	1,54	n.a.	n.a.	1,37	0,22	1,66	1,33	3,02	3,22	4,05
LOQ	13,07	5,14	n.a.	n.a.	4,46	0,22	5,53	4,43	10,06	10,72	13,48
"zimsko uzorkovanje"	Sertraline	Citalopram	Venlafaxine	Olanzapine	Trazodon	Fluoxetine	Norfluoxetine	Paroxetine	Diazepam	Lorazepam	Aprazolam
Zlatica/Smokovac	< LOD	< LOD	< LOD	n.a.	< LOD	< LOD	< LOD	< LOD	< LOD	< LOD	< LOD
Vukovci	< LOD	< LOD	< LOD	n.a.	< LOD	< LOD	< LOD	< LOD	< LOD	< LOD	< LOD
Lijevi krak rijeke Morače	< LOD	< LOD	< LOD	n.a.	< LOD	< LOD	< LOD	< LOD	< LOD	< LOD	< LOD
Desni krak rijeke Morače	< LOD	< LOD	< LOD	n.a.	< LOD	< LOD	< LOD	< LOD	< LOD	< LOD	< LOD
"Kraljeva glavica"-Vranjin	< LOD	< LOD	< LOD	n.a.	< LOD	< LOD	< LOD	< LOD	< LOD	< LOD	< LOD
„Tanki rt“ - ispod mosta	< LOD	< LOD	< LOD	n.a.	< LOD	< LOD	< LOD	< LOD	< LOD	< LOD	< LOD

Tokom ovog istraživanja na ukupno 6 lokaliteta, u toku "ljetnjeg" i "zimskog" aspekta visine i hemizma vodenog stuba ispitano je prisustvo 11 vrsta antidepresiva, koji su analizirani u tripletu, što ukupno čini 396 ispitivanja. Na osnovu tabela 21 konstatujemo da u uzorcima voda ispitivani antidepresivi nisu dokazani, a da su vrijednosti bile ispod limita detekcije (<LOD), odnosno, za Olanzapine vrijednosti nisu primjenjive (n.a). Ustanovljene vrijednosti LOD-a kretale su se od 0,22 ng L⁻¹ do 4,05 ng L⁻¹, dok se za ljekove Venlafaxina i Olanzapina nije mogao izračunati.

Pregledom tabele (tabela 22) vidimo da ni jedan od ispitivanih anitibiotika (Cefaleksin, Eritromicin, Azitromicin, Tetraciklin, Ofloksacin, Ciprofloksacin, Sulfametoksazol, Trimetoprim, Metronidazol, Metronidazol-OH) nije identifikovan u uzorcima vode tokom istraživanja. Uzorci vode sa svih lokacija analizirani su i za uzorkovanja tokom vremena niskih i visokih voda, na ukupno 11 najčešće korišćenih antibiotika, počevši od cefaleksina antibiotika druge generacije, pa do ciprofloksacina antibiotika najnovije generacije. Svi dobijeni rezultati uzoraka voda nalazili su se ispod LOD-a, limita detekcije.

Tabela 22: Rezultati ispitivanja koncentracije PhAC (antibiotici) u vodama istraživanih lokacija tokom "ljetnjeg" i "zimskog" istraživanja a tokom 2017.-2018. godine.

"ljetnje uzorkovanje"	Cefalexin	Erythromycin	Azithromycin	Clarithromycin	Tetracycline	Oflloxacin	Ciprofloxacin	Sulfamethoxazole	Trimethoprim	Metronidazole	Metronidazole-OF
Zlatica/Smokovac	< LOD	< LOD	< LOD	< LOD	< LOD	< LOD	< LOD	< LOD	< LOD	< LOD	< LOD
Vukovci	< LOD	< LOD	< LOD	< LOD	< LOD	< LOD	< LOD	< LOD	< LOD	< LOD	< LOD
Lijevi krak rijeke Morače	< LOD	< LOD	< LOD	< LOD	< LODQ	< LODQ	< LOD	< LOD	< LOD	< LOD	< LOD
Desni krak rijeke Morače	< LOD	< LOD	< LOD	< LOD	< LODQ	< LODQ	< LOD	< LOD	< LOD	< LOD	< LOD
" Kraljeva glavica"-Vranjina	< LOD	< LOD	< LOD	< LOD	< LODQ	< LODQ	< LOD	< LOD	< LOD	< LOD	< LOD
„Tanki rt“ – ispod mosta	< LOD	< LOD	< LOD	< LOD	< LOD	< LOD	< LOD	< LOD	< LOD	< LOD	< LOD
LOD	11,38	3,39	8,18	1,01	n.a.	0,97	6,07	1,63	1,08	1,02	0,28
LOQ	37,93	11,30	27,28	3,38	n.a.	3,23	20,25	5,45	3,61	3,41	0,92
"zimsko uzorkovanje"	Cefalexin	Erythromycin	Azithromycin	Clarithromycin	Tetracycline	Oflloxacin	Ciprofloxacin	Sulfamethoxazole	Trimethoprim	Metronidazole	Metronidazole-OF
Zlatica/Smokovac	< LOD	< LOD	< LOD	< LOD	< LOD	< LOD	< LOD	< LOD	< LOD	< LOD	< LOD
Vukovci	< LOD	< LOD	< LOD	< LOD	< LOD	< LOD	< LOD	< LOD	< LOD	< LOD	< LOD
Lijevi krak rijeke Morače	< LOD	< LOD	< LOD	< LOD	< LODQ	< LODQ	< LOD	< LOD	< LOD	< LOD	< LOD
Desni krak rijeke Morače	< LOD	< LOD	< LOD	< LOD	< LODQ	< LODQ	< LOD	< LOD	< LOD	< LOD	< LOD
" Kraljeva glavica"-Vranjina	< LOD	< LOD	< LOD	< LOD	< LODQ	< LODQ	< LOD	< LOD	< LOD	< LOD	< LOD
„Tanki rt“ – ispod mosta	< LOD	< LOD	< LOD	< LOD	< LOD	< LOD	< LOD	< LOD	< LOD	< LOD	< LOD

Čovjek savremenog doba, najčešće je pod stresom, sa malo fizičke aktivnosti ali i nepravilnom ishranom. Sve navedeno su poznati činioci za kardiovaskularna oboljenja koja se mogu prepoznati npr. povećanim pritiskom, bolovima u srcu, hipertenzijom ili aritmijom. Upravu tu vrstu lijekova ovo istraživanje je imalo za cilj da utvrdi. Rezultati istraživanja prikazani su i za "ljetnji" i "zimski" aspekt tabelom 23.

Tabela 23: Rezultati ispitivanja koncentracije PhAC (ljekovi kardiovaskularnih oboljenja) u vodama istraživanih lokacija tokom "ljetnjeg" i "zimskog" istraživanja a tokom 2017.-2018. godine.

"ljetnje uzorkovanje"	Losartan	Valsartan	Atorvastatin	Fluvastatin	Ibersartan	Pravastatin	Amlodipine	Verapamil	Norverapamil	Atenolo	Sotalol	Propanolol	Metoprolol	Nadolol	Carazolol
Zlatica/Smokovac	< LOD	< LOD	< LOD	< LOD	< LOD	< LOD	< LOD	< LOD	< LOD	< LOD	< LOD	< LOD	< LOD	< LOD	< LOD
Vukovci	< LOD	< LOD	< LOD	< LOD	< LOD	< LOD	< LOD	< LOD	< LOD	< LOD	< LOD	< LOD	< LOD	< LOD	< LOD
Lijevi krak rijeke Morače	< LOD	< LOD	< LOD	< LOD	< LOD	< LOD	< LOD	< LOD	< LOD	< LOD	< LOD	< LOD	< LOD	< LOD	< LOD
Desni krak rijeke Morače	< LOD	< LOD	< LOD	< LOD	< LOD	< LOD	< LOD	< LOD	< LOD	< LOD	< LOD	< LOD	< LOD	< LOD	< LOD
" Kraljeva glavica"-Vranjina	< LOD	< LOD	< LOD	< LOD	< LOD	< LOD	< LOD	< LOD	< LOD	< LOD	< LOD	< LOD	< LOD	< LOD	< LOD
„Tanki rt“ – ispod mosta	< LOD	< LOD	< LOD	< LOD	< LOD	< LOD	< LOD	< LOD	< LOD	< LOD	< LOD	< LOD	< LOD	< LOD	< LOD
LOD	0,86	3,47	1,44	3,14	1,07	4,71	0,56	1,20	0,81	2,45	0,81	0,88	0,98	1,60	0,67
LOQ	2,89	11,57	4,81	10,47	3,58	15,70	1,87	4,01	2,70	8,17	2,71	2,95	3,27	5,32	2,22
"zimsko uzorkovanje"	Losartan	Valsartan	Atorvastatin	Fluvastatin	Ibersartan	Pravastatin	Amlodipine	Verapamil	Norverapamil	Atenolo	Sotalol	Propanolol	Metoprolol	Nadolol	Carazolol
Zlatica/Smokovac	< LOD	< LOD	< LOD	< LOD	< LOD	< LOD	< LOD	< LOD	< LOD	< LOD	< LOD	< LOD	< LOD	< LOD	< LOD
Vukovci	< LOD	< LOD	< LOD	< LOD	< LOD	< LOD	< LOD	< LOD	< LOD	< LOD	< LOD	< LOD	< LOD	< LOD	< LOD
Lijevi krak rijeke Morače	< LOD	< LOD	< LOD	< LOD	< LOD	< LOD	< LOD	< LOD	< LOD	< LOD	< LOD	< LOD	< LOD	< LOD	< LOD
Desni krak rijeke Morače	< LOD	< LOD	< LOD	< LOD	< LOD	< LOD	< LOD	< LOD	< LOD	< LOD	< LOD	< LOD	< LOD	< LOD	< LOD
" Kraljeva glavica"-Vranjina	< LOD	< LOD	< LOD	< LOD	< LOD	< LOD	< LOD	< LOD	< LOD	< LOD	< LOD	< LOD	< LOD	< LOD	< LOD
„Tanki rt“ – ispod mosta	< LOD	< LOD	< LOD	< LOD	< LOD	< LOD	< LOD	< LOD	< LOD	< LOD	< LOD	< LOD	< LOD	< LOD	< LOD

Na osnovu rezultata prikazanih u tabeli 23, možemo da konstatujemo da su se koncentracije svih ispitivanih lijekova u vodi nalazile ispod limita detekcije. Limiti detekcije kretali su se od $0,56 \text{ ngL}^{-1}$ do $3,47 \text{ ngL}^{-1}$.

Sporadično i rijetno nalaženje lijekova u vodi istraživanih lokaliteta, u toku zimskog i ljetnjeg istraživanja potvrdila je grupa lijekova NSAID (Nesteroidni antiinflamatorni lekovi).

Na osnovu Tab. 24, možemo da konstatujemo da su i u toku "ljetnjeg" i u toku "zimskog" istraživanja na ispitivanim lokacijama dokazani lijekovi Acetaminofen i Salicylic acid (salicilne kisjeline). Iz tabele 5.7. n konstatujemo da se u ljeto 2017. godine na lokalitetima: Vukovci Acetaminophen (acetaminofen-paracetamol) nalazio u koncentraciji ($6,02 \text{ ngL}^{-1}$), na lokalitetu "Lijevi krak" rijeke Morače u koncentraciji ($8,62 \text{ ngL}^{-1}$) i na lokalitetu "Desni krak" rijeke Morače u koncentraciji ($5,82 \text{ nL}^{-1}$). LOD za Acetaminophen je izračunat i iznosio je ($0,86 \text{ ngL}^{-1}$).

U toku „ljetnjeg“ ispitivanja za ostala tri lokaliteta su zabilježile vrijednosti ispod LOD-a, odnosno ispod ($0,86 \text{ ngL}^{-1}$).

Na osnovu iste tabele (24) uočavamo da je prisustvo Salicylic acid (salicilne kisjeline) dokazano na svim lokalitetima pa i na „nultoj tački“. LOD za ovaj lijek iznosio je ($1,14 \text{ ngL}^{-1}$), dok se izračunata koncentracija lijeka u uzorcima vode na lokalitetima kretala od maksimalnih ($21,15 \text{ ngL}^{-1}$) na lokalitetu „Lijevi krak“ rijeke Morače, do minimalnih ($8,3 \text{ ngL}^{-1}$) na lokalitetu „Kraljeva glavica“-Vranjina. Prisustvo ibobrufena, diklofena, naproksena i ostalih devet nesteroidnih antiinflamitornih ljekova u vodama ispitivanih lokaliteta nije dokazano.

Tabela 24: Rezultati ispitivanja koncentracije PhAC (NSAID) u vodama istraživanih lokacija tokom „ljetnjeg“ i „zimskog“ istraživanja a tokom 2017.-2018. godine.

	Acetaminophen	Salicylic acid	Ibuprofen	Ketoprofen	Bezafibrat	Gemfibrozil	Naproxen	Diclofenac	Meloxicam	Piroxicam	Tenoxicam	Indometacin	Phenazone	Propyphenazone
Zlatica/Smokovac	< LOD	19,58	< LOD	< LOD	< LOD	< LOD	< LOD	< LOD	< LOD	< LOD	< LOD	< LOD	< LOD	< LOD
Vukovci	6,02	15,98	< LOD	< LOD	< LOD	< LOD	< LOD	< LOD	< LOD	< LOD	< LOD	< LOD	< LOD	< LOD
Lijevi krak rijeke Morače	8,62	21,15	< LOD	< LOD	< LOD	< LOD	< LOD	< LOD	< LOD	< LOD	< LOD	< LOD	< LOD	< LOD
Desni krak rijeke Morače	5,82	17,7	< LOD	< LOD	< LOD	< LOD	< LOD	< LOD	< LOD	< LOD	< LOD	< LOD	< LOD	< LOD
„ Kraljeva glavica“-Vranjina	< LOD	8,3	< LOD	< LOD	< LOD	< LOD	< LOD	< LOD	< LOD	< LOD	< LOD	< LOD	< LOD	< LOD
„Tanki rt“ - ispod mosta	< LOD	14,23	< LOD	< LOD	< LOD	< LOD	< LOD	< LOD	< LOD	< LOD	< LOD	< LOD	< LOD	< LOD
LOD	0,95	1,14	10,27	23,55	2,03	4,72	13,27	4,55	2,76	1,45	0,59	5,55	3,66	1,51
LOQ	3,16	3,79	34,23	78,49	6,76	15,73	44,22	15,16	9,19	4,83	1,95	18,50	12,19	5,02
	Acetaminophen	Salicylic acid	Ibuprofen	Ketoprofen	Bezafibrat	Gemfibrozil	Naproxen	Diclofenac	Meloxicam	Piroxicam	Tenoxicam	Indometacin	Phenazone	Propyphenazone
Zlatica/Smokovac	1,91	11,22	< LOD	< LOD	< LOD	< LOD	< LOD	< LOD	< LOD	< LOD	< LOD	< LOD	< LOD	< LOD
Vukovci	< LOD	12,72	< LOD	< LOD	< LOD	< LOD	< LOD	< LOD	< LOD	< LOD	< LOD	< LOD	< LOD	< LOD
Lijevi krak rijeke Morače	7,37	25,13	< LOD	< LOD	< LOD	< LOD	< LOD	< LOD	< LOD	< LOD	< LOD	< LOD	< LOD	< LOD
Desni krak rijeke Morače	6,87	12,09	< LOD	< LOD	< LOD	< LOD	< LOD	< LOD	< LOD	< LOD	< LOD	< LOD	< LOD	< LOD
„ Kraljeva glavica“-Vranjina	3,63	24,64	< LOD	< LOD	< LOD	< LOD	< LOD	< LOD	< LOD	< LOD	< LOD	< LOD	< LOD	< LOD
„Tanki rt“ - ispod mosta	5,68	31,04	< LOD	< LOD	< LOD	< LOD	< LOD	< LOD	< LOD	< LOD	< LOD	< LOD	< LOD	< LOD

U vrijeme visokih voda, zbog miješanja voda, visokog dodostaja, podizanja PhAC iz sedimenta, i pseudorezistencije kao izuzetno značajne osobine, koncentracije Acetaminophen i Salicylic acid su znatno uvećane (Tab. 24). Na osnovu pomenute tabele vidimo da se u toku „zimskog“ uzorkovanja na se lokalitetu Vukovci prisušvo Acetaminophen-a gubi, odnosno, njegova koncentracija biva ispod granice detekcije.

Iz tabele 24, vidimo da je na ostalih pet lokacija najniža koncentracija zabilježena na lokalitetu Zlatica/Smokovac ($1,91 \text{ ngL}^{-1}$), a najviša na lokalitetu „Desni“ krak rijeke Morače ($6,87 \text{ ngL}^{-1}$). Prisustvo salicilne kisjeline dokazano je na svih šest lokaliteta, a njena koncentracija u analiziranim uzorcima vode kretala se od maksimalne ($30,04 \text{ ngL}^{-1}$) na lokalitetu „Tanki rt“-ispod mosta do minimalne koncentracije od ($1,22 \text{ ngL}^{-1}$), na lokalitetu Zlatica/Smokovac.

Tokom ovog istraživanja uzorci vode su analizirani i na prisustvo kortikosteroida (Deksametazon), diuretike (Furosemid, Hidrochlortiazid i Torasemid).

Uzorci su takođe analizirani i na prisustvo Tamsulosin-ljek protiv uvećanja prostate, kao i na prisustvo antitrombocida/antikoagulanta (Klopидогrel i Varfarin), antidiabetički (Glibenclamide). Rezultati „ljetnjeg“ i „zimskog“ uzorkovanja predstavljeni su tabelom 25.

Tabela 25: Rezultati ispitivanja koncentracije PhAC (kortikosteroidi, diuretici, ljekovi za liječenje uvećanja prostate, antikoagulantni, antidiabetici) u vodama istraživanih lokacija tokom „ljetnjeg“ i „zimskog“ istraživanja a tokom 2017.-2018. godine.

"Ijetnje uzorkovanje"	Dexamethasone	Furosemid	Hydrochlorothiazide	Torasemide	Tamsulosin	Clopidogrel	Warfarin	Glibenclamide
Zlatica/Smokovac	< LOD	< LOD	< LOD	< LOD	< LOD	< LOD	< LOD	< LOD
Vukovci	< LOD	< LOD	< LOD	< LOD	< LOD	< LOD	< LOD	< LOD
Lijevi krak rijeke Morače	< LOD	< LOD	< LOD	< LOD	< LOD	< LOD	< LOD	< LOD
Desni krak rijeke Morače	< LOD	< LOD	< LOD	< LOD	< LOD	< LOD	< LOD	< LOD
„Kraljeva glavica“- Vranjina	< LOD	< LOD	< LOD	< LOD	< LOD	< LOD	< LOD	< LOD
„Tanki rt“ – ispod mosta	< LOD	< LOD	< LOD	< LOD	< LOD	< LOD	< LOD	< LOD
LOD	2,42	10,90	2,18	1,46	1,47	2,13	1,97	2,4
LOQ	8,07	36,32	7,25	4,85	4,91	7,10	6,58	8
"zimsko uzorkovanje"	Dexamethasone	Furosemid	Hydrochlorothiazide	Torasemide	Tamsulosin	Clopidogrel	Warfarin	Glibenclamide
Zlatica/Smokovac	< LOD	< LOD	< LOD	< LOD	< LOD	< LOD	< LOD	< LOD
Vukovci	< LOD	< LOD	< LOD	< LOD	< LOD	< LOD	< LOD	< LOD
Lijevi krak rijeke Morače	< LOD	< LOD	< LOQ	< LOD	< LOD	< LOD	< LOD	< LOD
Desni krak rijeke Morače	< LOD	< LOD	< LOQ	< LOD	< LOD	< LOD	< LOD	< LOD
„Kraljeva glavica“- Vranjina	< LOD	< LOD	< LOQ	< LOD	< LOD	< LOD	< LOD	< LOD
„Tanki rt“ – ispod mosta	< LOD	< LOD	< LOD	< LOD	< LOD	< LOD	< LOD	< LOD

Pregledom rezultata prikazanih u (tab. 25) možemo da vidimo da su sve izračunate vrijednosti bile ispod nivoa detekcije. Izuzetak predstavlja „zimsko“ ispitivanje za lijek Hidrochlorotiazida za lokalitete: Lijevi i Desni krak rijeke Morače i „Tanki rt“-ispod mosta, gdje su vrijednosti ispod limita kvalifikacije, odnosno <LOQ.

5.8 REZULTATI HQ

Water Framework Directive (Okvirna direktiva EU o vodama 200/60/EC) smatra da sve dobijene vrijednosti HQ ispod 0,01 nemaju uticaja, nijesu rizične za akvatične organizme.

Potencijani ekološki rizik, u odnosu na ispitivane farmaceutike u vodi, izračunat je preko odnosa dobijene koncentracije iz uzorka i poznate koncentracije date iz (NORMAN network) odnosno preko indeksa HQ. PNEC za Acetaminofen (paracetamol) je izračunat za slatku vodu prema ECHA DOSSIER (03/2018), dok je PNEC za Salicilnu kisjelinu izračunat na vrsti Daphnia longispina a prema izvoru Aquire 111312.

U toku ovog istraživanja samo za farmaceutike iz reda NSAID, možemo da tvrdimo sa sigurnoću da su konstantni, pa je stoga i HQ izračunat za njih, a rezultati prikazani tabelarno (tab. 26).

Tabela 26: HQ indeks za PhAC (NSAID) tokom istraživanja 2017.-2018. godine

Ijetnje	Acetaminophen	Salicylic acid	zimsko	Acetaminophen	Salicylic acid
Zlatica/Smokovac	0,001	0,006	Zlatica/Smokovac	0	0,001
Vukovci	0	0,007	Vukovci	0,0044	0,008
Lijevi krak rijeke Morače	0,0055	0,001	Lijevi krak rijeke Morače	0,0064	0,001
Desni krak rijeke Morače	0,005	0,006	Desni krak rijeke Morače	0,0043	0,009
„Kraljeva glavica“-Vranjina	0,002	0,001	„Kraljeva glavica“-Vranjina	0	0,004
„Tanki rt“ – ispod mosta	0,004	0,001	„Tanki rt“ – ispod mosta	0	0,007

Uvidom u tabelu 26, vidimo da su vrijednosti HQ za Acetominophen (Acetominofen-Pารacetamol) za lokalitet Zlatica-Smokovac u toku ljetnjeg perioda bile 0,001 a u toku zime 0 tj, nije identifikovano prisustvo ovog lijeka. Na osnovu tabele 26 za isti lokalitet, vidimo da je HQ za lijek Salicylic acid (Salicilna kisjelina-Aspirin) u "ljetnjem" uzorkovanju imao vrijednost 0,006; dok je tokom "zimskog" uzorkovanja HQ indeks iznosio 0,001.

Iz iste tabele vidimo da se zbog ne identifikovanja prisustva Acetominophen-a nije bilo moguće ni izračunati HQ za lokalitet Vukovci za „ljetnje“ uzorkovanje. HQ je za „zimsko“ uzorkovanje iznosio 0,0044.

Vrijednost HQ za salicilnu kisjelinu za ljetnje ispitivanje za lokalitet Vukovci bila je 0,007; a za zimsko ispitivanje 0,008.

Izuzetno su niske vrijednosti HQ i za lokalitete "Lijevi" i "Desni" krak rijeke Morače, i kreću se od 0,005 za Acetaminofen tokom ljeta, do 0,0064; odnosno, 0,0043 tokom zime.

Tabelom 26, prikazano je da je HQ za Salicilnu kisjelinu za lokalitet "Lijevi" krak rijeke Morače i za "zimsko" i za "ljetnje" uzorkovanje iznosio je 0,001. Za lokalitet "Desni" krak rijeke Morače iznosio je 0,006 za ljetnje, odnosno 0,009 za zimsko ispitivanje.

Na osnovu tabele 26, zaključujemo da postoji mala razlika u vrijednostima HQ za lokalitete "Kraljeva glavica"-Vranjina i "Tanki rt"-ispod mosta, kako za Acetaminofen tako i za Salicilnu kisjelinu.

Za lokalitet „Kraljeva glavica“-Vranjina tokom "ljetnjeg" uzorkovanja HQ za Acetaminofen 0,02 a za lokalitet "Tanki rt"-ispod mosta, za taj isti period 0,04. Tokom "zimskog" uzorkovanja pomenuti lijek nije dokazan (<LOD) pa stoga nije bilo moguće ni utvrditi HQ.

Potencijani ekološki rizik, izražen HQ-om, za istraživane lokalitete "Kraljeva glavica"-Vranjina i "Tanki rt"-ispod mosta trebalo je da dokazati i za lijek Salicilna kisjelina. HQ je za oba lokaliteta za vrijeme "ljetnjeg" uzorkovanja iznosio 0,001, dok je tokom "zimskog" uzorkovanja njegova vrijednost za lokalitet "Kraljeva glavica"-Vranjina iznosio 0,004 a za lokalitet "Tanki rt"-ispod mosta 0,007.

6. DISKUSIJA

Lokaliteti obuhvaćeni ovim istraživanjima predstavljaju posebne dionice rijeke Morače (Zlatica-Smokovac, Vukovci, "Lijevi krak rijeke Morače", "Desni krak rijeke Morače") i Skadarskog jezera ("Kraljeva glavica" Vranjina i "Tanki rt" -ispod mosta Jezero). Ovi lokaliteti zajedno su profili koji se tokom svake ljetnje sezone, izuzev lokaliteta „Lijevi krak rijeke Morače“ i „Desni krak rijeke Morače“ ispituju od strane Ministarstva ekologije i zaštite životne sredine. Za potrebe Ministrarstva istraživanja vrši Hidrometeorološki zavod. Međutim, od strane pomenutog Ministrarstva i Zavoda, mjerodavne vrijednosti kvaliteta vode, (Uredba o klasifikaciji i kategorizaciji voda "Sl list RCG 15/97") obuhvataju vremenski period od juna do oktobra, tako da ne postoje podaci koji se tiču „zimskog“ aspekta te je prosto nemoguće izvesti zaključak o stanju kvaliteta vode u toku godišnjeg ciklusa voda.

Vode pomenutih lokacija istraživane su prema postavljenim ciljevima istraživanja u toku 2013.-2018. godine.

U cilju sagledavanja distribucije i populacione brojnosti ispitivanih grupa bakterija u vodi istraživanih lokaliteta, kao i u cilju određivanja kvaliteta vode na ispitivanim lokalitetima Morače i Skadarskog jezera paralelno su vršena i fizičko-hemijска istraživanja po sljedećim parametrima: temperatura vode i vazduha, pH, elektrolitička provodljivost, utrošak KMnO₄, određivana je koncentracija nitrata i nitrita u vodi, kao i hlorida, fluorida, rastvorenog kiseonika u vodi, zasićenost vode kiseonikom i biološka potrošnja kiseonika u vodi (BPK₅).

Temperatura vode je jedan od značajnih faktora koji utiču na kvantitativni i kvalitativni sastav i brojnost bakterijskih populacija. Na osnovu prikazanih rezultata (tabele 2, 3, 4 i 5) istraživani lokaliteti nisu bili izloženi većim temperturnim variranjima, izuzetak je lokalitet Zlatica/Smokovac. Takođe, su podložni uticaju niza abiotičkih i biotičkih činilaca sredine kao što su: temperatura vazduha, količina padavina, obraslost obala biljkama, prisutnost mikroalgi, kao i antropogeni uticaj.

Relativno neujednačena temperatura vode, kao abiotički faktor za razvoj organizama, osnovni je uzrok velikog sezonskog variranja u brojnosti istraživanih grupa mikroorganizama.

Temperatura vode u toku „zimskog“ aspekta ispitivanja pokazala je jedino odstupanje u, na lokaciji Zlatica/Smokovac, pa je maksimalna temperatura vode za ovaj period na toj lokaciji 13°C i to u novembru 2017. godina, a najniža u januaru te iste godine 3°C. Temperaturne razlike za „ljetnji period“ vode na lokaciji Zlatica/Smokovac jedino je evidentna u toku majskog istraživanja kada je bila za 5°C niža u odnosu na ostale lokalitete. Temperatura vode za lokalitet „Kraljeva glavica“ Vranjina u toku „zimskog režima“ voda kretala se od 5,2°C-18,2°C.

Temperatura vode prvenstveno zavisi od spoljašnje temperature vazduha, dubine na kojoj se vrši uzorkovanje, ali na nju takođe ima uticaj i količina reasorbovanih čestica u njoj (Otieno et all., 2017). Variranje temperatura vode je očekivano i u zavisnosti je od spoljašnjih faktora (Boyd & Lichtkoppler (1979) ali je izuzetno važno da se temperatura vode u slatkovodim sistemima kreće u granicama koje su vezane za metaboličku aktivnost živućih organizama posebno riba.

Hemijski sastav vode zavisi od geološko-klimatskih uslova, biohemijske aktivnosti biološke komponente u ekosistemu, kao i od direktnog i indirektnog antropogenog uticaja, čija uloga i djelovanje na kvalitet vode postaju sve aktuelniji (Radonjić 2006). Pregledom fizičko-hemijskih rezultata voda istraživanih lokacija, tokom 2017.-2018. godine kontatujemo da je saturacija kiseonikom tokom sveukupnog istraživanja velika. I u toku „ljetnjeg režima“ vode ispitivanih lokacija bile su saturisane kiseonikom i uglavnom su se kretale preko 100% zasićenja sa kiseonikom. Kiseonik se nalazi u vodi u rastvorenom stanju. Iz atmosfere dospijeva apsorpcijom, a u vodi nastaje u procesom fotosinteze akvatičnih biljaka i fitoplanktona. Sve vode istraživanih lokaliteta pokazuju suficit kiseonika što ukazuje na aktivnost akvitične vegetacije.

Saturacija kiseonikom je esencijalna za kvalitet vode, ekološki status i produktivnost jezera. Mustapha, (2008) ukazuje da je ovako rastvoren kiseonik u vodi sveza između bioloških i hemijskih reakcija za što on pokretač. Postoji tendencija rasta utrošenog $KMnO_4$, od lokacije Zlatica/Smokovac (0,91-2,77) do lokacije „Tanki trt“-ispod mosta (1,99-2,77), nema značajni Tendencije rasta, utrošenog kalijum permanganata, u uzorcima vode je očekivana, imajući u vidu da rijeka Morača svojim donjim tokom protiče kroz Podgoricu i da se u nju ulivaju djelimično prečišćene i neprečišćene otpadne vode.

Istražujući više lokaliteta na Skadarskom jezeru tokom 1966-1968. godine i 1972-1973. godine, uključujući i jul 1976. godine, Petrović i Beeton, (1981) navode da hemijske karakteristike vode Skadarskog jezera nastaju kao rezultat uliva voda iz glavnih pritoka, sublakustičkih izvora, kao i razmjene između sedimenata vode i ekstenzivnih poplava (Radonjić, 2017).

Upoređivanjem rezultata fizičko-hemijskog ispitivanja voda „zimskog“ i „ljetnjeg“ aspekta, utvrđuju se značajne razlike u temperativnom režimu vode i vazduha. Utrošak $KMnO_4$ značajniji je u toku ljetnjeg uzorkovanja i kreće se od (1,29-3,2) za lokalitet Smokovac/ Zlatica do maksimalno izračunatih $5,82 \text{ mg/dm}^3$ za lokalitet „Lijevi krak“ rijeke Morače. Na osnovu obavljenih hemijskih analiza voda istraživanih lokaliteta, možemo reći da one pokazuju dobre karakteristike pa se sve vode istraživanih lokacija mogu svrstati u A₁ i A₂ klasu (Uredba o klasifikaciji i kategorizaciji voda, „Sl list RCG 15/97“).

Prikazujući hemijski kvalitet vode rijeke Morače, u periodu 1998-2002. godine, Topalović i saradnici (2003) navode da se rijeka Morača uzvodno od Podgorice nalazi u A₁ klasi

(Uredba o klasifikaciji i kategorizaciji voda," Sl. list RCG" 15/97). Međutim, često se u dijelu vodotoka kroz grad, dešavaju odstupanja od normalnih vrijednosti mnogih parametara (BPK₅ i nitrita) tj., granične vrijednosti često pripadaju A₂ klasi. Radonjić (2006) navodi, da na više lokacija duž cijelog toka rijeke Morače (od izvorišta -lokalitet Pernica do Ušća) kvalitet vode je u direktnoj vezi sa hemizmom vode, koji je rezultat kako geomorfoloških uslova, tako i antropogenog uticaja na što su ukazali i Topalović i saradnici, (2003).

Aktivnost heterotrofnih bakterija u vodenim ekosistemima povezana je sa transformacijom organskih materija i brzinom razgradnje izumrlih biljaka i životinja. Kochl (1975) navodi da brojno stanje heterotrofnih bakterija može poslužiti kao indikator kod utvrđivanja boniteta vode. U toku ovog istraživanja koristeći hetrotrofne bakterije kao indikatore kvaliteta vode, može se reći da voda kvalitet vode varira i da pripada I, I-II klasi i II klasi (najveći broj lokaliteta od avgusta do novembra 2017. godine boniteta vode (Slika 9). U toku 1992-1995. godine, Institut za javno zdravlje Crne Gore je proučavao kvalitet vode, Skadarskog jezera (jedan od lokaliteta je bio i lokalitet Vranjina). U sklopu navedenih istraživanja analizirane su i fiziološke grupe mikroorganizama (heterotrofne, oligotrofne, proteolizne, amilolizne, lipolizne i saharolizne), a takođe je rađen i stepen autopurifikacije po Kohl-u. Istraživanjem su na lokalitetu Vranjina utvrđene sve ispitivane grupe mikroorganizama. Najmanje vrijednosti fizioloških grupa mikroorganizama bile su u aprilu 1993. godine kada je broj heterotrofa iznosio 500, oligotrofa 300, proteolitskih bakterija 33, saharolitskih 0, lipolitskih 300, amilolitskih 0.

Slikom 12 možemo vidjeti da se brojnost lipolitskih bakterija za istraživani lokalitet "Tanki rt"- ispod mosta kretala od 13-85 bakterije/cm³ dok se brojnost proteolitskih bakterija nalazila u opsegu od 24-40,000 bakterija/cm³. Ovo veliko odstupanje pripisuje se indikabilnom antropološkom zagađenju. Amilolitske bakterije nisu porasle na zasijanim podlogama u januaru 2017. godine kao i u januaru 2018.godine. Njihov maksimalni broj na istraživanom lokalitetu zabilježen je tokom septembarskog uzorkovanja i iznosio je 1280 bakterija/cm³.

Pošto je biologija planktonskih mikroorganizama specifična, a njihov život rijetko se odvija u optimalnim uslovima sredine, budući da su vodeni ekosistemi podložni periodičnosti bioloških procesa, izazvanih sezonskom dinamikom kompleksa ekoloških faktora i unutrašnjim uzrocima bioloških sistema, to svaki bitniji poremećaj u kvantitativnom kao i kvalitativnom sastavu pojedinih fizioloških grupa mikroorganizama ima indikativno značenje i u pogledu poremećenosti životnih uslova (Radonjić, 2006). Polazeći od ovoga, određivana je sezonska dinamika amiloliznih, proteoliznih i lipoliznih od kojih zavisi kvalitet biogenih elemenata, koji su neophodni za razvoj drugih grupa organizama na primjer fitoplanktona, a čime se obezbjeđuje biolosko kruženje (Radonjić, 2016).

Prateći sezonsku dinamiku fizioloških grupa mikroorganizama (Slike 10,11 i 12) uočava

se da su u toku perioda visokih voda prisutne sve tri vrste bakterija, ali da je u odnosu na ostale lokalitete za lokalitet Zlatica/Smokovac abudantno niska i kontantna. Dominacija amilolitskih bakterija na lokalitetu „Desni krak rijeke Morače“ u registrovana je toku septembra 2017. godine sa 9000 bakterija.

Na osnovu slike 11, očitavaju se tri dominantna „pika“: „Kraljeva glavica“-Vranjina preko 60000 proteolitskih bakterija, u septembru 2017, „Desni krak rijeke Morače“ u januaru 2018. godine, preko 60000 i treći interesantan „pik“ je na lokalitetu „Tanki rt“ u decembru 2018. Godine sa 40000 proteolitskih bakterija.

Korišćenjem Mann Whitney U testa, statistički su dokazne razlike dobijenih rezultata u toku „zimskog“ i „ljetnjeg“ uzorkovanja mikrobiološkog kvaliteta vode na istraživanim lokacijama kako u pogledu rezultata dobijenih opservacijom fizioloških grupa mikroorganizama, tako i u sanitarnom aspektu mikrobiološkog kvaliteta vode istraživanih lokacija, gdje je kao „nulta tačka“ bila lokacija Zlatica/Smokovac-hipotetički zamišljena kao tačka bez ili sa smanjenim antropogenim uticajem, jer se geografski nalazi izvan uticaja grada Podgorice.

50% dobijenih vrijednosti za „zimsko“ uzorkovanje (Slika 15) bilo je brojčano više od 37.5 bakterija/cm³, dok se za „ljetnje“ uzorkovanje ta vrijednost povećala do više od 370 bakterija/cm³. Ovaj podatak nam govori da postoji statistički značajna razlika u broju amilolitskih bakterija na ispitivanim lokacijama između ljetnjeg i zimskog uzorkovanja koja se može prikazati kao ($p = 0.014$) u korist „letnjeg“ istraživanja.

Lipolizne bakterije su u toku septembra 2017. godine lokaciji „Tanki rt-ispod mosta Jezero, brojno bile najdominantnije sa 40000 bakterija bakterija. Takođe, zabilježena su još dva manja „pika“ u novembru 2017. godine 5000 na lokalitetu Vukovci i na lokalitetu Zlatica/Smokovac u decembru 2017. godine.

Zbog male visine vodenog stuba u ljetnjem periodu, a velike debljine mulja, može se pretpostaviti da su rezultati ovakvog stanja vode istraživanog lokaliteta prevagnuli u korist koliformnih bakterija i bakterija fekalnog porijekla (tab. 6), kao i intezivnih anaerobnih procesa razgradnje organskih materija u mulju, gdje identifikacija sulfidoredukujućih klostridija može poslužiti kao dokaz. Tokom istraživanja sprovedenog 2017- 2018. godine na svim istraživanim lokacijama bile su prisutne koliformne bakterije fekalnog porijekla.

Kao sanitarni pokazatelji, koji se primjenjuju u ocjeni prisustva patogenih mikroorganizama u vodi, služe mikroorganizmi za koje je digestivni trakt su stalna životna sredina. Prisutnost ovih mikroorganizama, njihova distribucija i populaciona dinamika indikator su zagađenja i omogućavaju preciznu ocjenu stepena bakterijskog zagađenja vode.

U vodi lokaliteta Zlatica/Smokovac tokom cijelogodišnjeg istraživanja evidentirano je prisustvo koliformnih bakterija fekalnog porijekla. Identifikovani su: *Enterobacter cloacae*,

Klebsiella oxytoca, *Citrobacter freundii*, *Citrobacter diversus*, *Serratia sp.* *Citrobacter aerogenus*, *Streptococcus faecalis*-a, *Pseudomonas aeruginosa*, *Escherichia coli*, *Citrobacter freundii* identifikovani su na lokalitetu. *Pseudomonas aeruginosa*, je identifikovan u septembru 2017. godine. Sulfidoredukuće klostridije i *Proteus* vrste nisu identifikovane.

50% izmjerena vrijednosti za koliformne bakterije fekalnog porijekla, (Slika 18) na svim lokacijama za vrijeme „zimskog“ uzorkovanja bilo je više od 13250 bakterija/ cm³, a za vrijeme „ljetnjeg“ uzorkovanja više od 1950 bakterija/cm³ što se statistički značajno ne razlikuje ($p = 0.0196$).

Koliformne bakterije fekalnog porijekla najveću brojnost za lokalitet Vukovci su imale tokom januarskog uzorkovanja 24000 bakterija/cm³, a najmanju vrijednost 440 bakterija/cm³. Prema (tab. 8) prisustvo *Streptococcus faecalis* zabilježeno je tokom majske i novembarskog uzorkovanja, a *Proteus vulgaris*-a u toku januara 2018. godine. Vrsta *Pseudomonas aeruginosa* je identifikovana u avgustovskom, septembarskom i decembarskom istraživanju. Sulfidoredukuće klostridije (1 bakterija) dokazane su u maju 2017. godine. Najčešće identifikovana koliformna bakterija fekalnog porijekla je *Escherichia coli*.

U toku 2003. godine sprovedeno je istraživanje distribucije i populacione dinamike bakterija u rijeci Morači na potezu izvorište-lokalitet Pernica do Ušća-lokalitet Vukovci. Na osnovu broja koliformnih bakterija i bakterija fekalnog porijekla, a po Uredbi o klasifikaciji i kategorizaciji voda, Morača na lokalitetu Pernica tokom šestomjesečnog istraživanja pripada A1 klasi boniteta voda, dok nizvodno od kolektora pripada A3 klasi boniteta voda (Radonjić, 2006). Ako ta istraživanja uporedimo sa sadašnjim, uočava se da na osnovu brojnosti koliformnih bakterija i koliformnih bakterija fekalnog porijekla, status istraživanih lokaliteta nije bitnije pogoršao (tab. 7 i 8).

Rezultati mikrobioloških analiza sanitarnog stanja vode koriste se za procjenu rizika po zdravlje ljudi pri upotrebi tih voda, kao i za procjenu pogodnosti voda za vodosnabdijevanje i praćenje efikasnosti prečišćavanja vode za piće.

Upoređivanjem lokaliteta „Lijevi krak rijeke Morače“ i „Desni krak rijeke Morače“ prisustvo bakterije *Streptococcus faecalis*-a dokazano je na oba lokaliteta. Prisustvo *Proteus vulgaris*-a i sulfidoredukućih klostridija dokazano je u toku majske uzorkovanja samo na lokalitetu „Lijevi krak rijeke Morače“. Koliformne bakterije fekalnog porijekla: *Escherichia coli*, *Citrobacter freundii*, *Klebsiella oxytoca*, *Citrobacter sp.*, *Enterobacter sp.*, zajedničko je za oba lokaliteta (tab.9 i 10)

Na lokalitetu „Kraljeva glavica“-Vranjina (tab.11) prebrojane 38 kolonije *Streptococcus faecalis*-a. 15 bakterija sulfidoredukućih klostridija u toku septembarskog ispitvanja, a jedna bakterija u maju 2017.godine, dok je na lokalitetu „Tanki rt“-ispod mosta (tab. 12)

prebrojano 30 bakterija *Streptococcus faecalis*-a, 6 bakterija sulfidoredukujućih klostridija takođe tokom septembra i maja. Prisustvo *Escherichia coli* dokaz je konstantnog zagađenja, za oba lokaliteta dok je prisustvo truleži dokazano je u septembru 2017. godine „rojenjem u /kroz podlogu“ samo za lokalitet “Kraljeva glavica”-Vranjina identifikovana je bakterija *Proteus vulgaris*. U januaru 2018. godine dokazano je prisustvo *Proteus mirabilis*. *Pseudomonas aeruginosa* bio je prisutan na oba lokaliteta.

Na osnovu grafičkog prikaza koliformnih bakterija fekalnog porijekla (Slika 21) za lokalitet „Kraljeva glavica“-Virpazar uviđamo da su maksimalne vrijednosti tih parametara se kretale od 50,000-100,000 bakterija/cm³ toku junskog i septembarskog ispitivanja. „Tanki rt“-ispod mosta-Jezero pokazuje upečatljivo najveće “pikove“ u toku januarskog, junskog i novembarskog ispitivanja kada je zabilježeno po 240,000 bakterija/cm³.

U cilju utvrđivanja kvaliteta litorala Ohridskog jezera Jordanovski i saradnici (2000) vršili suispitivanje organskog i neorganskog opterećenja litoralnog dijela Ohridskog jezera. Radonjić i saradnici (2013) identifikovali su mikroorganizme kao indikatore emergentskih supstanci u vodi. Prisustvo koliformnih bakterija bilo je registrovano na svim lokalitetima, tokom cijele godine. Sulfidoredukuće klostridi su bile takođe prisutne u vodi analiziranih uzoraka tokom cijele godine. Radonjić i Krivokapić (2006) utvrdili su da su koliformne bakterije, sulfidoredukuće klostridi, *Proteus vulgaris*, *Proteus mirabilis*, kao i *Pseudomonas aeruginosa* bile prisutne u toku ljetnjeg uzorkovanja u vodi na lokalitetu Vranjina (Skadarsko jezero).

Litoralna zona akvatičnih ekosistema, je međuprostor između kopna i otvorene vode (pelagijal) i u suštini ima viši produktivitet od pelagijalne. Ona se odlikuje sa velikim unošenjem organskog materijala, radi toga, u ovoj zoni postoji veza čvrsta veza između autotrofnih i heterotrofnih zajednica koje imaju jak uticaj na jezerski metabolizam (Overbeck & Chrost, 1990). Ukazuju i da je bakterijska biomasa količina organske materije koja se transformisala iz rastvorenog stanja, u bakterijske ćelije koje će je iskoristiti u narednom trofičnom nivou.

Bakterijski diverzitet lokaliteta „Lijevi krak rijeke Morače“ i „Desni krak rijeke Morače“ u korelaciji je sa lokalitetima „Kraljeva glavica“-Vranjina i „Tanki rt“- ispod mosta. Ova pozitivna sprega, posebno se ogleda u dominaciji vrste *Escherichiae coli* koja može koji se koristi u procjeni rizika po zdravlje ljudi.

Mikrobiološke zajednice, pružaju nam izuzetno korisne informacije o stanju u kome se ekosistem nalazi. Kao ubikvotarni organizmi, praktično su prvi na udaru hemijskih i fizičkih promjena u ekosistemu, pa svaka njihova promjena je u stari prekusor svim ostalim promjenama u lancu.

Fenotipske adaptacije fizioloških grupa mikroorganizama određivane su na osnovu promjena definisanih vrijednostima CLPP tj. kalkulacijama AMR i CDM, ali i prikazom fenotipskih

adaptacija na korištenje različitih izvora ugljenika kroz vrijeme (2016.godine -2018. godine) na istraživanim lokalitetima. Prosječan metabolički odgovor (AMR) po definiciji je srednja respiracija C-ničnih izvora koje koriste mikrobiološke zajednice a predvidljiv je i mjerljiv a među zajednicama može biti upoređivan.

AMR (Slika 22) predstavlja utvrđene rezultate istraživanja 2016-2018. godine. U toku januara 2018. godine zabilježena je maksimalna vrijednost za AMR od 1,009 na lokalitetu Vukovci za proteolitsku grupu mikroorganizama, odnosno minimalna vrijednost za AMR od 0,053; na lokalitetu „Desni krak rijeke Morače“ za tu istu grupu. Ovi rezultati ukazuju nam da je proteolitska grupa mikroorganizama imala različitu adaptivnu sposobnost za različite lokalitete.

Veća kompeticija za prostor i hranu u toku “ljetnjeg” režima voda 2017. godine presudila je u korist lipolitske grupe mikroorganizama, kada je izračunata maksimalna vrijednost od 1,517 na lokaciji „Kraljeva glavica“-Vranjina i čini dokaz i to da je u ovom uzorkovanju ova grupa mikroorganizama od ukupno 31 odreagovala na 22 različita izvora ugljenika (tab.13).

Najniža vrijednost za AMR i tokom 2017.godine zabilježena na lokaciji „Desni krak rijeke Morače“ za proteolitsku grupu mikroorganizama sa vrijednošću 0,026 i bila je za (-0,027) niža u odnosu na 2018. godinu.

U “ljetnjem” periodu 2016. godine “pik” za AMR imao je za 0,517 nižu vrijednost. Ova vrijednost je izračunata na lokaciji “Tanki rt” prateći razvoj biohemijakih reakcija na ploči za lipolitske bakterije. Minimalna vrijednost u toku „zimskog“ aspekta voda za 2016. godinu izračunata je na lokaciji “Lijevi krak rijeke Morače“ za proteolitsku grupu mikroorganizama, dok je maksimalna vrijednost izračunata na lokaciji ”Kraljeva glavica“-Vranjina na proteolitskoj grupi mikrorganizama.

Radonjić (2016) ističe da se AMR razvija postepeno, takođe i da je maksimalna koloritost na kupolama, mjerena od 0 do 168 sati najizražajnija nakon 48 sati. Ovime dokazuje da su mikrobiološke zajednice predkazivači informacija o promjenama u vodenim ekosistemima. (Preston-Mafham *et al.*, 2002) u svome radu daje osvrt razvoju mikrobioloških zajedница u odnosu na različite izvore nalaženja i njihove kultivizacije.

Različita životna sredina, različit način kultivizacije, različita gustina analiziranog uzorka tj. razblaženja uzorka kulture za analizu, daje različite rezultate AMR/ AWCD tvrde (Janniche *et al.*, 2012). Razblaženja ne utiču na AMR/ AWCD tvrde ova grupa naučnika. Choi & Dobbs, (1999) su dokazali da gotovo 0,6% istraživanih populacija nije pokazao svoj maksimum koloritnosti poslije 24 sata.

Diverzitet metabolizma zajednice mikroorganizama (CMD) predstavlja ukupan broj promijenjenih medijuma na mikrotitar ploči, i analogan je sastavu i funkciji mikrobiološke

zajednice. Mikrobiološki diverzitet zajednice se izračunava prostim brojanjem pozitivnih odgovora manifestovanih promjenom boje u narandžasto, tokom inkubacije i mjerena aktivnosti.

Promjene metaboličkih karateristika (Slika 23) zabilježena je na svim lokalitetima. Za lokalitet "Kraljeva glavica"- Vranjina lipolitska grupa bakterija u toku „ljetnjeg“ uzorkovanja 2017. godine sa vrijednošću od 58 (a to je ujedno bila najveća zabilježena vrijednost tokom istraživanja) za CDM u korelaciji je sa prosječnim metaboličkim odgovor 1,517; a i sa najboljom adaptacijom u korišćenju različitih izvora ugljenika 22 (tab.13).

Međutim, ako uporedimo (Slika 22) i (Slika 23) za lokalitet Vukovci postoji varijacija između ova dva istraživana parametra. AMR za lokalitet Vukovci -lipolitske je 0,649; a na lokalitet Vukovci-proteolitske je 0,671; dok su vrijednosti CMD bile 57 i 51. Metabolički diverzitet ovog lokaliteta potvrđen je i fenotipskih adaptacija za obije grupe mikroorganizama sa po 20 različitih izvora ugljenika na koje su odreagovale. Ovakvi rezultati mogu biti tumačeni direktnim uticajem različitih toksikanata na mikrobiološke populacije.

(Battaglin *et al.*, 2009), nalaze da je prisustvo različitih pesticida i njihovih ostataka u uzorcima površinskih i podzemnih voda uticalo na veličinu prosječnog metaboličkog odgovora mikrobioloških zajednica. Takođe, istraživani su i glifosati i ostali herbicidi, kako i na koji način djeluju na bakterijske populacije.

Međutim, organski zagađivači ne moraju samo da utiču na diverzitet akvatičkih mikroorganizama, ekološki stres je zabilježen i na mikroorganizmima terestičnih ekosistema (Dobbin et. al., 1999). Radonjić (2016), navodi da su brojni ostaci EmS, dobijenih na osnovu „Skriining“ istraživanja uticali su na promijenjen fenotip mikrobioloških zajednica na lokalitetu Vukovci koje kao izvor „hrane“ koriste ugljenik. Takođe, ukazuju da su fizioološke grupe mikroorganizama tampon za ublažavanje gradijenta ekoloških promjena.

Metabolički odgovor za 2018. godinu najveću vrijednost sa 57 je dao lokalitet Vukovci za lipolitske bakterije. Lipolitske bakterije su metabolički dobro odgovorile na lokalitima „Lijevi krak rijeke Morače“ i “Tanki rt”.

Znatno manje vrijednosti za sve parametre i u toku „zimskog“ i u toku „ljetnjeg“ uzorkovanja dobijene su za sve istraživane lokalitete tokom 2016. godine. Pa je maksimalna zabilježena vrijednost za CMD (Slika 23) na istraživanim lokalitetima bila na lokalitetu "Kraljeva glavica"-Vranjina za lipolitsku grupu bakterija 40, kada je izračnati AMR bio 0,574.

Fenotipski mikroorganizmi se mijenjaju, za te promjene potrebno vrijeme i generacijske promjene mikroorganizama.

Sedam velikih grupa organskih jedinjenja: ugljeni hidrati, karbonatne kiseline, amino kiseline, fosvorilirajuća jedinjenja, estri, amini i polimeri su jedinjenja koja dokazano prva

reaguju na eko stres u vodenim sredinama. (Huanhuan et al., 2011) pokazali su da postoji značajne razlike u strukturi zajednica i metaboličkom korišćenju izvora ugljenika između mikroorganizama iz laboratorijski pravljenih uslova i tzv. "divljih sojeva" iz različitih vodenih ekosistema. Međutim, zajedničko im je da će za izvor energije koristiti polimere, ugljene hidrate, karboksilne kiseline i aminokiseline.

U našem slučaju (tab.13) iz grupe ugljenih hidrata najčešće je bila iskorištena D-ksiloza, a od karboksilne kiseline Glicil-L-glutaminska. D,L- α -Glicerol fosfat kao izvor energije iskoristilo je 50% istraživane populacije fizioloških grupa mikroorganizama. Amino kiseline nije koristila ukupno istraživana populacija, na svi lokalitetima pa se na osnovu (tab.13) njihovo prisustvo nije zabilježilo na lokalitetima ("Tanki rt"-proteolitska grupa bakterija i Zlatica/"Smokovac"-lipolitska grupa bakterija). Amidno jedinjenje putrescin registrovan je na lokaciji Vukovci za obije fiziološke grupe mikroorganizama. Grupa polimernih jedinjenja nije evidentirana u uzorcima (Tanki rt"-proteolitska grupa bakterija, Zlatica/"Smokovac"-lipolitska grupa bakterija i Zlatica/"Smokovac"-proteolitska grupa bakterija).

S ciljem utrđivanja i identifikacije postojanja EmS u rijeci Morači i Skadarskom jezeru izvedeno je „Skrining istraživanja“ uzoraka vode, na određenim lokalitetima rijeke Morače i Skadarskog jezera. Lokacije se prostiru na 30.000 ha, i to tri na rijeci Morači: "Vukovci", „Lijevi“ krak rijeke Morače i „Desni“ krak rijeke Morače, i dvije lokacije na Skadarskom jezeru. Akcenat je stavljen na donji tok rijeke, njen ravničarski mirni tok i kao i lokacije na Skadarskom jezeru, koje su najviše pod uticajem lokalnog i turističkog stanovništva Tanki rt" (ispod mosta) i "Kraljeva glavica" kod Vranjine. Uzorkovanje je izvršeno u toku visokih voda (zimsko) i niskih voda (ljetnje uzorkovanje) u probalju litoralu u toku 2013-2014. godine.

Skriningom za „zimski period“ je detektovano 528 hemijskih jedinjenja, a identifikovano je 119. Proporcionalno možemo dokazati da se brojčano na svih 5 lokaliteta u prosjeku hemijska jedinjena kreću od 90,66 do 93,5 po lokalitetu, dok je identifikacija kod prva tri lokaliteta 28 po lokalitetu, a na lokalitetima 4 i 5 po 17 hemijskih jedinjenja (Tab.14)

EmS pokazuju interensantne fizičko-hemiske osobine: rastvorljivost, isparljivost, sposobnost adsorpcije i apsorpcije, biorazgradljivost, stabilnost, perzistencija, polarnost i slično, a zavise od strukture i broja asimetričnih ugljenikovih atoma. Takođe, utvrđeno da različite grupe jedinjenje mogu imati jednu ili više izraženijih sposobnosti u odnosu na ostale grupe hemikalija. Tako npr. estri, aromatični alkoholi i nitril grupa imaju izraženu sposobnost biodegradacije dok aromatični amini, jodidi, nitro i azo grupa perzistenciju jedinjenja. Upravo te njihove osobine, nizak vodostaj kao i mogućnost migracije-taloženja u sediment, detektujemo sa 70-hemijskih jedinjenja u toku „ljetnjeg“ režima, odnosno desetak identifikacija na svih pet lokaliteta.

Analizom vode rijeke Morače njenog ravničarskog dijela toka, na svim lokalitetima kvantifikovane su različite EmS: Benzil salicilat, Hidroxilamin, 1-Tricosanol, 1-Octanol, Dibutil ftalat, Undecan, 3-methyl-Dodecan, Ciclohexan, Heneicosan, 11-(1-ethylpropil), 2,6-Diisopropilnaftalen, Disulfid, di-tert-dodecil, 1-Tricosanol, Acetic acid, (1,2-dimetil-1-propenil) a koriste se u industriji sapuna, šampona, hemijskoj industriji, industriji parfema i krema, čime se najprije može predpostaviti najveći uticaj kanalizacionih voda sa tradicionalnim metodama prečiščavanja. Glavna pritoka Skadarskog jezera, rijeka Morača, svakako je i najveći recipijen otpusnih, industrijskih i kanalizacionih voda glavnog grada Crne Gore, Podgorice i okolnih naselja.

Podgorica ima samo jedan kolektor za preradu otpadnih voda, pa uz to i saznanje da je taj kolektor pravljen u vrijeme kada je Podgorica imala 150,000 stanovnika, što je duplo manje u odnosu na današnji broj. Uz to saznanje kao i da se najveći broj EmS ne mogu tretiranjem u Kolektorima (Sistemima za prečiščavanje voda) otkloniti sasvim je jasno odkuda njihovo prisustvo u analiziranim uzorcima voda tokom ovog istraživanja.

Na lokalitetima „Kraljeva glavica“-Virpazar i „Tanki rt“-ispod mosta zapaženo je prisustvo farmaceutika i to: Allopregnane; Pregnane, (5.alpha.) Methane; kao i dichloro- (CAS); Dichloromethane; R 30; Freon 30; Narkotil. Prisustvo proizvoda za ličnu higijenu utvrđeno otpadnoj, površinskoj i pitkoj vodi i u sedimentima sliva reke Turije (Valensija, Španija) (Carmona et al., 2014). Na osnovu istraživanja objavljenim na <http://publications.gc.ca/site/enq/474929/publication.html> utvrđene je prisustvo lekova, hormona i drugih EmS u rijeci St. Lawrenceu na 11 lokaliteta i tri njene pritoke Ottawa, Richelieu i Saint-Maurice, analizirajući uzorke vode nizvodno od Montrala.

Primarnim skriningom uzoraka površinske vode Dunava u okolini grada Novog Sada detektovano je više od 150 organskih polutanata iz grupe industrijskih emergentnih i prioritetskih supstanci. Istraživanja su pokazala da se određene EmS češće registruju u samom Dunavu nego u njegovim pritokama (Loos, 2010). Karakteristično je da se kofein, gemfibrozil, nitrofenoli, PFHpA, PFOA, PFOS, karbamazepin, sulfametoksazol, terbutilazin, NPE1C i benzotriazoli detektuju skoro u svakom uzorku vode Dunava. U pritokama frekventnije se registruju simazin, bisfenol A i nonilfenol (Đukić et al., 2011). Uočena pojava objašnjava se specifičnim emisionim izvorima, degradacionim procesima i razblaženjem nakon ulivanja u Dunav. Preliminarna kvalitativna analiza ukazuje na prisustvo kofeina, metiljasmonata, cikloheksasiloksanu, trifenilfosfata, terc-butiloksaspirodeka-dien-diona, metil jona i benzotriazola (Miloradov et al., 2011)

S obzirom na to da je velika teritorija aluvijalne ravni Dunava, država kroz koje protiče: Nemačke, Austrije, Slovačke, Mađarske, Hrvatske, Srbije, Bugarske, Rumunije, Moldavije, Ukrajine i drugih u okviru sliva, razumljivo je da postoji značajno odstupanje u broju i

kvalitativnoj dinamici EmS u rijeci Dunav u odnosu na rijeku Moraču i Skadarsko jezero.

Jedna od novoprepoznatih fizičko–hemijskih karakteristika EmS u životnoj sredini je pseudoperzistencija. Permanentno ispuštanje otpadnih voda iz postrojenja za prečišćavanje i direktni unos u akvatične sisteme bez tretmana, izazivaju pojavu nove karakteristike – pseudoperzistencije. I pored relativno kratkog vremena polu-života ($t_{1/2}$) emergentnih hemikalija, karakteristika konstantnog prisustva EmS i delovanje na akvatične organizme kategorizuje ih u pseudoperzistentne polutante.

Odnedavno, nalaženje, sudska bina, i uticaj farmaceutika na akvatične organizme je od izuzetnog značaja. Evropska komisija je od 2020. godine predložila spisak supstanci (tkz. Watch list) od značajnog rizika i u isti uvrstila: 17-alpha-Ethinylestradiol (EE2), 17-beta-Estradiol (E2) i Estron (E1) (antibiotike Erythromyc i Clarithromycin, Azithromycin, Amoxicillin i Ciprofloxacin, Sulfamethoxazol i Trimethoprim antidepresiv O-desmethylvenlafaxin i Venlafaxine. i tri azolna (antimikotika): Clotrimazole, Fluconazole i Mikonazole (<https://watereurope.eu/european-commission-adopts-revised-surface-water-watch-list/>).

(Bringolf *et al.*, 2010; Ramirez *et al.*, 2007) dokazali su da se različiti farmaceutici akumuliraju u ribama, pa je u svih 11 ispitivanih uzoraka prisustvo dokazano u koncentraciji od 0,11 do 5,14 ng/g. Detektovani su diphenhydramin, diltiazem, carbamazepin i norfluoxetin.

1-H-benzotriazol, kofein, progesteron, levonorgestrel, tolitriazol, TCEP, TBEP, TCCP, estron, 17β -estradiol, estriol, 17α -Ethinylestradiol, estron-3-sulfat, bisphenol A, triklosan, methylparaben, ethilparaben, propilparaben i benzilparaben su 19 EDCs koji su ispitivali različiti naučnici iz različitih razloga (Brooks *et al.*, 2005; Ramirez *et al.*, 2009; Du *et al.*, 2012; Jakimska *et al.*, 2013). Svima je nalažnje koncentracije PhAC i EDCs u tkivima riba bilo interesantno prvenstveno što ribe organizmi koji su plivajući, mogu biti u svim djelovima akvatičnih ekosistema, te su im stoga dostupne relativno velike oblasti, tokom dužeg vremenskog perioda na koji se mogu metabolički prilagoditi, bioakumulacija je manje prepoznatljiva kod njih nego kod drugih organizama.

Od svih EDCs koji su ispitani u mišićima riba u toku ovog istraživanja jedino je dokazano prisustvo Triclosana u koncentraciji $14,1 \pm 1,3$ ng g⁻¹ mišićnom tkivu ribe *Alburnus alburnus*. Nijesu detektovani ostalih 18 komponenti u istraživanoj bioti. Od početka vijeka pa na ovamo, vršena su različita ispitivanja kojima je prepoznat uticaj EDCs, koje mogu izuzetno negativno mogu da utiču na akvatične organizme, djelujući na fertilitet i fekunditet, muskulizaciju ženskih odnosno feminizaciju muških organizama, prvenstveno riba (Jobling *et al.*, 2003; Falconer *et al.*, 2013). Huerta *et al.*, (2013), u analizi riba Mediteranskog sliva utvrdili su prisustvo EDCs i to: setilparaben, metilparaben, propilparaben, TBEP i triklosan u koncentraciji do 100 ng g⁻¹. Vršena su ispitivanja iz tkiva riba *Barbus graellsii*, *Micropterus salmoides*, *Cyprinus carpio*, *Salmo trutta*, *Silurus glanis*, *Anguilla anguilla*, *Lepomis*

gibbosus, *Gobio gobio*, *Luciobarbus sclateri*, *Aburnus alburnus* i *Pseudochondrostoma willkommii* izlovljenih u toku ljeta 2010. godine iz četiri rijeke Mediteranskog sliva (Ebro, Llobregat, Júcar i Guadalquivir). U toku ovog istraživanja istraživani farmaceutici: atenolol, carazolol, metropolol, nadolol, propranolol, sotalol, karbamazepin, citalopram, diazepam, 10,11-epoxyCBZ, 2-hydroxyCBZ, lorazepam, sertraline, venlafaxine, clopidrogel, kodein, levamisol, salbutamol, diclofenak i hydrochlorothiazid i nisu dokazani.

Zajednička karakteristika PhACs kao i EDCs je njihova najčešće izuzetno niska koncentracija koja se kreće u rangu ng/L i niže, njihovi djelovi molekula mogu biti izuzetno reaktivni sa bilo kojim organizmima (Hernando et al., 2006; Huerta et al., 2013). U literaturi ima mnogo radova kojima je objašnjeno zašto baš ribe predstavljaju naznačajniju limnetičku komponentu u lancu ishrane, kao tema za ispitivanje bioakumulacije u svojim tkivima (Brooks et al., 2005; Ramirez et al., 2009; Du et al., 2012; Jakimska et al., 2013). Bioakumulacija PhACs i EDCs u akvatičnim organizmima može se desiti direktnom biokoncentracijom putem inhalacione izloženosti i trofičkim transverom. Mackay & Fraser, (2000) ukazali su da je najvjerojatnije hidrofobična komponenta odgovorna za bioakumulaciju u slatkovodne organizme, a da će se najviše pozicioniranim organizmima u trofičkom sistemu najviše prepoznati efekat (Fisk et al., 2005).

U okviru eksperimentalnog istraživačkog rada 2017-2018. godine detektovan je značajan broj EmS i nastavak istraživanja usmjeren na određen broj prioritetnih supstanci/farmaceutika (PhACs) u vodi na istraživanim lokalitetima. Istraživanja su bila fokusirana na sledeće grupe jedinjenja: Analgetici/anti-inflamatori, regulatori lipida i holesterol, psihotici, histamin H1 i H2, β-blokatori, diuretici, antidiabetici, lijekovi za snižavanje pritiska, antiagregatori, lijekovi hiperplazije prostate, lijekovi za astmu, antikoagulanti, rendgenski kontrastni agensi, antihelmintici, sintetički glukokortikoidi, lijekovi za sedaciju i relaksaciju mišića, trankvilizatori, antibiotici, blokatori kalcijumskih kanala. Pozitivni rezultati su dobijeni u grupama: Analgetici/anti-inflamatori i rendgenski kontrastni agensi.

Analizom vode Morače duž čitavog toka, od Zlatice/Smokovca, do "Lijevog" i "Desnog" kraka rijeke Morače, u svakom analiziranom uzorku kvantifikovani su značajni koncentracioni nivoi salicilne kiseline. Salicilna kiselina detektovana je na svim lokacijama u rangu koncentracije (11,91 ng L⁻¹) i više, što je i do 10 niže viša koncentracija nego što su (Cormona et al., 2014) pronašli ispitujući površinske i pijaće vode bazena rijeke Turia. Što se tiče nalaženja ostalih PhACs najniže koncentracije u vodi rijeke Morače i Skadarskog jezera zabilježene su za Acetaminophen ne steroidni, inflamanatrorni lijek u prosjeku (1,97 ng L⁻¹) i više, što je mnogo niže nego što su (Huerta et al., 2014) zabilježili (222 ng L⁻¹) u rijeci Segre Španija. Lijek Isopromid identifikovan je na lokacijama Vukovci, "Lijevi" i "Desni" krak rijeke Morače samo tokom ljetnjeg uzorkovanja. Faisal et al., (2018) predlo-

žili su da se nalaženje PhACs prihvati kao jedan sveopšti marker antopogenog uticaja na vodenim ekosistemima. Neočekivano mala abudanca nalaženja PhACs u uzorcima vode, na svim lokalitetima tokom ovog istraživanja (od 19 grupa identifikovane su dvije grupe) nije neuobičajna pojava. Naime, autori (Sanderson et al. 2004), smatraju da je stvarna abudanca u vodenim ekosistemima za većinu PhACs ispod one koja se predviđa, ali da najveću opasnost predstavljaju kardiovaskularni i gastrointrsticijalni lijekovi, sto se ne poklapa sa našim istraživanjima.

Maksimalne koncentracije u uzorcima Dunava detektovane su za sulfametoksazol (11600 ng/l), ciprofloksacin (2610 ng/l), gemfibrozil (1700 ng/l), kofein (1467 ng/l), eritromicin (420 ng/l), benzotriazol (380 ng/l), 4-AAA (354 ng/l), NPE1C (307 ng/l), nonilfenol (240 ng/l), trimetoprim (223 ng/l), 4-FAA (213 ng/l), toliltriazol (130 ng/l), bisfenol A (68 ng/l), karbamazepin (66 ng/l) i terbutilazin (63 ng/l), a u pritokama reke Dunav za kofein (6798 ng/l), NPE1C (3352 ng/l), nonilfenol (1400 ng/l), karbamazepin (945 ng/l), ibuprofen (718 ng/l), bisfenol A (490 ng/l) (Loos et al., 2010; Dimkić et al., 2011; Miloradov et al., 2011).

Maksimalno dobijena vrijednost HQ za sve istraživane lokacije tokom istraživanja 2017.-2018. godine bila je 0,009 ng/l za lokalitet "Desni" krak rijeke Morače za lijek Salicilna kisjelina. Tokom ovog istraživanja HQ indeks za PhAC je bilo moguće izračunati samo za grupu NSAID lijekova odnosno, pomenute za Salicilna kisjelina i Acetominofen. (Gonzalez-Naranjo & Boltes, 2014) takođe, proučavali HQ NSAID lijekova, u njihovom slučaju Ibuprofena, na različitim organizmima u kombinaciji sa uzorcima vode i sedimenta.

Tokom našeg istraživanja maksimalna vrijednost HQ lijeka Acetominofen koji je po generičkom imenu Paracetamol, iznosila je 0,007 ng/l, čime je daleko ispod visoko rizične. U studiji Valcarcel et al., (2011), dobijeni su HQ za nekoliko farmaceutskih proizvoda na različitim mestima za uzorkovanje duž rijeka i u oblastima snabdevanja pitkom vodom u regionu Madrida (Španija). Cilj je bio da se procijene postojeći i istovremeno, uporedi podaci o ekotoksičnosti za svaku pojedinačnu hemikaliju uzeti iz literature ili, ako nisu dostupni, procijenjeni pomoću modela (K) SAR. Slično tome, Yamamoto et al., (2011) primijenili su dva pristupa za kumulativnu procjenu rizika, kako bi procijenili rizik zbog pojave sedam parabena u vodi, ali njihova procjena opasnosti bila je zasnovana na podacima o toksičnosti dobivenim za svako jedinjenje pojedinačno, i nisu uključivali nikakve sinergističke ili antagonističke efekte.

Desbiolles at al., (2018), utvrđujući pojavu i ekotoksikološku procjenu lijekova: odnosno utvrđujući postoji li HQ za Mediteranski sliv i okruženje, ciljano su ispitivali prisustvo 49 PhACs u vodenom ekosistemu. Na osnovu MEC i primjenom HQ indeksa za ekološku procjenu rizika utvrđeno je da postoji rizik za 13 jedinjenja od kojih su najznačajnija 17 α -etinilestradiol, metoprolol, 8 antibiotika i 3 NSAID. Utvrđivanje HQ za NSAID u

uzorcima voda na istraživanim lokalitetima, tokom našeg istraživanja, potvrđuje se sve veća prisutnost i potreba za ovom vrstom ljekova. Identificujući HQ kao jedan od ekoloških pokazatelja stanja voda u odnosu na prisustvo polutanata u urbanim otpusnim vodama, (Gosset et al, 2017) su konstatovali da od 207 uzoraka Evropskih voda, samo je bilo moguće utvrditi vrijednosti za MEC u uzorcima 61 kišnice i 49 kombinovanih uzoraka ispustnih i industrijskih voda, poslije prečišćivača. U uzorcima su (Orias et al, 2013), utrdili su prisustvo 17β -estradiol, klotrimazola, kao i prisustvo ljekova NSAID ibuprofen i salicilna kiselina.

Naučnici kao Passerat et al. (2011) visoku koncentraciju bakterija *E.coli* (1000000 bakterija/ cm^3) dovode u vezu s time da je smanjen broj identifikovanih hemikalija u vodi i da su mnogo češća jedinjenja koja su nastala kao rezultat razgradnje istih od stane bakterija, pa je njihova toksičnost time manja i umjerenija.

Istraživanja u okviru ovog rada pokazala su da postoji izvjesna različitost ekoloških faktora na "nultoj tačci" Zlatica/Smokovac, u odnosu na ostale lokalitete, te da to ima uticaja na distribuciju i populacionu dinamiku bakterija, ali isto tako i na njihovu fenotipsku adaptaciju, odnosno prosječan metabolički odgovor. Istraživanja su dokazala prisustvo EmS na svim lokaclitetima, prisustvo PhACs takođe je u uzorcima vode na svim lokalitetima, te da je njihovo prisustvo izražajnije za vrijeme „niskih voda“ pa ovo istraživanje predstavlja dobru smjernicu za buduća istraživanja a značajnu osnovu za usaglašavanje ekoloških legistivsa sa Evropskim ekološkim legistivama.

7. ZAKLJUČCI

- U okviru ove disertacije prema dostupnim literaturnim podacima, po prvi put se ispituje prisustvo „Emergentnih supstanci“ (EmS) i „Endokrino uznemiravajućih komponenti“ (EDCs) u vodama rijeke Morače i Skadarskog jezera, sa posebnim ciljem unapređenja ekoloških smjernica za usaglašavanje postojeće legistive o vodama Crne Gore sa Evropskom legistivom.
- Brojnost različitih grupa mikroorganizama u vodama rijeke Morače i Skadarskog jezera, zavise od fizičko-hemijskih parametara, pri čemu relativno neujednačena temperatura voda na različitim lokalitetima, jedan je od osnovnih uzroka sezonskog variranja u njihovoј brojnosti i strukturi.
- Na osnovu brojnosti i strukture grupe heterotrofnih mikroorganizama, kao indikatora kvaliteta vode, utvrđeno je da kvalitet voda rijeke Morače i Skadarskog jezera varira i da pripadaju klasi voda koje se ubrajaju u oligotrofne vode, vode sa manjim opterećenjem prisustva organskih nutrijenata.
- Prateći sezonsku dinamiku strukture fizioloških grupa mikroorganizama (amilolitskih, proteolitskih i lipolitskih mikroorganizama) uočava se da u periodu visokih vodostaja prisutne su sve tri vrste fizioloških grupa na ispitivanim lokalitetima, međutim na lokalitetu Zlatica/Smokovac primjećena je njihova konstantno niska brojnost.
- Od testiranih fizioloških grupa mikroorganizama utvrđena je dominacija amilolitskih grupa. Na lokalitetu „Desni krak rijeke Morače“ zabilježena je najveća njihova brojnost od 9×10^3 u ml vode. Najveće vrijednosti proteolitskih grupa mikroorganizama zabilježene su na lokalitetima: „Kraljeva glavica“-Vranjina i „Desni krak rijeke Morače“ sa preko 6×10^4 u ml. Dokazano je da su grupe lipolitnih mikroorganizama na lokalitetu „Tanki rt-ispod mosta Jezero, brojno bile najdominantnije sa preko 4×10^4 ml.
- Primjenom Mann Whitney U testa, statistički su dokazane razlike u brojnosti i strukturi fizioloških grupa mikroorganizama, kao i u brojnosti i strukturi mikroorganizama kao indikatora sanitarnog stanja voda u toku „zimskog“ i „ljetnjeg“ perioda. Postoji statistički značajna razlika u broju amilolitskih bakterija na ispitivanim lokacijama između ljetnjeg i zimskog perioda koja se može prikazati kao ($p = 0.014$) u korist „ljetnjeg“ perioda.
- Na svim istaživanim lokalitetima bile su manje ili više prisutne koliformne bakterije fekalnog porijekla. Značajan podatak je da su na lokalitetu Zlatica/Smoko-

vac tokom istraživanja konstantno bile prisutne koliformne bakterije fekalnog porijekla. Identifikovane su: *Enterobacter cloacae*, *Klebsiella oxytoca*, *Citrobacter freundii*, *Citrobacter diversus*, *Serratia sp.*, *Citrobacter aerogenus*, *Streptococcus faecalis*, *Pseudomonas aeruginosa*, *Escherichia coli*, *Citrobacter freundii*. Vrsta *Pseudomonas aeruginosa*, je identifikovana samo u jednom periodu godine. Sulfudoredukuće klostridije i *Proteus* vrste nisu identifikovane.

- Prema mikrobiološkom odgovoru na različite izvore ugljenika i analizom metaboličkog diverziteta mikrobnih zajednica može se uočiti da postoje neke hemijske supstance koje su prisutne u vodama i opterećuju mikrobne zajednice.
- Na osnovu prvih „skrining analiza“ površinskih voda rijeke Morače i Skadarskog jezera utvrđeno je prisutstvo velikog broja organskih jedinjenja (528), a identifikovano je njih (119). Na svim lokalitetima utvrđeno je prisustvo: Benzil salicilat, Hidroxilamin, 1-Tricosanol, 1-Octanol, Dibutil ftalat, Undecan, 3-methyl-Dodecan, Ciclohexan, Heneicosan, 11-(1-ethylpropil), 2,6-Diisopropilnaftalen, Disulfid, di-tert-dodecil, 1-Tricosanol, Acetic acid, (1,2-dimetil-1-propenil) estar, koja se koriste u raznim industrijama sapuna, šampona, hemijskoj industriji, industriji parfema i krema, farmaceutskoj industriji i dr.
- Od svih EDCs i PhACs supstanci u tkivima riba utvrđeno je prisustvo Triclosan-a u koncentraciji od $14,1 \pm 1,3 \text{ ng g}^{-1}$ u mišićnom tkivu ribe *Alburnus alburnus*.
- Analizom uzoraka vode na prisustvo PhACs registrovane su Salicilna kiselina detektovana je na svim lokacijama u vrijednostima koncentracije ($11,91 \text{ ng L}^{-1}$) i više. Od ostalih NSAD u ispitivanim uzorcima voda rijeke Morače i Skadarskog jezera zabilježeno je prisustvo acetaminophen-a (Paracetamola) sa prosječnom koncentracijom od ($1,97 \text{ ng L}^{-1}$). Ovo navodi na zaključak da ispitivane vode pokazuju vrlo niske koncentracije EmS, značajno niže u odnosu na slične ekosisteme rijeka u Evropi.
- U odnosu na identifikovane koncentracije ljekova u uzorcima vode, utvrđeno je da ne postoji potencijani ekološki rizik, odnosno da su vrijednosti HQ iznosile ispod 0,01.
- Na osnovu svega izloženog može se zaključiti da su vode rijeke Morače i Skadarskog jezera, zahvaljujući prije svega dominaciji autotrofnih vrsta mikroorganizama, kao i prisustvu fizioloških grupa mikroorganizama još uvijek “nezagađeni” akvatični ekosistemi.

PREPORUKE:

Bez obzira na to što je na osnovu HQ zaključeno da ne postoji potencijalni ekološki rizik, smatramo da se mora završiti projekat pravljenja novog postrojenja za prečišćavanje voda (otpadnih i odcjednih) koje nakon tretmana idu u rijeku Moraču, odnosno Skadarsko jezero.

Sagledavajući i to da je ovakvo sveobuhvatno istraživane prvo ovakve vrste urađeno u Crnoj Gori, kao i da su slična istraživanja pokazala da se i poslije sistema za prečišćavanje voda EmS nalaze u vodi, dali smo sebi dodatni zadatak a to je kako da pomognemo vodenim ekosistemima da iskoriste svoje prirodne potencijale. U tu svrhu koristili smo model cilindričnog reaktora i autopurifikacije autohtonim mikroorganizmima. Izabrali smo lokalitet Vukovci zbog najbolje pristupačnosti. Kinetički cilindrični model reaktora dokazano povećava nivo autopurifikacije, smanjuje koncentracije NADCs, predstavlja odličnu teoriju za bolji regionalni razvoj i ekološku održivost. Rad je objavljen u Application of the Model of Cylindrical Reactor for Self-Purification by Indigenous Microorganisms.

8. LITERATURA

- **Albright, L.J., Mc Crae, S.K. (1987):** *Annual Bacterioplankton Biomasses and Productivities in a Temperature West Coast Canadian Fjord*, **Appl. Environ. Microbiol.**, **1277-1285**.
- **Alvero, C.C. (1987):** *Antibiotic resistance of heterotrophic bacterial flora of two lakes*, **System Appl. Microbiol.**, **9**, **169–172**.
- **Al-Ghazali, M.R., Jazrawi S.F., Al-Doori Z.A. (1988):** *Antibiotic resistance among pollution indicator bacteria isolated from Al-Khair River, Baghdad*, **Water Res.**, **22**, **641–644**.
- **Battaglin, W.A., Kolpin D.W., Scribner, E. A., Kuivila ,K. M., Sandstrom, M,W.(2005):** *Glyphosate, other herbicides, and transformation products in Midwestern streams, 2002.*, **Journal of the American Water Resources Association** **41**(2): **323-332**.
- **Bečelić-Tomin, M., Leovac, A., Kerkez, Đ., Krčmar, D., Dalmacija, M. (2012):** *Parametri kvaliteta vode i sedimenta i tumačenje standarda (imisioni standardi)*, PMF – Departman za hemiju, biohemiju i zaštitu životne sredine, Novi Sad, str. **133–208**.
- **Bianco, P. G., Kottelat, M. (2005):** *Scardinius knezevici, a new species of rudd from Lake Skadar, Montenegro (Teleostei: Cyprinidae)*, **Ichthyol. Explor. Freshwat.** **16**(3):**231-238**.
- **Bonaparte, C. L. (1841):** *Aspius alburnus (Aspius alborella)*. – In *Iconografia della fauna italica. Pesci, Salvucci, Roma 3*: 1832-1941.
- **Boyd, C. E., Lichtkoppler, F. (1979):** *Water quality management in pond fish culture*, Research and Development series No. 22. Project AD/DSANG0039. Alabama, **30 pp**.
- **Buser, H.R., Poiger, T., Müller, M.D. (1998):** *Occurrence and fate of the pharmaceutical drug diclofenac in surface waters: rapid photodegradation in a lake*, **Environ. Sci. Technol.**, **32**, **3449–3456**.
- **Bringolf, R.B., Heltsley, R.M., Newton, T.J., Eads, C.B., Fraley, S.J., Shea, D., Cope,W.G (2010):** *Environmental occurrence and reproductive effects of the pharmaceutical fluoxetine in native freshwater mussels*, **Environ. Toxicol. Chem.**, **29**, **1311–1318**.
- **Carmona E, Vincente, A., Picó, Y.(2014):** *Occurrence of acidic pharmaceuticals and personal care products in Turia River Basin: from waste to drinking water*, **Science of the Total Environ. Volume 484**; **5363**.
- **Choi, K.H, Dobbs, F.C.(1999):** *Comparison of two kinds of Biolog microplates (GN and ECO) in their ability to distinguish among aquatic microbial communities*, **J. Microbiol. Meth.**, **36**: **203–213**.
- **Connell, D. W., Paul,, L., Richardson, B. (2009):** *Introduction to Ecotoxicology*. Hoboken, NJ,USA, Wiley-Blackwell **44–80**.
- **Campeau, R.C., Gulli, L.F., Graves J.F. (1996):** *Drug resistance in Detroit River Gram-negative bacilli*, **Microbios.**, **88**, **205–212**.
- **Carballa, M., Omil, F., Lema, J.M., Lompart, M., Garcia-Jares, C., Rodriguez, I., Gomez, M., Ternes, T. (2004):** *Behavior of pharmaceuticals, cosmetics and hormones in a sewage treatment plant*, **Water Res.**, **38**, **2918–2926**.

- Clara, M., Strenn, B., Kreuzinger, N. (2004): *Carbamazepine as a possible anthropogenic marker in the aquatic environment: investigations on the behaviour of Carbamazepine in wastewater treatment and during groundwater infiltration*, **Water Res.**, **38**, 947–954.
- Céspedes, R., Lacorte, S., Raldúa, D., Ginebreda, A., Barcelò, D., Piña, B. (2005): *Distribution of endocrine disruptors in the Llobregat River basin (Catalonia, NE Spain)*, **Chemosphere** **61**, 1710–1719.
- Concentrations of medications, hormones and other emergent contaminants in the St. Lawrence and three of its tributaries. Retrieved from <http://publications.gc.ca/site/eng/474929/publication.html>
- Choi, K.H., Dobbs, F.C. (1999): *Comparison of two kinds of Biolog microplates (GN and ECO) in their ability to distinguish among aquatic microbial communities*, **J. Microbiol. Meth.** **36**, 203–213.
- Dalmacija, B. (2001): *Kontrola kvaliteta voda*, 381-457. Novi Sad, Prirodno-matematički fakultet, Institut za hemiju Katedra za hemijsku tehnologiju i zaštitu životne sredine.p.p. 1-243
- Daughton, C.G.(2002): *Environmental stewardship and drugs as pollutants*, **Lancet** **360**, 1035–1036.
- Dobbin, P.S., Carter, J. P., San Juan. C., von Hob,e M., Powell, A. K., Richardson DJ.(1999):*Dis-similatory Fe(III) reduction by Clostridium beijerinckii isolated from freshwater sediment using Fe(III) maltol enrichment*, **FEMS Microbiol. Lett.**, **176**, 131–138.
- Daubner, I. (1975): *Changes in the properties of E.coli under the influence of water environments*, **Verh. Internat. Verein. Limnol.**, **19**, 2650–2657.
- Dimkić, M.A., Đurić, D., Milovanović, M., Laušević, M., Jevtić, G., Petković, A.(2011):*Natural attenuation of emerging pharmaceuticals by bank filtration in addressing regional groundwater management issues*, **Water Research and Management** **1** 29–45.
- DIRECTIVE 2000/60 EC of the European Parliament and of the council of 23 October 2000.
- Đukić, N., Pujin, V., Maletin, S., Gajin, S., Gantar, M., Petrović, O., Ratajac, R., Seleši, Đ., Matavulj, M. (1991): *Eutrofikacija stajaćih voda Vojvodine I deo u: Vode Vojvodine 1991, Godišnjak vodoprivrede Vojvodine*, Novi Sad.
- European Commision, *Proposal for a Directive of the European Parliament and of the Council amending Directives 2000/60/EC and 2008/105/EC as regards priority substances in the field of water policy*, in 2011/0429 (COD), Brussels, 2012.
- Emerging substances, WHY DO WE NEED TO ADDRESS EMERGING SUBSTANCES? Retrieved from <https://www.norman-network.net/?q=node/19>
- Emergentne supstance i istraživanja 2020. Retrieved from <http://ambassadors-env.com/wp-content/uploads/EMERGENTNE-SUPSTANCE.pdf>
- Fries, E., Mihajlović, I. (2011): *Pollution of soils with organophosphorus flame retardants and plasticizers*, **J. Environ. Monit.** **13**, 2692–2694.
- Gajin, S., Svirčev, Z., Galonja, T., Matavulj, M., Petrović, O., Radnović, D., Simeunović, J. (1998): *Stanje vode reke Tamiš prema mikrobiološko-biohemiskim pokazateljima. Naučna monografija: Naš Tamiš*, Urednici: Marković B. I Svirev Z. Univerzitet u Novom Sadu. **39–44**.
- Garland, J.L., (1996): *Analytical approaches to the characterization of samples of microbial communities using patterns of potential C source utilization*, **Soil Biol. Biochem.** **28**, 213–221.
- Garland, J.L., Mills, A.L., (1991): *Classification and characterization of heterotrophic microbial communities on the basis of patterns of community-level-sole-carbon-source-utilization*, **Appl. Environ. Microbiol.** **57**, 2351–2359.

- **Gould, T.W., Berninger, J.P., Connors, K.A.**(2012): *Human therapeutic plasma levels of the selective serotonin reuptake inhibitor (SSRI) sertraline decrease serotonin reuptake transporter binding and shelter-seeking behavior in adult male fathead minnows*, **Environ. Sci. Technol.** **46(4)**:2427–2435.
- **Gros, M., Rodríguez-Mozaz, S., Barceló, D.** (2012): *Fast and comprehensive multi-residue analysis of a broad range of human and veterinary pharmaceuticals and some of their metabolites in surface and treated waters by ultra-high-performance liquid chromatography coupled to quadrupole-linear ion trap tandem*, **J. Chromatog. A.****1248**: 104–21.
- **Huerta, B., Jakimska, A., Lorca, M., Ruhí, A., Margoutidis, G., Acuña, V., Sabater, S., Rodríguez--Mozaz, S., Barceló, D.** (2015): *Development of an extraction and purification method for the determination of multi-class pharmaceuticals and endocrine disruptors in freshwater invertebrates*, **Talanta** **132**: 373–381.
- **Huerta, B., Jakimska, A., Gros M., Rodríguez-Mozaz, S., Barceló, D.** (2013): *Analysis of multiclass pharmaceuticals in fish tissues by ultra-high-performance liquid chromatography-tandem mass spectrometry*, **J. Chromatogr. A** **1288**: 63–72.
- **Haunhuan D., Liyun G., Tan X., Mighua Z., Xuedong W., Yelei Z., Hong P.** (2011): *Analysis of the metabolic utilization of carbon sources and potential functional diversity of the bacterial community in lab-scale horizontal subsurface-flow constructed wetlands*, **J. Envir. Qual.** **40(6)**:1730–6.
- **Heberer, T.** (2002): *Occurrence, Fate, and Removal of Pharmaceuticals Residues in the Aquatic Environment: A Review of Recent Research Data*, **Toxicology Letters**, **131**, 5–17.
- **Hirsch, R., Ternes T., Haberer K., Kratz K.L.**(1999): *Accurrence of antibiotics in the aquatic environment*, **Science of The Total Environment**, Volume 225, Issues 1. 109–118.
- **Halling-Sørensen, B., Nielsen, S.N., Lanzky, P.F., Ingerslev F., Lützhøft, H.C.H., and Jørgensen, S.E.** (1998): *Occurrence, fate and effects of pharmaceutical substances in the environment- a review*, **Chemosphere**, **36**, 357–393.
- **Hernando, M.D., Mezcua, M., Fernández-Alba, A.R., and Barceló D.** (2006): *Environmental risk assessment of pharmaceutical residues in wastewater effluents, surface waters and sediments*,**Talanta**, **69**, 334–342.
- **Huerta, B., Jakimska, A., Lorca, M., Ruhí, A., Margoutidis, G., Acuña, V., Sabater, S., Rodriguez-Mozaz, S., Barceló, D.** (2015): *Development of an extraction and purification method for the determination of multi-class pharmaceuticals and endocrine disruptors in freshwater invertebrates*, **Talanta** **132**, 373–381.
- **Huerta, B., Jakimska, A., Gros, M., Rodríguez-Mozaz, S., Barceló, D.**(2013): *Analysis of multiclass pharmaceuticals in fish tissues by ultra-high-performance liquid chromatography-tandem mass spectrometry*, **J. Chromatogr. A** **1288**, 63–72.
- **Ibanez, M., Guerrero, C., Sancho, J.V., Hernandez F.**(2009): *Occurrence and ecotoxicological assessment of pharmaceuticals: Is there a risk for the Mediterranean aquatic environment?* **Chromatogr. A** **1216**, 2529
- **Ishida, Y., Shibahara, K., Uchida, H., Kadota, H.** (1982): *Distribution of Obligately Oligotrophic Bacteria in Lake biwa*, **Bull. Jpn. Soc. Sci. Fish**, **46**,1151–1158.

- Jakimska, A., Huerta, B., Bargańska, Ž., Kot-Wasik, A., Rodriguez-Mozaz, S., Barceló, D. (2013): *Development of a liquid chromatography–tandem mass spectrometry procedure for determination of endocrine disrupting compounds in fish from Mediterranean rivers*, *J. Chromatogr., A* **1306**:44–58.
- Jordanovski, M.T., Stafilov, T. (2000): *Opterećenje litoralnog dijela Ohridskog jezera teškim metalima*, Jugoslovensko društvo za zaštitu voda „Zaštita voda 2000“, Maruška banja.
- Jørgensen, S.E., Halling--Sørensen, B. (2000): *Drugs in the environment Chemosphe.*, **40**(7): 691–699.
- Janniche, G.S., Spliid, H., Albrechtsen, H.J., (2012): *Microbial community–level physiological profiles (CLPP) and herbicide mineralization potential in groundwater affected by agricultural land use*, *J. Contam. Hydrol.* **140**: 45–55.
- Karaman, S. (1924): *Pisces Macedoniae*, Split, pp 1-90.
- Kastratović, V., Krivokapić, S., Đurović, D. (2020): Vanadium uptake, translocation and bioaccumulation in ecosystem of Skadar Lake, Montenegro, *Zastita Materijala*, **61**(1):31-40.
- Kohl, W. (1975): *Über die Bedeutung Bakteriologischer Utersuchungen fur die beurteilung von Fleisgewässern, dargestellt am Beispiel der Osterreich, Donau*, *Arch.Hydrobiol.*, **44**, IV 392–461.
- Kolpin, D.W., Furlong, E.T., Meyer, M.T., Thurman, E.M., Zaugg, S.D., Barber, L.B., Buxton, H.T. (2002): *Pharmaceuticals, hormones, and other organic wastewater contaminants in U.S. streams, 1999–2000: a national reconnaissance*, *Environ. Sci. Technol.*, **36**, 1202–1211.
- Kostanjšek, R., Lapanje, A., D. Drobne, Nikčević, S., Perović, A., Zidar, P., Štrus, J., Hollert, Karaman, G. (2005): *Bacterial community structure analyses used in a case study of lake pollution (Lake Skadar, Balkan Peninsula)*. *ESPR-Environ Sci & Pollut Res*, **12**(6), 23A, 361-368.
- Lafteva, N. A. (1987): *Ecological characteristics of Caulobacter incidence in fresh-water basins*, *Mikrobiologija*, **T 56**, No 4, 677–685.
- Lajeunesse, A., Gagnon, C., Gagne, F. (2011): *Distribution of antidepressants and their metabolites in brook trout exposed to municipal wastewaters before and after ozone treatment--evidence of biological effects*, *Chemosphere* **83**. 564.
- Landis, G. W., and Yun, M. H. (1995): *Introduction to Environmental Toxicology. Impacts of Chemicals Upon Ecological Systems*, Lewis Publishers 1–328.
- Loos, R. G., Locoro, G., Contini, S. (2010): *Occurrence of polar organic contaminants in the dissolved water phase of the Danube River and its major tributaries using SPE-LC-MS2 analysis*, *Water Res.* **44**. 2325–2335.
- Leschine, J., and Canale-Parola, D. (1983): *Mesophilic cellulolytic clostridia from freshwater environments*, *Appl. Envi. Microbiol.*, **46**: 728–737.
- Lehman, R.M., Colwell, F.S., Ringelberg, D.B., White, D.C., (1995): *Combined microbial community-level analyses for quality assurance of terrestrial subsurface cores*, *J. Microbiol. Methods* **22**, 263–281.
- Linnaeus C. (1758): *Systema naturae per regna tria naturae, secundum classes, ordines, genera, species, cum characteribus, differentiis, synonymis, locis*. **Tomus I**.

- **Marković, D. M. (2015):** *Ispitivanje ekotoksičnosti proizvoda degradacije organskih zagađujućih supstanci u vodi nakon tretmana unapređenim oksidacionim procesima*, Doktorska disertacija, Univerzitet u Beogradu, Hemijski Fakultet.
- **Malik, A., Ahmad, M. (1994):** *Incidence of drug and metal resistance in E. coli strains from sewage water and soil*, Chem. Environ. Res., 3, 3–11.
- **Mustapha, M. K. (2008):** *Assessment of the Water Quality of Oyun Reservoir, Offa, Nigeria, Using Selected Physico-Chemical Parameters*, Turkish Journal of Fisheries and Aquatic Sciences, 8: 309–319.
- **Mehinto, A.C., Hill, E.M., Tyler, C.R. (2010):** *Uptake and biological effects of environmentally relevant concentrations of the nonsteroidal anti-inflammatory pharmaceutical diclofenac in rainbow trout (Oncorhynchus mykiss)*, Environ. Sci. Technol. 44. 2176.
- **Mihajlovic, I., Fries, E. (2012):** *Atmospheric deposition of chlorinated organophosphate flame retardants (OFR) onto soils*, Atmos. Environ. 56.177–183.
- **Mihajlovic, I., Vojinovic–Miloradov, M.,Fries ,E. (2011):** *Application of Twisselmann extraction, SPME, and GC-MS to assess input sources for organophosphate esters into soil*, Environ. Sci. Technol. 45, 2264–2269.
- **Ministarstvo ekologije**, prostornog planiranja i urbanizma. Retrieved from www.mrt.gov.me
- **Neilson, A. H. (2000):** *Organic Chemicals: An Environmental Perspective*, Lewis Publisher 103–177.
- **Noris, J.R. Ribbons, D.W. (1971):** *Methods in microbiology*, Academic press, London, New York, Vol. 6A
- Rodina, A.G. (1965):** *Metode u vodenoj mikrobiologiji*, Izdanje “Nauka”, Moskva-Lenjigrad.
- **Nyholm, N. Ingerslev, F. Berg, U.T. Pedersen, J.P. Frimer– Larsen, H. (1996):** *Estimation of kinetic rate constants for biodegradation of chemicals in activated sludge wastewater treatment plants using short term batch experiments and µg/L range spiked concentrations*, Chemosphere 33, 851–864.
- **Osorio, V., Marcé, R., Pérez, S., Ginebreda, A., Cortina, J.L., Barceló, D. (2012):** *Occurrence and modeling of pharmaceuticals on a sewage-impacted Mediterranean river and their dynamics under different hydrological conditions*, Sci. Total Environ. 440, 3–13.
- **Otieno, A.A., Kitur, E.L., Gathuru,G. (2017):** *Physico-Chemical Properties of River Kisat, Lake Victoria Catchment, Kisumu County, Kenya* Environ Pollut Climate Change 2017, Vol 1(4): 4.
- **Overbeck, J., Chrost,R. (1990):** *Substrate-ectoenzyme interaction: Significance of β-glucosidase activity for glucose metabolism by aquatic bacteria*, Arch. Fur Hydrobiologie 34: 93–98.
- **Orias, J., and Perrodin, Y. (2013):** *Characterization of the Ecotoxicity of Hospital Effluents: A Review*, Science of The Total Environment, 250–276.
- **Passerat, J., Ouattara, N. K., Mouchel ,J.M., Rocher, V. and Servais, P. (2011):** *Impact of an intense combined sewer overflow event on the microbiological water quality of the Seine River*, Water Research, 45, 893–903.
- **Perovic, S., Sljukic, B., Šrut, M., Perovic, A., Klobucar G. (2020):** *Evaluation of DNA damage in haemolymph of freshwater mussels Unio pictorum from Skadar Lake*. Biologia, 75, pp.431-436.
- **Perovic, A., Perovic,S., Erdinger L. and Hollert H. (2012):** “*Assessment of genotoxic potential of the Lake Skadar sediments extracts using the comet assay with fish cell line RTL-W1 and Ames test*”, Archive of Biological Sciences, Vol. 64, Issue 1, pp. 249-256 ISSN 1821- 4339. JCR IF 2010=0.356.

- Petrović, O., Gajin, S., Matavulj, M., Radnović, D., Svirčev, Z. (1998): Mikrobiološko ispitivanje kvaliteta površinskih voda, Institut za biologiju, Novi Sad. 1–122.
- Petrović, D., Krivokapić, S. (2020): The Effect of Cu, Zn, Cd, and Pb Accumulation on Biochemical Parameters (Proline, Chlorophyll) in the Water Caltrop (*Trapa natans* L.), Lake Skadar, Montenegro, **Plants** **9**(10).
- Petrović, G., Beeton A. (1981): *The chemistry of Lake Skadar, The biota and limnology of Lake Skadar*, Published by Univerzitet “Veljko Vlahović” Institut za biološka i medicinska istraživanja u SRCG Biološki zavod Titograd, Yugoslavia. **1**-446 (67–109).
- Petrović, M., Hernando, M.D., Díaz-Cruz, M. S., Barceló, D. (2005): *Liquid chromatography-tandem mass spectrometry for the analysis of pharmaceutical residues in environmental samples: a review*, **Journal of Chromatography A**, **1067**(1–2): 1–14.
- Prikaz jedinjenja koji se ispituju na BIOLOGTM EcoPlate. Retrieved from <https://biolab.com/products-portfolio-overview/microbial-community-analysis-with-ecoplates/>
- Petrović, M., Gonzalez, S., Barceló, D. (2003): *Analysis and removal of emerging contaminants in wastewater and drinking water*, **Trends Anal. Chem.**, **22**, 685–696.
- Preston-Mafham, J., Boddy, L., Randerson, P.F. (2002): *Analysis of microbial community functional diversity using sole-carbon-source utilisation profiles – a critique*, **FEMS Microbiol Ecol.** **1**,**42**(1):1–14.
- Radonjić, D., Krivokapić, M. (2006): *Mikrobiološke i saprobiološke karakteristike rijeke Morače i Skadarskog jezera u toku 2004/2005.*, **35. Konferencija o aktuelnim problemima korišćenja i zaštite vode, Voda 2006. Zlatibor 6-9 jun 2006.** **1**-468 (133–138).
- Radulović, V. (1989): *Hidrogeologija sliva Skadarskog jezera*. Titograd, **1**–228.
- Radulović, M. (2000): *Hidrogeologija karsta Crne Gore*, doktorska disertacija Podgorica. **1**–276.
- Robinson, I., Junqua, G., Van Coillie, R. and Thomas O. (2007): *Trends in the detection of pharmaceutical products, and their impact and mitigation in water and wastewater in North America*, **Anal. Bioanal. Chem.**, **387**, 1143–1151.
- 103. Radtke, T.M. and Gist, G.L. (1989): *Wastewater sludge disposal- antibiotic resistant bacteria may pose health hazard*, **J. Environ. Health**, **52**, 102–105.
- 104. Roberts, P.H., and Thomas, K.V. (2006): *The occurrence of selected pharmaceuticals in wastewaters effluent and surface waters of lower Tyne catchment*, **Sci. Total Environ.**, **356**, 143–153.
- 105. Radonjić, D. (2016): *Analysis and interpretation of community-level physiological profiles in Microbial ecology for some locations in Montenegro*, **Journal of Biodiversity and Environmental Sciences (JBES)**, **116** –125.
- Radonjic, D. (2017): *Correlation of Emerging Substances and Physiological Groups of Microorganisms in Surface Water of River Moraca*, **International Journal of Environment, Agriculture and Biotechnology (IJEAB)**. Vol-2, Issue-1, 90–100.
- Rodriguez-Mozaz, S., Weinberg, H.S. (2007): *Meeting Report: Pharmaceuticals in Water An Interdisciplinary Approach to a Public Health*, **Challenge Environ. Health Perspect.** **118**(7): 1016–1020.

- Ramirez, A.J., Mottaleb, M.A., Brooks, B.W., Chambliss, C.K. (2007): *Analysis of pharmaceuticals in fish using liquid chromatography-tandem mass spectrometry*, **Anal. Chem.** **79**, 3155.
- Radonjić, D., Krivokapić, M., Miloradov-Vojinović, M. (2013): *Identification of Emergent Substances as an Indicator of the Presence of Microorganism in the Downstream of River Morača in Locality-Vukovci*, **Journal of Environmental Science and Engineering**; David Publishing: 183–187.
- Sánchez-Bayo, F., Baskaran, S., Kennedy, I.R. (2002): *Ecological Relative Risk (EcoRR): Another approach for risk assessment of pesticides*, **Agric. Ecosyst. Enviro** **91**, 37-57.
- Sladaček V. (1973): *System of Water Quality from Biological Point of View*. **Arch. Hydrobiol.**, **7**, Ergebnisse der Limnologie, **7**, 1–218.
- Spino, D.F. (1985): *Characterization of diagnostic, heterotrophic bacteria from drinking water*, **Appl. Environ. Microbiol.**, **50**, 1213–1218.
- Stirling, L. A., Watkinson, R. J., Higgins, I. J. (1977): *Microbial metabolism of alicyclic hydrocarbons: isolation and properties of a cyclohexane-degrading bacterium*, **J. Gen.**
- (Sl. list RCG 16/96).
- Škunca-Milovanović, S., Feliks, R., Đurović, B. (1990): *Vode za piće, Standardne metode za ispitivanje higijenske ispravnosti vode za piće*, Izdavač Savezni zavod za zdravstvenu zaštitu Beograd: 1–1229.
- Vojinović-Miloradov, M., Dimkić, M., Stupavski, S., Jokanović, B., Beronja, B., Tot, M., Stošić, M. (2011): *Emerging substances of concern and their occurrence in surface water and groundwater*, TOP 2011, Časta, Papirnička, Slovak Republic, 2011, Proceedings, pp. 277–98.
- Vojinović-Miloradov, M., Turk, M., Sekulić, J., Radonić, I., Mihajlović, M., Stošić, M. (2011): *Emerging substances of concern—a shift in traditional thinking*, XV International Eco Conference on environmental protection of urban and suburban settlements, Novi Sad, Serbia, 2011, Proceedings, pp. 265–271.
- Vojinović-Miloradov, M., Turk, M., Sekulić, M., Radonić, J., Milić, N., Grujić-Letić, N., Mihajlović, I., Milanović Lj. (2014): *Industrijske emergentne hemikalije u životnom okruženju*, Hem Ind. 2014; **68(1)**: 51-62.
- Vojinović-Miloradov, M., Turk, M., Sekulić, J., Radonić, J., Kiurski, D., Milovanović, I., Spanik, I., Mihajlović, I. (2011): *Pseudopersistent pollutant in the environment: emerging substances*, XVII International Symposium on Analytical and Environmental Problems, Szeged, Hungary, 2011, Proceedings, pp. 180–184.
- Vandenberg, N. L., Colborn, T., Hayes, B.T., Heindel, J. J., Jacobs, R. D., Duk-Hee Lee Jr., T. S., Soto, M. A., vom Saal, S.F., Welshons, V.W., Zoeller, T., Peterson-Myers, J. (2012): *Hormones and Endocrine-Disrupting Chemicals: Low-Dose Effects and Nonmonotonic Dose Responses* Endocrine Reviews, First published ahead of print Marc 14, 2012.
- Topalović, A., Nikčević, S., Pešić, V. (2003): *Ispitivanje kvaliteta voda Skadarskog jezera u 2002. godini*, Zbornik radova »Ekološka istina 2003«, XI naučno – stručni skup o prirodnim vrednostima i zaštiti životne sredine, Donji Milanovac, 2.-4. jun, 331–334.

- **Tumpling, W. (1969):** *Zur klassifizierung der Wasserbeschaffenheit aus Biologischer Sicht.* Wiss. Z. Univ. Rostock, 18: 793-798.
- **Ternes, T.A., Meisenheimer, M., McDowell, D., Sacher, F., Brauch, H.J., Haist-Gulde, B., Preuss, G., Wilme, U., Zulei-Seibert, N. (2002a):** *Removal of pharmaceuticals during drinking water treatment,* Environ. Sci. Technol., 36, 3855–3863.
- **Winding, A. (1994):** *Fingerprinting bacterial soil communities using Biolog microtitre plates,* In: **Beyond the Biomass** (Ritz K. Dighton J. Giller K.E., Eds.), pp. 85–94. John Wiley and Sons, Chichester.
- **Webb, S.F. (2001):** *A data based perspective on the environmental risk assessment of human pharmaceuticals II-aquatic risk characterization,* **Pharmaceuticals in the Environment.** Springer, pp. 203–219.
- **Welshons, V., Wade, T., Thayer, A. (2003):** Large effects from small exposures. I. *Mechanisms for endocrine-disrupting chemicals with estrogenic activity,* Environ Health Perspect. 111(8): 994–1006.

PRILOG 1.

NORMAN TABELA IMENA KSENOBIOTIKA

Prilog 1. NORMAN tabela imena ksenobiotika

Ime substance	Akrоним	Ok	NORMAN	Status NORMAN list
Microcystin-LR		101043-37-2	NORMAN 2011	Former NORMAN
Microcystin-RR		111755-37-4	NORMAN 2011	Former NORMAN
Microcystin-YR		101064-48-6	NORMAN 2011	Former NORMAN
Surfinol-104		126-86-3	NORMAN 2011	NORMAN
2,6-Di-tert-butylphenol		128-39-2	NORMAN 2011	NORMAN
Butylated hydroxyanisole	BHA	25013-16-5	NORMAN 2011	NORMAN
tert-Butylhydroquinone	TBHQ	1948-33-0	NORMAN 2011	NORMAN
Butylated hydroxytoluene	BHT	128-37-0	NORMAN 2011	NORMAN
Cybutryne (Irgarol)		28159-98-0	NORMAN 2011	Former NORMAN (PS)
Dibutyl tin ion		1002-53-5	NORMAN 2011	Former NORMAN
Monobutyl tin ion		78763-54-9	NORMAN 2011	Former NORMAN
Tetrabutyl tin ion		1461-25-2	NORMAN 2011	Former NORMAN
Triphenyltin cation		668-34-8	NORMAN 2011	Former NORMAN
Trichloronitromethane (Chloropicrin)		76-06-2	NORMAN 2011	Former NORMAN
Diethylenetriaminepentaacetic acid	DTPA	67-43-6	NORMAN 2011	Former NORMAN
Ethylenediaminetetraacetic acid	EDTA	60-00-4	NORMAN 2011	Former NORMAN
Nitrilotriacetic acid	NTA	139-13-9	NORMAN 2011	Former NORMAN
Oxadixyl		77732-09-3	NORMAN 2011	NORMAN
Tetraacetylenediamine	TAED	10543-57-4	NORMAN 2011	NORMAN
Naphthalene sulphonic acid		120-18-3	NORMAN 2011	Former NORMAN
C10-C14-LAS		69669-44-9	NORMAN 2011	NORMAN
C12-LAS		25155-30-0	NORMAN 2011	NORMAN
4-Nonylphenol di-ethoxylate / 2-(2-(4-Nonylphenoxy)ethoxy)ethanol	NPE20 group	20427-84-3	NORMAN 2011	Former NORMAN
4-Nonylphenol mono-ethoxylate	NPE10 group	104-35-8	NORMAN 2011	Former NORMAN
4-Nonylphenoxy acetic acid	NPE1C	3115-49-9	NORMAN 2011	Former NORMAN
2-(2-(4-Nonylphenoxy)ethoxy)acetic acid	NPE2C	106807-78-7	NORMAN 2011	Former NORMAN
2-[2-[4-(1,1,3,3-tetramethylbutyl)phenoxy]ethoxy]ethanol / 4-Octylphenol di-ethoxylate	OPE20	2315-61-9	NORMAN 2011	Former NORMAN
2-[4-(1,1,3,3-tetramethylbutyl)phenoxy]ethanol / 4-Octylphenol mono-ethoxylate	OPE10	2315-67-5	NORMAN 2011	Former NORMAN
4-Octylphenoxy acetic acid	OPE1C	15234-85-2	NORMAN 2011	Former NORMAN
Cyanoformaldehyde		4471-47-0	NORMAN 2011	NORMAN
Decabromodiphenyl ethane	DBDPE / BDPE-209	84852-53-9	NORMAN 2011	NORMAN
Hexabromocyclododecane	HBCDD	25637-99-4	NORMAN 2011	Former NORMAN (PS)

n-Nitrosodimethylamine	NDMA / DMNA	62-75-9	NORMAN 2011	NORMAN
Benzylbutylphthalate	BBP	85-68-7	NORMAN 2011	Former NORMAN
Diethyl phthalate	DEP	84-66-2	NORMAN 2011	Former NORMAN
Dimethylphthalate	DMP	131-11-3	NORMAN 2011	Former NORMAN
Di-n-butylphthalate	DBP	84-74-2	NORMAN 2011	Former NORMAN
Di-n-octylphthalate	DOP	117-84-0	NORMAN 2011	Former NORMAN
Bisphenol A		80-05-7	NORMAN 2011	NORMAN
Triphenyl phosphate	TPHP	115-86-6	NORMAN 2011	NORMAN
2,4-Dihydroxybenzophenone		131-56-6	NORMAN 2011	NORMAN
1,2,5,6,9,10 - Hexabromocyclododecane	HBCDD / HBCD (5 isomers - alpha to epsilon)	3194-55-6	NORMAN 2011	Former NORMAN (PS)
2,2',3,4,4',5',6'-Heptabromodiphenyl ether	BDE-183	207122-16-5	NORMAN 2011	NORMAN
2,2',4,4',5,5'-Hexabromodiphenyl ether	BDE-153	68631-49-2	NORMAN 2011	Former NORMAN (PS)
2,2',4,4',5,6'-Hexabromodiphenyl ether	BDE-154	207122-15-4	NORMAN 2011	Former NORMAN (PS)
2,2',4,4'-Tetrabromodiphenyl ether	BDE-47	5436-43-1	NORMAN 2011	Former NORMAN (PS)
2,2',3,3',4,4',5,5',6,6' - Decabromodiphenyl ether	BDE-209	1163-19-5	NORMAN 2011	Former NORMAN (PS)
Octabromodiphenyl ethers		32536-52-0	NORMAN 2011	NORMAN
Tetrabromobisphenol A bis (2,3-dibromopropyl) ether	TBBPA-BDBPE	21850-44-2	NORMAN 2011	NORMAN
Tris(2-carboxyethyl)phosphine hydrochloride	TCEP, Hydrochloride	51805-45-9	NORMAN 2011	NORMAN
Tris(1,3-dichloroisopropyl) phosphate	TDCIPP	13674-87-8	NORMAN 2011	NORMAN
Triethyl phosphate	TEP	78-40-0	NORMAN 2011	NORMAN
Tributyl phosphate	TNBP	126-73-8	NORMAN 2011	NORMAN
Tris(2-chloroethyl) phosphate	TCEP	115-96-8	NORMAN 2011	NORMAN
Long-chained chloroalkanes (C18-30)	LCCP, CxH(2x-y+2)Cl _y	Trichloronitromethane (Chloropicrin)	NORMAN 2011	NORMAN
Medium-chained chloroalkanes, (C14-17)	MCCP, CxH(2x-y+2)Cl _y	63449-39-8	NORMAN 2011	NORMAN
Technical polychlorinated alkanes products (Alkanes, chloro)		61788-76-9	NORMAN 2011	NORMAN
Acetylcedrene		32388-55-9	NORMAN 2011	NORMAN
Benzylacetate		140-11-4	NORMAN 2011	NORMAN
Benzylsalicylate		118-58-1	NORMAN 2011	NORMAN
Camphor		76-22-2	NORMAN 2011	NORMAN
g-Methylionone		127-51-5	NORMAN 2011	NORMAN
Hexylcinnamaldehyde		101-86-0	NORMAN 2011	NORMAN
Isoborneol		124-76-5	NORMAN 2011	NORMAN

Isobornylacetate		125-12-2	NORMAN 2011	NORMAN
Isoquinoline		119-65-3	NORMAN 2011	NORMAN
Methyldihydrojasmonate (Methyl 3-oxo-2-pentylcyclopentaneacetate)		24851-98-7	NORMAN 2011	NORMAN
Methylsalicylate		119-36-8	NORMAN 2011	NORMAN
p-t-Bucinal (Lilial)		80-54-6	NORMAN 2011	NORMAN
alpha-Terpineol		98-55-5	NORMAN 2011	NORMAN
Musk ketone		81-14-1	NORMAN 2011	Former NORMAN
Musk xylene		81-15-2	NORMAN 2011	Former NORMAN
Tonalide	AHTN	1506-02-1	NORMAN 2011	NORMAN
Galaxolide		1222-05-5	NORMAN 2011	NORMAN
Boisvelone / Iso-E super	OTNE	54464-57-2	NORMAN 2011	NORMAN
Methyl-tert-butyl ether	MTBE	1634-04-4	NORMAN 2011	NORMAN
2-(N-ethylperfluorooctanesulfonamido)-ethyl alcohol	N-Et-FOSE	1691-99-2	NORMAN 2011	NORMAN
2-(N-methylperfluorooctanesulfonamido)-ethyl alcohol	N-Me-FOSE	24448-09-7	NORMAN 2011	NORMAN
6:2 Fluorotelomer sulfonate (anion)	6:2 FTS (anion)	425670-75-3	NORMAN 2011	NORMAN
N-ethylperfluorooctanesulfonamide	N-EtFOSA	4151-50-2	NORMAN 2011	NORMAN
N-methylperfluorooctanesulfonamide	N-MeFOSA	31506-32-8	NORMAN 2011	NORMAN
N-methylperfluorooctanesulfonamidoethyl acrylate	N-MeFOSEA	25268-77-3	NORMAN 2011	Former NORMAN
Perfluorobutanesulfonate (anion)	PFBS (anion)	45187-15-3	NORMAN 2011	NORMAN
Perfluorodecane sulfonate (anion)+	PFDS (anion)	126105-34-8	NORMAN 2011	NORMAN
Perfluorodecanoic acid	PFDA	335-76-2	NORMAN 2011	Former NORMAN
Perfluorododecanoic acid	PFDoA	307-55-1	NORMAN 2011	Former NORMAN
Perfluoroheptanoic acid	PFHpA	375-85-9	NORMAN 2011	NORMAN
Perfluorohexanoic acid	PFHxA	307-24-4	NORMAN 2011	NORMAN
Perfluorohexane sulfonate (anion)	PFHxS (anion)	108427-53-8	NORMAN 2011	NORMAN
Perfluorononanoic acid	PFNA	375-95-1	NORMAN 2011	NORMAN
Perfluorooctane sulfonamide	PFOSA	754-91-6	NORMAN 2011	NORMAN
Perfluorooctanesulfonyl fluoride	POSF	307-35-7	NORMAN 2011	Former NORMAN
Perfluorooctanoic acid	PFOA	335-67-1	NORMAN 2011	Former NORMAN
Perfluorotetradecanoic acid	PFTeDA	376-06-7	NORMAN 2011	Former NORMAN
Perfluoro-n-undecanoic acid	PFUnA	2058-94-8	NORMAN 2011	Former NORMAN
2-(Perfluorobutyl)ethanol	4:2 FTOH	2043-47-2	NORMAN 2011	Former NORMAN
2-(Perfluorohexyl)ethanol	6:2 FTOH	647-42-7	NORMAN 2011	Former NORMAN
2-(Perfluoro-n-octyl)ethanol	8:2 FTOH	678-39-7	NORMAN 2011	Former NORMAN
2-(Perfluorodecyl)ethanol	10:2 FTOH	865-86-1	NORMAN 2011	Former NORMAN
2-(Perfluorododecyl)ethanol	12:2 FTOH	39239-77-5	NORMAN 2011	Former NORMAN
4-Methylbenzylidene camphor		36861-47-9	NORMAN 2011	NORMAN
Benzophenone		119-61-9	NORMAN 2011	NORMAN
Oxybenzone		131-57-7	NORMAN 2011	NORMAN

Butyl methoxydibenzoylmethane		87075-14-7	NORMAN 2011	NORMAN
Ethylhexyl methoxycinnamate		5466-77-3	NORMAN 2011	NORMAN
Benzaldehyde, (phenylmethylene) hydrazone (Eusolex)		588-68-1	NORMAN 2011	NORMAN
Homosalate		118-56-9	NORMAN 2011	NORMAN
N,N-Diethyltoluamide	DEET	134-62-3	NORMAN 2011	NORMAN
Octocrylene		80135-31-5	NORMAN 2011	NORMAN
Picaridin (Bayrepel)		658051-75-3	NORMAN 2011	NORMAN
Octamethylcyclotetrasiloxane (D4)		556-67-2	NORMAN 2011	NORMAN
Decamethylcyclopentasiloxane (D5)		541-02-6	NORMAN 2011	NORMAN
Dodecamethylcyclohexasiloxane (D6)		540-97-6	NORMAN 2011	NORMAN
Hexamethyldisiloxane (HM or HMDS)		107-46-0	NORMAN 2011	NORMAN
Octamethyltrisiloxane (MDM)		107-51-7	NORMAN 2011	NORMAN
Decamethyltetrasiloxane (MD2M)		141-62-8	NORMAN 2011	NORMAN
Dodecamethylpentasiloxane (MD3M)		141-63-9	NORMAN 2011	NORMAN
Methyl paraben		99-76-3	NORMAN 2011	NORMAN
Ethyl paraben		120-47-8	NORMAN 2011	NORMAN
Propyl paraben		94-13-3	NORMAN 2011	NORMAN
Isobutyl paraben		4247-02-3	NORMAN 2011	NORMAN
Aminotriazole		61-82-5	NORMAN 2011	NORMAN
Bentazone		25057-89-0	NORMAN 2011	Former NORMAN
Bromofos-ethyl		4824-78-6	NORMAN 2011	NORMAN
Carbazole		86-74-8	NORMAN 2011	NORMAN
Carbendazim		10605-21-7	NORMAN 2011	NORMAN
Carboxin		5234-68-4	NORMAN 2011	NORMAN
Glyphosate		1071-83-6	NORMAN 2011	NORMAN
Chloridazon		1698-60-8	NORMAN 2011	NORMAN
Clopyralid		1702-17-6	NORMAN 2011	NORMAN
Chlorpropham		101-21-3	NORMAN 2011	Former NORMAN
Chlorotoluron		15545-48-9	NORMAN 2011	NORMAN
2,4-Dichlorophenoxyacetic acid	2,4-D	94-75-7	NORMAN 2011	NORMAN
Dicamba		1918-00-9	NORMAN 2011	NORMAN
Desethylterbutylazin		30125-63-4	NORMAN 2011	NORMAN
Desmedipham		13684-56-5	NORMAN 2011	NORMAN
Desmetryn		1014-69-3	NORMAN 2011	NORMAN
Diazinon		333-41-5	NORMAN 2011	NORMAN
Dichlobenil		1194-65-6	NORMAN 2011	NORMAN
Dichlorvos		62-73-7	NORMAN 2011	Former NORMAN (PS)
Dinoterb		1420-07-1	NORMAN 2011	Former NORMAN
Endosulfan-sulfate		1031-07-8	NORMAN 2011	NORMAN
Ethoprophos		13194-48-4	NORMAN 2011	NORMAN
Ethofumesate		26225-79-6	NORMAN 2011	NORMAN
Fluroxypyr		69377-81-7	NORMAN 2011	NORMAN

Eptenofos		23560-59-0	NORMAN 2011	NORMAN
Iodofenphos		18181-70-9	NORMAN 2011	NORMAN
Imidaclopride		138261-41-3	NORMAN 2011	NORMAN
d-Limonene		5989-27-5	NORMAN 2011	NORMAN
2-methyl-4-chlorophenoxyacetic acid	MCPA	94-74-6	NORMAN 2011	NORMAN
4-(4-chloro-o-tolyloxy) butyric acid	2,4-MCPB	94-81-5	NORMAN 2011	NORMAN
Mecoprop	MCPP	7085-19-0	NORMAN 2011	NORMAN
Metalaxyl		57837-19-1	NORMAN 2011	NORMAN
Methomyl		16752-77-5	NORMAN 2011	NORMAN
Metamitron		41394-05-2	NORMAN 2011	NORMAN
Mevinphos		7786-34-7	NORMAN 2011	NORMAN
Phenmedipham		13684-63-4	NORMAN 2011	NORMAN
Prometryn		7287-19-6	NORMAN 2011	Former NORMAN
Prometon		1610-18-0	NORMAN 2011	Former NORMAN
Secbumeton		26259-45-0	NORMAN 2011	Former NORMAN
Terbutryny		886-50-0	NORMAN 2011	Former NORMAN (PS)
Terbutylazine		5915-41-3	NORMAN 2011	Former NORMAN
Thiabendazole		148-79-8	NORMAN 2011	NORMAN
Triadimefon		43121-43-3	NORMAN 2011	Former NORMAN
Triphenylphosphine oxide	TPPO	791-28-6	NORMAN 2011	NORMAN
Cypermethrin		52315-07-8	NORMAN 2011	Former NORMAN (PS)
Deltamethrin		52918-63-5	NORMAN 2011	NORMAN
Permethrin		52645-53-1	NORMAN 2011	NORMAN
Sulfonyl urea		35507-37-0	NORMAN 2011	NORMAN
6-Deisopropylatrazine / 6-chloro-N-ethyl-1,3,5-Triazine-2,4-diamine		1007-28-9	NORMAN 2011	Former NORMAN
Desethylatrazine		6190-65-4	NORMAN 2011	Former NORMAN
Dichlofluanid		1085-98-9	NORMAN 2011	NORMAN
Triclosan		3380-34-5	NORMAN 2011	NORMAN
Methyl triclosan		4640-01-1	NORMAN 2011	NORMAN
o-Benzyl-p-chlorophenol (Chlorophene)		120-32-1	NORMAN 2011	NORMAN
Acetaminophen (Paracetamol)		103-90-2	NORMAN 2011	NORMAN
Acetylsalicylic acid (Aspirin)		50-78-2	NORMAN 2011	NORMAN
Alclofenac		22131-79-9	NORMAN 2011	NORMAN
Codeine		76-57-3	NORMAN 2011	NORMAN
Hydrocodone		125-29-1	NORMAN 2011	NORMAN
Phenazone		60-80-0	NORMAN 2011	NORMAN
Propyphenazone		479-92-5	NORMAN 2011	NORMAN
Fenfluramine		458-24-2	NORMAN 2011	NORMAN
Ivermectin		70288-86-7	NORMAN 2011	NORMAN
Amoxicillin		26787-78-0	NORMAN 2011	NORMAN
Ampicillin		69-53-4	NORMAN 2011	NORMAN

Azithromycin		83905-01-5	NORMAN 2011	NORMAN
Chloramphenicol		56-75-7	NORMAN 2011	NORMAN
Chlortetracycline		57-62-5	NORMAN 2011	NORMAN
Ciprofloxacin		85721-33-1	NORMAN 2011	NORMAN
Clarithromycin		81103-11-9	NORMAN 2011	NORMAN
Cloxacillin		7081-44-9	NORMAN 2011	NORMAN
Danofloxacin		112398-08-0	NORMAN 2011	NORMAN
Dicloxacillin		3116-76-5	NORMAN 2011	NORMAN
Doxycycline (anhydrous)		94088-85-4	NORMAN 2011	NORMAN
Doxycycline (monohydrate)		564-25-0	NORMAN 2011	NORMAN
Enoxacin		74011-58-8	NORMAN 2011	NORMAN
Enrofloxacin		93106-60-6	NORMAN 2011	NORMAN
Erythromycin		114-07-8	NORMAN 2011	NORMAN
Flumequine		42835-25-6	NORMAN 2011	NORMAN
Josamycin		16846-24-5	NORMAN 2011	NORMAN
Lincomycin		859-18-7	NORMAN 2011	NORMAN
Methicillin		61-32-5	NORMAN 2011	NORMAN
Minocycline		13614-98-7	NORMAN 2011	NORMAN
Norfloxacin		70458-96-7	NORMAN 2011	NORMAN
Novobiocin		1476-53-5	NORMAN 2011	NORMAN
Ofloxacin		82419-36-1	NORMAN 2011	NORMAN
Oleandomycin		3922-90-5	NORMAN 2011	NORMAN
Oxacillin		66-79-5	NORMAN 2011	NORMAN
Oxytetracycline		79-57-2	NORMAN 2011	NORMAN
Penicillin G		61-33-6	NORMAN 2011	NORMAN
Penicillin V		87-08-1	NORMAN 2011	NORMAN
Roxithromycin		80214-83-1	NORMAN 2011	NORMAN
Spiramycin		8025-81-8	NORMAN 2011	NORMAN
Sulfadiazine		68-35-9	NORMAN 2011	NORMAN
Sulfamerazine		127-79-7	NORMAN 2011	NORMAN
Sulfamethazine		57-68-1	NORMAN 2011	NORMAN
Sulfamethoxazole		723-46-6	NORMAN 2011	NORMAN
Sulfapyridine		144-83-2	NORMAN 2011	NORMAN
Tetracycline		60-54-8	NORMAN 2011	NORMAN
Tiamulin		55297-95-5	NORMAN 2011	NORMAN
Fluvoxamine		54739-18-3	NORMAN 2011	NORMAN
Paroxetine		61869-08-7	NORMAN 2011	NORMAN
Glibenclamide (Glyburide)		10238-21-8	NORMAN 2011	NORMAN
Metformin		657-24-9	NORMAN 2011	NORMAN
Diphenhydramine		58-73-1	NORMAN 2011	NORMAN
Carbamazepine		298-46-4	NORMAN 2011	NORMAN
Primidone		125-33-7	NORMAN 2011	NORMAN
Loratadine		79794-75-5	NORMAN 2011	NORMAN

Nadolol		42200-33-9	NORMAN 2011	NORMAN
Verapamil		52-53-9	NORMAN 2011	NORMAN
Aceclofenac		89796-99-6	NORMAN 2011	NORMAN
Acemetacin		53164-05-9	NORMAN 2011	NORMAN
Diclofenac		15307-86-5	NORMAN 2011	NORMAN
Fenoprofen		31879-05-7	NORMAN 2011	NORMAN
Fenoprofen calcium salt dihydrate		53746-45-5	NORMAN 2011	NORMAN
Ibuprofen		15687-27-1	NORMAN 2011	NORMAN
Indomethacin		53-86-1	NORMAN 2011	NORMAN
Ketoprofen		22071-15-4	NORMAN 2011	NORMAN
Meclofenamic acid		644-62-2	NORMAN 2011	NORMAN
Mefenamic acid		61-68-7	NORMAN 2011	NORMAN
Naproxen		22204-53-1	NORMAN 2011	NORMAN
Phenylbutazone		50-33-9	NORMAN 2011	NORMAN
Tolfenamic acid		13710-19-5	NORMAN 2011	NORMAN
Cyclophosphamide		50-18-0	NORMAN 2011	NORMAN
Daunorubicin		20830-81-3	NORMAN 2011	NORMAN
Doxorubicin		25316-40-9	NORMAN 2011	NORMAN
Epirubicin		56420-45-2	NORMAN 2011	NORMAN
Fluorouracil		51-21-8	NORMAN 2011	NORMAN
Ifosfamide		3778-73-2	NORMAN 2011	NORMAN
Famotidine		76824-35-6	NORMAN 2011	NORMAN
Lansoprazole		103577-45-3	NORMAN 2011	NORMAN
Omeprazole		73590-58-6	NORMAN 2011	NORMAN
Ranitidine		66357-35-5	NORMAN 2011	NORMAN
Aцикловир		59277-89-3	NORMAN 2011	NORMAN
Alprazolam		28981-97-7	NORMAN 2011	NORMAN
Bromazepam		1812-30-2	NORMAN 2011	NORMAN
Diazepam		439-14-5	NORMAN 2011	NORMAN
Lorazepam		846-49-1	NORMAN 2011	NORMAN
Medazepam		2898-12-6	NORMAN 2011	NORMAN
Meprobamate		57-53-4	NORMAN 2011	NORMAN
Nordiazepam		1088-11-5	NORMAN 2011	NORMAN
Oxazepam		604-75-1	NORMAN 2011	NORMAN
Temazepam		846-50-4	NORMAN 2011	NORMAN
Acebutolol		37517-30-9	NORMAN 2011	NORMAN
Atenolol		29122-68-7	NORMAN 2011	NORMAN
Betaxolol		63659-18-7	NORMAN 2011	NORMAN
Bisoprolol		66722-44-9	NORMAN 2011	NORMAN
Carazolol		57775-29-8	NORMAN 2011	NORMAN
Metoprolol		37350-58-6	NORMAN 2011	NORMAN
Oxprenolol		6452-71-7	NORMAN 2011	NORMAN
Pindolol		13523-86-9	NORMAN 2011	NORMAN

Propranolol		525-66-6	NORMAN 2011	NORMAN
Sotalol		3930-20-9	NORMAN 2011	NORMAN
Timolol		26839-75-8	NORMAN 2011	NORMAN
Pentoxifylline		6493-05-6	NORMAN 2011	NORMAN
Albuterol		18559-94-9	NORMAN 2011	NORMAN
Albuterol sulfate		51022-70-9	NORMAN 2011	NORMAN
Clenbuterol		37148-27-9	NORMAN 2011	NORMAN
Fenoterol		13392-18-2	NORMAN 2011	NORMAN
Salbutamol		35763-26-9	NORMAN 2011	NORMAN
Terbutaline		23031-25-6	NORMAN 2011	NORMAN
Caffeine		58-08-2	NORMAN 2011	NORMAN
Furosemide		54-31-9	NORMAN 2011	NORMAN
Hydrochlorothiazide		58-93-5	NORMAN 2011	NORMAN
Bezafibrate		41859-67-0	NORMAN 2011	NORMAN
Clofibrlic acid (metabolite of CLOFIBRATE)		882-09-7	NORMAN 2011	NORMAN
Etofibrate		56775-91-8	NORMAN 2011	NORMAN
Fenofibrate		49562-28-9	NORMAN 2011	NORMAN
Fenofibric acid (metabolite of FENOFIBRATE)		42017-89-0	NORMAN 2011	NORMAN
Gemfibrozil		25812-30-0	NORMAN 2011	NORMAN
Lovastatin		75330-75-5	NORMAN 2011	NORMAN
Mevastatin		73573-88-3	NORMAN 2011	NORMAN
Pravastatin		81093-37-0	NORMAN 2011	NORMAN
Simvastatin		79902-63-9	NORMAN 2011	NORMAN
Acecarbromal		77-66-7	NORMAN 2011	NORMAN
Allobarbital		52-43-7	NORMAN 2011	NORMAN
Amobarbital		57-43-2	NORMAN 2011	NORMAN
Butalbital		77-26-9	NORMAN 2011	NORMAN
Hexobarbital		56-29-1	NORMAN 2011	NORMAN
Pentobarbital		76-74-4	NORMAN 2011	NORMAN
Aprobarbital		77-02-1	NORMAN 2011	NORMAN
Secobarbital sodium		309-43-3	NORMAN 2011	NORMAN
17-alpha-Estradiol		57-91-0	NORMAN 2011	NORMAN
17-alpha-Ethinylestradiol		57-63-6	NORMAN 2011	NORMAN
17-beta-Estradiol		50-28-2	NORMAN 2011	NORMAN
Beta-sitosterol		83-46-5	NORMAN 2011	NORMAN
Cholesterol		57-88-5	NORMAN 2011	Former NORMAN
Diethylstilbestrol		56-53-1	NORMAN 2011	NORMAN
Estriol		50-27-1	NORMAN 2011	NORMAN
Estrone		53-16-7	NORMAN 2011	NORMAN
Estrone sulphate		481-97-0	NORMAN 2011	NORMAN
Mestranol		72-33-3	NORMAN 2011	NORMAN

Amitriptyline		50-48-6	NORMAN 2011	NORMAN
Doxepine		1668-19-5	NORMAN 2011	NORMAN
Imipramine		50-49-7	NORMAN 2011	NORMAN
Zolpidem		82626-48-0	NORMAN 2011	NORMAN
Diatrizoate		117-96-4	NORMAN 2011	NORMAN
Iohexol		66108-95-0	NORMAN 2011	NORMAN
Iomeprol		78649-41-9	NORMAN 2011	NORMAN
lopamidol		60166-93-0	NORMAN 2011	NORMAN
lopromide		73334-07-3	NORMAN 2011	NORMAN
4-Methyl-1H-benzotriazole		29878-31-7	NORMAN 2011	NORMAN
5-Methyl-1H-benzotriazole (5-Tolyltriazole)		136-85-6	NORMAN 2011	NORMAN
5,6-Dimethyl-1H-benzotriazole		4184-79-6	NORMAN 2011	NORMAN
Methyl-1H-benzotriazole / Tolyltriazole		29385-43-1	NORMAN 2011	NORMAN
p-Cresol		106-44-5	NORMAN 2011	NORMAN
Cocaine		50-36-2	NORMAN 2011	NORMAN
Dihydrocodeine		125-28-0	NORMAN 2011	NORMAN
Heroin		561-27-3	NORMAN 2011	NORMAN
Morphine		57-27-2	NORMAN 2011	NORMAN
Oxycodone		76-42-6	NORMAN 2011	NORMAN
Benzothiazole		95-16-9	NORMAN 2011	NORMAN
2-Mercapto-benzothiazole		149-30-4	NORMAN 2011	NORMAN
Benzothiazol-2-sulfonic acid		941-57-1	NORMAN 2011	NORMAN
Cotinine		486-56-6	NORMAN 2011	NORMAN
Diphenyltin ion		1135-99-5	NORMAN 2011	Former NORMAN
AHDI (Phantolide)		15323-35-0	NORMAN 2011	NORMAN
ADBI (Celestolide)		13171-00-1	NORMAN 2011	NORMAN
ATII (Traseolide)		68140-48-7	NORMAN 2011	NORMAN
4-tert-Butylphenol		98-54-4	NORMAN 2011	NORMAN
Tetrabromobisphenol A	TBBPA	79-94-7	NORMAN 2011	NORMAN
Musk ambrette		83-66-9	NORMAN 2011	Former NORMAN
Tetramethyl lead		75-74-1	NORMAN 2011	Former NORMAN
Tetraethyl lead		78-00-2	NORMAN 2011	Former NORMAN
Citalopram		59729-32-7	NORMAN 2011	NORMAN
Escitalopram		128196-01-0	NORMAN 2011	NORMAN
Sertraline		79617-96-2	NORMAN 2011	NORMAN
Fluoxetine		54910-89-3	NORMAN 2011	NORMAN
Prednisolone		50-24-8	NORMAN 2011	NORMAN
Dexamethasone		50-02-2	NORMAN 2011	NORMAN
Betamethasone		378-44-9	NORMAN 2011	NORMAN
Clotrimazole		23593-75-1	NORMAN 2011	NORMAN
1,2,3-Benzotriazole		95-14-7	NORMAN 2011	NORMAN

Hydrazine		302-01-2	NORMAN 2011	NORMAN
1,1,1,3,3-Pentachloropropanone		1768-31-6	NORMAN 2011	NORMAN
1,1,1,3-Tetrachloropropanone		16995-35-0	NORMAN 2011	NORMAN
1,1,3,3-Tetrachloropropanone		632-21-3	NORMAN 2011	NORMAN
1,1,3-Trichloropropanone		921-03-9	NORMAN 2011	NORMAN
1,1-Dibromopropanone		867-54-9	NORMAN 2011	NORMAN
1,3-Dichloroketone		534-07-6	NORMAN 2011	NORMAN
2,3,5-Tribromopyrrole		74039-30-8	NORMAN 2011	NORMAN
2-Chloroacetamide		79-07-2	NORMAN 2011	NORMAN
2-Chlorophenol		95-57-8	NORMAN 2011	Former NORMAN
4-Chlorophenol		106-48-9	NORMAN 2011	Former NORMAN
Bromoacetonitrile		590-17-0	NORMAN 2011	NORMAN
Bromodichloroacetic acid		71133-14-7	NORMAN 2011	NORMAN
Bromodichloronitromethane		918-02-5	NORMAN 2011	NORMAN
Bromodiiodomethane		557-95-9	NORMAN 2011	NORMAN
Bromochloroacetaldehyde		98136-99-3	NORMAN 2011	NORMAN
Bromochloroacetamide		62872-34-8	NORMAN 2011	NORMAN
Bromochloroacetic acid		5589-96-8	NORMAN 2011	NORMAN
Bromochloroacetonitrile		83463-62-1	NORMAN 2011	NORMAN
Bromochloroiodomethane		34970-00-8	NORMAN 2011	NORMAN
Bromochloromethane		74-97-5	NORMAN 2011	NORMAN
Bromochloronitromethane		135531-25-8	NORMAN 2011	NORMAN
Bromoiodoacetamide		62872-36-0	NORMAN 2011	NORMAN
Bromonitromethane		563-70-2	NORMAN 2011	NORMAN
Dibromoacetamide		598-70-9	NORMAN 2011	NORMAN
Dibromoacetonitrile		3252-43-5	NORMAN 2011	NORMAN
Dibromodichloromethane		594-18-3	NORMAN 2011	NORMAN
Dibromochloroacetic acid		5278-95-5	NORMAN 2011	NORMAN
Dibromochloronitromethane		1184-89-0	NORMAN 2011	NORMAN
Dibromoiodomethane		593-94-2	NORMAN 2011	NORMAN
Dibromomethane		74-95-3	NORMAN 2011	NORMAN
Dibromonitromethane		598-91-4	NORMAN 2011	NORMAN
Dichloroacetaldehyde		79-02-7	NORMAN 2011	NORMAN
2,2-Dichloroacetamide		683-72-7	NORMAN 2011	NORMAN
Dichloroacetonitrile		3018-12-0	NORMAN 2011	NORMAN
Dichloroiodomethane		594-04-7	NORMAN 2011	NORMAN
Dichloronitromethane		7119-89-3	NORMAN 2011	NORMAN
Diiodoacetamide		5875-23-0	NORMAN 2011	NORMAN
Hexachloropropanone		116-16-5	NORMAN 2011	NORMAN
Chloroacetaldehyde		107-20-0	NORMAN 2011	NORMAN
Chloroacetonitrile		107-14-2	NORMAN 2011	NORMAN
Chlorodiiodomethane		638-79-9	NORMAN 2011	NORMAN
2-chloro-2-iodo-acetamide		62872-35-9	NORMAN 2011	NORMAN

Chloronitromethane		1794-84-9	NORMAN 2011	NORMAN
Iodoacetamide		144-48-9	NORMAN 2011	NORMAN
Iodoacetic acid		64-69-7	NORMAN 2011	NORMAN
Iodoacetonitrile		624-75-9	NORMAN 2011	NORMAN
Iodoform		75-47-8	NORMAN 2011	NORMAN
Mucochloric acid		87-56-9	NORMAN 2011	NORMAN
Mutagen X	MX	77439-76-0	NORMAN 2011	NORMAN
N-bromoacetamide		79-15-2	NORMAN 2011	NORMAN
N-Nitrosodibutylamine	NDBA	924-16-3	NORMAN 2011	NORMAN
4-nitrosomorpholine	NMOR	59-89-2	NORMAN 2011	NORMAN
N-nitrosodiethylamine	NDEA	55-18-5	NORMAN 2011	NORMAN
N-nitrosodiphenylamine	NDPA	86-30-6	NORMAN 2011	NORMAN
N-nitrosomethylethylamine	NMEA	10595-95-6	NORMAN 2011	NORMAN
N-nitrosopiperidine	NPIP	100-75-4	NORMAN 2011	NORMAN
N-Nitrosopyrrolidine	NPYR	930-55-2	NORMAN 2011	NORMAN
Tribromoacetaldehyde		115-17-3	NORMAN 2011	NORMAN
Tribromoacetamide		594-47-8	NORMAN 2011	NORMAN
Tribromoacetic acid		75-96-7	NORMAN 2011	NORMAN
Tribromonitromethane		464-10-8	NORMAN 2011	NORMAN
Trichloroacetamide		594-65-0	NORMAN 2011	NORMAN
Trichloroacetonitrile		545-06-2	NORMAN 2011	NORMAN
Tris(2-ethylhexyl) phosphate	TEHP	78-42-2	NORMAN 2011	NORMAN
Tris(2,3-dichloropropyl) phosphate	TDCCP	78-43-3	NORMAN 2011	NORMAN
Sucralose		56038-13-2	NORMAN 2011	NORMAN
Triacetin		102-76-1	NORMAN 2011	NORMAN
Triethylcitrate		77-93-0	NORMAN 2011	NORMAN
2-Ethylthioacetic acid ethylester		4455-13-4	NORMAN 2011	NORMAN
2-Methylthioacetic acid ethylester		67-71-0	NORMAN 2011	NORMAN
3-Methylthiopropionic acid		646-01-5	NORMAN 2011	NORMAN
Cyclopentadecanolide		106-02-5	NORMAN 2011	NORMAN
Dipropyltrisulfide		6028-61-1	NORMAN 2011	NORMAN
Ethylene brassylate		105-95-3	NORMAN 2011	NORMAN
Habanolide		34902-57-3	NORMAN 2011	NORMAN
1,1,2-Trichloroethane		79-00-5	NORMAN 2011	Former NORMAN
1,3-Dinitropyrene		75321-20-9	NORMAN 2011	Former NORMAN
1,6-Dinitropyrene		42397-64-8	NORMAN 2011	Former NORMAN
1,8-Dinitropyrene		42397-65-9	NORMAN 2011	Former NORMAN
2-(2-Naphthalenyl)benzothiophene		17164-77-1	NORMAN 2011	NORMAN
3-Chloroaniline		108-42-9	NORMAN 2011	NORMAN
4-Chloroaniline		106-47-8	NORMAN 2011	NORMAN
3-Nitrobenzanthrone		17117-34-9	NORMAN 2011	NORMAN
Acetaldehyde		75-07-0	NORMAN 2011	Former NORMAN

Aniline		62-53-3	NORMAN 2011	Former NORMAN
7H-Benzo(de)anthracen-7-one (Benzanthrone)		82-05-3	NORMAN 2011	NORMAN
Benzenesulfonamide		98-10-2	NORMAN 2011	NORMAN
Benzo(a)anthracene		56-55-3	NORMAN 2011	Former NORMAN
Biphenyl		92-52-4	NORMAN 2011	NORMAN
Dicyclohexylamin	DCHA	101-83-7	NORMAN 2011	NORMAN
Diphenylamine		122-39-4	NORMAN 2011	NORMAN
Tris(2-butoxyethyl) phosphate	TBOEP	78-51-3	NORMAN 2011	NORMAN
Formaldehyde		50-00-0	NORMAN 2011	NORMAN
Hexa(methoxymethyl)melamine		68002-20-0	NORMAN 2011	NORMAN
Irganox 1076		2082-79-3	NORMAN 2011	NORMAN
N-methyl-Aniline		100-61-8	NORMAN 2011	NORMAN
N-phenyl-naphthylamine		90-30-2	NORMAN 2011	NORMAN
Polychlorinated biphenyls (PCBs) - Total		1336-36-3	NORMAN 2011	Former NORMAN
Styrene		100-42-5	NORMAN 2011	Former NORMAN
Tetrachloromethane		56-23-5	NORMAN 2011	Former NORMAN
Toluene		108-88-3	NORMAN 2011	Former NORMAN
Tris(1-chloro-2-propanyl) phosphate	TCIPP	13674-84-5	NORMAN 2011	NORMAN
Xylene (mixed isomers)		1330-20-7	NORMAN 2011	Former NORMAN
(1-Hydroxy-iso-propyl)acetophenone		1634-36-2	NORMAN 2011	NORMAN
1,1-Dichloro-2,2-diethoxyethane		619-33-0	NORMAN 2011	NORMAN
1,1-Dimethyl-2-phenethylacetate		151-05-3	NORMAN 2011	NORMAN
1,2,3-Trichloropropene	TRCP	96-19-5	NORMAN 2011	NORMAN
1,2,3-Trimethyl-1H-indene		4773-83-5	NORMAN 2011	NORMAN
1,3,3-Trimethyl-2-oxoindol		118-12-7	NORMAN 2011	NORMAN
1,3-Bis(1,1-dimethylethyl)-benzene		1014-60-4	NORMAN 2011	NORMAN
1,4-Bis(phenylmethyl) benzene		793-23-7	NORMAN 2011	NORMAN
1,4-Dichlorobenzene		106-46-7	NORMAN 2011	Former NORMAN
1-Decanol		112-30-1	NORMAN 2011	NORMAN
1H-Indole		8047-67-4	NORMAN 2011	NORMAN
1-Octanol		111-87-5	NORMAN 2011	NORMAN
1-Phenyl-1,3,3-trimethylindane		3910-35-8	NORMAN 2011	NORMAN
2-(Methylthio)benzothiazol		615-22-5	NORMAN 2011	NORMAN
2,3-Diethyl-2,3-dimethylsuccinonitrile		85688-81-9	NORMAN 2011	NORMAN
2,3-Dihydro-1-methyl-1H-indol		61-70-1	NORMAN 2011	NORMAN
2,4,6-Tribromoanisole		607-99-8	NORMAN 2011	NORMAN
2,4,6-Tribromophenol	TBP	118-79-6	NORMAN 2011	NORMAN
2,4-Dibromoanisole		21702-84-1	NORMAN 2011	NORMAN
2,4-Dibromophenol	DBP	615-58-7	NORMAN 2011	NORMAN
2,4-Dichlorophenol		120-83-2	NORMAN 2011	NORMAN
2,6-Diethoxytetrahydropyran		3149-12-0	NORMAN 2011	NORMAN

2,6-Di-tert-butyl-4-hydroxy-4-methyl-2,5-cyclohexadien-1-one		10396-80-2	NORMAN 2011	NORMAN
2,6-Di-tert-butylquinone		719-22-2	NORMAN 2011	NORMAN
2-[(2-Chlorophenyl)amino]benzaldehyde		71758-44-6	NORMAN 2011	NORMAN
2-Acetylacetophenone		704-00-7	NORMAN 2011	NORMAN
2-Bromophenol		95-56-7	NORMAN 2011	NORMAN
2-Methyl-1-phenylpropan-2-ol		100-86-7	NORMAN 2011	NORMAN
2-Methylthioacetic acid		2444-37-3	NORMAN 2011	NORMAN
2-Nitrophenol		88-75-5	NORMAN 2011	NORMAN
3-(Bromo-4-methoxyphenyl)propionic acid		1929-29-9	NORMAN 2011	NORMAN
3,5-Di-tert-butyl-4-hydroxyacetophenone		14035-33-7	NORMAN 2011	NORMAN
4-Bromo-2-chlorophenol		3964-56-5	NORMAN 2011	NORMAN
4-Bromoanisole		104-92-7	NORMAN 2011	NORMAN
4-Bromophenol		106-41-2	NORMAN 2011	NORMAN
4-Chloro-2-(trifluoromethyl)aniline		445-03-4	NORMAN 2011	NORMAN
4-iso-Propenylacetophenone		5359-04-6	NORMAN 2011	NORMAN
4-iso-Propylacetophenone		645-13-6	NORMAN 2011	NORMAN
4-Methyl-phenanthrene		832-64-4	NORMAN 2011	NORMAN
4-tert-Butylcyclohexanol (2 isomers)		98-52-2	NORMAN 2011	NORMAN
4-tert-Butylcyclohexanone (2 isomers)		98-53-3	NORMAN 2011	NORMAN
6-Phenyldodecane		2719-62-2	NORMAN 2011	NORMAN
7,9-Di-tert-butyl-1-oxaspiro(4,5)deca-6,9-diene-2,8-dione		82304-66-3	NORMAN 2011	NORMAN
Aminodiphenylsulfone		4273-98-7	NORMAN 2011	NORMAN
Androstenone		18339-16-7	NORMAN 2011	NORMAN
Anthraquinone		84-65-1	NORMAN 2011	NORMAN
Bis(chloropropyl)ethers		54460-96-7	NORMAN 2011	NORMAN
Cyanide-Free		57-12-5	NORMAN 2011	Former NORMAN
Cyanogen chloride		506-77-4	NORMAN 2011	Former NORMAN
Cyclohexylisocyanate		3173-53-3	NORMAN 2011	NORMAN
Decahydronaphthalene (Dekalin)		91-17-8	NORMAN 2011	NORMAN
Dichloroaniline-2,3		608-27-5	NORMAN 2011	NORMAN
Dichlorodimethylphenol (2,4-Dichloro-meta-xylenol)		133-53-9	NORMAN 2011	NORMAN
Di-iso-propyldisulfide		4253-89-8	NORMAN 2011	Former NORMAN
Di-iso-propylphenol		2078-54-8	NORMAN 2011	NORMAN
Formylpiperidine		2591-86-8	NORMAN 2011	NORMAN
Hydrogen cyanide		74-90-8	NORMAN 2011	Former NORMAN
Chinoline		91-22-5	NORMAN 2011	NORMAN

Chinoxaline		91-19-0	NORMAN 2011	NORMAN
Chlorate		14866-68-3	NORMAN 2011	NORMAN
Chlorodimethylphenol (Chloroxylenol)		88-04-0	NORMAN 2011	NORMAN
Chloromethylphenylsulfone		7205-98-3	NORMAN 2011	NORMAN
Chloronitrobenzene (2 isomers)		25167-93-5	NORMAN 2011	NORMAN
Ioxitalamic acid		28179-44-4	NORMAN 2011	NORMAN
Metaldehyde		108-62-3	NORMAN 2011	NORMAN
Methylbenzonitrile		529-19-1	NORMAN 2011	NORMAN
Methylphenylisocyanate		614-68-6	NORMAN 2011	NORMAN
Methylphenylsulfone		3112-85-4	NORMAN 2011	NORMAN
N,N-Dibutylformamide		761-65-9	NORMAN 2011	NORMAN
N,N-Diethyldithiocarbamic acid methyl ester		686-07-7	NORMAN 2011	NORMAN
N,N'-Diethyl-N,N'-diphenylurea		85-98-3	NORMAN 2011	NORMAN
N,N'-Di-iso-propylurea		4128-37-4	NORMAN 2011	NORMAN
N-Acetylmorpholine		1696-20-4	NORMAN 2011	NORMAN
N-Ethylaniline		103-69-5	NORMAN 2011	NORMAN
N-Ethylphthalimide		5022-29-7	NORMAN 2011	NORMAN
N-Ethyltoluenesulfonamide		26914-52-3	NORMAN 2011	NORMAN
N-Formylmorpholine		4394-85-8	NORMAN 2011	NORMAN
Nitrobenzene		98-95-3	NORMAN 2011	NORMAN
N-Phenylbenzenesulfonamide		1678-25-7	NORMAN 2011	NORMAN
p-Dicyclohexylbenzene		1087-02-1	NORMAN 2011	NORMAN
Phenanthrene		85-01-8	NORMAN 2011	Former NORMAN
Phenylisocyanate		103-71-9	NORMAN 2011	NORMAN
Tetralinone		529-34-0	NORMAN 2011	NORMAN
Tocopherolacetate		7695-91-2	NORMAN 2011	NORMAN
2,3,4-Trichloroaniline		634-67-3	NORMAN 2011	NORMAN
Zincpyrithione		13463-41-7	NORMAN 2011	NORMAN
Perfluorooctane sulfonate (anion)	PFOS	45298-90-6	NORMAN 2011	Former NORMAN
4-Oxoisophorone		1125-21-9	NORMAN 2011	NORMAN
Cineole		8024-53-1	NORMAN 2011	NORMAN
Damascone		23726-91-2	NORMAN 2011	NORMAN
Dihydromethyljasmonate		37172-53-5	NORMAN 2011	NORMAN
Drometrizole		2440-22-4	NORMAN 2011	NORMAN
Drometrizole trisiloxane (INCI)		155633-54-8	NORMAN 2011	NORMAN
Methyl-iso-propylcyclohexenone, Carvone		6485-40-1	NORMAN 2011	NORMAN
o-Terphenyl		84-15-1	NORMAN 2011	NORMAN
p-Terphenyl		92-94-4	NORMAN 2011	NORMAN
Viridine		101-48-4	NORMAN 2011	NORMAN
1,3-Dichloropropene		542-75-6	NORMAN 2011	Former NORMAN
2,3,4,6-Tetrachlorophenol		58-90-2	NORMAN 2011	NORMAN

2,4,5-Trichlorophenol		95-95-4	NORMAN 2011	Former NORMAN
2,4,6-Trichloroanisole		87-40-1	NORMAN 2011	NORMAN
2,4,6-Trichlorophenol		88-06-2	NORMAN 2011	Former NORMAN
2,4-Dichloroanisole		553-82-2	NORMAN 2011	NORMAN
2,6-Dichloroanisole		1984-65-2	NORMAN 2011	NORMAN
2-Aminobenzimidazole		934-32-7	NORMAN 2011	NORMAN
2-Bromoanisole		578-57-4	NORMAN 2011	NORMAN
2-Methylanthraquinone		84-54-8	NORMAN 2011	NORMAN
Bis(4-chlorophenyl)acetic acid	4,4'-DDA / p,p'-DDA	83-05-6	NORMAN 2011	NORMAN
1-Chloro-2,2-bis(p-chlorophenyl)ethane	4,4'-DDMS / p,p'-DDMS	2642-80-0	NORMAN 2011	NORMAN
1,1-Bis(p-chlorophenyl)ethylene	4,4'-DDNU	2642-81-1	NORMAN 2011	NORMAN
2,2-Bis(4-chlorophenyl)ethanol	4,4'-DDOH / p,p'-DDOH	2642-82-2	NORMAN 2011	NORMAN
Aclonifen		74070-46-5	NORMAN 2011	NORMAN
Aldicarb		116-06-3	NORMAN 2011	NORMAN
Aldicarb sulfone		1646-88-4	NORMAN 2011	NORMAN
Ametryn		834-12-8	NORMAN 2011	NORMAN
Amino methyl phosphoric acid	AMPA	1066-51-9	NORMAN 2011	NORMAN
Azinphos-ethyl		2642-71-9	NORMAN 2011	NORMAN
Bifenox		42576-02-3	NORMAN 2011	NORMAN
Bromacil		314-40-9	NORMAN 2011	NORMAN
Bromoxynil octanoate		1689-99-2	NORMAN 2011	NORMAN
Carbaryl		63-25-2	NORMAN 2011	NORMAN
Cyanazine		21725-46-2	NORMAN 2011	Former NORMAN
Cyanazine acid		36576-43-9	NORMAN 2011	NORMAN
4,4'-Dichlorobenzophenone	DBP	90-98-2	NORMAN 2011	NORMAN
Dicofol		115-32-2	NORMAN 2011	Former NORMAN (PS)
Diflufenican		83164-33-4	NORMAN 2011	NORMAN
Diisopropylamine		108-18-9	NORMAN 2011	NORMAN
Dimethenamid		87674-68-8	NORMAN 2011	NORMAN
Dimethoate		60-51-5	NORMAN 2011	NORMAN
Echio (Ethion)		563-12-2	NORMAN 2011	Former NORMAN
Fenarimol		60168-88-9	NORMAN 2011	NORMAN
Fenthion		55-38-9	NORMAN 2011	NORMAN
Flufenacet		142459-58-3	NORMAN 2011	NORMAN
Flusilazole		85509-19-9	NORMAN 2011	NORMAN
Flutriafol		76674-21-0	NORMAN 2011	NORMAN
Furathiocarb		65907-30-4	NORMAN 2011	NORMAN
Heptachlor		76-44-8	NORMAN 2011	Former NORMAN
Heptachlor epoxide		1024-57-3	NORMAN 2011	Former NORMAN (PS)
Hexazinone		51235-04-2	NORMAN 2011	NORMAN
Chlorothalonil		1897-45-6	NORMAN 2011	NORMAN

Chloroxuron		1982-47-4	NORMAN 2011	NORMAN
Chlorpyrifos methyl		5598-13-0	NORMAN 2011	NORMAN
Chlorthal-dimethyl		1861-32-1	NORMAN 2011	NORMAN
Linuron		330-55-2	NORMAN 2011	NORMAN
Malathion		121-75-5	NORMAN 2011	NORMAN
Mecoprop-p	MCPP-P	16484-77-8	NORMAN 2011	NORMAN
Metazachlor		67129-08-2	NORMAN 2011	NORMAN
Methiocarb		2032-65-7	NORMAN 2011	NORMAN
Methiocarb sulfoxide		2635-10-1	NORMAN 2011	NORMAN
Methoxychlor		72-43-5	NORMAN 2011	Former NORMAN
Metolachlor		51218-45-2	NORMAN 2011	NORMAN
Metoxuron		19937-59-8	NORMAN 2011	Former NORMAN
Microcystin-LA / Cyanoginosin-LA		96180-79-9	NORMAN 2011	Former NORMAN
Molinate		2212-67-1	NORMAN 2011	NORMAN
N-Ethyl-2-tolylsulfonamide		825629-31-0	NORMAN 2011	NORMAN
Dichlorodiphenyldichloroethane (Mitolane)	o,p'-DDD	53-19-0	NORMAN 2011	NORMAN
Omethoate		1113-02-6	NORMAN 2011	Former NORMAN
Orbencarb		34622-58-7	NORMAN 2011	NORMAN
Oxadiazon		19666-30-9	NORMAN 2011	NORMAN
Paclobutrazol		76738-62-0	NORMAN 2011	NORMAN
Parathion		56-38-2	NORMAN 2011	NORMAN
Parathion methyl		298-00-0	NORMAN 2011	Former NORMAN
Pendimethalin		40487-42-1	NORMAN 2011	Former NORMAN
Phoxime		14816-18-3	NORMAN 2011	Former NORMAN
Pirimiphos-methyl		29232-93-7	NORMAN 2011	NORMAN
Prochloraz		67747-09-5	NORMAN 2011	NORMAN
Propachlor		1918-16-7	NORMAN 2011	Former NORMAN
Propanil		709-98-8	NORMAN 2011	NORMAN
Propazine		139-40-2	NORMAN 2011	Former NORMAN
Propiconazole		60207-90-1	NORMAN 2011	NORMAN
Propyzamide		23950-58-5	NORMAN 2011	NORMAN
Quinmerac		90717-03-6	NORMAN 2011	NORMAN
Quinoxifen		124495-18-7	NORMAN 2011	Former NORMAN (PS)
Thiodicarb		59669-26-0	NORMAN 2011	NORMAN
Tolclofos methyl		57018-04-9	NORMAN 2011	NORMAN
Tolyfluanid		731-27-1	NORMAN 2011	NORMAN
Triallate		2303-17-5	NORMAN 2011	NORMAN
Triclocarban		101-20-2	NORMAN 2011	NORMAN
Metrifonate (Trichlorfon)		52-68-6	NORMAN 2011	NORMAN
Desmethylnaproxen (metabolite of NAPROXENE)		60756-73-2	NORMAN 2011	NORMAN
Acetazolamide		59-66-5	NORMAN 2011	NORMAN

Anthracen-1,4-dione		635-12-1	NORMAN 2011	NORMAN
Apramycin		37321-09-8	NORMAN 2011	NORMAN
Baclofen		1134-47-0	NORMAN 2011	NORMAN
Baquiloprim		102280-35-3	NORMAN 2011	NORMAN
Cefacetile		10206-21-0	NORMAN 2011	NORMAN
Cefalexin		15686-71-2	NORMAN 2011	NORMAN
Cefalonium		5575-21-3	NORMAN 2011	NORMAN
Cefapirin		21593-23-7	NORMAN 2011	NORMAN
Cefazoline		25953-19-9	NORMAN 2011	NORMAN
Cefoperazone		62893-19-0	NORMAN 2011	NORMAN
Crotamiton		483-63-6	NORMAN 2011	NORMAN
Dantrolene		7261-97-4	NORMAN 2011	NORMAN
Dapsone		80-08-0	NORMAN 2011	NORMAN
Difloxacin		98106-17-3	NORMAN 2011	NORMAN
Domperidone		57808-66-9	NORMAN 2011	NORMAN
Esomeprazole		119141-88-7	NORMAN 2011	NORMAN
Ethosuximide		77-67-8	NORMAN 2011	NORMAN
Flucloxacillin		5250-39-5	NORMAN 2011	NORMAN
Gentamicin		1403-66-3	NORMAN 2011	NORMAN
1,1,1-Trichloro-2,2-dihydroxyethane (Chloral hydrate)		302-17-0	NORMAN 2011	NORMAN
Chlorobutanol		57-15-8	NORMAN 2011	NORMAN
1-Hydroxy Ibuprofen		53949-53-4	NORMAN 2011	NORMAN
2-Hydroxy Ibuprofen		51146-55-5	NORMAN 2011	NORMAN
Iminostilbene		256-96-2	NORMAN 2011	NORMAN
Kanamycin sulfate		8063-07-8	NORMAN 2011	NORMAN
Lamotrigine		84057-84-1	NORMAN 2011	NORMAN
Levetiracetam		102767-28-2	NORMAN 2011	NORMAN
Lidocaine		137-58-6	NORMAN 2011	NORMAN
Lithium carbonate		554-13-2	NORMAN 2011	Former NORMAN
Marbofloxacin		115550-35-1	NORMAN 2011	NORMAN
Mebeverine		3625-06-7	NORMAN 2011	NORMAN
Methylphenobarbital		115-38-8	NORMAN 2011	NORMAN
Nafcillin		985-16-0	NORMAN 2011	NORMAN
Nandrolone		434-22-0	NORMAN 2011	NORMAN
Neomycin B		1404-04-2	NORMAN 2011	NORMAN
N-Methylphenacetine		7298-73-9	NORMAN 2011	NORMAN
Oxolinic acid		14698-29-4	NORMAN 2011	NORMAN
Phenobarbital		50-06-6	NORMAN 2011	NORMAN
Phenytoine		57-41-0	NORMAN 2011	NORMAN
Pipamperon		1893-33-0	NORMAN 2011	NORMAN
Sarafloxacin		98105-99-8	NORMAN 2011	NORMAN
Secobarbital		76-73-3	NORMAN 2011	NORMAN

Spectinomycin		1695-77-8	NORMAN 2011	NORMAN
Streptomycin		57-92-1	NORMAN 2011	NORMAN
Sulfadimethoxine		122-11-2	NORMAN 2011	NORMAN
Sulfadoxine		2447-57-6	NORMAN 2011	NORMAN
Taloxane		25451-15-4	NORMAN 2011	NORMAN
Tilmicosin		108050-54-0	NORMAN 2011	NORMAN
Tramadol		27203-92-5	NORMAN 2011	NORMAN
Trimethoprim		738-70-5	NORMAN 2011	NORMAN
Tylosin		1401-69-0	NORMAN 2011	NORMAN
Valnemulin		101312-92-9	NORMAN 2011	NORMAN
Valproic acid		99-66-1	NORMAN 2011	NORMAN
2-Ethylhexanoic acid 2-ethylhexyl ester		7425-14-1	NORMAN 2011	NORMAN
Diisodecyl phthalate	DIDP	26761-40-0	NORMAN 2011	Former NORMAN
Diisononyl phthalate	DINP	28553-12-0	NORMAN 2011	Former NORMAN
Diisopropylnaphthalene	DIPN	38640-62-9	NORMAN 2011	NORMAN
Methanone, Irgacure 184		947-19-3	NORMAN 2011	NORMAN
N-butyl-benzenesulfonamide	NBBS	3622-84-2	NORMAN 2011	NORMAN
N-Methyl-2-pyrrolidone	NMP	872-50-4	NORMAN 2011	NORMAN
Tributylacetylacetate		77-90-7	NORMAN 2011	NORMAN
Tris(2-methylpropyl) phosphate	TIBP	126-71-6	NORMAN 2011	NORMAN
2,2,4-trimethylpentane-1,3-diol diisobutyrate	TXIB	6846-50-0	NORMAN 2011	NORMAN
2,4-Dinitrophenol	DNP	51-28-5	NORMAN 2011	NORMAN
2,4,4'-tribromodiphenylether	BDE-28	41318-75-6	NORMAN 2011	NORMAN
2,2',4,5'-Tetrabromodiphenylether	BDE-49	60044-24-8	NORMAN 2011	NORMAN
2,2',3,3',4,4',5,5'-Nonabromodiphenylether	BDE-206	63387-28-0	NORMAN 2011	NORMAN
Difenacoum		56073-07-5	NORMAN 2015	NORMAN
Difethialone		104653-34-1	NORMAN 2015	NORMAN
bromadiolone		28772-56-7	NORMAN 2015	NORMAN
Brodifacoum		56073-10-0	NORMAN 2015	NORMAN
d-Phenoxyfen		188023-86-1	NORMAN 2015	NORMAN
Flufenoxuron		101463-69-8	NORMAN 2015	NORMAN
Flocoumafen		90035-08-8	NORMAN 2015	NORMAN
Creosote		8001-58-9	NORMAN 2015	NORMAN
Abamectin		71751-41-2	NORMAN 2015	NORMAN
Alphachloralose (α -Chloralose)		15879-93-3	NORMAN 2015	NORMAN
Bifenthrin		82657-04-3	NORMAN 2015	NORMAN
Chlorfenapyr		122453-73-0	NORMAN 2015	NORMAN
Chlorophacinone		3691-35-8	NORMAN 2015	NORMAN
Clothianidin		210880-92-5	NORMAN 2015	NORMAN
K-HDO		66603-10-9	NORMAN 2015	NORMAN

Cyfluthrin		68359-37-5	NORMAN 2015	NORMAN
DDACarbonate		894406-76-9	NORMAN 2015	NORMAN
Didecylmethylpoly (oxyethyl) ammonium Propionate (Bardap 26)		94667-33-1	NORMAN 2015	NORMAN
Fenpropimorph		67564-91-4	NORMAN 2015	NORMAN
Fipronil		120068-37-3	NORMAN 2015	NORMAN
Icaridin		119515-38-7	NORMAN 2015	NORMAN
Imiprothrin		72963-72-5	NORMAN 2015	NORMAN
Methyl neodecanamide	MNDA	105726-67-8	NORMAN 2015	NORMAN
Spinosad		168316-95-8	NORMAN 2015	NORMAN
Thiamethoxam		153719-23-4	NORMAN 2015	NORMAN
(Z,E)-Tetradeca-9,12-dienyl acetate	ZE-TDA	30507-70-1	NORMAN 2015	NORMAN
Muscalure (cis-Tricos-9-ene)		27519-02-4	NORMAN 2015	NORMAN
lambda-Cyhalothrin		91465-08-6	NORMAN 2015	NORMAN
Acrolein / Acrylaldehyde		107-02-8	NORMAN 2015	NORMAN
Tebuconazole		107534-96-3	NORMAN 2015	NORMAN
Thiaclorpid		111988-49-9	NORMAN 2015	NORMAN
Methyl nonyl ketone		112-12-9	NORMAN 2015	NORMAN
Warfarin sodium		129-06-6	NORMAN 2015	NORMAN
Indoxacarb		173584-44-6	NORMAN 2015	NORMAN
Bendiocarb		22781-23-3	NORMAN 2015	NORMAN
N-(3-aminopropyl)-N-dodecylpropane-1,3-diamine		2372-82-9	NORMAN 2015	NORMAN
Metofluthrin		240494-70-6	NORMAN 2015	NORMAN
Potassium sorbate / Sorbistat-K		24634-61-5	NORMAN 2015	NORMAN
Sulphuryl difluoride		2699-79-8	NORMAN 2015	NORMAN
Bis-(N-cyclohexyldiazeniumdioxy)-copper	Cu-HD0	312600-89-8	NORMAN 2015	NORMAN
Dazomet		533-74-4	NORMAN 2015	NORMAN
3-iodo-2-propynyl butylcarbamate		55406-53-6	NORMAN 2015	NORMAN
Coumatetralyl		5836-29-3	NORMAN 2015	NORMAN
Quaternary ammonium compounds (alkyltrimethyl (alkyl from C8-C18, saturated and unsaturated, and tallow alkyl, coco alkyl, and soya alkyl) chlorides, bromides, or methylsulphates)	TMAC	61789-18-2	NORMAN 2015	NORMAN
4,5-Dichloro-2-n-octyl-4-isothiazolin-3-one	DCOIT	64359-81-5	NORMAN 2015	NORMAN
Quaternary ammonium compounds, benzyl-C12-16-alkyldimethyl, chlorides		68424-85-1	NORMAN 2015	NORMAN

Didecyldimethylammonium chloride		7173-51-5	NORMAN 2015	NORMAN
Fenoxy carb / Ethyl N-[2-(4-phenoxyphenoxy)ethyl]carbamate		72490-01-8	NORMAN 2015	NORMAN
Quaternary ammonium compounds (dialkyldimethyl (alkyl from C6-C18, saturated and unsaturated, and tallow alkyl, coco alkyl, and soya alkyl) chlorides, bromides, or methylsulphates)	DDAC	73398-64-8	NORMAN 2015	NORMAN
Quaternary ammonium compounds (benzylalkyldimethyl (alkyl from C8-C22, saturated and unsaturated, tallow alkyl, coco alkyl, and soya alkyl) chlorides, bromides, or hydroxides)	BKC	8001-54-5	NORMAN 2015	NORMAN
Etofenprox / 3-phenoxybenzyl-2-(4-ethoxyphenyl)-2-methylpropylether		80844-07-1	NORMAN 2015	NORMAN
Warfarin / Coumadin		81-81-2	NORMAN 2015	NORMAN
Cyproconazole		94361-06-5	NORMAN 2015	NORMAN
2,2-dibromo-2-cyanoacetamide		10222-01-2	NORMAN 2015	NORMAN
1,3-dichloro-5,5-dimethylhydantoin		118-52-5	NORMAN 2015	NORMAN
2-Phenoxyethanol		122-99-6	NORMAN 2015	NORMAN
Cetylpyridinium chloride		123-03-5	NORMAN 2015	NORMAN
Chloramine-T / Tosylchloramide sodium		127-65-1	NORMAN 2015	NORMAN
Potassium dimethyldithiocarbamate		128-03-0	NORMAN 2015	NORMAN
Sodium dimethyldithiocarbamate		128-04-1	NORMAN 2015	NORMAN
6-(phthalimido)peroxyhexanoic acid		128275-31-0	NORMAN 2015	NORMAN
Folpet / N-(trichloromethylthio) phthalimide		133-07-3	NORMAN 2015	NORMAN
2-Butanone, peroxide		1338-23-4	NORMAN 2015	NORMAN
Dodecylguanidine monohydrochloride		13590-97-1	NORMAN 2015	NORMAN
Thiram / Tetramethylthiuram disulfide		137-26-8	NORMAN 2015	NORMAN
Metam-sodium / Carbathion		137-42-8	NORMAN 2015	NORMAN
Amines, n-C10-16-alkyltrimethylenedi-, reaction products with chloroacetic acid		139734-65-9	NORMAN 2015	NORMAN
(Benzyl oxy)methanol		14548-60-8	NORMAN 2015	NORMAN
Bis(1-hydroxy-1H-pyridine-2-thionato-O,S)copper		14915-37-8	NORMAN 2015	NORMAN
Sodium p-chloro-m-cresolate		15733-22-9	NORMAN 2015	NORMAN

Chlorhexidine digluconate / D-gluconic acid, compound with N,N"-bis(4-chlorophenyl)-3,12-diimino-2,4,11,13-tetraazatetradecanediamidine (2:1)		18472-51-0	NORMAN 2015	NORMAN
p-[(diiodomethyl)sulphonyl]toluene		20018-09-1	NORMAN 2015	NORMAN
(benzothiazol-2-ylthio)methyl thiocyanate	TCMTB	21564-17-0	NORMAN 2015	NORMAN
alpha,alpha',alpha"-Trimethyl-1,3,5-triazine-1,3,5(2H,4H,6H)-triethanol		25254-50-6	NORMAN 2015	NORMAN
2,2'-dithiobis[N-methylbenzamide]		2527-58-4	NORMAN 2015	NORMAN
Betadine / Polyvinylpyrrolidone iodine		25655-41-8	NORMAN 2015	NORMAN
1,2-benzisothiazol-3(2H)-one		2634-33-5	NORMAN 2015	NORMAN
Octhilinone / 2-octyl-2H-isothiazol-3-one		26530-20-1	NORMAN 2015	NORMAN
2-methyl-2H-isothiazol-3-one		2682-20-4	NORMAN 2015	NORMAN
5-chloro-2-methyl-3(2H)-isothiazolone	CMI	26172-55-4	NORMAN 2015	NORMAN
Dimethyloctadecyl[3-(trimethoxysilyl)propyl]ammonium chloride		27668-52-6	NORMAN 2015	NORMAN
Troclosene sodium		2893-78-9	NORMAN 2015	NORMAN
Bromochloro-5,5-dimethylimidazolidine-2,4-dione		32718-18-6	NORMAN 2015	NORMAN
Diuron		330-54-1	NORMAN 2011	Former NORMAN (PS)
Peroxyoctanoic acid		33734-57-5	NORMAN 2015	NORMAN
Diclosan / 5-chloro-2-(4-chlorphenoxy)phenol		3380-30-1	NORMAN 2015	NORMAN
Isoproturon / 3-(4-isopropylphenyl)-1,1-dimethylurea		34123-59-6	NORMAN 2011	Former NORMAN (PS)
Imazalil / 1-[2-(allyloxy)-2-(2,4-dichlorophenyl)ethyl]-1H-imidazole		35554-44-0	NORMAN 2015	NORMAN
Azamethiphos / S-[(6-chloro-2-oxooxazolo[4,5-b]pyridin-3(2H)-yl)methyl] 0,0-dimethyl thiophosphate		35575-96-3	NORMAN 2015	NORMAN
2-bromo-2-(bromomethyl)pentanedinitrile / 1,2-Dibromo-2,4-dicyanobutane		35691-65-7	NORMAN 2015	NORMAN
(Ethylenedioxy)dimethanol		3586-55-8	NORMAN 2015	NORMAN
Pyridine-2-thiol 1-oxide, sodium salt		3811-73-2	NORMAN 2015	NORMAN
Quaternium-15 / Methenamine 3-chloroallylochloride		4080-31-3	NORMAN 2015	NORMAN
Citriodiol / Mixture of cis- and trans-p-menthane-3,8 diol		42822-86-6	NORMAN 2015	NORMAN

Piperonyl butoxide / 2-(2-butoxyethoxy)ethyl 6-propylpiperonyl ether		51-03-6	NORMAN 2015	NORMAN
Oxadine A / 4,4-dimethyloxazolidine		51200-87-4	NORMAN 2015	NORMAN
Dowicil 200 / Cis-1-(3-chloroallyl)- 3,5,7-triaza-1-azoniaadamantane chloride		51229-78-8	NORMAN 2015	NORMAN
Sodium dichloroisocyanurate dihydrate		51580-86-0	NORMAN 2015	NORMAN
Bronopol / Bronosol		52-51-7	NORMAN 2015	NORMAN
Fixapret 140 / Tetrahydro- 1,3,4,6-tetrakis(hydroxymethyl) imidazo[4,5-d]imidazole-2,5(1H,3H)- dione		5395-50-6	NORMAN 2015	NORMAN
Tetrakis(hydroxymethyl)phosphonium sulphate(2:1)		55566-30-8	NORMAN 2015	NORMAN
Kathon 886 / Mixture of 5-chloro-2- methyl-2H-isothiazol-3-one (EINECS 247-500-7) and 2-methyl-2H- isothiazol-3-one (EINECS 220-239-6)		55965-84-9	NORMAN 2015	NORMAN
N,N'-methylenebismorpholine / 4,4-methylenedimorpholine		5625-90-1	NORMAN 2015	NORMAN
Chlorocresol		59-50-7	NORMAN 2015	NORMAN
Methylene dithiocyanate		6317-18-6	NORMAN 2015	NORMAN
DMMD Hydantoin / 1,3-bis(hydroxymethyl)-5,5- dimethylimidazolidine-2,4-dione		6440-58-0	NORMAN 2015	NORMAN
Abamectin / Avermectin B1A		65195-55-3	NORMAN 2015	NORMAN
Benzoic acid		65-85-0	NORMAN 2015	NORMAN
Oxazolidin / 3,3'-methylenebis[5- methylloxazolidine]		66204-44-2	NORMAN 2015	NORMAN
Cyromazine / N-cyclopropyl-1,3,5- triazine-2,4,6-triamine		66215-27-8	NORMAN 2015	NORMAN
Esfenvalerate / (S)-.alpha.-Cyano- 3-phenoxybenzyl (S)-2-(4- chlorophenyl)-3-methylbutyrate		66230-04-4	NORMAN 2015	NORMAN
alpha-Cypermethrin / [1.alpha. (S*),3.alpha.]-.alpha.-cyano- (3-phenoxyphenyl)methyl 3-(2,2-dichloroethenyl)- 2,2-dichlorovinyl]-2,2- dimethylcyclopropanecarboxylate		67375-30-8	NORMAN 2015	NORMAN
Propan-2-ol		67-63-0	NORMAN 2015	NORMAN

Quaternary ammonium compounds, benzyl-C12-18-alkyldimethyl, chlorides		68391-01-5	NORMAN 2015	NORMAN
Quaternary ammonium compounds, di-C8-10-alkyldimethyl, chlorides		68424-95-3	NORMAN 2015	NORMAN
Quaternary ammonium compounds, benzyl-C12-18-alkyldimethyl salts, with 1,2-benzisothiazol-3(2H)-one 1,1-dioxide (1:1)		68989-01-5	NORMAN 2015	NORMAN
Amines, C10-16-alkyldimethyl, N-oxides	ADAO	70592-80-2	NORMAN 2015	NORMAN
Propan-1-ol		71-23-8	NORMAN 2015	NORMAN
($\Delta\pm$)-1-(.beta.-allyloxy-2,4-dichlorophenylethyl)imidazole / Technical grade Imazalil / Enilconazole		73790-28-0	NORMAN 2015	NORMAN
7a-ethyldihydro-1H,3H,5H-oxazolo[3,4-c]oxazole		7747-35-5	NORMAN 2015	NORMAN
Quaternary ammonium compounds, benzyl-C12-14-alkyldimethyl, chlorides		85409-22-9	NORMAN 2015	NORMAN
Quaternary ammonium compounds, C12-14-alkyl[(ethylphenyl)methyl] dimethyl, chlorides		85409-23-0	NORMAN 2015	NORMAN
Symclosene / Trichlorocyanuric acid		87-90-1	NORMAN 2015	NORMAN
1,3-dichloro-5-ethyl-5-methylimidazolidine-2,4-dione		89415-87-2	NORMAN 2015	NORMAN
Poly(hexamethylenebiguanide)		91403-50-8	NORMAN 2015	NORMAN
Pyriproxyfen / 2-(1-methyl-2-(4-phenoxy-phenoxy)-ethoxy)-pyridine		95737-68-1	NORMAN 2015	NORMAN
Dibromostyrene	DBS	31780-26-4	NORMAN 2015	NORMAN
2,4,6-Tribromophenyl allyl ether	TBP-AE	3278-89-5	NORMAN 2015	NORMAN
1,2,4,5-Tetrabromo-3,6-dimethylbenzene	TBX	23488-38-2	NORMAN 2015	NORMAN
2,3,4,5-Tetrabromo-6-chlorotoluene	TBCT	39569-21-6	NORMAN 2015	NORMAN
3,4,5,6-Tetrabromophthalic anhydride	TEBP-Anh	632-79-1	NORMAN 2015	NORMAN
Pentabromotoluene	PBT	87-83-2	NORMAN 2015	NORMAN
Pentabromophenol	PBP	608-71-9	NORMAN 2015	NORMAN
Pentabromoethylbenzene	PBEB	85-22-3	NORMAN 2015	NORMAN
Pentabromobenzyl chloride	PBBC	58495-09-3	NORMAN 2015	NORMAN
Pentabromophenol allyl ether	PBP-AE	3555-11-1	NORMAN 2015	NORMAN
1,3,5-Tribromo-2-(2,3-dibromopropoxy)benzene	TBP-DBPE	35109-60-5	NORMAN 2015	NORMAN

2-Ethylhexyl 2,3,4,5-tetrabromobenzoate	EH-TBB	183658-27-7	NORMAN 2015	NORMAN
Hexabromobenzene	HBB	87-82-1	NORMAN 2015	NORMAN
2,3,4,5,6-Pentabromobenzyl acrylate	PBB-Acr	59447-55-1	NORMAN 2015	NORMAN
2,3,4,5,6-Pentabromobenzyl bromide	PBBB	38521-51-6	NORMAN 2015	NORMAN
2-(2-Hydroxyethoxy) ethyl 2-hydroxypropyl 3,4,5,6-tetrabromophthalate	HEEHP-TEBP	20566-35-2	NORMAN 2015	NORMAN
Bis(2-ethylhexyl) tetrabromophthalate	BEH-TEBP	26040-51-7	NORMAN 2015	NORMAN
3-(Tetrabromopentadecyl)-2,4,6- tribromophenol	TBDP-TBP	168434-45-5	NORMAN 2015	NORMAN
Tetrabromobisphenol S	TBBPS	39635-79-5	NORMAN 2015	NORMAN
Tetrabromobisphenol B	TBBPA-BME	37853-61-5	NORMAN 2015	NORMAN
Tetrabromobisphenol S bismethyl ether	TBBPS-BME	70156-79-5	NORMAN 2015	NORMAN
3,3',5,5'-Tetrabromobisphenol A bisacetate	TBBPA-BOAc	33798-02-6	NORMAN 2015	NORMAN
Tetrabromobisphenol A bis(2- hydroxyethyl) ether	TBBPA-BHEE	4162-45-2	NORMAN 2015	NORMAN
Tetrabromobisphenol A bis(allyl) ether	TBBPA-BAE	25327-89-3	NORMAN 2015	NORMAN
Tetrabromobisphenol A bisacrylate	TBBPA-BA	55205-38-4	NORMAN 2015	NORMAN
Tetrabromobisphenol A bis(glycidyl) ether	TBBPA-BGE	3072-84-2	NORMAN 2015	NORMAN
Tebrabromobisphenol A bispropanoate	TBBPA-BP	37419-42-4	NORMAN 2015	NORMAN
1,2-Bis(2,4,6-tribromophenoxy) ethane	BTBPE	37853-59-1	NORMAN 2015	NORMAN
Tetrabromobisphenol A bis(2- hydroxyethyl)ether	TBBPA-BHEBA	66710-97-2	NORMAN 2015	NORMAN
Octabromotrimethylphenyl indane	OBTMPI	1084889-51-9; 1025956-65-3; 893843-07-7	NORMAN 2015	NORMAN
N,N'-Ethylenebis(tetrabromophtha limide)	EBTEBPI	32588-76-4	NORMAN 2015	NORMAN
Tetrabromobisphenol S bis(2,3- dibromopropyl ether)	TBBPS-BDBPE	42757-55-1	NORMAN 2015	NORMAN
Decabromodibenzyl ether	DBDBE / BDBE-209	497107-13-8	NORMAN 2015	NORMAN
Tetradecabromo-1,4- diphenoxylbenzene	(4'-PeBPO / BDE208)	58965-66-5	NORMAN 2015	NORMAN
1,2,3,4,7,7-hexachloro-5-(2,3,4,5- tetrabromophenyl)-Bicyclo[2.2.1] hept-2-ene	HCTBPH	34571-16-9	NORMAN 2015	NORMAN

4-(1,2-Dibromoethyl)-1,2-dibromocyclohexane	DBE-DBCH	3322-93-8	NORMAN 2015	NORMAN
1,2,5,6-Tetrabromocyclooctane	TBCO	3194-57-8	NORMAN 2015	NORMAN
5,6-Dibromo-1,10,11,12,13,13-hexachloro-11-tricyclo[8.2.1.0]tridecene	DBHCTD	51936-55-1	NORMAN 2015	NORMAN
Hexabromocyclodecane	HBCYD	25495-98-1	NORMAN 2015	NORMAN
1-(2,3-Dibromopropyl)-3,5-diallyl-1,3,5-Triazine-2,4,6(1H,3H,5H)-trione	DBP-TAZTO	57829-89-7	NORMAN 2015	NORMAN
1,3-Bis(2,3-dibromopropyl)-5-allyl-1,3,5-Triazine-2,4,6(1H,3H,5H)-trione	BDBP-TAZTO	75795-16-3	NORMAN 2015	NORMAN
1,3,5-tris(2,3-dibromopropyl)-1,3,5-triazinane-2,4,6-trione	TDBP-TAZTO	52434-90-9	NORMAN 2015	NORMAN
2,4,6-Tris(2,4,6-tribromophenoxy)-1,3,5-triazine	TTBP-TAZ	25713-60-4	NORMAN 2015	NORMAN
Tris(tribromoneopentyl) phosphate	TTBNPP	19186-97-1	NORMAN 2015	NORMAN
Tris(2,3-dibromopropyl) phosphate	TDBPP	126-72-7	NORMAN 2015	NORMAN
Dibromoneopentyl glycol	DBNPG	3296-90-0	NORMAN 2015	NORMAN
2,2,2-Tris(bromomethyl)ethanol	TBNPA	1522-92-5	NORMAN 2015	NORMAN
Tetrachlorophthalic anhydride	TECP-Anh	117-08-8	NORMAN 2015	NORMAN
Hexachlorocyclopentadiene	HCCPD	77-47-4	NORMAN 2015	NORMAN
1,4,5,6,7,7-Hexachlorobicyclo[2.2.1]hept-5-ene-2,3-dicarboxylic anhydride	HCBCH-DCAnh	115-27-5	NORMAN 2015	NORMAN
1,4,5,6,7,7-Hexachlorobicyclo-(2,2,1)hept-5-en-2,3-dicarboxylic acid	HCBCH-DCA	115-28-6	NORMAN 2015	NORMAN
Perchloropentacyclodecane	MIREX	2385-85-5	NORMAN 2015	NORMAN
1,2,3,4,6,7,8,9,10,10,11,11-Dodecachloro-1,4,4a,5a,6,9,9a,9b-octahydro-1,4;6,9-dimethanodibenzofuran	DDC-DBF	31107-44-5	NORMAN 2015	NORMAN
Dodecachlorodimethanodibenzocyclooctane	DDC-CO	13560-89-9	NORMAN 2015	NORMAN
1,2,3,4,5,6,7,8,12,12,13,13-Dodecachloro-1,4,4a,5,8,8a,9,9a,10,10a-decahydro-1,4:5,8:9,10-Trimethanoanthracene	DDC-Ant	13560-92-4	NORMAN 2015	NORMAN
2,2-Bis(chloromethyl)-1,3-propanediol bis[bis(2-chloroethyl)phosphate]	BCMP-BCEP	38051-10-4	NORMAN 2015	NORMAN
Trimethyl phosphate	TMP	512-56-1	NORMAN 2015	NORMAN
Tripropyl phosphate	TPP	513-08-6	NORMAN 2015	NORMAN

2,2-Bis(chloromethyl)-1,3-propanediol bis[bis(2-chloro1-methylethyl) phosphate]	BCMP-BCMEP	1047637-37-5	NORMAN 2015	NORMAN
Isopropyl phenyl phosphate	IPPP	46355-07-1	NORMAN 2015	NORMAN
3,4:5,6-Dibenzo-2H-1,2-oxaphosphorin-2-oxide	DOPO	35948-25-5	NORMAN 2015	NORMAN
Tris(methylphenyl) phosphate	TMPP	1330-78-5	NORMAN 2015	NORMAN
Tris(4-isopropylphenyl) phosphate	TIPPP	2502-15-0	NORMAN 2015	NORMAN
Resorcinol bis(diphenyl phosphate)	PBDPP	57583-54-7	NORMAN 2015	NORMAN
Resorcinol bis[di(2,6-dimethylphenyl) phosphate]	PBDMPP	139189-30-3	NORMAN 2015	NORMAN
Bisphenol A bis(diphenyl phosphate)	BPA-BDPP	5945-33-5	NORMAN 2015	NORMAN
Azoxystrobin		131860-33-8	NORMAN 2015	NORMAN
Foramsulfuron		173159-57-4	NORMAN 2015	NORMAN
Cycloxydim		101205-02-1	NORMAN 2015	NORMAN
Cyprodinil		121552-61-2	NORMAN 2015	NORMAN
Dimethomorph		110488-70-5	NORMAN 2015	NORMAN
Metosulam		139528-85-1	NORMAN 2015	NORMAN
Nicosulfuron		111991-09-4	NORMAN 2015	NORMAN
Pethoxamid		106700-29-2	NORMAN 2015	NORMAN
Propamocarb		24579-73-5	NORMAN 2015	NORMAN
Prosulfocarb		52888-80-9	NORMAN 2015	NORMAN
Climbazol		38083-17-9	NORMAN 2015	NORMAN
Gabapentin		60142-96-3	NORMAN 2015	NORMAN
Irbesartan		138402-11-6	NORMAN 2015	NORMAN
Valsartan		137862-53-4	NORMAN 2015	NORMAN
Eprosartan		133040-01-4	NORMAN 2015	NORMAN
Losartan		114798-26-4	NORMAN 2015	NORMAN
Moclobemide		71320-77-9	NORMAN 2015	NORMAN
Venlafaxine		93413-69-5	NORMAN 2015	NORMAN
Perfluoro-1-butane-sulfonamide	FBSA	30334-69-1	NORMAN 2015	NORMAN
Perfluohexane sulfonamide	FHxSA	41997-13-1	NORMAN 2015	NORMAN
N,N-Dimethylperfluorooctane sulfonamide	N,N-Me ₂ FOSA-M	87988-61-2	NORMAN 2015	NORMAN
Perfluorooctane sulfonamido acetic acid	FOSAA	2806-24-8	NORMAN 2015	NORMAN
N-methylperfluorooctane sulfonamido acetic acid	N-MeFOSAA	2355-31-9	NORMAN 2015	NORMAN
N-ethylperfluorooctane sulfonamido acetic acid	N-EtFOSAA	2991-50-6	NORMAN 2015	NORMAN
6:2 perfluorohexyl ethanoic acid	FHEA (6:2 FTCA)	53826-12-3	NORMAN 2015	NORMAN
8:2 perfluorooctyl ethanoic acid	FOEA (8:2 FTCA)	27854-31-5	NORMAN 2015	NORMAN

10:2 perfluorodecyl ethanoic acid	FDEA (10:2 FTCA)	53826-13-4	NORMAN 2015	NORMAN
3:3 perfluoropropyl propanoic acid	FPrPA (3:3 Acid)	356-02-5	NORMAN 2015	NORMAN
5:3 perfluoropentyl propanoic acid	FPePA (5:3 Acid)	914637-49-3	NORMAN 2015	NORMAN
7:3 perfluoroheptyl propanoic acid	FHpPA (7:3 Acid)	812-70-4	NORMAN 2015	NORMAN
6:2 2H-perfluoro-2-octenoic acid	FHUEA (6:2 FTUCA)	70887-88-6	NORMAN 2015	NORMAN
8:2 2H-perfluoro-2-decanoic acid	FOUEA (8:2 FTUCA)	70887-84-2	NORMAN 2015	NORMAN
10:2 2H-perfluoro-2-dodecanoic acid	FDUEA (10:2 FTUCA)	70887-94-4	NORMAN 2015	NORMAN
4:2 Fluorotelomer sulfonic acid	4:2FTS	757124-72-4	NORMAN 2015	NORMAN
8:2 Fluorotelomer sulfonic acid	8:2FTS	39108-34-4	NORMAN 2015	NORMAN
Perfluorohexyl phosphonic acid	PFHxPA	40143-76-8	NORMAN 2015	NORMAN
Perfluorooctyl phosphonic acid	PFOPA	40143-78-0	NORMAN 2015	NORMAN
Perfluorodecyl phosphonic acid	PFDPA	52299-26-0	NORMAN 2015	NORMAN
Bis-(perfluorohexyl) phosphinic acid	6:6PFPi	40143-77-9	NORMAN 2015	NORMAN
Bis-perfluorohexyl perfluorooctyl phosphinic acid	6:8PFPi	610800-34-5	NORMAN 2015	NORMAN
Bis-(perfluorooctyl) phosphinic acid	8:8PFPi	40143-79-1	NORMAN 2015	NORMAN
6:2 Fluorotelomer phosphate monoester	6:2 monoPAP	57678-01-0	NORMAN 2015	NORMAN
8:2 Fluorotelomer phosphate monoester	8:2 monoPAP	57678-03-2	NORMAN 2015	NORMAN
Bis(1H,1H,2H,2H-perfluorohexyl) phosphate - 4:2 Fluorotelomer phosphate diester	4:2diPAP	135098-69-0	NORMAN 2015	NORMAN
Bis(1H,1H,2H,2H-perfluoroctyl) phosphate - 6:2 Fluorotelomer phosphate diester	6:2diPAP	57677-95-9	NORMAN 2015	NORMAN
Bis(1H,1H,2H,2H-perfluorodecyl) phosphate - 8:2 Fluorotelomer phosphate diester	8:2diPAP	678-41-1	NORMAN 2015	NORMAN
10:2 Fluorotelomer phosphate diester	10:2diPAP	1895-26-7	NORMAN 2015	NORMAN
4:2/6:2 Fluorotelomer phosphate diester	4:2/6:2diPAP	1158182-59-2	NORMAN 2015	NORMAN
6:2/8:2 Fluorotelomer phosphate diester	6:2/8:2diPAP	943913-15-3	NORMAN 2015	NORMAN
8:2/10:2 Fluorotelomer phosphate diester	8:2/10:2diPAP	1158182-60-5	NORMAN 2015	NORMAN

perfluoropolyethers	C3F6C- 10-[CF-CF(CF ₃)-0] n-[CF(CF ₃)-0] m-CF ₂ COOH (n=1-4; m=0-2)	329238-24-6	NORMAN 2015	NORMAN
3H-perfluoro-3-((3-methoxy-propoxy) propanoic acid) ammonium salt / CF ₃ OCF ₂ CF ₂ CF ₂ CHFCF ₂ COONH ₄	ADONA	958445-44-8	NORMAN 2015	NORMAN
Ammonium perfluoro(2-methyl-3- oxahexanoate) / CF ₃ CF ₂ CF ₂ CF(CF ₃) COONH ₄	GenX	62037-80-3	NORMAN 2015	NORMAN
2, 2, 3, 3, 4, 4, 4-Heptafluoro-1- Butanol	3:1 FTOH	375-01-9	NORMAN 2015	NORMAN
2, 2, 3, 3, 4, 4, 5, 5, 6, 6, 6- Undecafluoro-1-Hexanol	5:1 FTOH	423-46-1	NORMAN 2015	NORMAN
6:2 fluorotelomer sulfonamide alkylbetaine (trade name Forafac 1157)	6:2 FTSAAB		NORMAN 2015	NORMAN
6:2 fluorotelomer sulfonamide aminoxide(trade name Forafac 1183)	6:2 FTSAAO	80475-32-7	NORMAN 2015	NORMAN
Perfluorobutanoic acid	PFBA	375-22-4	NORMAN 2015	NORMAN
Perfluoropentanoic acid	PPeA	2706-90-3	NORMAN 2015	NORMAN
Perfluorohexane sulfonyl fluoride	PFHxSF	423-50-7	NORMAN 2015	NORMAN
4:2 Fluorotelomer Thioamido Sulfonate	4:2 FtTAoS		NORMAN 2015	NORMAN
6:2 Fluorotelomer Thioamido Sulfonate	6:2 FtTAoS		NORMAN 2015	NORMAN
8:2 Fluorotelomer Thioamido Sulfonate	8:2 FtTAoS		NORMAN 2015	NORMAN
Clofibrate			NORMAN 2015	NORMAN
Benzoylecggonine (Cocaine)		519-09-5	NORMAN 2015	NORMAN
Amphetamine		300-62-9	NORMAN 2015	NORMAN
Methamphetamine		537-46-2	NORMAN 2015	NORMAN
MDMA (Ecstasy)			NORMAN 2015	NORMAN
THC-COOH (Cannabis)			NORMAN 2015	NORMAN

PRILOG 2.

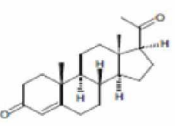
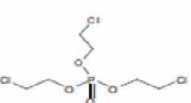
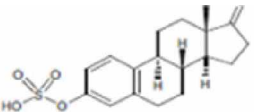
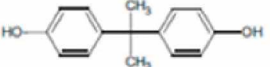
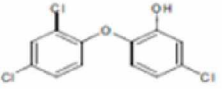
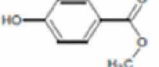
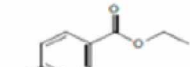
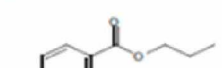
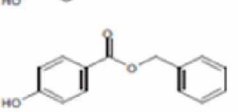
PRILOG 2.

Tabela 4.4.4.1 Hemijske strukture i prekusori jona ispitivanih hemikalija (Izračunato pomoću MarvinSketch software Huerta et al., 2013)

Compound	Therapeutic family	Molecular structure	Precursor ion	Internal standard	pKa	log P
Venlafaxine	Psychiatric drugs		278 [M+H] ⁺	Venlafaxine-d ₅	pKa ₁ : 8.91 pKa ₂ : 14.42	2.74
Clopidogrel	Antiplatelet agent		322 [M+H] ⁺	Diazepam-d ₅	pKa: 5.14	4.03
Codeine	Analgesics/anti-inflammatories		300 [M+H] ⁺	Carbamazepine-d ₁₀	pKa ₁ : 9.19 pKa ₂ : 13.78	1.34
Diclofenac	Analgesics/anti-inflammatories		294 [M-H] ⁻	Ibuprofen-d ₃	pKa ₁ : 4.00 pKa ₂ : 16.40	4.26
Hydrochlorothiazide	Diuretic		296 [M-H] ⁻	Hydrochlorothiazide-d ₂	pKa ₁ : 9.09 pKa ₂ : 9.83 pKa ₃ : 11.31	-0.58
Levamisole	Antihelmintics		205 [M+H] ⁺	Ronidazole-d ₃	pKa: 6.98	2.36
Salbutamol	To treat asthma		240 [M+H] ⁺	Atenolol-d ₇	pKa ₁ : 9.40 pKa ₂ : 10.12 pKa ₃ : 14.18	0.88

Compound	Therapeutic family	Molecular structure	Precursor ion	Internal standard	pKa	log P
Atenolol	β-Blockers		267 [M+H] ⁺	Atenolol-d ₇	pKa ₁ : 9.67 pKa ₂ : 14.08 pKa ₃ : 15.95	0.43
Carazolol	β-Blockers		299 [M+H] ⁺	Atenolol-d ₇	pKa ₁ : 9.67 pKa ₂ : 14.03 pKa ₃ : 15.00	2.71
Metropolol	β-Blockers		268 [M+H] ⁺	Atenolol-d ₇	pKa ₁ : 9.67 pKa ₂ : 14.09	1.76
Nadolol	β-Blockers		310 [M+H] ⁺	Atenolol-d ₇	pKa ₁ : 9.76 pKa ₂ : 13.59 pKa ₃ : 14.22	0.87
Propanolol	β-Blockers		260 [M+H] ⁺	Atenolol-d ₇	pKa ₁ : 9.67 pKa ₂ : 14.09	2.58
Sotalol	β-Blockers		273 [M+H] ⁺	Atenolol-d ₇	pKa ₁ : 9.43 pKa ₂ : 10.07 pKa ₃ : 14.10	0.05
Carbamazepine	Psychiatric drugs		237 [M+H] ⁺	Carbamazepine-d ₁₀	pKa: 13.94	2.77
Citalopram	Psychiatric drugs		325 [M+H] ⁺	Citalopram-d ₄	pKa: 9.78	3.76
Diazepam	Psychiatric drugs		285 [M+H] ⁺	Diazepam-d ₅	pKa: 2.92	3.08

Prilog 3. Tabela 4.4.4.2 Fizičko-hemijeska svojstva i hemijske strukture cilnjih jedinjenja

Compound	Family	Structure	pKa ^a	log P ^b	Corresponding internal standard
1H-benzothiazole	Triazoles		0.58 8.63	1.30	1H-benzothiazole-d4
Caffeine	Stimulants		-0.96 -0.92	-0.55	Caffeine-d3
Progesterone	Hormones		-7.36 -4.02 18.92 19.56	4.15	Progesterone-d8
Levonorgestrel	Hormones		-4.73 -1.53 17.51 19.28	3.66	Progesterone-d8
Tolytriazole	Triazoles		-2.96 -0.03 9.04	1.78	1H-benzothiazole-d4
TCEPTris(2-chloroethyl) phosphate	Flame retardants		-0.06	2.11	Triphenyl phosphate-d15
Estrone-3-sulfate	Hormones		-1.75 -7.48	3.83	Estrone-d4
Bisphenol A	Plasticizers		-5.46 0.78 10.39	4.04	Bisphenol A-d4
Triclosan	Antibacterials		-9.20 -6.67 7.68	4.98	Triclosan methyl-d3 ether
Methylparaben	Preservatives		-6.87 -6.06 8.50	1.67	Methylparaben-d4
Ethylparaben	Preservatives		-6.88 -6.06 8.50	2.03	Methylparaben-d4
Propylparaben	Preservatives		-6.88 - 6.06 & 8.50	2.55	Methylparaben-d4
Benzylparaben	Preservatives		-6.89 - 6.06 & 8.50	3.40	Methylparaben-d4

TBEP Tris (2-butoxyethyl) phosphate	Flame retardants		-9.09 -4.62 -4.14 -3.66	3.94	Triphenyl phosphate-d15
TCP/Tri(2-chloroisopropyl) phosphate	Flame retardants		-9.06	3.36	Triphenyl phosphate-d15
Estrone	Hormones		-7.48 -5.45 10.33 19.96	4.31	Estrone-d4
17 β -Estradiol	Hormones		-5.45 -0.88 10.33 19.38	3.75	17 β -Estradiol-d2
Estriol	Hormones		-5.45 -3.34 -3.16 10.11 13.62 15.16	2.67	Estriol-d4
17 α -Ethynodiol	Hormones		-1.66 -5.45 10.33 17.59	3.90	17 α -Ethynodiol-d4

Prilog 3. Tabela 4.4.4.3. Target komponente analizirane po terapeutskim grupama i izotopno označeni interni standardi dodijeljeni za njihovu kvantifikaciju.

Therapeutic groups	Compounds	Number	CAS number	Corresponding internal standard
Analgesics/anti-inflammatories (14)	Ketoprofen Naproxen Ibuprofen Indometacin Acetaminophen Salicylic acid Diclofenac Phenazone Propyphenazone Piroxicam Tenoxicam Meloxicam Oxycodone Codeine Bezafibrate	1 2 3 4 5 6 7 8 9 10 11 12 13 14 15	22071-15-4 22204-53-1 15687-27-1 53-86-1 103-90-2 69-72-7 15307-79-6 60-80-0 479-92-5 36322-90-4 59804-37-4 71125-39-8 124-90-3 76-57-3 41859-67-0	Ibuprofen-d ₃ Ibuprofen-d ₁ Ibuprofen-d ₃ Indometacin-d ₄ Acetaminophen-d ₄ Acetaminophen-d ₄ Ibuprofen-d ₁ Phenazone-d ₁ Phenazone-d ₁ Meloxicam-d ₃ Meloxicam-d ₃ Carbamazepine-d ₁₀ Carbamazepine-d ₁₀ Bezafibrate-d ₅
Lipid regulators and cholesterol lowering statin drugs (5)	Gemfibrozil Pravastatin Fluvastatin Atorvastatin Carbamazepine 2-Hydroxycarbamazepine ^a 10,11-epoxykarbamazepine ^a Acridone ^b Sertaline Citalopram Venlafaxine Olanzapine Trazodone Fluoxetine Norfluoxetine ^b Paroxetine ^b Diazepam Lorazepam Alprazolam Loratadine Desloratadine ^b Ranitidine Famotidine Cimetidine Atenolol Sotalol Propranolol Metoprolol Ndolol Carazolol Hydrochlorothiazide Eurosemide	16 17 18 19 20 21 22 23 24 25 26 27 28 29 30 31 32 33 34 35 36 37 38 39 40 41 42 43 44 45 46 47	25812-30-0 81131-70-6 93957-54-1 134523-03-8 298-46-4 68011-66-5 36507-30-9 578-95-0 79559-97-0 59729-32-7 99300-78-4 132539-06-1 25332-39-2 56296-78-7 83891-03-6 110429-35-1 439-14-5 846-49-1 28981-97-7 79794-75-5 100643-71-8 66357-59-3 76824-35-6 51481-61-9 29122-68-7 959-24-0 318-98-9 56392-17-7 42200-33-9 57775-29-8 58-93-5 54-31-9	Gemfibrozil-d ₆ Gemfibrozil-d ₆ Gemfibrozil-d ₆ Gemfibrozil-d ₆ Carbamazepine-d ₁₀ Carbamazepine-d ₁₀ Carbamazepine-d ₁₀ Carbamazepine-d ₁₀ Fluoxetine-d ₅ Citalopram-d ₄ Venlafaxine-d ₆ Carbamazepine-d ₁₀ Fluoxetine-d ₅ Fluoxetine-d ₅ Fluoxetine-d ₅ Diazepam-d ₅ Diazepam-d ₅ Diazepam-d ₅ Cimetidine-d ₃ Atenolol-d ₂ Hydrochlorothiazide-d ₃ Eurosemide-d ₅
Psychiatric drugs (15)				
Histamine H ₁ and H ₂ receptor antagonists (5)				
β-Blocking agents (6)				
Diuretic (3)				
Antidiabetic (1)	Eurosemide	47	54-31-9	Eurosemide-d ₅
Antihypertensives (4)	Torasemide Glibenelamide Amlodipine Losartan Irbesartan Valsartan Clopidogrel Tamsulosin Salbutamol Warfarin Iopromide Albenidazole Thiabendazole Levamisole Dexamethasone Xylazine Azaperone Azaperol ^c	48 49 50 51 52 53 54 55 56 57 58 59 60 61 62 63 64 65	56211-40-6 10238-21-8 111470-99-6 124750-99-8 138402-11-6 177862-53-4 135046-48-9 106463-17-6 18550-94-9 81-81-2 73334-07-3 54965-21-8 148-79-8 16595-80-5 50-02-2 23076-35-9 1649-18-9 2804-05-9	Eurosemide-d ₅ Glyburide-d ₃ Amlodipine-d ₄ Valsartan-d ₃ Glyburide-d ₃ Sulfamethoxazole-d ₄ Atenolol-d ₂ Warfarin-d ₃ Sulfamethoxazole-d ₄ Ronidazole-d ₃ Dexamethasone-d ₄ Xylazine-d ₆ Azaperone-d ₄
Antiplatelet agent (1)				
Prostatic hyperplasia (1)				
To treat asthma (1)				
Anticoagulant (1)				
X-ray contrast agents (1)				
Antihelmintics (3)				
Synthetic glucocorticoid (1)				
Sedation and muscle relaxation (1)				
Tranquilizer (2)				
Antibiotics (13)				
	Metronidazole Metronidazole-OH ^c Dimetridazole Ronidazole Cefalexin Diltiazem Verapamil Norverapamil ^c	74 75 76 77 78 79 80 81	443-48-1 4812-40-2 551-92-8 7681-76-7 15686-71-2 42399-41-7 152-11-4 67812-42-4	Erythromycin-N,N ¹³ C ₂ Azithromycin-d ₁ Azithromycin-d ₁ Sulfamethoxazole-d ₄ Ofloxacin-d ₁ Ofloxacin-d ₁ Sulfamethoxazole-d ₄ Sulfamethoxazole-d ₄

Table 1 (Continued)

Therapeutic groups	Compounds	Number	CAS number	Corresponding internal standard
Calcium channel blockers (3)				
	Metronidazole Metronidazole-OH ^c Dimetridazole Ronidazole Cefalexin Diltiazem Verapamil Norverapamil ^c	74 75 76 77 78 79 80 81	443-48-1 4812-40-2 551-92-8 7681-76-7 15686-71-2 42399-41-7 152-11-4 67812-42-4	Ronidazole-d ₁ Ronidazole-d ₁ Ronidazole-d ₁ Ronidazole-d ₁ Sulfamethoxazole-d ₄ Carbamazepine-d ₁₀ Verapamil-d ₆ Verapamil-d ₆

BIOGRAFIJA

Dražana Radonjić je rođena 05.09.1973, u Podgorici. Prve četiri godine Osnovne škole (OŠ) je završila u OŠ "Zarija Vujošević" u Matagužima, a ostale četiri u OŠ "Milan Vukotić" u Golubovcima, Zeta, Podgorica. Srednju školu Gimnaziju "Slobodan Škerović završila je u Titogradu 1991. godine. Osnovne Studije završila je u Podgorici na Prirodno-matematičkom fakultetu, studijska grupa za biologiju, 1997. godine. Specijalističke studije završila na Biološkom fakultetu u Beogradu. Magistrarske Studije je završila na Prirodno-matematičkom fakultetu, studisks grupa za biologiju 2007 odbranivši temu: Utvrđivanje kvaliteta vode na nekim lokacijama Skadarskog jezera i rijeka Morače i Bojane". Doktorske studije je upisala 2013. godine.

Svoju karijeru počela je u Institutu za javno zdravlje u Podgorici kao samosatlni saradnik na mikrobiologiji, 1998. godine, nastavila je u Hemomontu d.o.o STADA ARZNEIMITTEL AG kao Šef odjeljenja biološke kontrole, do 2017. godine. Neko vrijeme nakon toga radila je kao toksikolog u Labaratoriji za sudske medicine u Kliničkom centru Crne Gore uporedo sa poslom Laboratorijskog kordinаторa na Univerzitetu Donja Gorica u Podgorici. Od 2020 godine je Vođa mikrobiološkog laboratorija na Biaseparationscro, Labena d.o.o, u Ljubljani, Slovenija.

Oblast kojom se bavi i koju proučava je biologija mikroorganizama. Predstavljala je radove na nacionalnim i međunarodnim kongresima, objavila više naučnih radova iz ove oblasti.

Izjava o autorstvu

Podpisana Dražana Radonjić

Broj indeksa/upisa 1/2012

Izjavljujem

Da je doktorska disertacija pod naslovom

**“DINAMIKA EMERGENTNIH SUPSTANCI U VODI (EmS) I ENDOKRINO-
UZNEMIRAVAJUĆIH HEMIKALIJA (EDCs) U EKOSISTEMIMA RIJEKE MORAČE I
SKADARSKOG JEZERA”**

- rezultat sopstvenog istraživačkog rada,
- da predložena disertacija ni u cijelini ni u djelovima nije bila predložena za dobijanje bilo koje diplome prema studijskim programima drugih ustanova visokog obrazovanja,
- da su rezultati korektno navedeni, i
- da nijesam povrijedila autorska druga prava intelektualne svojine koja pripadaju trećim licima.

Potpis doktoranda

U Podgorici, 28.08.2022



Izjava o istovjetnosti štampane i elektronske verzije doktorskog rada

Ime i prezime autora Dražana Radonjić

Broj indeksa/upisa 1/2012

Studijski program Biologija

Naslov rada “DINAMIKA EMERGENTNIH SUPSTANCI U VODI (EmS) I ENDOKRINO-
UZNEMIRAVAJUĆIH HEMIKALIJA (EDCs) U EKOSISTEMIMA RIJEKE MORAČE I
SKADARSKOG JEZERA”

Podpisana Dražana Radonjić

Izjavljujem da je štampana verzija mog doktorskog rada istovjetna elektronskoj verziji koju sam predala za elektronsko objavljanje u Digitalni arhiv Univerziteta Crne Gore.

Istovremeno izjavljujem da dozvoljavam objavljanje mojih ličnih podataka u vezi sa dobijanjem akademskog naziva doktora nauka, odnosno zvanja doktora umjetnosti, kao što su ime i prezime, godina i mjesto rođenja, naziv disertacije i datum odbrane rada.

Potpis doktoranda



U Podgorici, 28.08.2022

IZJAVA O KORIŠĆENJU

Ovlašćujem Univerzitetsku biblioteku da u Digitalni arhiv Univeriteta Crne Gore pohrani moju doktorsku disertaciju pod naslovom:

— “Dinamika Emergentnih supstanci u vodi (EmS) i endokrino-uznemiravajućih hemikalija (EDCs) U ekosistemima rijeke Morače i Skadarskog jezera” _____

Koja je moje autorsko djelo.

Disertaciju sa svim prilozima predala sam u elektronskom format pogodnom za trajno arhiviranje.

Moju doktorsku diseraciju pohranjenu u Digitalni arhv Univerziteta Crne Gore mogu da koriste svi koji poštuju odredbe sadržane u odabranom tipu licence Kreativne zajednice (creative Commons) za koju sam se odlučila.

1. Autorstvo
2. Autorstvo -nekomercijalno
3. Autorstvo -nekomercijalno -bez prerade
4. **Autorstvo -nekomercijalno-dijeliti pod istim uslovima**
5. Autorstvo - bez prerade
6. Autorstvo – dijeliti pod istim uslovima

(Molimo da zaokružite samo jednu od šest ponuđenih licenci, kratak opis licenci je dat na poleđini lista).

Potpis doktoranda

U Podgorici, 28.08.2022.

